



ใบรับรองวิทยานิพนธ์  
บัณฑิตวิทยาลัย มหาวิทยาลัยเกษตรศาสตร์

วิทยาศาสตร์มหาบัณฑิต (วิทยาศาสตร์สิ่งแวดล้อม)

ปริญญา

วิทยาศาสตร์สิ่งแวดล้อม

สาขา

วิทยาลัยสิ่งแวดล้อม

ภาควิชา

เรื่อง ศักยภาพของสาบเสือในการนำบัดคินที่ปนเปื้อนตะกั่ว และการศึกษาปริมาณตะกั่ว  
จากองค์ประกอบของพืชด้วยวิธี Steam Explosion และ Wayman's Method

Potential of Siam Weed (*Chromolaena odorata*) to Remediate Lead Contaminated Soil  
and Determination of Lead in Plant Components by Steam Explosion  
and Wayman's Method

นามผู้วิจัย นายกนกศักดิ์ อุดมสิน

ได้พิจารณาเห็นชอบโดย

อาจารย์ที่ปรึกษาวิทยานิพนธ์หลัก

( ผู้ช่วยศาสตราจารย์ศวพร ศุภผล, ปร.ด. )

อาจารย์ที่ปรึกษาวิทยานิพนธ์ร่วม

( รองศาสตราจารย์นิพนธ์ ตั้งคำนาครักษ์, Ph.D. )

ประธานสาขาวิชา

( ศาสตราจารย์เกยม จันทร์แก้ว, Ph.D. )

บัณฑิตวิทยาลัย มหาวิทยาลัยเกษตรศาสตร์รับรองแล้ว

( รองศาสตราจารย์กัญจนा ธีระกุล, D.Agr. )

คณบดีบัณฑิตวิทยาลัย

วันที่ ..... เดือน ..... พ.ศ. ....

วิทยานิพนธ์

เรื่อง

ศักยภาพของสาบเดือในการบำบัดดินที่ปนเปื้อนตะกั่ว และการศึกษาปริมาณตะกั่ว  
จากองค์ประกอบของพืชด้วยวิธี Steam Explosion และ Wayman's Method

Potential of Siam Weed (*Chromolaena odorata*) to Remediate Lead Contaminated Soil

and Determination of Lead in Plant Components by Steam Explosion

and Wayman's Method

โดย

นายกนกศักดิ์ อุดมลิน

เสนอ

บัณฑิตวิทยาลัย มหาวิทยาลัยเกษตรศาสตร์

เพื่อความสมบูรณ์แห่งปริญญาวิทยาศาสตร์มหาบัณฑิต (วิทยาศาสตร์สิ่งแวดล้อม)

พ.ศ. 2554

สิงห์ นตาวิทยาลัยเกษตรศาสตร์

กนกศักดิ์ อุดมสิน 2554: ศักยภาพของสาบเสือในการบำบัดดินที่ปนเปื้อนตะกั่ว และการศึกษาปริมาณตะกั่วจากองค์ประกอบของพืชด้วยวิธี Steam Explosion และ Wayman's Method ปริญญาวิทยาศาสตร์บัณฑิต (วิทยาศาสตร์สิ่งแวดล้อม)  
สาขาวิทยาศาสตร์สิ่งแวดล้อม วิทยาลัยสิ่งแวดล้อม อาจารย์ที่ปรึกษาวิทยานิพนธ์หลัก:  
ผู้ช่วยศาสตราจารย์ศรพร ศุภผล, ปร.ศ. 170 หน้า

ตะกั่วเป็นโลหะหนักที่มีการปนเปื้อนสูงสิ่งแวดล้อมเป็นปริมาณมากในปัจจุบัน โดยเฉพาะอย่างขึ้นจากอุตสาหกรรมเหมืองแร่ตะกั่ว ซึ่งเป็นอีกจิจกรรมหนึ่งที่ทำให้เกิดการเคลื่อนย้ายของตะกั่วสู่ดิน ก่อให้เกิดผลกระทบทางสิ่งแวดล้อมในด้านต่างๆ ปัจจุบันการจัดการดินที่เกิดการปนเปื้อนตะกั่วสามารถทำได้หลายวิธี โดยเฉพาะเทคโนโลยีทางกายภาพและเคมี แต่เทคนิคต่างๆ ดังกล่าวเป็นเทคนิคที่มีราคาสูงและส่งผลกระทบต่อสิ่งแวดล้อมเมื่อใช้ในการจัดการ ดังนั้นจึงมีการนำเทคนิคการบำบัดด้วยพืช (phytoremediation) มาใช้ในการบำบัดดินที่ปนเปื้อน ซึ่งมีข้อดีที่มีค่าใช้จ่าย และส่งผลกระทบต่อสิ่งแวดล้อมที่ต่ำกว่าเมื่อเปรียบเทียบกับเทคนิคอื่นๆ แต่อย่างไรก็ตามวิธีการจัดการกับชากของพืชภายหลังจากการบำบัดยังเป็นปัญหาที่สำคัญเมื่อใช้พืชในการบำบัดดินที่ปนเปื้อนโลหะหนัก อีกทั้งยังมีการศึกษาวิจัยเกี่ยวกับพืชที่คุณสมบัติในการบำบัดดินที่ปนเปื้อนตะกั่ว และแนวทางการจัดการชากภายหลังจากการใช้พืชในการบำบัดที่เกี่ยวข้องอยู่เพียงเล็กน้อย

ดังนั้นวิทยานิพนธ์นี้จึงทำการศึกษาความสามารถในการบำบัดดินที่ปนเปื้อนตะกั่วด้วยสาบเสือ (*Chromolaena odorata*) และปริมาณการสะสมของตะกั่วจากองค์ประกอบทางเคมีของสาบเสือด้วยวิธี steam explosion, Waymans's method และ atomic absorption spectrophotometer (AAS) โดยทำการบำบัดดินที่ระยะเวลา 15, 30, 45, 60, 75 และ 90 วัน ภายใต้สภาพควบคุมในโรงเรือนทดลอง โดยวางแผนการทดลองแบบ 2x6 completely randomized design (CRD) จำนวน 3 ชั้น ซึ่งจากการศึกษาพบระยะเวลาในการบำบัดเหมาะสมที่ 45 วัน โดยสามารถบำบัดดินที่มีปริมาณความเข้มข้นของตะกั่วทั้งหมดโดยเฉลี่ยก่อนการบำบัดเท่ากับ 75,529.38 มก.กก.<sup>-1</sup> ให้ลดลง จนมีปริมาณความเข้มข้นของตะกั่วทั้งหมดในดินโดยเฉลี่ยก่อนการบำบัดเท่ากับ 68,446.46 มก.กก.<sup>-1</sup> โดยมีประสิทธิ์ในการบำบัดคิดเป็นร้อยละ 9.38 ต่อหน่วยของการบำบัด และพบว่าที่สภาวะความดันที่ 19 กก.ซม.<sup>-2</sup> เวลา 5 นาที เป็นสภาวะที่เลือกใช้ในการศึกษาปริมาณตะกั่วจากองค์ประกอบทางเคมีของสาบเสือด้วยวิธี steam explosion และ Wayman's method พนบปริมาณการสะสมตะกั่วในส่วน cellulose > Klason lignin > water-soluble material > methanol-soluble lignin ตามลำดับ ทั้งในส่วนเหนือดินและส่วนใต้ดินอย่างมีนัยสำคัญทางสถิติ ( $p \leq 0.05$ ) โดยมีปริมาณตะกั่วทั้งหมดคิดเป็นร้อยละ 75.5, 17.2, 5.0 และ 2.3 ตามลำดับในส่วนเหนือดิน และร้อยละ 84.1, 11.0, 3.3 และ 1.6 ตามลำดับในส่วนเหนือดิน

Kanoksak Udomsin 2011: Potential of Siam Weed (*Chromolaena odorata*) to Remediate Lead Contaminated Soil and Determination of Lead in Plant Components by Steam Explosion and Wayman's Method. Master of Science (Environmental Science), Major Field: Environmental Science, College of Environment. Thesis Advisor: Assistant Professor Savaporn Supaphol, Ph.D. 170 pages.

Lead (Pb) is the most common heavy metal soil contaminant in the environment, especially from the Pb mine industry is the point source to Pb contaminated soils. At the present, current technologies attempt to remediate by physical or chemical separation of soils contaminants. However, these techniques are labor intensive and costly. Thus, using of plants to remediate Pb or heavy metals in soil contaminants especially known as phytoremediation. Phytoremediation, the use of green plants to clean up metal contaminated environments has attracted attention as an environmentally friendly and useful metal-extraction technique for treating toxic contaminated soil. However, the management of hyperaccumulated plants after phytoremediation is very important issue. For more, very few studies to lead hyperaccumulator and utilize a hyperaccumulating plants after phytoremediation.

In this thesis studies to the potential of Siam weed (*Chromolaena odorata*) to remediate Pb contaminated soil in remediation times at 15, 30, 45, 60, 75 and 90 days from green house experiments and determination of Pb in plant components was established using steam explosion, Wayman's extraction method, and an atomic absorption spectrophotometer (AAS). The experiment design was on 2x6 in completely randomized design (CRD) with three replicates. In the result, the appropriate to harvesting time at 45 days and the concentration of total Pb in soils after remediation had decreased from  $75,529.38 \text{ mg kg}^{-1}$  to  $68,446.46 \text{ mg kg}^{-1}$ . This illustrates the potential of Siam weed to remediate soil as around 9.38% of total Pb was decreased in the first crop. The determination of Pb in plant components from steam-exploited Siam weed was selected to steaming pressure and steaming time in steam explosion and the Wayman's method at  $19 \text{ kg cm}^{-2}$  in 5 min, and the Pb was accumulated in cellulose fraction > Klason lignin fraction > water-soluble material fraction > methanol-soluble lignin fraction, significantly ( $p \leq 0.05$ ) at 75.5, 17.2, 5.0 and 2.3% in aboveground parts and 84.1, 11.0, 3.3 and 1.6% in underground parts, respectively.

---

Student's signature

---

Thesis Advisor's signature

/ /

## กิตติกรรมประกาศ

วิทยานิพนธ์ฉบับนี้สำเร็จลุล่วงไปด้วยดีด้วยความกรุณาเป็นอย่างยิ่งของ พศดร.ศวพร ศุภผล อาจารย์ที่ปรึกษาวิทยานิพนธ์หลัก และ รศ.ดร.นิพนธ์ ตั้งคณานุรักษ์ อาจารย์ที่ปรึกษาวิทยานิพนธ์ ร่วม ในการตรวจสอบและแก้ไข ตลอดจนให้คำปรึกษาเกี่ยวกับปัญหาที่เกิดขึ้นในการทำวิจัย ประกอบวิทยานิพนธ์ในครั้งนี้ ขอขอบคุณ รศ.คณิตา ตั้งคณานุรักษ์ ประธานในการสอบ และ ดร.สมชาย เอื้อพิพัฒนาภูล ผู้ทรงคุณวุฒิภายนอก สำหรับคำแนะนำเพิ่มเติมในการแก้ไขข้อบกพร่อง ที่เกิดขึ้นในวิทยานิพนธ์ฉบับนี้ให้สมบูรณ์ยิ่งขึ้น จึงขอขอบพระคุณทุกท่านมา ณ โอกาสนี้

ขอขอบคุณ ดร.ประพันธ์ศักดิ์ ศิริยะภูมิ ภาควิชาพาราเลี้ยงสัตว์น้ำ คณะประมง มหาวิทยาลัย เกษตรศาสตร์ ต่อคำแนะนำในส่วนเอกสารที่เกี่ยวข้องในการทำวิทยานิพนธ์ ดร.พิลาณี ไวยฤณอมสัตย์ สถาบันศึกษาและพัฒนาผลิตผลทางการเกษตรและอุตสาหกรรมเกษตร มหาวิทยาลัยเกษตรศาสตร์ และ รศ.ดร.วิทยา ปันสุวรรณ ศูนย์ความเป็นเลิศทางวิชาการด้านปลา มั่นคง ภาควิชาเคมี คณะวิทยาศาสตร์ มหาวิทยาลัยเกษตรศาสตร์ สำหรับความอนุเคราะห์ทั้งคำแนะนำ อุปกรณ์ และสถานที่ ในการทำวิจัยประกอบวิทยานิพนธ์ในครั้งนี้ จันสำเร็จลุล่วงไปได้ด้วยดี

ขอขอบคุณ คุณชัยภัทร คงแก้ว นายภาณุ ส้มเกลี้ยง นส.วิยากร นกแก้ว นส.นันทิยา ชุ่มชื่น นายเคียงเพชร ลบແย়েম นางสมบูรณ์ ปลื้มปัญญา และนายภัทร คอมกล สำหรับความช่วยเหลือทาง เทคนิคที่สำคัญต่อความรู้และความเข้าใจที่เพิ่มมากขึ้นแก่ผู้วิจัย อีกทั้งขอบคุณเพื่อนๆ มีนกร 55 สาวล. 32-33 และเคมีเกษตร ที่เคยเป็นแรงผลักดันที่สำคัญต่อความสำเร็จที่เกิดขึ้นในการทำวิจัย ประกอบวิทยานิพนธ์ในครั้งนี้ โดยเฉพาะ อาร์ม ตีะ นุก นวย อุ้ย แซนด์ ฟัน เบน ปุน ปู ป้อ ป้าแนน บุ่น แบงค์ เบียร์ อ้อ จูน อ่อ พีวรณ์ อี้ ฝ้าย น้องพร พี่อิน พี่เอ็ม พี่มด มะแตง เกด ไก่ จูบ และ ศุ ที่เคยช่วยเหลือ และเป็นแหล่งกำลังใจที่สำคัญให้ฝ่าฟันอุปสรรคที่เกิดขึ้นให้ผ่านมาได้จนถึงวันนี้

ขอขอบพระคุณ คุณยายเยือน เกลี้ยงประดิษฐ์ นางเสาวนี อุดมสิน 罵ราดา และนายชนิสร อุดมสิน น้องชาย ที่เป็นผู้อยู่เบื้องหลังความสำเร็จทั้งหมดที่เกิดขึ้น และสุดท้ายขอบคุณความดีที่ เกิดขึ้นทั้งหมดจากการทำวิทยานิพนธ์ในครั้งนี้ให้แก่ พ.ท.พิรัช อุดมสิน บิดาผู้ล่วงลับ ขอให้ท่านจะ มีความสุขตลอดไปในทุกอนาคตชาติ

นกศักดิ์ อุดมสิน

พฤษภาคม 2554

## สารบัญ

หน้า

สารบัญ	(1)
สารบัญตาราง	(2)
สารบัญภาพ	(6)
คำนำ	1
วัตถุประสงค์	3
การตรวจเอกสาร	4
อุปกรณ์และวิธีการ	36
อุปกรณ์	36
วิธีการ	38
ผลและวิจารณ์	50
สรุปและข้อเสนอแนะ	120
สรุป	120
ข้อเสนอแนะ	121
เอกสารและสิ่งอ้างอิง	122
ภาคผนวก	134
ภาคผนวก ก ผลการวิเคราะห์ข้อมูลทางสถิติ	135
ภาคผนวก ข เกณฑ์มาตรฐานในการพิจารณาคุณสมบัติของคิน ตะกอนคิน และน้ำ และผลการวิเคราะห์สมบัติทางกายภาพ และสมบัติทางเคมี บางประการของคินที่ใช้ในการทดลองศักยภาพของสาบเสือ	151
ในการนำบัดคินที่ป่นเปี้ยนและไม่ป่นเปี้ยนตะกั่ว	
ภาคผนวก ค การวิเคราะห์สมบัติของคิน และปริมาณตะกั่วในคิน ตะกอนคิน น้ำ และสาบเสือที่ใช้ในการทดลอง	155
ประวัติการศึกษาและการทำงาน	170

## สารบัญตาราง

ตารางที่	หน้า
1 พิกัดกริด และระดับความสูงของพื้นที่ ณ บริเวณต่างๆ ที่ตั้งในเขตพื้นที่เหมืองแร่ต่ำกว่า หมู่ที่ 5 ตำบลลazole และ อำเภอทองผาภูมิ จังหวัดกาญจนบุรี	53
2 สมบัติทางกายภาพ สมบัติทางเคมีบางประการ และปริมาณความเข้มข้นต่ำกว่าในดินจากพื้นที่เหมืองแร่ต่ำกว่า หมู่ที่ 5 ตำบลลazole และ อำเภอทองผาภูมิ จังหวัดกาญจนบุรี	57
3 สมบัติทางเคมีบางประการของตะกอนดิน และปริมาณความเข้มข้นต่ำกว่าในตะกอนดินจากพื้นที่เหมืองแร่ต่ำกว่า หมู่ที่ 5 ตำบลลazole และ อำเภอทองผาภูมิ จังหวัดกาญจนบุรี	59
4 สมบัติทางกายภาพ สมบัติทางเคมีบางประการ และปริมาณความเข้มข้นของตะกั่วในน้ำจากพื้นที่เหมืองแร่ต่ำกว่า หมู่ที่ 5 ตำบลลazole และ อำเภอทองผาภูมิ จังหวัดกาญจนบุรี	62
5 ปริมาณการคูดใช้และสะสมต่ำกว่าทั้งหมดของตัวอย่างพืชบางชนิดที่พบในพื้นที่เหมืองแร่ต่ำกว่า หมู่ที่ 5 ตำบลลazole และ อำเภอทองผาภูมิ จังหวัดกาญจนบุรี	63
6 ปริมาณความเข้มข้นของตะกั่วทั้งหมด (total Pb) ในส่วนเหนือดินค่า translocation factor (TF) และ bioaccumulation factor (BAF) ต่อการพิจารณาพืชที่มีศักยภาพในการนำบัดดินที่ปนเปื้อนต่ำกว่าในระดับสูง (lead hyperaccumulator) ของตัวอย่างพืชบางชนิดที่พบในพื้นที่เหมืองแร่ต่ำกว่า หมู่ที่ 5 ตำบลลazole และ อำเภอทองผาภูมิ จังหวัดกาญจนบุรี	65
7 การพิจารณาสมบัติของสารเสื่อต่อความสามารถในการนำบัดดินที่ปนเปื้อนต่ำกว่าในระดับสูง (lead hyperaccumulator) จากการศึกษาศักยภาพของสารเสื่อในการนำบัดดินที่ปนเปื้อนต่ำกว่าภายใต้สภาพความคุณในโรงเรือนทดลองที่ระยะเวลาในการนำบัดดิน 45 วัน	81
8 สัดส่วนของปริมาณองค์ประกอบทางเคมีในพืชชนิดต่างๆ ภายหลังจากกระบวนการ steam explosion และ Wayman's method	95

## สารบัญตาราง (ต่อ)

ตารางผนวกที่	หน้า
ก1 น้ำหนักแห้งของสาบเสื้อภายหลังการบำบัดดินภายในโรงเรือนทดลอง	136
ก2 การดูดใช้และสะสมต่อกันของสาบเสื้อภายหลังจากการบำบัดดินภายในโรงเรือนทดลอง	137
ก3 ความเข้มข้นของตะกั่วในดินภายหลังการบำบัดด้วยสาบเสื้อภายใต้สภาพควบคุมในโรงเรือนทดลอง	138
ก4 อิทธิพลของระดับความดันต่อปริมาณองค์ประกอบทางเคมีของสาบเสื้อด้วยวิธี steam explosion และ Wayman's method	139
ก5 อิทธิพลของระยะเวลาต่อปริมาณองค์ประกอบทางเคมีของสาบเสื้อด้วยวิธี steam explosion และ Wayman's method	140
ก6 ความเข้มข้นของตะกั่วที่พบในองค์ประกอบทางเคมีของสาบเสื้อภายหลังจากการบำบัดดินที่ป่นเปี้ยนและไม่ป่นเปี้ยนตะกั่ว ด้วยวิธี steam explosion และ Wayman's method ที่ระยะเวลาการเก็บเกี่ยวสาบเสื้อ 15 วัน	141
ก7 ความเข้มข้นของตะกั่วที่พบในองค์ประกอบทางเคมีของสาบเสื้อภายหลังจากการบำบัดดินที่ป่นเปี้ยนและไม่ป่นเปี้ยนตะกั่ว ด้วยวิธี steam explosion และ Wayman's method ที่ระยะเวลาการเก็บเกี่ยวสาบเสื้อ 30 วัน	142
ก8 ความเข้มข้นของตะกั่วที่พบในองค์ประกอบทางเคมีของสาบเสื้อภายหลังจากการบำบัดดินที่ป่นเปี้ยนและไม่ป่นเปี้ยนตะกั่ว ด้วยวิธี steam explosion และ Wayman's method ที่ระยะเวลาการเก็บเกี่ยวสาบเสื้อ 45 วัน	143
ก9 ความเข้มข้นของตะกั่วที่พบในองค์ประกอบทางเคมีของสาบเสื้อภายหลังจากการบำบัดดินที่ป่นเปี้ยนและไม่ป่นเปี้ยนตะกั่ว ด้วยวิธี steam explosion และ Wayman's method ที่ระยะเวลาการเก็บเกี่ยวสาบเสื้อ 60 วัน	144

## สารบัญตาราง (ต่อ)

ตารางผนวกที่	หน้า
ก10 ความเข้มข้นของตะกั่วที่พบในองค์ประกอบทางเคมีของสาบเลือก ภายหลังจากการบำบัดดินที่ป่นเปื้อนและไม่ป่นเปื้อนตะกั่ว ด้วยวิธี steam explosion และ Wayman's method ที่ระยะเวลาการเก็บเกี่ยว สาบเลือก 75 วัน	145
ก11 ความเข้มข้นของตะกั่วที่พบในองค์ประกอบทางเคมีของสาบเลือก ภายหลังจากการบำบัดดินที่ป่นเปื้อนและไม่ป่นเปื้อนตะกั่ว ด้วยวิธี steam explosion และ Wayman's method ที่ระยะเวลาการเก็บเกี่ยว สาบเลือก 90 วัน	146
ก12 ปริมาณการสะสมตะกั่วในส่วน water-soluble material ของสาบเลือก ภายหลังจากการบำบัดดินที่ป่นเปื้อนและไม่ป่นเปื้อนตะกั่ว ด้วยวิธี steam explosion และ Wayman's method ที่ระยะเวลาการเก็บเกี่ยว สาบเลือก 15, 30, 45, 60, 75 และ 90 วัน	147
ก13 ปริมาณการสะสมตะกั่วในส่วน methanol-soluble lignin ของสาบเลือก ภายหลังจากการบำบัดดินที่ป่นเปื้อนและไม่ป่นเปื้อนตะกั่ว ด้วยวิธี steam explosion และ Wayman's method ที่ระยะเวลาการเก็บเกี่ยว สาบเลือก 15, 30, 45, 60, 75 และ 90 วัน	148
ก14 ปริมาณการสะสมตะกั่วในส่วน Klason lignin ของสาบเลือกภายหลังจาก การบำบัดดินที่ป่นเปื้อนและไม่ป่นเปื้อนตะกั่ว ด้วยวิธี steam explosion และ Wayman's method ที่ระยะเวลาการเก็บเกี่ยวสาบเลือก 15, 30, 45, 60, 75 และ 90 วัน	149
ก15 ปริมาณการสะสมตะกั่วในส่วน cellulose ของสาบเลือกภายหลังจาก การบำบัดดินที่ป่นเปื้อนและไม่ป่นเปื้อนตะกั่ว ด้วยวิธี steam explosion และ Wayman's method ที่ระยะเวลาการเก็บเกี่ยวสาบเลือก 15, 30, 45, 60, 75 และ 90 วัน	150
ข1 เกณฑ์มาตรฐานของปฏิกริยาดิน ตะกอนดิน และน้ำ	152

## สารบัญตาราง (ต่อ)

ตารางผนวกที่		หน้า
ข2	เกณฑ์มาตรฐานของค่าวิเคราะห์สมบัติทางเคมีบางประการของดิน และตะกอนดินที่ใช้ในการทดลอง	153
ข3	สมบัติทางกายภาพ สมบัติทางเคมีบางประการ และปริมาณความเข้มข้น ตะกั่วในดินที่ป่นเปื้อนและไม่ป่นเปื้อนตะกั่ว	154

## สารบัญภาพ

ภาพที่	หน้า
1 กระบวนการ phytoaccumulation	12
2 กระบวนการ phytodegradation	13
3 กระบวนการ phytostabilization	14
4 กระบวนการ phytovolatilization	15
5 กระบวนการ rhizodegradation	16
6 กระบวนการ rhizofiltration	17
7 ความแตกต่างของพืชที่มีคุณสมบัติเป็น non-hyperaccumulator (ซ้าย) และพืชที่มีคุณสมบัติเป็น hyperaccumulator (ขวา)	21
8 กลไกทั้ง 6 ประเภทในการทนต่อโลหะหนักของพืช	23
9 ลักษณะทางพฤกษศาสตร์ของสาบเสือ ( <i>Chromolaena odorata</i> ); (ก) ลักษณะโดยทั่วไปของลำต้น (ข) ใบและยอด (ค) ดอก (ง) เมล็ด	25
10 ลักษณะโดยทั่วไปของเครื่อง steam explosion; (ก) ลักษณะของเครื่องทางด้านหน้า (ข) ลักษณะของเครื่องทางด้านข้าง (ค) ส่วนประกอบของเครื่อง	30
11 แนวทางการใช้ประโยชน์ในองค์ประกอบทางเคมีชนิดต่างๆ ของเศษวัสดุ เหลือทิ้งทางการเกษตร ด้วยวิธี steam explosion	32
12 กระบวนการ Wayman's method โดยสรุป	34
13 ที่ตั้งและอาณาเขตของพืชน้ำศึกษา ตำบลจะแล อำเภอทองผาภูมิ จังหวัดกาญจนบุรี	51
14 ลักษณะที่ตั้งและอาณาเขตของอุทยานแห่งชาติลำคลองสู ในเขตอำเภอ ทองผาภูมิ จังหวัดกาญจนบุรี	52
15 ลักษณะทางกายภาพของที่ตั้ง และการแพร่กระจายของพืชบางชนิดในพื้นที่ เหมืองแร่ตะกั่ว; (ก) อาณาเขตที่ตั้งของพื้นที่ (ข) โรงเติ่งแร่ (ค) ลานแร่ (ง) ลานตะกอนหางแร่ (จ) บ่อตักตะกอนที่ 1 (ช) บ่อตักตะกอนที่ 2 (ฉ) สาบเสือ ( <i>Chromolaena odorata</i> ) (改良) กระถิน ( <i>Leucaena leucocephala</i> ) และ (ญ) อ้อ ( <i>Arundo donax</i> )	54

## สารบัญภาพ (ต่อ)

ภาพที่	หน้า
16 การแพร่กระจายของพืชนาในบ่อคัตตะกอนที่ 1 (ก) และบ่อคัตตะกอนที่ 2 (ข) ที่พบรการแพร่กระจายของพืชนาในบ่อคัตตะกอนที่ 2 มากกว่าบ่อคัตตะกอนที่ 1 (ลูกศรชี้)	60
17 การเจริญเติบโตของสาบเสือในดินที่ไม่ปนเปื้อนตะกั่ว (control) และดินที่ ปนเปื้อนตะกั่ว (treatment) ที่ระยะเวลาการปลูก 30 วัน (ก) 45 วัน (ข) 60 วัน (ค) 75 วัน (ง) 90 วัน (จ) และลักษณะการแสดงออกของความเป็นพิษของ สาบเสือภายหลังจากการปลูกในดินที่ปนเปื้อนตะกั่ว (น) (ลูกศรชี้)	69
18 ปริมาณน้ำหนักแห้งของสาบเสือที่ได้ภายหลังการนำบัดดินภายใต้สภาพ ควบคุมในโรงเรือนทดลอง; (ก) ดินที่ไม่ปนเปื้อนตะกั่ว (ข) ดินที่ปนเปื้อน ตะกั่ว	70
19 ปริมาณการดูดใช้และสะสมตะกั่วของสาบเสือภายหลังจากการนำบัดดิน ภายใต้สภาพควบคุมในโรงเรือนทดลอง; (ก) ดินที่ไม่ปนเปื้อนตะกั่ว (ข) ดินที่ปนเปื้อนตะกั่ว	73
20 ปริมาณความเข้มข้นของตะกั่วในดินภายหลังการนำบัดด้วยสาบเสือภายใต้ สภาพควบคุมในโรงเรือนทดลอง; (ก) ดินที่ไม่ปนเปื้อนตะกั่ว (ข) ดินที่ปนเปื้อนตะกั่ว	76
21 อิทธิพลของระดับความดันต่อปริมาณองค์ประกอบทางเคมีของสาบเสือ ด้วยวิธี steam explosion และ Wayman's method; (ก) = water-soluble material (ข) = methanol-soluble lignin (ค) = Klason lignin (ง) = cellulose	87
22 อิทธิพลของระยะเวลาต่อปริมาณองค์ประกอบทางเคมีของสาบเสือ ด้วยวิธี steam explosion และ Wayman's method; (ก) = water-soluble material (ข) = methanol-soluble lignin (ค) = Klason lignin (ง) = cellulose	91
23 สัดส่วนของปริมาณองค์ประกอบทางเคมีในส่วนเหนือดิน (ก) และส่วนใต้ดิน (ข) ของสาบเสือ ภายหลังจากการ steam explosion และ Wayman's method ณ สภาพที่ระดับความดัน 19 กิโลกรัมต่ำตารางเซนติเมตร เป็นเวลา 5 นาที	93

## สารบัญภาพ (ต่อ)

ภาพที่	หน้า
24 ลักษณะทางกายภาพของสาบเสือในส่วนเหนือดิน (ก) และส่วนใต้ดิน (ข) ก่อนและหลัง steam explosion ลักษณะ water-soluble material (ค) methanol-soluble lignin (จ) Klason lignin (ฉ) และ cellulose (ฉ) ที่ได้จากการสกัดด้วยวิธี Wayman's method	94
25 ปริมาณการสะสมต่ำกว่าที่พบรากอนค์ประกอบทางเคมีของสาบเสือภายหลังจากการนำบัดดินที่ป่นเปี้ยนต่ำกว่า ด้วยวิธี steam explosion และ Wayman's method ณ สภาพที่ระดับความดัน 19 กิโลกรัมต่ำตารางเซนติเมตร เป็นเวลา 5 นาที ในส่วนเหนือดิน (ก) และส่วนใต้ดิน (ข) ที่ระยะเวลาการเก็บเกี่ยวสาบเสือ 15 วัน	98
26 ปริมาณการสะสมต่ำกว่าที่พบรากอนค์ประกอบทางเคมีของสาบเสือภายหลังจากการนำบัดดินที่ป่นเปี้ยนต่ำกว่า ด้วยวิธี steam explosion และ Wayman's method ณ สภาพที่ระดับความดัน 19 กิโลกรัมต่ำตารางเซนติเมตร เป็นเวลา 5 นาที ในส่วนเหนือดิน (ก) และส่วนใต้ดิน (ข) ที่ระยะเวลาการเก็บเกี่ยวสาบเสือ 30 วัน	100
27 ปริมาณการสะสมต่ำกว่าที่พบรากอนค์ประกอบทางเคมีของสาบเสือภายหลังจากการนำบัดดินที่ป่นเปี้ยนต่ำกว่า ด้วยวิธี steam explosion และ Wayman's method ณ สภาพที่ระดับความดัน 19 กิโลกรัมต่ำตารางเซนติเมตร เป็นเวลา 5 นาที ในส่วนเหนือดิน (ก) และส่วนใต้ดิน (ข) ที่ระยะเวลาการเก็บเกี่ยวสาบเสือ 45 วัน	102
28 ปริมาณการสะสมต่ำกว่าที่พบรากอนค์ประกอบทางเคมีของสาบเสือภายหลังจากการนำบัดดินที่ป่นเปี้ยนต่ำกว่า ด้วยวิธี steam explosion และ Wayman's method ณ สภาพที่ระดับความดัน 19 กิโลกรัมต่ำตารางเซนติเมตร เป็นเวลา 5 นาที ในส่วนเหนือดิน (ก) และส่วนใต้ดิน (ข) ที่ระยะเวลาการเก็บเกี่ยวสาบเสือ 60 วัน	104

## สารบัญภาพ (ต่อ)

ภาพที่	หน้า
29 ปริมาณการสะสมคงที่พนจากองค์ประกอบทางเคมีของสาบเสือภัยหลังจากการนำบัดดินที่ป่นเป็นอนตะกั่ว ด้วยวิธี steam explosion และ Wayman's method ณ สภาพที่ระดับความดัน 19 กิโลกรัมต่ำตารางเซนติเมตร เป็นเวลา 5 นาที ในส่วนเหนือดิน (ก) และส่วนใต้ดิน (ข) ที่ระยะเวลาการเก็บเกี่ยวสาบเสือ 75 วัน	106
30 ปริมาณการสะสมคงที่พนจากองค์ประกอบทางเคมีของสาบเสือภัยหลังจากการนำบัดดินที่ป่นเป็นอนตะกั่ว ด้วยวิธี steam explosion และ Wayman's method ณ สภาพที่ระดับความดัน 19 กิโลกรัมต่ำตารางเซนติเมตร เป็นเวลา 5 นาที ในส่วนเหนือดิน (ก) และส่วนใต้ดิน (ข) ที่ระยะเวลาการเก็บเกี่ยวสาบเสือ 90 วัน	108
31 ร้อยละการสะสมคงที่ในส่วน water-soluble material ของสาบเสือภัยหลังจากการนำบัดดินที่ป่นเป็นอนตะกั่ว ด้วยวิธี steam explosion และ Wayman's method ณ สภาพที่ระดับความดัน 19 กิโลกรัมต่ำตารางเซนติเมตร เป็นเวลา 5 นาที ในส่วนเหนือดิน (ก) และส่วนใต้ดิน (ข) ที่ระยะเวลาการเก็บเกี่ยวสาบเสือ 15, 30, 45, 60, 75 และ 90 วัน	110
32 ร้อยละการสะสมคงที่ในส่วน methanol-soluble lignin ของสาบเสือภัยหลังจากการนำบัดดินที่ป่นเป็นอนตะกั่ว ด้วยวิธี steam explosion และ Wayman's method ณ สภาพที่ระดับความดัน 19 กิโลกรัมต่ำตารางเซนติเมตร เป็นเวลา 5 นาที ในส่วนเหนือดิน (ก) และส่วนใต้ดิน (ข) ที่ระยะเวลาการเก็บเกี่ยวสาบเสือ 15, 30, 45, 60, 75 และ 90 วัน	112
33 ร้อยละการสะสมคงที่ในส่วน Klason lignin ของสาบเสือภัยหลังจากการนำบัดดินที่ป่นเป็นอนตะกั่ว ด้วยวิธี steam explosion และ Wayman's method ณ สภาพที่ระดับความดัน 19 กิโลกรัมต่ำตารางเซนติเมตร เป็นเวลา 5 นาที ในส่วนเหนือดิน (ก) และส่วนใต้ดิน (ข) ที่ระยะเวลาการเก็บเกี่ยวสาบเสือ 15, 30, 45, 60, 75 และ 90 วัน	114

## สารบัญภาพ (ต่อ)

**ภาพที่**

**หน้า**

- 34 ร้อยละการสะสมตะกั่วในส่วน cellulose ของสาบเลือกภายหลังจากการบำบัดดินที่ป่นเปื้อนตะกั่ว ด้วยวิธี steam explosion และ Wayman's method ณ สภาวะที่ระดับความดัน 19 กิโลกรัมต่อตารางเซนติเมตร เป็นเวลา 5 นาที ในส่วนเหนือดิน (ก) และส่วนใต้ดิน (ข) ที่ระยะเวลาการเก็บเกี่ยวสาบเลือก 15, 30, 45, 60, 75 และ 90 วัน

116

**ภาพผนวกที่**

ค1

Soil texture diagram

158

**ศักยภาพของสาบเสือในการบำบัดดินที่ปนเปื้อนตะกั่ว และการศึกษาปริมาณตะกั่ว  
จากองค์ประกอบของพืชด้วยวิธี Steam Explosion และ Wayman's Method**

**Potential of Siam Weed (*Chromolaena odorata*) to Remediate Lead Contaminated  
Soil and Determination of Lead in Plant Components by Steam Explosion  
and Wayman's Method**

**คำนำ**

เมื่อถ้าล่วงคืนซึ่งจัดเป็นทรัพยากรทางธรรมชาติที่สำคัญต่อการเกษตร คืนที่มีความอุดมสมบูรณ์และปราศจากการปนเปื้อนของมลพิษย่อมส่งผลดีต่อผลิตทางการเกษตร แต่ปัจจุบันจากกิจกรรมทางภาคอุตสาหกรรมของประเทศไทยได้มีการขยายตัวอย่างรวดเร็ว อันเนื่องมาจากการที่เพิ่มมากขึ้น และเทคโนโลยีที่ทันสมัยได้เข้ามามีบทบาทเป็นอย่างมาก จึงเกิดผลกระทบต่อสิ่งแวดล้อม โดยเฉพาะการปนเปื้อนของโลหะหนักในดินนั้น ลือเป็นปัญหาสำคัญที่พบได้บ่อย และมีแนวโน้มที่พบได้มากขึ้นในปัจจุบัน โดยมีสาเหตุส่วนใหญ่ที่เกิดขึ้นจากการกิจกรรมของมนุษย์ เป็นหลัก ทั้งจากการภาคเกษตรกรรมและการอุตสาหกรรม

ตะกั่วเป็นโลหะหนักชนิดหนึ่งที่มีการปนเปื้อนในดิน อันเนื่องมาจากกิจกรรมของมนุษย์ โดยมีแหล่งสำคัญของการปนเปื้อนตะกั่วสู่สิ่งแวดล้อมมาจากกิจกรรมในอุตสาหกรรมการผลิตสี อุตสาหกรรมการผลิตแบบตเตอร์รี่ รถยนต์ อุตสาหกรรมการผลิตอาวุธปืนและเครื่องกระสุน อุตสาหกรรมอิเล็กทรอนิกส์ รวมทั้งอุตสาหกรรมการผลิตเหมืองแร่ ซึ่งเป็นอีกกิจกรรมหนึ่งที่ทำให้เกิดการเคลื่อนย้ายของตะกั่วสู่ดินในพื้นที่โดยรอบ ก่อให้เกิดการปนเปื้อนของตะกั่วจนเกิดผลกระทบทางสิ่งแวดล้อมในด้านต่างๆ โดยปริมาณการปนเปื้อนของสารตะกั่วในปัจจุบันที่มีแนวโน้มเพิ่มสูงขึ้น ส่งผลให้ในหลาย ๆ ประเทศมีมาตรการลดการปนเปื้อนของสารตะกั่วสู่สิ่งแวดล้อม โดยการควบคุมกิจกรรมต่างๆ เพื่อควบคุมปริมาณการปนเปื้อนของสารตะกั่ว และการพัฒนาเทคโนโลยีในการกำจัดสารตะกั่วที่มีการปนเปื้อนสู่สิ่งแวดล้อม โดยปัจจุบันในการจัดการโลหะหนักที่ปนเปื้อนในดินนั้นสามารถทำได้หลายวิธีโดยเทคนิคต่างๆ ได้แก่ วิธีการทางกายภาพอาทิ soil flushing, solidification และ stabilization และวิธีการทางเคมี อาทิ soil washing, chemical

reduction และ oxidation (USEPA, 1993; พันธุ์วัศ, 2550) ซึ่งเทคนิคต่างๆ เหล่านี้เป็นเทคนิคที่มีราคาสูง ยากต่อการปฏิบัติ และก่อให้เกิดผลกระทบต่อสิ่งแวดล้อมภายหลังจากการบำบัด

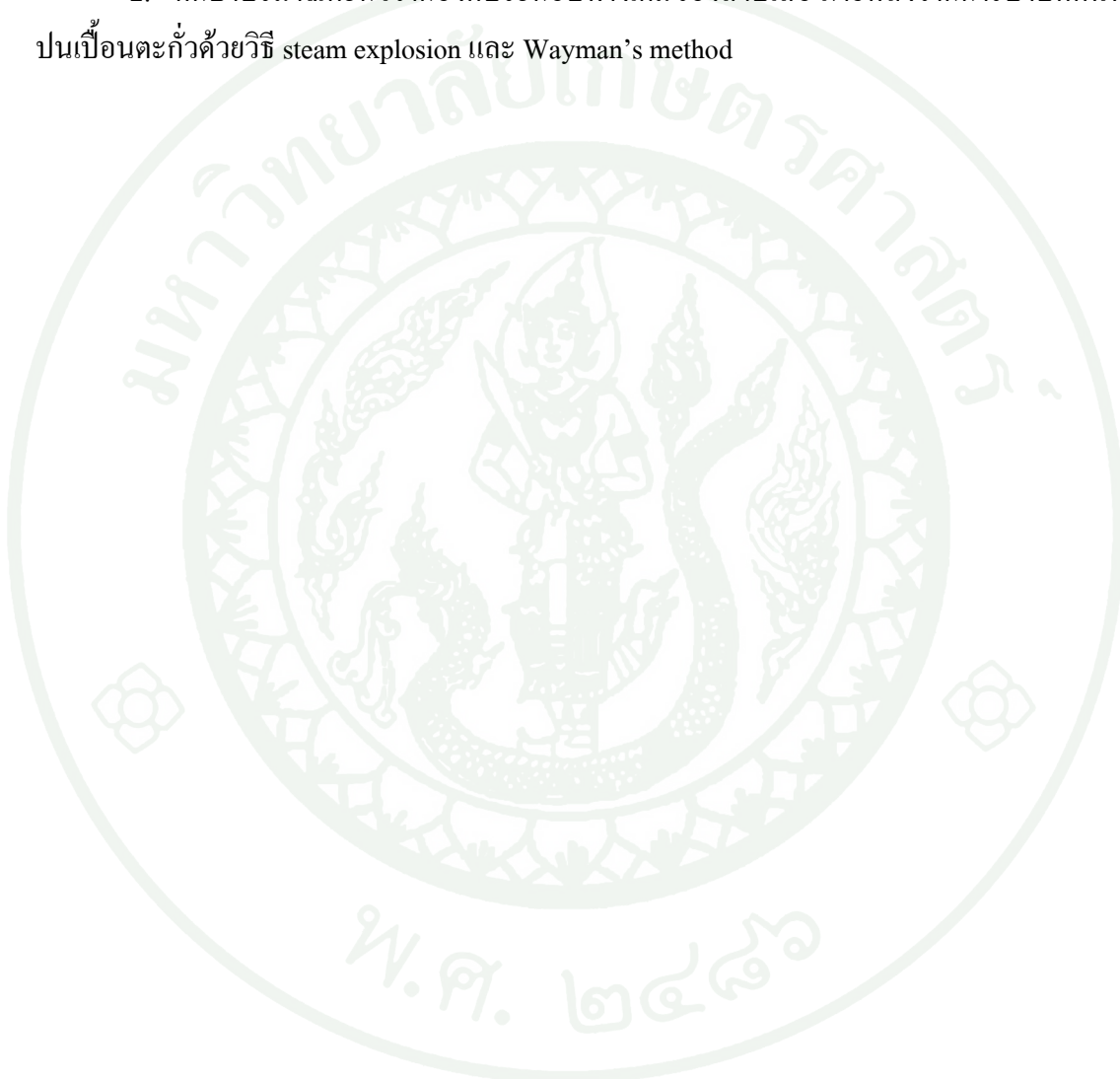
เทคนิคการบำบัดโดยใช้พืช หรือที่เรียกว่า phytoremediation เป็นการบำบัดดินปนเปื้อนโลหะหนักโดยวิธีทางชีวภาพ ซึ่งอาศัยประโยชน์จากกระบวนการคุณน้ำและการลำเลียงแร่ธาตุอาหารผ่านทางรากของพืช รวมทั้งกระบวนการขยายตัวออกทางใบของพืชในการเปลี่ยนสารมลพิษรวมทั้งโลหะหนักในดินให้อยู่ในรูปที่ไม่มีความเป็นพิษหรือมีความเป็นพิษลดลง ซึ่งกลไกเหล่านี้จะทำหน้าที่เปลี่ยนรูปของสารประกอบอินทรีย์ และเกิดการคุกซับและสะสมโลหะหนักไว้ในลำต้นใบ และยอด โดยสารปนเปื้อนเหล่านี้จะถูกกำจัดออกจากพืชที่เมื่อมีการเก็บเกี่ยวพืชออกໄไป (บัญชาการ, 2548) ซึ่งเทคนิคดังกล่าวมีข้อดีเนื่องจากมีค่าใช้จ่ายน้อย ง่ายต่อการปฏิบัติ และส่งผลกระทบต่อสิ่งแวดล้อมที่ต่ำกว่าเมื่อเทียบกับการบำบัดทางเคมีภysis และเคมี

สาบเสือ (*Chromolaena odorata*) เป็นพืชที่พบได้ทั่วไป มีอัตราการเจริญเติบโตเร็ว พฤกษ์แพร่กระจายได้ง่าย และสามารถเจริญเติบโตได้ในหลายพื้นที่ อีกทั้งมีรายงานวิจัยสนับสนุนว่าเป็นพืชชนิดหนึ่งที่มีศักยภาพในการบำบัดดินที่มีการปนเปื้อนตะกั่ว โดยพบว่าสาบเสือเป็นพืชที่สามารถคุกใช้และสะสมตะกั่วได้ในระดับสูง (Rotkittikhun *et al.* 2006; Tanhan *et al.*, 2007) ดังนั้นจึงเป็นที่มาของการศึกษาวิจัยเพื่อศึกษาศักยภาพในการบำบัดดินที่ปนเปื้อนตะกั่วด้วยต้นสาบเสือ

การศึกษาองค์ประกอบทางเคมีของสาบเสือด้วยวิธี steam explosion และ Wayman's method เป็นเทคนิคในการแยกองค์ประกอบทางเคมี เพื่อให้ได่องค์ประกอบหลักของพืชสีชนิดได้แก่ ส่วนที่ละลายน้ำได้ (water-soluble material fraction) ลิกนินที่มีมวลโมเลกุลต่ำ (methanol-soluble lignin fraction) ลิกนินที่มีมวลโมเลกุลสูง (Klason lignin fraction) และเซลลูโลส (cellulose fraction) ในชิ้นส่วนของพืช หรือวัสดุเหลือที่ทางการเกษตร ซึ่งสามารถนำไปใช้เป็นสารมูลค่าเพิ่มต่างๆ อาทิ การผลิตเซลลูโลสบริสุทธิ์เพื่อใช้ในการผลิตแอลกอฮอล์ การผลิตการไม้ การผลิตเยื่อกระดาษ และเรซิน นอกจากนี้เทคนิคดังกล่าวยังเป็นอีกแนวทางหนึ่งในการศึกษาความเป็นไปได้ในการนำโลหะหนักกลับมาใช้ใหม่จากการบำบัดดินด้วยสาบเสือ phytoremediation ในพืชที่มีศักยภาพในการบำบัดดินที่ปนเปื้อน (พิชญา, 2549; Kobayashi *et al.*, 2005a)

## วัตถุประสงค์

1. ศึกษาศักยภาพของสาบเสื้อ (*Chromolaena odorata*) ในการบำบัดดินที่ปนเปื้อนตะกั่ว
2. ศึกษาปริมาณตะกั่วจากองค์ประกอบทางเคมีของสาบเสื้อ ภายหลังจากการบำบัดดินที่ปนเปื้อนตะกั่วด้วยวิธี steam explosion และ Wayman's method



## การตรวจเอกสาร

### 1. ตะกั่ว (Lead)

#### 1.1 ลักษณะและสมบัติของตะกั่ว

ตะกั่ว (lead) มีสัญลักษณ์ Pb โดยที่มาจากชื่อลาติน *plumbum* ที่แปลว่า liquid silver (จรพร, 2550) โดยตะกั่วมีลักษณะเป็นโลหะสีเทาอมน้ำเงิน ผิวน้ำมีลักษณะเป็นเงา เป็นโลหะที่รักษาตัวแต่สมัยโบราณ มีลักษณะอ่อนสามารถทุบ รีด และตัดให้ขาด ได้ง่าย เมื่อหยอดหรือถูกตัดขาดใหม่ๆ และสามารถผสมเข้ากับโลหะต่างๆ ได้ดี รวมทั้งการทำปฏิกิริยาเกิดเป็นเกลือของตะกั่ว Ruthenium ในตารางธาตุ ตะกั่วอยู่ในกลุ่ม IVA มีเลขเชิงอะตอม (atomic number) เท่ากับ 82 และน้ำหนักเชิงอะตอม (atomic weight) เท่ากับ 207.19 ความถ่วงจำเพาะ 11.34 ที่ 20 องศาเซลเซียส มีจุดหลอมเหลวที่ 327.4 องศาเซลเซียส และจุดเดือดที่ 1,740 องศาเซลเซียส มีเลขออกซิเดชันได้หลายค่าคือ +1, +2 และ +4 โดยมักพบในรูป +2 เนื่องจากเป็นรูปที่มีเสถียรที่สุด มีไอโซโทปได้หลายไอโซโทป พบรูปในธรรมชาติมากในรูปของ  $^{194}\text{Pb}$ ,  $^{206}\text{Pb}$ ,  $^{208}\text{Pb}$  โดยพบร้อยละ 1.4, 25.2 และ 51.7 ตามลำดับ และไอโซโทปที่เกิดจากการสังเคราะห์ คือ ไอโซโทปที่มีน้ำหนักเชิงอะตอมเท่ากับ 195-203, 205 และ 209-214 (กรมควบคุมมลพิษ, 2547) ตะกั่วมีการกระจายทั่วไปในธรรมชาติโดยที่เปลือกโลกมีตะกั่วโดยเฉลี่ยประมาณ 10-15 มิลลิกรัมต่อกิโลกรัม ซึ่งตามธรรมชาติตะกั่วปรากฏอยู่ในรูปชาตุอิสระในธรรมชาติมีน้อยมาก แต่จะพบในเปลือกโลกทั้งหมดจะอยู่ในรูปสารประกอบของแร่ที่สำคัญ ได้แก่ แร่กานينا ( $\text{PbS}$ ) แร่เชอร์สไซท์ ( $\text{PbCO}_3$ ) และแร่แองกอลิไซท์ ( $\text{PbSO}_4$ ) ซึ่งมีชาตุตะกั่วสะสมอยู่ร้อยละ 86.6, 83.4 และ 73.6 ตามลำดับ ส่วนแร่อื่นๆ ที่พบตะกั่วได้แก่ แร่คูโรท์ แร่กัมไมท์ และแร่จอร์แดนไนท์ เป็นต้น (เบญจลักษณ์, 2546) โดยจะสามารถพบได้ในบริเวณเดียวกับแหล่งแร่ทองแดง เงิน สังกะสี พลวง และบีスマส (ตีรตนรรถ, 2549) ซึ่งตะกั่วมีคุณสมบัติทนต่อการผุกร่อน ทนต่อกรดซัลฟูริก ( $\text{H}_2\text{SO}_4$ ) และกรดไฮド록อลิค ( $\text{HCl}$ ) ไม่ละลายน้ำ แต่จะละลายได้อ่อนช้าๆ ในกรดไนโตริก ( $\text{HNO}_3$ ) และละลายได้บ้างในสารประกอบอะซิเตท ( $\text{CH}_3\text{COO}^-$ ) (อนอมขวัญ, 2548)

## 1.2 การใช้ประโยชน์จากตะกั่ว

### 1.2.1 สารประกอบอนินทรีย์ตะกั่ว ได้แก่

(1) โลหะตะกั่ว ใช้ผสมในแท่งโลหะผสมหรือผงเชื่อมบัดกรี โลหะนำมาทำเป็นแผ่นหรือท่อโลหะใช้ในอุตสาหกรรมเคมีเพื่อป้องกันการกัดกร่อน แผ่นรองในอุตสาหกรรมรถยนต์ การผลิตอาวุธปืนและเครื่องกระสุน และฉากก้นสารกัมมันตรังสี (สารานุกรมไทยสำหรับเยาวชน, 2552) ใช้เป็นวัสดุหุ้มสายไฟฟ้าและสายโทรศัพท์ที่มีการฝังໄดีคิน เนื่องจากคุณสมบัติของตะกั่วที่มีความยืดหยุ่น และไม่ผุกร่อน (กรมควบคุมมลพิษ, 2547)

(2) ออกไซด์ของตะกั่ว ได้แก่ ตะกั่วอนออกไซด์ (lead monoxide) โดยใช้ในอุตสาหกรรมสีโดยใช้เป็นสารสีเหลืองผสมสีทาบ้าน ตะกั่วไดออกไซด์ (lead dioxide) ใช้ทำเป็นขี้อิเล็กโทรดของแบตเตอรี่รถยนต์ และเครื่องจักร ตะกั่วแดง หรือตะกั่วออกไซด์ (leaded oxide) ใช้ในอุตสาหกรรมแบตเตอรี่ สีทาโลหะเพื่อกันสนิม เครื่องแก้ว ยาง และเครื่องเคลือบ (ปราโมทย์และรินทวนัน, 2552)

(3) สารประกอบของกลีอตะกั่ว ได้แก่ ตะกั่วเหลือง (lead cromate) ตะกั่วขาว (lead carbonate) โดยใช้เป็นแมสหรือสีผสมในอุตสาหกรรมสี ตะกั่วซัลเฟต (lead sulfate) โดยใช้ในอุตสาหกรรมหมึกพิมพ์ ตะกั่วแอซิเตต (lead acetate) โดยใช้ในอุตสาหกรรมเครื่องสำอาง สีข้อม และครีมใส่พม ผลิตภัณฑ์สีข้อมผ้าฝ้าย สารเคลือบผิวโลหะ รวมทั้งเป็นสารทำแห้งในผลิตภัณฑ์สี นำ้มันขัดเงาและหมึก ตะกั่วซิลิกेट (lead silicate) โดยใช้ในอุตสาหกรรมกระเบื้อง และเครื่องเคลือบเซรามิกเพื่อทำให้ผลิตภัณฑ์มีผิวเรียบและเงางาม ตะกั่วไนเตรต (lead nitrate) โดยใช้ในอุตสาหกรรมพลาสติกและยาง รวมทั้งใช้ผลิตวัตถุระเบิด และตะกั่วอาร์เซนেต (lead arsenate) ที่ใช้ในอุตสาหกรรมผลิตสารป้องกันและกำจัดศัตรูพืช (กรมควบคุมมลพิษ, 2547; สารานุกรมไทยสำหรับเยาวชน, 2552)

### 1.2.2 สารประกอบอินทรีย์ของตะกั่ว ได้แก่

เตตราเอธิลเดด (tetraethyl lead) และเตตราเมทิลเดด (tetramethyl lead) โดยใช้เป็นสารกันน็อก หรือสารป้องกันการกระตุกของเครื่องยนต์เวลาทำงาน โดยผสมในน้ำมันเบนซินเพื่อให้เชื้อเพลิงมีค่าออกเทนสูงขึ้น แต่จากผลของการทดลองที่ออกมากจากท่อไอเสียรถยนต์จะอยู่ในรูปของตะกั่วออกไซด์ชนิดต่างๆ ที่ก่อให้เกิดพิษต่อมนุษย์ ทำให้ในปัจจุบันได้ยกเลิกการใช้สารประกอบอินทรีย์ของตะกั่วดังกล่าวในการผลิตน้ำมันเบนซิน (ปราโมทย์ และ รินทวัฒน์, 2552)

### 1.3 ตะกั่วในดิน

เมื่อโลหะหนักมีการปนเปื้อนลงสู่ดินจะอยู่ในรูปโครงหนึ่งหรือหลายรูป ได้แก่ (1) รูปที่ละลายในสารละลายน้ำ (soluble) (2) รูปที่ถูกดูดซับในตัวแห่งผิวดินของอนุภาคคลออลดิน (adsorbed) (3) รูปที่ถูกตรึงและจับกับสารแขวนลอยอื่นหรือแร่ในดิน (fixed occluded) (4) รูปที่ตกตะกอนหรือตกตะกอนกับสารอื่น (precipitated) และ (5) รูปที่ถูกคลุกเคล้าเข้าสู่ระบบชีวภาพ เป็นสารอินทรีย์ (organic) ซึ่งโลหะหนักรูปที่หนึ่งและสองถือเป็นรูปที่เคลื่อนที่ได้ (mobile) ในดินพืชจึงสามารถดูดและสะสมในส่วนต่างๆ ได้ แต่เนื่องจากกระบวนการต่างๆ ในดินมีลักษณะเป็นพลวัตจึงอาจมีการเปลี่ยนแปลงรูปค่าต่างๆ ได้ตลอดเวลา (ศุภมาศ, 2540) โดยส่วนใหญ่ตะกั่วที่อยู่ในดินจะพบอยู่ในรูป  $Pb^{2+}$  มากกว่า  $Pb^{4+}$  และมีพฤติกรรมคล้ายกลุ่มโลหะแอลคาไลน์ (alkali metals) และโลหะแอลคาไลน์เอิร์ท (alkaline earth metals) ดังนั้นจึงเขียนแทนที่โพแทสเซียม (K) แบบเรียบ (Ba) สตรอนเซียม (Sr) และ แคลเซียม (Ca) ในแร่และในตัวแห่งที่ไอออนของธาตุเหล่านี้ที่ถูกดูดซับ (ศุภมาศ, 2540; ถนนขวัญ, 2548) โดยตะกั่วเป็นธาตุโลหะหนักที่มีสภาพเคลื่อนที่ได้น้อยที่สุด แต่มีการเปลี่ยนแปลงทางเคมีและชีวภาพคล้ายกับปรอท (Hg) และแคนเดเมียม (Cd) ซึ่งสภาพการละลายได้ของตะกั่วในดินจะลดลงอย่างมากโดยการใส่ปูน โดยในดินที่มีพิ效สูงจะพบการตกตะกอนของตะกั่วในรูปไฮดรอกไซด์ ( $OH^-$ ) ฟอสเฟต ( $PO_4^{3-}$ ) คาร์บอเนต ( $CO_3^{2-}$ ) หรือเกิดสารประกอบเชิงช้อนกับสารอินทรีย์และมีความเสถียรค่อนข้างมาก (ศุภมาศ, 2540)

โดยตะกั่วในดินที่มีอากาศจะอยู่ในรูป  $Pb^{2+}$  ส่วนตะกั่วในดินที่ไม่มีอากาศจะเปลี่ยนรูปเป็น  $Pb^0$ ,  $(C_6H_5)_2Pb$ ,  $C_6H_5Pb^+$ ,  $PbS$ ,  $(CH_3)_2Pb$ ,  $(CH_3)Pb^+$ ,  $CH_3PbOH$  และ  $CH_3PbCl$  (Davies, 1980) ซึ่งปัจจัยสำคัญที่มีผลต่อการดูดซับและการแพร่กระจายของตะกั่วในดินคือ ค่าพิ效 (pH) ปริมาณความอุดมสมบูรณ์ในดิน (organic matter) การแลกเปลี่ยนแคนต์ไอออน (cation exchange) ของสาร

ประกอบจำพวกแมงมานีสออกไซด์ เหล็กออกไซด์ อลูมิเนียม ไฮดรอกไซด์ และพันธะระหว่างตะกั่วกับสารอินทรีย์ ซึ่งสอดคล้องกับรายงานจากผลการศึกษาของ Farrah and Pickering (1977) ที่พบการคุณภาพของตะกั่วในดินเหนียวและสารอินทรีย์ได้ดีเมื่อดินน้ำมี pH ต่ำ และถ้าในดินมีสารประกอบจำพวกแมงมานีสออกไซด์ เหล็กออกไซด์ และอลูมิเนียม ไฮดรอกไซด์ดังกล่าวจะทำให้เกิด  $\text{PbOH}^+$  และ  $\text{PbOH}_3^+$  จึงสามารถคงอยู่ในดินได้ดียิ่งขึ้น แต่ถ้าดินมี pH สูงจะทำให้ตะกั่วเกิดการตกตะกอนในรูปสารประกอบของ  $\text{PbOH}_2$ ,  $\text{Pb}_3(\text{PO}_4)_2$ ,  $\text{PbCO}_3$  หรือเกิดสารประกอบเชิงซ้อนกับสารอินทรีย์และมีความเสถียรค่อนข้างมาก รวมทั้งการมีปริมาณอินทรีย์ต่ำในดินน้อยยิ่งเป็นปัจจัยที่สำคัญที่ทำให้ตะกั่วเกิดละลายและแพร่กระจายในดินได้มาก โดยจากการศึกษาของ Kitagishi and Yamane (1981) พบว่าตะกั่วจะมีค่าครึ่งชีวิตของการสลายตัว (half life) ประมาณ 740-5,900 ปี และจากการศึกษาของ ศุภมาศ (2540) รายงานว่าปริมาณตะกั่วในดินอิสโซดอลส์มีค่าเฉลี่ย 44 มิลลิกรัมต่อกิโลกรัม และในดินชนิดต่างๆ มีค่าเฉลี่ยระหว่าง 22-29 มิลลิกรัมต่อกิโลกรัม ในธรรมชาติตะกั่วในดินบนมีปริมาณตั้งแต่ 1.5-189 มิลลิกรัมต่อกิโลกรัม โดยควรมีค่าเฉลี่ยไม่ควรเกิน 70 มิลลิกรัมต่อกิโลกรัม และตะกั่วในดินนี้จะมีสภาพละลายได้ต่ำมากและคงทนต่อการสลายตัวด้วยกิจกรรมของจุลินทรีย์ดินจึงคงอยู่ในดินได้นาน

#### 1.4 ตะกั่วในพืช

ตะกั่วจัดเป็นโลหะหนักที่ไม่มีประโยชน์ต่อการเจริญเติบโตพืช โดยตะกั่วเมื่อเข้าสู่พืชจะสะสมอยู่ในเยื่อหุ้มเซลล์ (cell membrane) ไม่โตคอนเดรีย (mitochondria) และคลอโรพลาสต์ (chloroplast) ตะกั่วที่เข้าทางรากส่วนใหญ่จะสะสมอยู่ที่รากฝอยมากกว่ารากแก้ว ซึ่งพิษของตะกั่วในพืชเกิดขึ้นอันเนื่องมาจากเกิดการขับยั้งการเปลี่ยนแปลงของพลาสติด (plastid) โดยไปขับยั้งกระบวนการทางเคมีในกระบวนการหายใจที่ไม่โตคอนเดรีย ส่งผลต่อกระบวนการสังเคราะห์แสง ขับยั้งการเจริญของรากและใบและยืดเวลาการอกรากเมล็ด โดยระดับปกติของปริมาณตะกั่วโดยเฉลี่ยในพืชคือ 0.5-3 มิลลิกรัมต่อกิโลกรัม ส่วนระดับเป็นพิษในพืชนั้นขึ้นกับพืชแต่ละชนิดที่ทนต่อสารตะกั่วไม่เท่ากัน โดยพืชสามารถรับสารตะกั่วจากสิ่งแวดล้อมได้ 2 ทาง คือ ทางราก จากดินในรูปของสารละลายตะกั่วที่อยู่ในดินและทางใบ จากอนุภาคของตะกั่วที่เจือปนอยู่ในอากาศ (ศุภมาศ, 2540; คณาจารย์ภาควิชาปฏิวิทยา, 2541; อรอิงค์, 2551)

## 1.5 การแพร่กระจายของตะกั่วสู่สิ่งแวดล้อม

ตะกั่วสามารถแพร่กระจายสู่สิ่งแวดล้อมได้จากการพังทลายของเปลือกโลก และละลายลงสู่แหล่งน้ำ การนำตะกั่วมาใช้ประโยชน์อย่างแพร่หลาย มีผลทำให้ตะกั่วมีโอกาสสูญเสีย และเจือปนในสิ่งแวดล้อม ได้เป็นจำนวนมาก รวมทั้งสะสมในสิ่งมีชีวิต ได้ด้วย และยังมีการนำตะกั่วมาผสมในน้ำมันตั้งแต่ปี ค.ศ. 1925 จึงทำให้ตะกั่วมีการเจือปนในสิ่งแวดล้อมรวดเร็วขึ้น ไม่ว่าจะเป็นการแพร่กระจายไปตามบรรยายกาศ แหล่งน้ำ พื้นดินหรือในเนื้อเยื่อของสิ่งมีชีวิต (บาร์, 2530) โดยการปนเปื้อนตะกั่วในสภาพแวดล้อมเกิดได้จากทั้งที่เป็นการปนเปื้อนจากสภาพเหตุการณ์ ธรรมชาติ เช่น ภูเขาไฟระเบิด และที่สำคัญจากการกิจกรรมของมนุษย์ เช่น จากการถลุงแร่ และน้ำทึ้งจากโรงงานอุตสาหกรรม และจากไอเสียรถยนต์ โดยคันพิษเป็นแหล่งแพร่กระจายตะกั่วที่สำคัญ ซึ่งตะกั่วที่เป็นสารมลพิษจากควันโรงงานส่วนใหญ่จะอยู่ในรูปตะกั่ว เช่น PbS, PbO, PbSO<sub>4</sub> และ PbO·PbSO<sub>4</sub> รวมทั้งการใช้ดินเป็นแหล่งทิ้งกากตะกอนน้ำโสโครก (sewage sludge) และอินทรีย์วัสดุเหลือใช้ (organic waste) ต่างๆ เช่นมูลสัตว์ สารประกอบทางเคมี เช่น สารกำจัดศัตรูพืช และวัสดุเหลือใช้จากครัวเรือน (domestic waste) ที่มีการใช้สารตะกั่วเป็นวัตถุคุณในผลิตภัณฑ์ โดยบริเวณที่พบบริเวณการสะสมตะกั่วมากในดิน ที่พบการสะสมตะกั่วมากในแหล่งน้ำและในดินตะกอนในบริเวณเดียวกันมากตามไปด้วย (ศุภมาศ, 2540; เบญจลักษณ์, 2546)

## 1.6 ผลกระทบของตะกั่wtomnuy

พิษของตะกั่วสามารถก่อให้เกิดต่อมนุษย์นั้นสามารถจำแนกได้ตามลักษณะความรุนแรงของการทิ้งพิษได้ 2 รูปแบบ ได้แก่

### 1.6.1 พิษเฉียบพลัน

โดยมีอาการสำคัญที่พิษ คือ อาการของโรคเนื้อสมองเสื่อมเฉียบพลันมักเกิดเมื่อระดับตะกั่วในเลือดสูงเกิน 120 ไมโครกรัมต่อลิตร และมักพบในเด็กอายุต่ำกว่า 3 ปี โดยอาการอาจเริ่มด้วยชักและหมดสติหรือมีอาการอื้นร่วม เช่น เมื่ออาหาร ซึ่ด กระบวนการหายใจ ซึ่งกระสับกระส่าย อาเจียน มีอาการทั้งหมดโดยการแพ้พูด ซึ่งอาการจะมากขึ้นเรื่อยๆ ใน 3-6 สัปดาห์ จากนั้นจึงมีอาการของโรคสมองเสื่อมตามมาใน 2-5 วัน เริ่มด้วยอาการเดินเซ อาเจียน ซึ่งหมดสติและชัก แต่จะไม่พบอาการปลายประสาทเสื่อม (สารานุกรมไทยสำหรับเยาวชน, 2552)

### 1.6.2 พิยเรื้อรัง โดยแสดงอาการต่อระบบต่างๆ ได้แก่

(1) ผลกระทบต่อระบบประสาทส่วนกลาง ระบบประสาทสมอง และกล้ามเนื้อ

มีอาการสำคัญที่พบ คือ สมองเสื่อมจากพิษตะกั่ว มีอาการหุดหจิจ่าย กระวนกระวาย ซึ่ง เวียนศีรษะ เดินเซหกล้มง่าย นอนไม่หลับ ความจำเสื่อม และบุคลิกภาพเปลี่ยน แปลงซึ่งในรายที่พบรุนแรงอาจมีอาการสั่นเวลาเคลื่อนไหว ชัก หมดสติ และเสียชีวิตได้ โดยผู้ป่วย ที่มีอาการทางระบบประสาทส่วนกลางจะมีอัตราการตายประมาณ 1 ใน 4 ของผู้ป่วยทั้งหมด (Gosselin *et al.*, 1984; Hardman *et al.*, 1996) รวมทั้งพบอาการปวดตามกล้ามเนื้อและข้อต่างๆ ใน กล้ามเนื้อที่ใช้บ่อยมักมีอาการอ่อนแรงหรือเป็นอัมพาต (IPCS, 1995)

(2) ผลกระทบต่อระบบทางเดินอาหารและระบบขับถ่าย

มีอาการเบื่ออาหาร คลื่นไส้อาเจียน โดยเริ่มแรกมักมีอาการท้องผูก แต่บาง รายอาจมีอาการท้องเดิน น้ำหนักลด รู้สึกลึ้นรับรู้ของโลหะ ซึ่งเมื่อภาวะเป็นพิษเพิ่มมากขึ้น กล้ามเนื้อหน้าท้องบีบเกร็ง และกดเจ็บ ทำให้มีอาการปวดท้องอย่างรุนแรงที่เรียกว่า โรคโคลิก (colic diseased) นอกจากนี้อาจตรวจพบเส้นสีนำเงินปนดำที่เหงือก ซึ่งเกิดจากปฏิกิริยาระหว่าง ไอโอดีนซัลไฟฟ์ของแบคทีเรียในช่องปากกับตะกั่ว โดยอาจพบอาการได้ถึง 8 ใน 10 ของผู้ป่วย ทั้งหมดที่ได้รับตะกั่วสารมาก รวมทั้งอาจเกิดภาวะ トイวายเรื้อรังเนื่องจากตะกั่วมีผลต่อการ เปลี่ยนแปลงรูปร่างและหน้าที่ของไต โดยทำให้เซลล์ที่บุส่วนต้นของท่อภายในไตเกิดสารประกอบ ของตะกั่วกับโปรตีนซึ่งมีผลต่อกระบวนการสร้างพลังงานของไต รวมทั้งยังทำให้อุจจาระมีสีดำ (ไมตรี, 2531; สารานุกรมไทยสำหรับเยาวชน, 2552)

### (3) ผลกระทบต่อระบบโลหิต

โดยตระกั่วมีผลต่อระบบโลหิตหลายประการที่สำคัญคือ ทำให้เกิดภาวะโลหิตจางเนื่องจากตะกั่ว (lead-induced anemia) ซึ่งมีสาเหตุจากอายุของเม็ดเลือดแดงลดลง อันเกิดจากลักษณะของเยื่อหุ้มเซลล์ของเม็ดเลือดแดงมีความเปละบางมากขึ้น ซึ่งโดยทั่วๆ ไปจะมีลักษณะซีดจากการขาดธาตุเหล็กเนื่องจากตะกั่วจะเข้าไปยับยั้งเหล็กในกระบวนการสังเคราะห์เม็ดในไขกระดูก โดยเข้าไปยับยั้งเหล็กในรูปเปอร์เซ็นต์ ( $Fe^{2+}$ ) และเอนไซม์ในกระบวนการสังเคราะห์เม็ดรวมทั้งการสร้างเม็ดโลหิตในไขกระดูก (กรมควบคุมมลพิษ, 2547; สารานุกรมไทยสำหรับเยาวชน, 2552)

### (4) ผลกระทบต่อระบบโครงสร้าง ระบบสืบพันธุ์ และพฤติกรรม

โดยปกติจะก่อให้เกิดภาวะโลหิตจางซึ่งถ้าร่างกายขาดแคลนเชิงมีผลจะทำให้ร่างกายดึงแคลนเชิงมีผลจากกระดูกมาใช้เป็นผลให้ตะกั่กลับเข้าสู่กระดูกแล้วแล้วด้วย (สารานุกรมไทยสำหรับเยาวชน, 2552) โดยผู้ที่ได้รับตะกั่วติดต่อกันเป็นเวลานาน อาจพบอาการเป็นหมันได้ทั้งชายและหญิง โดยเพศชายจะมีจำนวนเชื้อสุนน้อยอ่อนแอก และมีลักษณะผิดปกติ (Chowdhury *et al.*, 1986) ส่วนเพศหญิงจะมีความผิดปกติของประจำเดือน รังไข่ทำงานผิดปกติ และการเกิดอาการแท้งรวมทั้งมีความเสี่ยงต่อการคลอดก่อนกำหนด (IPCS, 1995) รวมทั้งจากการรายงานของ กรมควบคุมมลพิษ (2547) ที่อ้างผลการศึกษาของ Zenz *et al.* (1994) จากผลการศึกษาในคนงานที่สัมผัสกับตะกั่วในสถานที่ทำงาน และมีความเข้มข้นของตะกั่วในเลือดต่ำกว่า 80 ไมโครกรัมต่อลิตร 100 มิลลิลิตร พบร่วมกับการสัมผัสกับตะกั่วเป็นเวลานาน ทำให้คนงานมีพฤติกรรมหลากหลาย เช่น หลุดหลีก เหนื่อยง่าย นอนหลับได้ยากง่ายดายขณะตื่น หายใจลำบาก และไม่สนใจกิจกรรมบันเทิงตามว่างซึ่งเป็นผลมาจากการสั่นกลางที่ส่งผลต่อพฤติกรรม

## 2. เทคนิคการบำบัดโดยใช้พืช (phytoremediation)

### 2.1 คำจำกัดความของการบำบัดโดยใช้พืช

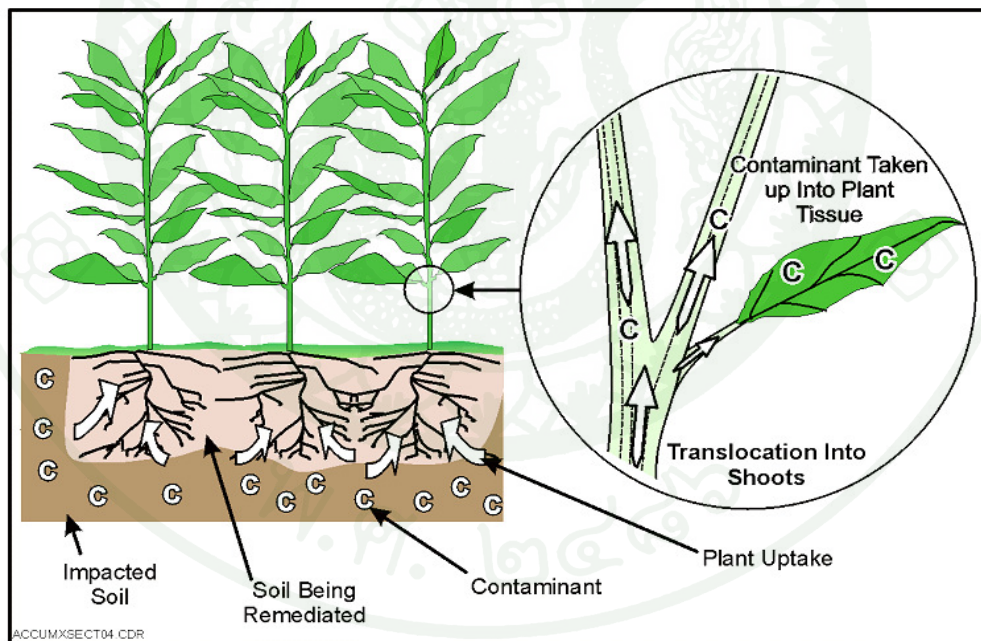
การบำบัดโดยใช้พืช (phytoremediation) มาจากกราฟฟ์ท์คำว่า phyto ในภาษากรีก ที่หมายถึงพืช รวมกับคำว่า remediation ในภาษาลาตินที่หมายถึงการแก้ไขหรือการปิดเป้าสิ่งชั่วร้าย (Cunningham *et al.*, 1996) โดยเมื่อนำมาทั้งสองคำนี้มาร่วมกันนั้นจะหมายถึง การนำพืชมาใช้ในการบำบัดดิน โคลน ภาคตะกอน หรือน้ำ ที่เกิดการปนเปื้อนด้วยสารอินทรีย์ และสารอนินทรีย์

ซึ่งการบำบัดโดยใช้พืชนี้เริ่มเกิดขึ้นในปี ค.ศ. 1990 จากการทดลองที่พบคุณสมบัติของพืชบางชนิดในการบำบัดดินที่ปนเปื้อนจากอุตสาหกรรมการผลิตน้ำมันดิน (USEPA, 2000) ซึ่งการบำบัดโดยใช้พืชจัดเป็นวิธีการทางชีวภาพอีกวิธีหนึ่งที่อาศัยประโยชน์จากการดูดซึมน้ำ และการลำเลียงแร่ธาตุอาหารผ่านทางรากของพืช รวมทั้งกระบวนการขยายตัวออกทางใบของพืชต่อ การเปลี่ยนสารปนเปื้อนเหล่านั้นให้อยู่ในรูปที่ไม่มีความเป็นพิษหรือมีความเป็นพิษลดลง โดยกลไกเหล่านี้จะทำหน้าที่เปลี่ยนรูปของสารประกอบอินทรีย์อาทิ น้ำมัน และสารกำจัดศัตรูพืช หรือดูดใช้และสะสมธาตุ หรือสารอนินทรีย์ที่ก่อให้เกิดโทษ ได้แก่ โลหะหนักต่างๆ เช่น ตะกั่ว nickel แ砧เมียม และสังกะสี ไว้ในลำต้น ใบ และยอด ซึ่งสารประกอบหรือโลหะหนักเหล่านี้จะถูกกำจัดออกจากพื้นที่เมื่อมีการเก็บเกี่ยวพืชออกไป โดยวิธีการนี้มีข้อดีคือมีค่าใช้จ่ายน้อย สามารถปฏิบัติได้ง่าย ไม่เกิดการทำลายทรัพยากรหน้าดิน และช่วยป้องกันการกระจายของโลหะหนักหรือสารมลพิษต่างๆ ที่อยู่ในดิน (บัญชาการ, 2548; พันธุ์วงศ์, 2552) รวมทั้งสามารถนำพืชภายหลังการบำบัดไปใช้ในจัดการหรือนำไปใช้ประโยชน์ต่อไปได้ (Kobayashi *et al.*, 2005a, 2005b) โดยในบางครั้งอาจเรียกเทคโนโลยีในการบำบัดดังกล่าวได้ในหลายๆ ชื่อ อาทิเช่น botano-remediation, green remediation, phytotechnology หรือ phytoremediation technologies (McCutcheon and Schnoor, 2003)

## 2.2 วิธีการของกระบวนการบำบัดโดยใช้พืช

โดยในปัจจุบันองค์กรพิทักษ์สิ่งแวดล้อมของสหรัฐอเมริกา (USEPA) ได้กำหนดความหมายและชนิดของกระบวนการบำบัดโดยใช้พืช 6 วิธีการ (USEPA, 1993) ได้แก่

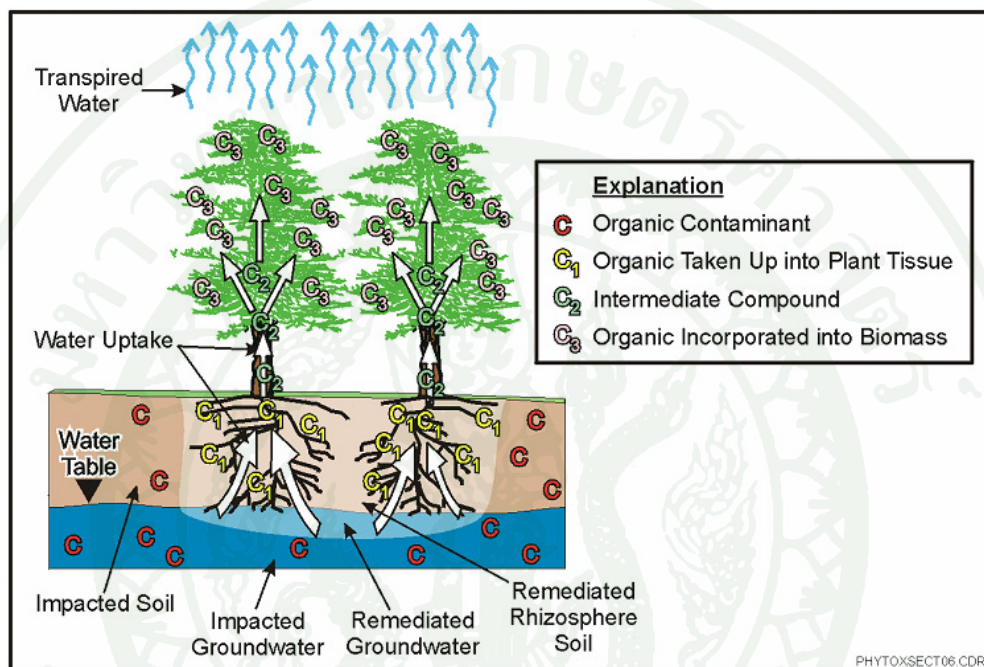
2.2.1 Phytoaccumulation (phytoextraction) เป็นกระบวนการบำบัดดินที่ป่นเปื้อนโดยใช้พืชที่มีความสามารถในการสะสมสารมลพิษต่างๆ ในรูปของโลหะหนัก ซึ่งพืชสามารถดูดใช้และเคลื่อนย้ายโลหะหนักในดินโดยรากของพืช รวมทั้งสามารถเคลื่อนย้ายและสะสมยังไปส่วนยอดของพืชได้ โดยพืชชนิดนี้จะต้องมีความสามารถในการทนต่อการสะสมโลหะหนักในระดับความเข้มข้นสูง อีกทั้งภายหลังจากที่พืชดูดใช้และสะสมสารพิษได้ในปริมาณที่เหมาะสมก็สามารถทำการเก็บเกี่ยวพืชชนิดดังกล่าวเพื่อนำไปจัดการต่อไปอย่างเหมาะสมต่อไปได้ (USEPA, 1993; Ensley, 2000; Pokaeo, 2008) ดังภาพที่ 1



ภาพที่ 1 กระบวนการ phytoaccumulation

ที่มา: ITRC (2001)

2.2.2 Phytodegradation (phytoremediation) เป็นกระบวนการนำบัดดินที่ปนเปื้อนโดยใช้พืชที่มีความสามารถในการคุ้มสารมลพิษต่างๆ ในรูปของสารอินทรีย์ แล้วทำการเปลี่ยนรูปสารมลพิษเหล่านี้ให้อยู่ในรูปที่เป็นประโยชน์ต่อสิ่งแวดล้อม หรือเปลี่ยนรูปให้อยู่ในรูปที่มีความเป็นพิษลดลง (USEPA, 1993; Cunningham *et al.*, 1996; Macek *et al.*, 2000) ดังภาพที่ 2

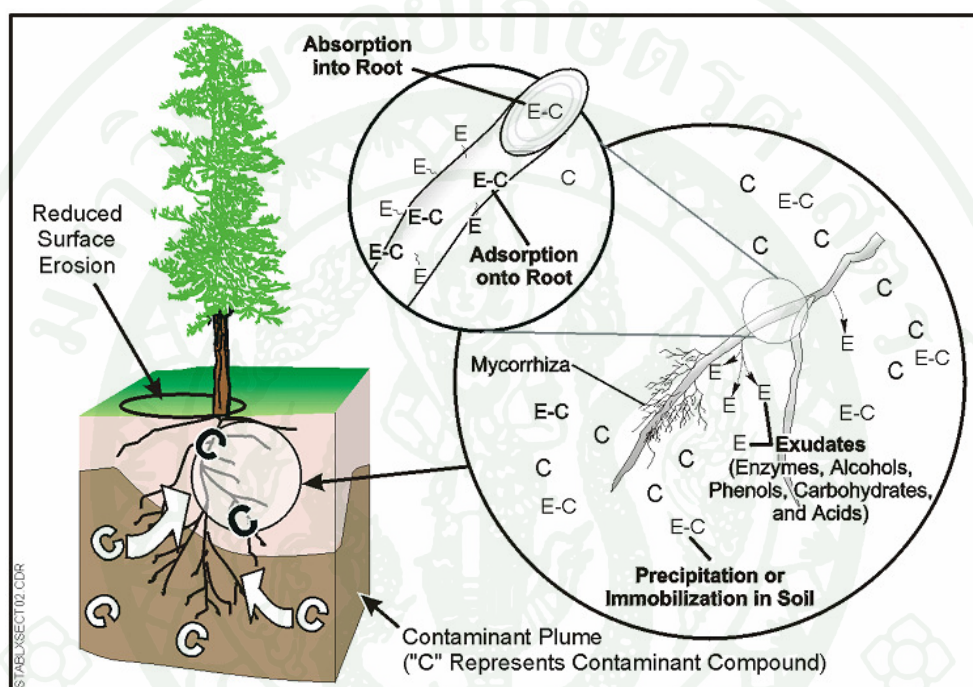


ภาพที่ 2 กระบวนการ phytodegradation

ที่มา: ITRC (2001)

2.2.3 Phytostabilization เป็นกระบวนการนำบัดดินที่ปนเปื้อนโดยใช้พืชที่มีความสามารถในการควบคุมหรือลดการเคลื่อนข่ายของสารมลพิษที่ปนเปื้อนในดินและน้ำได้ดี ทั้งในรูปของสารอินทรีย์ และโลหะหนักด้วยการตringeและยึดไว้ที่ราก โดยการของพืชจะยึดและตรึงสารมลพิษไว้ที่ผิว根พืช ทำให้สารปนเปื้อนต่างๆ ภายในดินมีการเปลี่ยนรูปไปอยู่ในรูปที่มีความเสถียร เกิดการตกตะกอน โดยกระบวนการดังกล่าวจะสามารถลดการเคลื่อนย้ายสารปนเปื้อนที่เป็นพิษต่างๆ ภายในดิน และขัดขวางการเคลื่อนย้ายสารปนเปื้อนลงไประดับน้ำได้ดี หรือในอากาศให้มีการเคลื่อนย้ายลดลง โดยจะต้องมีการควบคุมการระดับน้ำและไม่มีการพังทลายของดินซึ่งในกระบวนการ phytostabilization อาจแบ่งย่อยออกเป็น (1) humification เป็นกระบวนการที่สาร

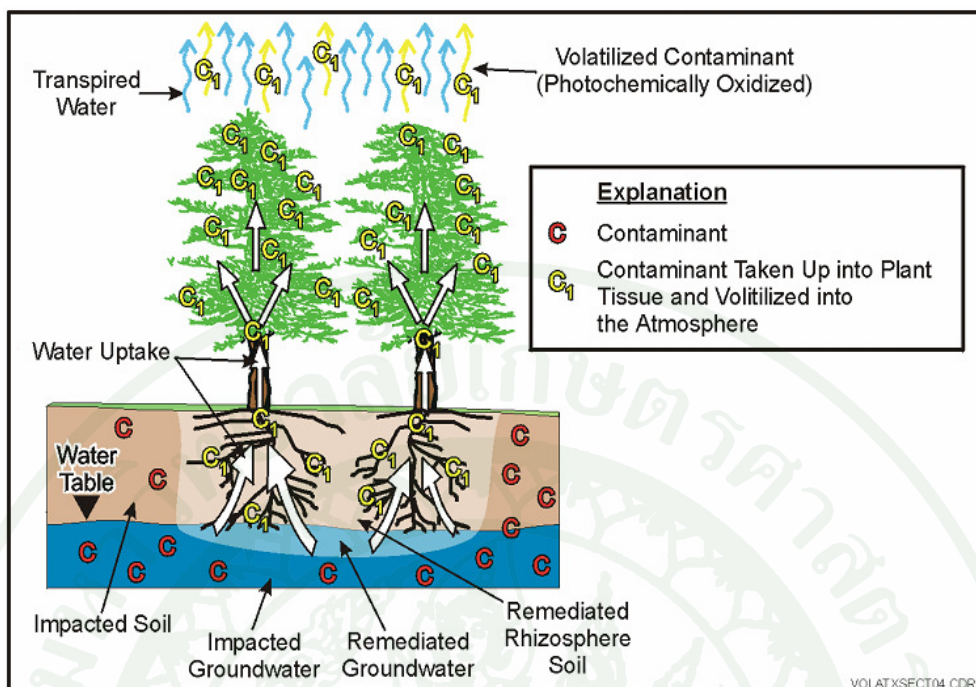
ปนเปื้อนเกิดการรวมตัวกันกับชิวมสภายในดิน ทำให้สารปนเปื้อนมีความสามารถในการเคลื่อนย้าย (bioavailability) ที่ลดลง (2) lignification เป็นกระบวนการที่สารปนเปื้อนถูกจับไว้กับส่วนประกอบของผนังเซลล์พืชในสภาพที่ไม่สามารถหลุดออกໄไปได้ และ (3) irreversible binding เป็นกระบวนการที่สารมลพิษที่อยู่ในสภาพที่พืชไม่สามารถนำໄไปใช้ได้จริงเพรำะเกิดจากการรวมตัวเข้ากับดิน (พันธุ์วัศ, 2552; USEPA, 1993; Cunningham *et al.*, 1996; Schnoor, 2000) ดังภาพที่ 3



ภาพที่ 3 กระบวนการ phytostabilization

ที่มา: ITRC (2001)

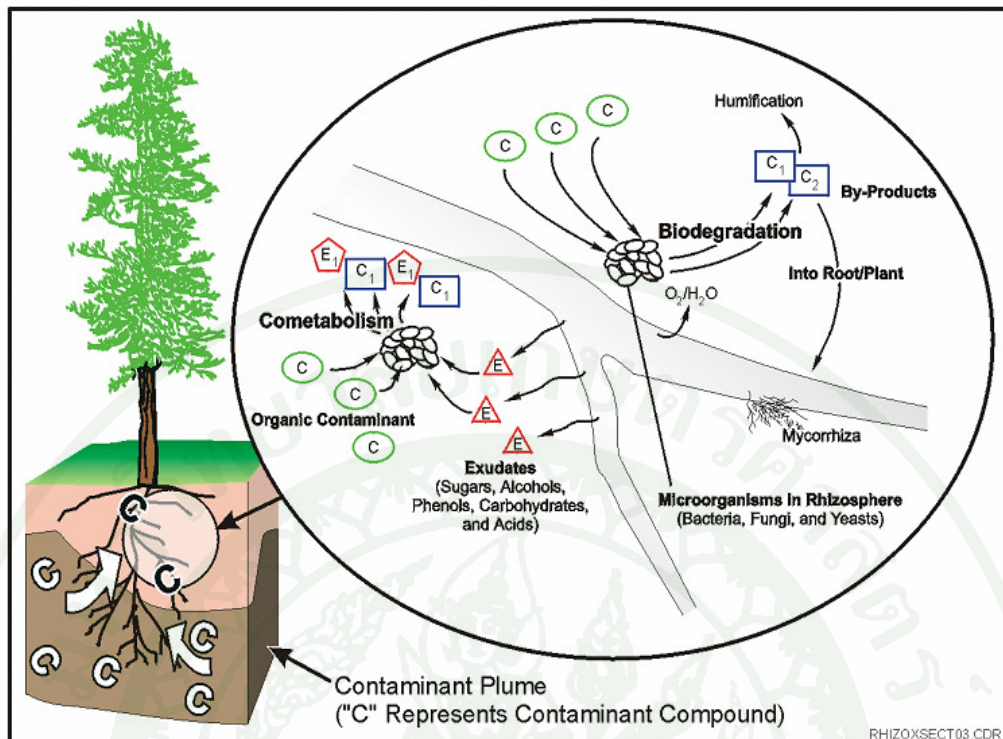
2.2.4 Phytovolatilization เป็นกระบวนการบำบัดดินที่ปนเปื้อนโดยใช้พืชที่มีความสามารถในการเป็นสื่อช่วยในการเคลื่อนย้ายสารมลพิษที่มีอยู่ในดินหรือในน้ำໄไปสู่อากาศ โดยกระบวนการนี้เกิดขึ้นตามกระบวนการเจริญเติบโตของพืชยืนต้นและพืชชนิดอื่นๆ ที่มีการดูดใช้และสะสมน้ำที่มีสารอินทรีย์ และ โลหะหนักเมื่อเข้าสู่ต้นพืช ซึ่งการระเหยของสารปนเปื้อนภายหลังจากการดูดใช้และสะสมอาจเกิดบริเวณส่วนยอดของพืช ส่วนราก และบริเวณพื้นผิวดิน โดยการทำงานร่วมกันกับจุลินทรีย์ภายในดินเพื่อเสริมอัตราการระเหยของสารมลพิษ (USEPA, 1993; Cunningham *et al.*, 1996; McCutcheon and Schnoor, 2003) ดังภาพที่ 4



ภาพที่ 4 กระบวนการ phytovolatilization

ที่มา: ITRC (2001)

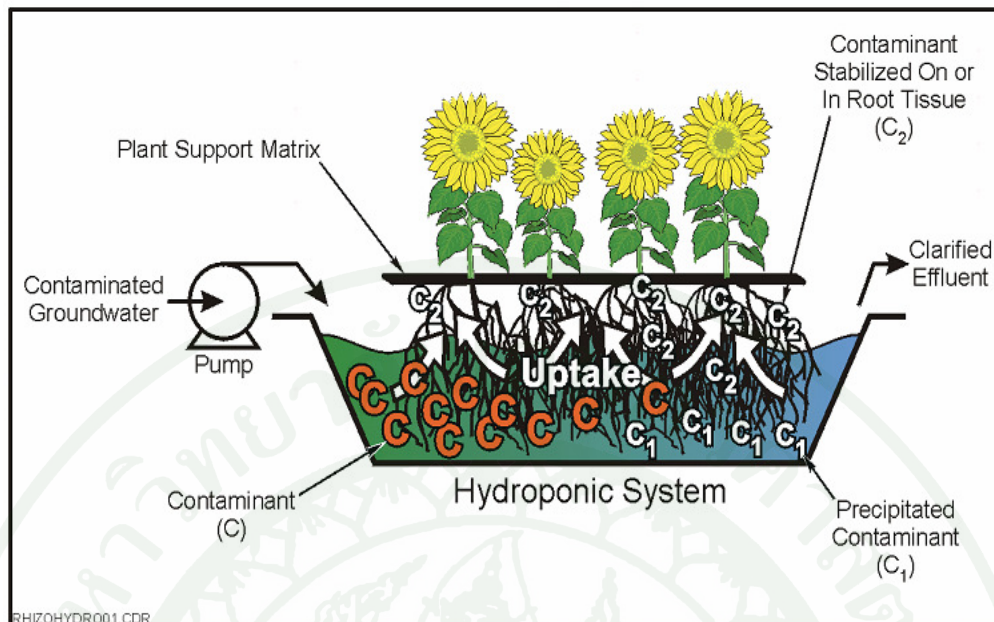
2.2.5 Rhizodegradation (phytostimulation; rhizosphere biodegradation; enhanced rhizosphere biodegradation) เป็นกระบวนการบำบัดดินที่ป่นเปื้อนโดยใช้กิจกรรมของจุลินทรีย์ที่อาศัยอยู่โดยรอบรากของพืช ซึ่งสามารถใช้หรือย่อยสลายสารมลพิษในรูปของสารอินทรีย์เป็นอาหาร รวมทั้งปลดปล่อยสารบางชนิดภายในตัวของจุลินทรีย์ เพื่อทำลายสารมลพิษที่เกิดการป่นเปื้อนรอบๆ บริเวณรากของพืชที่จุลินทรีย์อาศัยอยู่ (USEPA, 1993; Cunningham *et al.*, 1996; Pokaeo, 2008) ดังภาพที่ 5



ภาพที่ 5 กระบวนการ rhizodegradation

ที่มา: ITRC (2001)

2.2.6 Rhizofiltration เป็นกระบวนการนำบัดสารมลพิษที่เกิดการปนเปื้อนในดินหรือในน้ำ โดยใช้พืชที่มีความสามารถในการกรอง ดูดซับ และรับเอาสารมลพิษต่างๆ ทั้งสารอินทรีย์และโลหะหนักที่อยู่ในรูปของสารละลายรอบๆ บริเวณรากให้เข้าไปในรากของพืชได้ ซึ่งพืชที่มีคุณสมบัติดังกล่าวจะ จะต้องมีความเหมาะสมในการนำไปใช้กำจัดสารมลพิษต่างๆ ในแหล่งน้ำหรือในดินที่มีความชุ่มของน้ำหรือในระบบการผลิตพืชไฮโดรปอนิกส์ (hydroponics) (พันธุ์วงศ์, 2552; USEPA, 1993) ดังภาพที่ 6



## ภาพที่ 6 กระบวนการ rhizofiltration

ที่มา: ITRC (2001)

### 2.3 ปัจจัยที่มีผลต่อการคุณใช้และสะสมโลหะหนักโดยพืช

โดยจากการศึกษาของ บัญชาการ (2548) พบว่าปัจจัยที่มีผลต่อการคุณใช้และสะสมโลหะหนักโดยพืชจะมากหรือน้อยนั้นขึ้นอยู่กับ 6 ปัจจัยหลัก ดังนี้

2.3.1 ชนิดของโลหะหนัก โดยชนิดของโลหะหนักมีส่วนสำคัญมาก ซึ่งในการที่พืชจะคุณใช้และสะสมโลหะหนักเหล่านี้ออกจากคินเนื่องจากพืชนั้นมีความสามารถในการคุณใช้และสะสมโลหะหนักในแต่ละชนิดได้ไม่เท่ากัน กล่าวคือพืชจะคุณใช้และสะสมโลหะหนักชนิดที่พืชสามารถนำไปใช้ประโยชน์ได้มากกว่าโลหะหนักชนิดที่ส่งผลเป็นพิษเพียงอย่างเดียว

2.3.2 รูปทางเคมีของโลหะหนัก โดยการคุณใช้และสะสมโลหะหนักโดยพืชนั้น ส่วนใหญ่โลหะหนักที่อยู่ในรูปเกลืออนินทรีย์ (inorganic salt) ที่ละลายน้ำแล้วนั้นพืชจะสามารถคุณใช้และสะสมเข้าไปได้มากกว่าโลหะหนักที่อยู่ในรูปสารประกอบอินทรีย์ (organic compound)

2.3.3 ชนิดของพีช โดยพีชแต่ละชนิดที่มีลักษณะทางสรีริวิทยาที่ต่างกันย่อมส่งผลให้ความสามารถในการดูดใช้และสะสมโลหะหนักของพีชแต่ละชนิดแตกต่างกัน

#### 2.3.4 สมบัติและองค์ประกอบบางอย่างของดิน อาทิ

(1) เนื้อดิน โดยเนื้อดินที่แตกต่างกันมีผลต่อความสามารถในการเข้าถึงของรากพีช ส่งผลให้เกิดการดูดใช้และสะสมโลหะหนักได้ต่างกัน

(2) ความสามารถในการอุ้มน้ำ การที่ดินสามารถอุ้มน้ำไว้ได้มากจะสามารถทำให้โลหะหนักอยู่ในรูปที่ง่ายต่อการดูดใช้ และพีชก็สามารถดูดใช้และสะสมได้มากขึ้นเช่นกัน

(3) ความสามารถในการดูดจับโลหะหนัก โดยดินดูดจับกับโลหะหนักไว้อย่างแน่นหนาโอกาสที่พีชจะดูดใช้และสะสมไปได้ย่อมลดลงไปด้วย ดังนั้นจึงนักพบว่าพีชจะสามารถดูดใช้และสะสมโลหะหนักในดินทรายได้ดีกว่าในดินเหนียวอยู่เสมอ

2.3.5 สิ่งต่างๆ ที่เติมลงไปในดิน โดยสิ่งที่เติมเข้าไปในดินนี้จะส่งผลต่อประสิทธิภาพในการดูดใช้และสะสมโลหะหนักในพีชมาก เนื่องจากสิ่งที่เติมเข้าไปนั้นอาจทำให้เกิดการเปลี่ยนแปลงรูปของโลหะหนัก และสารอาหารของพีชในดิน ทำให้พีชมีความสามารถในการดูดใช้และสะสมโลหะหนักที่ปานเปี้ยนที่เกิดการเปลี่ยนแปลงไปจากเดิม อาทิ สารประกอบจำพวก EDTA (ethylene-diamine-tetracetic acid), HEDTA (hydroxyl-ethylene-diamine tetracetic acid), DTPA (diethylene-triaminepentaacetic acid) และปูยหมัก เป็นต้น

#### 2.3.6 สภาพแวดล้อมอื่นๆ อาทิ

(1) อุณหภูมิ โดยอุณหภูมิมีผลต่อพีชมาก เนื่องจากเมื่ออุณหภูมิสูงขึ้นพีชจะดูดใช้และสะสมแคดเมียม (Cd) สังกะสี (Zn) แมงกานีส (Mn) และเหล็ก (Fe) จากดินสูงมากขึ้น

(2) ช่วงวัน โดยช่วงวันมีผลต่อการดูดใช้และสะสมโลหะหนักของพีชเช่นกัน โดยที่ช่วงวันที่ยาวกว่าพีชจะมีโอกาสในการสังเคราะห์แสงมากขึ้น ส่งผลให้โอกาสที่พีชจะดูดใช้และสะสมโลหะหนักออกจากดินมีสูงขึ้น

(3) ปริมาณของแสง โดยปริมาณของแสงมีส่วนในการดูดใช้และสะสมโลหะหนักของพืช เช่นกัน เนื่องจากแสงที่มีความเข้มที่เหมาะสมกับพืชจะส่งเสริมความสามารถในการสังเคราะห์แสง ทำให้การดูดใช้และสะสมโลหะหนักที่อยู่ในดินเพิ่มขึ้น

(4) ความชื้นของดิน โดยความชื้นในดินมีส่วนที่พืชจะดูดใช้และสะสมโลหะหนักไปจากดิน โดยจะพิจารณาจากการออส莫ซิส (osmosis) ซึ่งต้องมีความเหมาะสมของความชื้นในดินและพืชสามารถดูดซับสารต่างๆ ออกจากดิน

(5) ความชื้นในอากาศ โดยความชื้นในอากาศจะส่งผลต่อการดูดใช้และสะสมโลหะหนักในดิน เช่นกัน เนื่องจากความชื้นในอากาศมีผลต่อการคายน้ำของพืช ถ้าพืชคายน้ำออกมาก ได้น้อย แรงดึงที่รากจะต่ำทำให้พืชดูดดึงสารต่างๆ ในดินได้น้อยลง

#### 2.4 พืชที่มีลักษณะเหมาะสมในการนำบัดโลหะหนัก

ความสามารถในการดูดใช้และสะสมโลหะหนักในพืชขึ้นกับชนิดของพืช ซึ่งพืชแต่ละชนิดที่มีลักษณะสรีรวิทยาที่ต่างกันย่อมส่งผลให้ความสามารถของพืชในการดูดใช้และสะสมโลหะหนักของพืชแต่ละชนิดแตกต่างกัน (พันธุ์วงศ์, 2552) โดยการพิจารณาเชิงชนิดพืชเพื่อนำมาใช้ในการนำบัดโลหะหนักแต่ละชนิดนั้นจึงต้องมีการเลือกใช้พืชที่มีลักษณะเหมาะสมที่ใช้ในการนำบัดได้แก่ (1) มีอัตราการเจริญเติบโตที่รวดเร็ว (2) มีมวลทางชีวภาพที่สูง (3) มีการแพร่กระจายของรากเป็นบริเวณกว้าง (4) ง่ายต่อการเก็บเกี่ยวภายหลังจากการนำบัด และ (5) มีความสามารถต่อความเป็นกรด ของโลหะหนักและมีปริมาณการดูดใช้และสะสมโลหะหนักในส่วนเหนือดินในปริมาณสูง (Clemens *et al.*, 2002) รวมทั้งจะต้องมีคุณสมบัติในการดูดใช้และสะสมโลหะหนักได้ในระดับสูง (hyperaccumulator) โดยหมายถึงพืชที่มีความสามารถในการสะสมโลหะหนักไว้ในปริมาณที่มากจนผิดปกติ (พันธุ์วงศ์, 2552) ซึ่งจากผลการศึกษาของ Cunningham *et al.* (1996); Wei *et al.* (2009) พบว่าพืชที่มีคุณสมบัติเป็น hyperaccumulator นั้นจะต้องมีลักษณะทั่วไปที่ต้องเข้าเกณฑ์เกินกึ่งหนึ่ง (2 ใน 3 หรือ 3 ใน 4 ข้อ) เป็นอย่างต่ำ ตามลำดับดังนี้

(1) พืชชนิดนี้จะต้องมีความสามารถในการดูดใช้และสะสมโลหะหนักได้ในปริมาณมาก โดยต้องพบปริมาณการสะสมในเนื้อเยื่อของส่วนเห็นอุดินที่ต้องมีค่ามากกว่าร้อยละ 0.0001 โดยน้ำหนักแห้ง (w/w) (1 มิลลิกรัมต่อกิโลกรัมในน้ำหนักแห้ง) ของทองคำ (Au) หรือมากกว่าร้อยละ 0.01 โดยน้ำหนักแห้ง (w/w) (100 มิลลิกรัมต่อกิโลกรัมในน้ำหนักแห้ง) ของแคดเมียม (Cd) หรือมากกว่าร้อยละ 0.1 โดยน้ำหนักแห้ง (w/w) (1,000 มิลลิกรัมต่อกิโลกรัมในน้ำหนักแห้ง) ของโคบัลต์ (Co) โครเมียม (Cr) ทองแดง (Cu) ตะกั่ว (Pb) นิกเกิล (Ni) และสารอนุ (As) หรือมากกว่าร้อยละ 1 โดยน้ำหนักแห้ง (w/w) (10,000 มิลลิกรัมต่อกิโลกรัมในน้ำหนักแห้ง) ของแมงกานีส (Mn) และสังกะสี (Zn) (Baker and Brooks, 1989; Baker *et al.*, 1994, 2000; Srivastava *et al.*, 2006)

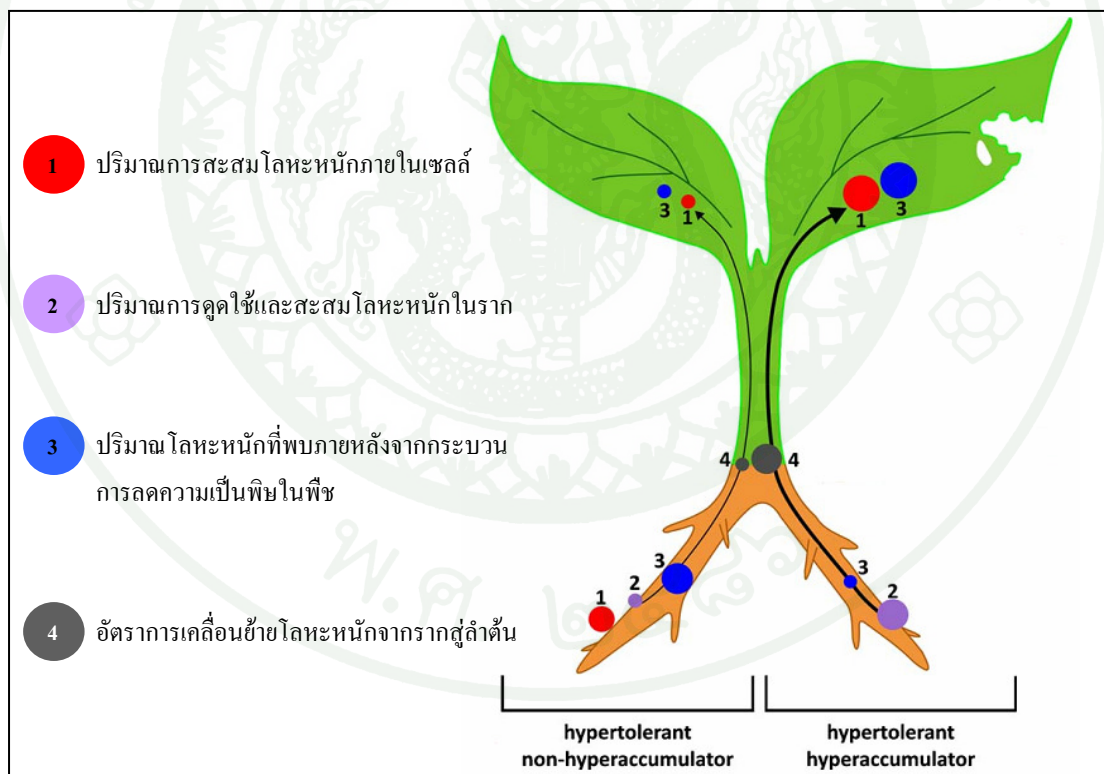
(2) พืชชนิดนี้จะต้องมีอัตราส่วนของปริมาณโลหะหนักในส่วนเห็นอุดินเทียบกับปริมาณโลหะหนักในส่วนใต้ดินภายหลังการนำบัดมากกว่า 1 (translocation factor; TF > 1) (Mattina *et al.*, 2003)

(3) พืชชนิดนี้จะต้องมีอัตราส่วนของปริมาณโลหะหนักในส่วนเห็นอุดินภายหลังการนำบัดเทียบกับปริมาณความเข้มข้นของโลหะหนักที่สกัดได้ในดินภายหลังการนำบัดมีค่ามากกว่า 1 (bioaccumulation factor; BAF หรือ enrichment coefficient; R > 1) (Deram *et al.*, 2006; Khan *et al.*, 2006; Branquinho *et al.*, 2007)

(4) พืชชนิดนี้จะต้องมีอัตราส่วนของความเข้มข้นของโลหะหนักในส่วนเห็นอุดินภายหลังการนำบัดเทียบกับความเข้มข้นของตะกั่วในส่วนเห็นอุดินของพืชเดียวกันที่ปลูกในดินที่ไม่ปนเปื้อน (C/NC ratio) ต้องมีค่าอยู่ในช่วง 10-500 เท่า (Shen and Liu, 1998)

## 2.5 กลไกการทนต่อโลหะหนักของพืช

พืชที่มีคุณสมบัติในการบำบัดนิทีปนเปี้ยน โดยเฉพาะพืชที่มีความสามารถในการดูดใช้และสะสมโลหะหนักที่ปนเปี้ยนในดินนอกจากจะต้องมีคุณสมบัติในการดูดใช้และสะสมโลหะหนักในเนื้อเยื่อพืชได้ในปริมาณที่สูง และมีความสามารถในการเคลื่อนย้ายโลหะหนักจากรากสู่ลำต้นในอัตราที่สูงดังที่ได้กล่าวมาแล้วในหัวข้อ 2.4 ยังต้องมีคุณสมบัติที่สำคัญอื่นๆ อันได้แก่ความสามารถในการทนต่อความเข้มข้นของโลหะหนักที่เกิดการปนเปี้ยนในดินได้ในปริมาณสูง และความสามารถในการลดความเป็นพิษภายหลังจากการดูดใช้และสะสมที่มีประสิทธิภาพ รวมถึงสามารถเริญเดินโตในพื้นที่ที่เกิดการปนเปี้ยนของโลหะหนักหลายชนิดได้ (ภาพที่ 7) ซึ่งพืชแต่ละชนิดมีความสามารถในการทนต่อโลหะหนักที่แตกต่างกันขึ้นอยู่กับกลไกทางชีวเคมีที่เกิดขึ้นในกระบวนการลดความเป็นพิษ หรือทำลายพิษในพืชแต่ละชนิด



ภาพที่ 7 ความสามารถต่อของพืชที่มีคุณสมบัติเป็น non-hyperaccumulator (ซ้าย) และพืชที่มีคุณสมบัติเป็น hyperaccumulator (ขวา)

ที่มา: ดัดแปลงจาก Rascio and Navari-Izzo (2011)

โดย ยงยุทธ (2543); Tomsett and Thurmann (1988) ได้อธิบายว่าพืชในแต่ละจีโนไทป์ (geotype) จะมีความแตกต่างด้านความทนทานต่อพิษของโลหะ ซึ่งพืชที่มีความทนทานสูงย่อมสามารถเจริญเติบโตได้ในดินที่มีการปนเปื้อนของโลหะหนักต่างๆ ได้มากกว่าปกติซึ่งกลไกที่มีส่วนช่วยให้พืชสามารถทน (tolerance) ต่อพิษของโลหะหนักของพืชมีอยู่ด้วยกัน 6 ประเภท โดยพืชในแต่ละชนิดอาจมีกลไกในการทนต่อพิษของโลหะหนักมากกว่าหนึ่งแบบ (ภาพที่ 8) ได้แก่

(1) การเกิดกลไกการควบคุมโลหะหนักให้อยู่ในผนังเซลล์ โดยกลไกนี้มีส่วนช่วยในการลดความเป็นพิษของโลหะหนักต่อพืชได้บ้าง แต่เนื่องจากประจุที่ใช้ดีดเหนี่ยวกับโลหะหนักโดยส่วนใหญ่มีอยู่จำกัดจึงสามารถดักจับโลหะหนักไว้ที่ผนังเซลล์ได้ระดับหนึ่งเท่านั้น (หมายเหตุ 1)

(2) การเกิดกลไกการคุดหรือขับโลหะหนักออกไป ซึ่งกลไกนี้มีบทบาทไม่มากนักในพืชชันสูง (หมายเหตุ 2)

(3) การเกิดกลไกการขับออก โดยใช้กระบวนการขับออกแบบแอกทีฟ (active efflux) (หมายเหตุ 3)

(4) การเกิดกลไกการรวมตัวของโลหะหนักกับอินทรีสารที่ไม่ละลาย หรืออินทรีสารที่ละลายน้ำได้แล้วกักเก็บให้อยู่เฉพาะบางบริเวณของเซลล์ ได้แก่ แวดคิวโอล (vacuole) ซึ่งกลไกในส่วนนี้มีความสำคัญมากในการลดความเป็นพิษของโลหะหนัก โดยอาศัยโปรตีนที่มีบทบาทโดยตรงในกลไกนี้คือ phytochelatins หรือ metallothioneins (หมายเหตุ 4)

(5) การเกิดกลไกในปฏิกิริยา chelation ระหว่างโลหะหนักกับอินทรีสารในบริเวณระหว่างผนังเซลล์ (cell wall) กับเยื่อหุ้มเซลล์ (cell membrane) (หมายเหตุ 5)

(6) การเกิดกลไกในปฏิกิริยา chelation ระหว่างโลหะหนัก กับอินทรีสารในไซโตพลาสซึม (cytoplasm) (หมายเหตุ 6)

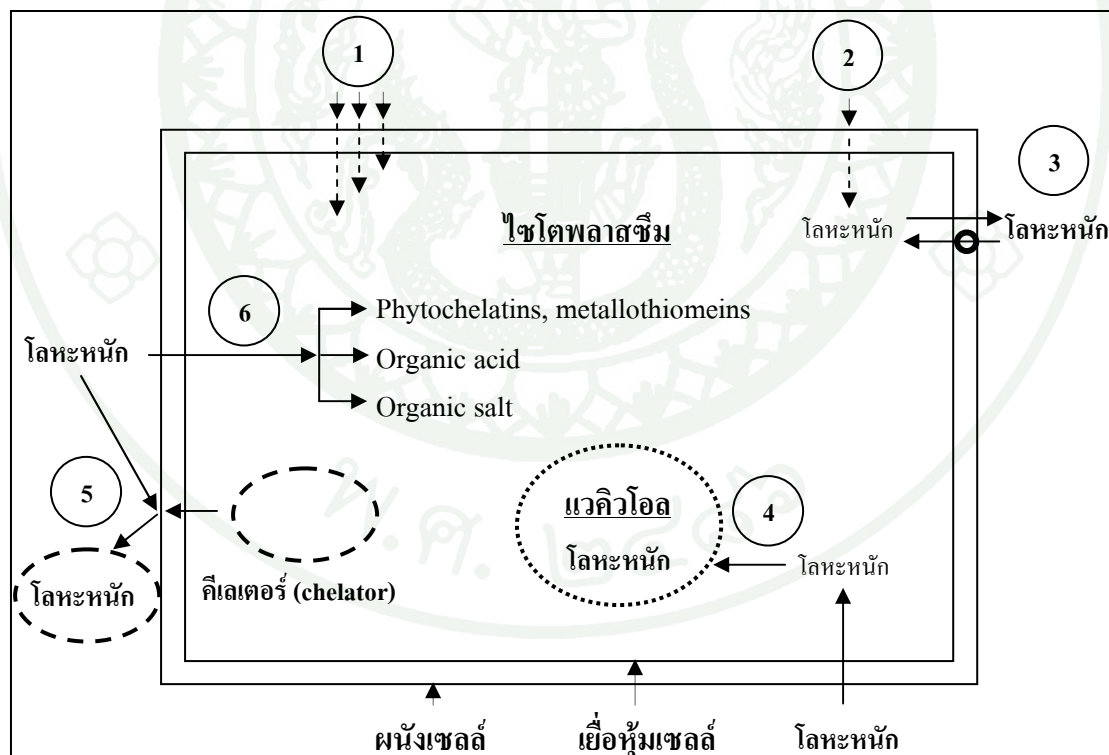
นอกจากนี้ บัญชาการ (2548); Medina *et al.* (2003) ได้แบ่งลักษณะการแสดงออกของพืชเพื่อลดความเป็นพิษของโลหะหนักในพืชไว้ 4 ประเภท ได้แก่

(1) Exclusion เป็นวิธีการที่พืชจะจดจำโลหะหนักนั้นๆ ซึ่งพืชจะทำการป้องกันและลดการดูดใช้และสะสมโลหะในชนิดนั้นๆ ให้น้อยลง

(2) Amelioration เป็นวิธีการที่พืชจะลดผลของการเป็นพิษจากการดูดใช้และสะสมโลหะหนักเข้าไปโดยวิธีการต่างๆ อาทิ การสร้างคีเลต (chelate) การแพร่ไปสู่เนื้อเยื่อบริเวณอื่น การย่อยสลาย การระเหย และเคลื่อนย้ายโลหะหนักเหล่านั้นออกสู่ภายนอก เป็นต้น

(3) Avoidance เป็นวิธีการที่พืชสร้างสารเคมีที่มีผลทางกายภาพบางอย่างออกมานี้เพื่อป้องกันไม่ให้พืชได้รับผลกระทบจากสภาพของความเป็นพิษของโลหะหนัก

(4) Evasion เป็นวิธีการที่พืชทำการเคลื่อนย้ายโลหะหนักไปสะสมยังบริเวณที่ก่อให้เกิดผลกระทบต่อด้านพืชในระดับต่ำ



ภาพที่ 8 กลไกทั้ง 6 ประเภทในการทนต่อโลหะหนักของพืช

ที่มา: ดัดแปลงจาก ยงยุทธ (2543)

### 3. สามสีอ

#### 3.1 ลักษณะทางอนุกรมวิธาน

จากการศึกษาของ Boonlert (2008) พบว่าสามสีอ่มีลักษณะทางอนุกรมวิธาน ดังนี้<sup>๙</sup>

Kingdom - Plantae

Subkingdom - Tracheobionta

Superdivision - Spermatophyta

Division - Magnoliophyta

Class - Magnoliopsida

Subclass - Asteridae

Order - Asterales

Family - Asteraceae

Genus - Chromolaena

Species - *Chromolaena odorata* L. King and H.E. Robins.

#### 3.2 ลักษณะทางพฤกษศาสตร์

สามสีอ่มีชื่อวิทยาศาสตร์ *Chromolaena odorata* L. King and H.E. Robins มีชื่อสามัญ Siam weed, Bitter bush, Baby tea, Cariaquillo, Santa María หรือ Fleurit-Noël จัดเป็นไม้ล้มลุก แตกกิ่งก้านสาขา มีลักษณะเป็นทรงพุ่ม มีลำต้นสูง 1-2 เมตร ใบมีขนาดเส้นผ่านศูนย์กลางยาว 2 เซนติเมตร ใบเดี่ยวออกจากลำต้นที่มีข้อแบบตรงกันข้าม ขอบใบหยัก ปลายใบแหลม ฐานใบกว้าง เส้นใบเห็นชัดเจน 3 เส้น เมื่อยืดจะมีกลิ่นของน้ำมัน โดยในสมัยโบราณมีความเชื่อว่ามีกลิ่นคล้าย กับกลิ่นสาบของเสือ ดอกเป็นช่อสีขาว ชมพูหรือฟ้าอมม่วง ประกอบด้วยดอกย่อย 15-25 ดอก โดยสามารถมีดอกได้เมื่อมีอายุต่ำกว่า 5 เดือน เมล็ดมีขนาดเล็กสีน้ำตาลหรือดำ ขนาด 4-6 มิลลิเมตร (ภาพที่ 9) (Boonlert, 2008) สามารถเจริญเติบโตได้ในหลายพื้นที่ เช่น ในป่าที่มีปริมาณน้ำฝนเฉลี่ย 1,500 มิลลิเมตรต่อปี ทุ่งหญ้าและพื้นที่แห้งแล้งที่มีปริมาณน้ำฝนเฉลี่ยน้อยกว่า 500 มิลลิเมตรต่อปี ในประเทศไทยในแถบเอเชียตะวันออกเฉียงใต้ อินเดีย ออสเตรเลีย และบางส่วนของประเทศไทยในทวีป แอฟริกาและอเมริกา (Wilson, 2006)



ภาพที่ 9 ลักษณะทางพฤกษศาสตร์ของสาบเสื้อ (*Chromolaena odorata*); (ก) ลักษณะโดยทั่วไป  
ของลำต้น (ข) ใบและยอด (ค) ดอก (ง) เมล็ด

ที่มา: ดัดแปลงจาก สถาบันวิจัยและพัฒนาพืชที่สูง (2554); USDA (2011)

### 3.3 คุณประโยชน์

จากการศึกษาของ Triratana *et al.* (1991) พบว่าใบของสารเสื่อที่มีมีรีสฟาร์ดหอมร้อน มีสรรพคุณใช้พอกบาดแผลเพื่อห้ามเลือดที่เกิดจากอุบัติเหตุ อาทิ แผลจากทากกัด และแผลจากแมลงกัดต่อย และจากการศึกษาของ Liogier (1990) พบว่าสารสกัดจากใบใช้เป็นน้ำยากลัวครองรักษายาการเจ็บคอกและอาการไข้ รวมทั้งจากการรายงานของ กรมส่งเสริมการเกษตร (2552) พบว่า ใบและต้นของสาบเสื่อสามารถใช้ในการควบคุมศัตรูพืช ได้แก่ หนอนกระทู้ผัก หนอนไข่ผัก ด้วงถั่วเขียว และมอดข้าวสาร ได้

### 3.4 คุณสมบัติของสาบเสื่อในการดูดใช้และสะสมโลหะหนัก

โดยจากการตรวจสอบสารที่เกี่ยวข้องพบศักยภาพของสาบเสื่อในการบำบัดโลหะหนัก นั้นพบว่าสาบเสื่อมีศักยภาพในการบำบัดโลหะหนักได้ในหลายชนิด อาทิ แคดเมียม (Cd) และ สังกะสี (Zn) (Boonlert, 2008) รวมถึงโลหะหนักชนิดอื่นๆ ได้แก่ ซีเซียม (Cs) (Singh *et al.*, 2009) และตะกั่ว (Pb) (Rotkittikhun *et al.*, 2006; Tanhan *et al.*, 2007) จากการสำรวจสาบเสื่อที่มีการแพร่กระจายในพื้นที่ การทดลองในระบบ hydroponics และการทดลองในสภาพควบคุมในโรงเรือน ทดลองพบว่าสาบเสื่อมีศักยภาพในการบำบัดโลหะหนักแต่ละชนิด ได้อย่างมีประสิทธิภาพ

โดยเฉพาะคุณสมบัติของสาบเสื่อในการบำบัดคินที่ปนเปื้อนตะกั่ว ซึ่งจากการศึกษาของ Rotkittikhun *et al.* (2006) พบการแพร่กระจายของพืชที่สามารถเจริญเติบโตได้ในพื้นที่เหมืองแร่ตะกั่ว ซึ่งมีการปนเปื้อนของตะกั่วในคินในระดับสูง ในเขตพื้นที่บ้านบ่อจาน อําเภอทองผาภูมิ จังหวัดกาญจนบุรี โดยพบว่าสาบเสื่อเป็นพืชที่มีความสามารถในการเจริญเติบโตและมีการแพร่กระจายสูงในพื้นที่จากการสำรวจพบว่าสาบเสื่อมีศักยภาพในการสะสมตะกั่วทั้งในส่วนเหนือคิน และในส่วนใต้คิน โดยพบปริมาณการดูดใช้และสะสมตะกั่วโดยเฉลี่ยที่ 3,730 และ 9,870 มิลลิกรัม ต่อกิโลกรัมในน้ำหนักแห้งตามลำดับ พบค่า TF และ BAF ที่ 0.37 และ 0.03 ตามลำดับ และพบค่า C/NC ratio โดยเฉลี่ยที่ 18.9 เท่า

สอดคล้องกับผลการศึกษาของ Tanhan *et al.* (2007) พบว่าสาบเสื่อมีความสามารถในการดูดใช้และสะสมแอดเมิร์น ตะกั่ว และสังกะสี ซึ่งในข้อมูลจากการสำรวจสาบเสื่อที่เจริญเติบโต ในพื้นที่เหมืองแร่ตะกั่วในเขตพื้นที่บ้านบ่อจาน อำเภอทองผาภูมิ จังหวัดกาญจนบุรี พบว่าสาบเสื่อที่เจริญเติบโตในพื้นที่เหมืองแร่ ณ จุดเก็บตัวอย่างในพื้นที่ลานแรร์ที่ 2 มีการสะสมตะกั่วสูงถึง 1,100.8 และ 652.6 มิลลิกรัมต่อกิโลกรัมในส่วนเหนือดินและส่วนใต้ดินตามลำดับ โดยพบค่า TF และ BAF ที่ 1.69 และ 0.52 ตามลำดับ และพบค่า C/NC ratio โดยเฉลี่ยที่ 28.9 เท่า อีกทั้งยังพบว่า สาบเสื่อมีความสามารถในการทนทานต่อระดับความเข้มข้นของตะกั่วในดินที่สูงถึง 100,000 มิลลิกรัมต่อกิโลกรัมได้ และจากการศึกษาความสามารถในการดูดใช้และสะสมโลหะหนักในระบบการนำบัดแบบไร้ดินพบว่าสาบเสื่อสามารถดูดใช้แอดเมิร์น ตะกั่ว และสังกะสีเพิ่มขึ้นเมื่อความเข้มข้นของโลหะเพิ่มขึ้น โดยที่ระดับความเข้มข้น 10 มิลลิกรัมต่อลิตรพบการสะสมตะกั่วสูงถึง 1,772.3 และ 60,655.7 มิลลิกรัมต่อกิโลกรัมในส่วนเหนือดิน และส่วนใต้ดินตามลำดับ แสดงให้เห็นว่าสาบเสื่อเป็นพืชที่มีความสามารถในการสะสมโลหะหนักในส่วนของต้นพืชได้ในปริมาณมาก (hyperaccumulator) โดยเฉพาะเข้าเกลนพืชที่มีสักษภาพในการนำบัดดินที่ปนเปื้อนตะกั่วในระดับสูง (lead hyperaccumulator)

#### 4. การศึกษาองค์ประกอบทางเคมีของพืชโดยวิธี steam explosion และ Wayman's method

##### 4.1 วิธี steam explosion method

###### 4.1.1 ประวัติความเป็นมาของวิธี steam explosion

จากการศึกษาของ พิชญา (2549); Asada *et al.* (2005) พบว่า steam explosion method หรือ เทคนิคการระเบิดด้วยไอน้ำ เกิดขึ้นมาเมื่อประมาณ 60 ปีมาแล้ว ซึ่งมีการนำเทคนิคนี้มาใช้เพื่อศึกษาองค์ประกอบทางเคมีของพืช โดยการแยกองค์ประกอบของวัสดุจำพวกไม้และวัสดุเชยเหลือทิ้งทำการเกษตร ซึ่งต่อมามีการศึกษาและปรับปรุงเทคนิคดังกล่าวจนสามารถออกแบบเครื่องมือที่ทำงานได้ทั้งในรูปของกระบวนการทำงานเป็นครั้ง (batch) และการทำงานอย่างต่อเนื่อง (continuous) และด้วยระยะเวลาในกระบวนการ steaming time ไม่เกิน 10 นาที ณ ที่ไอน้ำที่อุณหภูมิและความดันสูงจะสามารถสกัดแยก hemicellulose ออกจากส่วนประกอบของ cellulose และ lignin โดยอาศัยกระบวนการไฮโดรไลซีสค์วายน้ำ (hydrolysis) ที่มีอุณหภูมิและเวลาเป็นตัวเร่งปฏิกิริยา และต่อมาก็ทำการแยก cellulose ออกจาก lignin ภายหลังด้วยสารละลายเบสโซดาเดียมไฮดรอกไซด์

(NaOH) หรือกรดซัลฟิวริก ( $H_2SO_4$ ) ที่ความเข้มข้นร้อยละ 72 โดยปริมาตร (v/v) ดังนั้นเทคนิคนี้จึงช่วยในการแยกองค์ประกอบต่างๆ ของไม้ให้อยู่ในรูป hemicellulose, cellulose และ lignin ก่อนนำไปทำเป็นวัตถุคุณภาพเริ่มต้นสำหรับผลิตสารที่มีมูลค่าสูงต่อไป ซึ่งตัวแปรสำคัญของเทคนิคนี้ คือ อุณหภูมิของไอน้ำและระยะเวลาที่ใช้ในการระเบิด โดยเมื่อทำการรวมตัวแปรทั้งสองเข้าด้วยกันจะเรียกว่า ค่าแฟคเตอร์ของความรุนแรง (severity factor; Ro) โดยมีความสัมพันธ์ดังในสมการที่ 1 และ 2

$$Ro = \int_0^t \exp [-(T-100)/14.75] dt \quad (1)$$

$$\log Ro = \log \{ t \exp [-(T-100)/14.75] \} \quad (2)$$

โดยที่ Ro คือ ค่า severity factor

t คือ ระยะเวลาที่ใช้ในการ steam explosion (นาที)

T คือ อุณหภูมิของไอน้ำ (องศาเซลเซียส)

ปัจจุบันมักใช้ค่า Ro ที่ได้จากการคำนวณในสมการข้างต้นไปใช้ในการรายงานผลในส่วนของสภาพที่ใช้ในกระบวนการ steam explosion ของตัวอย่างพืชแต่ละชนิด หรืออาจจะระบุสภาพของระดับความดันและระยะเวลาที่ใช้กับตัวอย่างพืชแต่ละชนิดที่จำเพาะเจาะจงอย่างใดอย่างหนึ่งก็ได้

#### 4.1.2 ส่วนประกอบที่สำคัญของเครื่อง steam explosion (พิชญา, 2549)

โดยเครื่อง steam explosion (ภาพที่ 10) มีส่วนประกอบที่สำคัญดังนี้

หมายเลข 1 คือ ถังเก็บน้ำกลั่น (water tank) ทำหน้าที่เก็บน้ำกลั่นเพื่อส่งไปยังถังให้ความร้อน

หมายเลข 2 คือ ถังให้ความร้อน (heater tank) ทำหน้าที่ให้ความร้อนแก่น้ำในถังที่มาจากการเก็บน้ำกลั่น

หมายเลข 3 คือ วาล์ว (valve) ทำหน้าที่ควบคุมปรับเปลี่ยนความดันของไอน้ำที่ปล่อยเข้าสู่ถังทำปฏิกิริยา

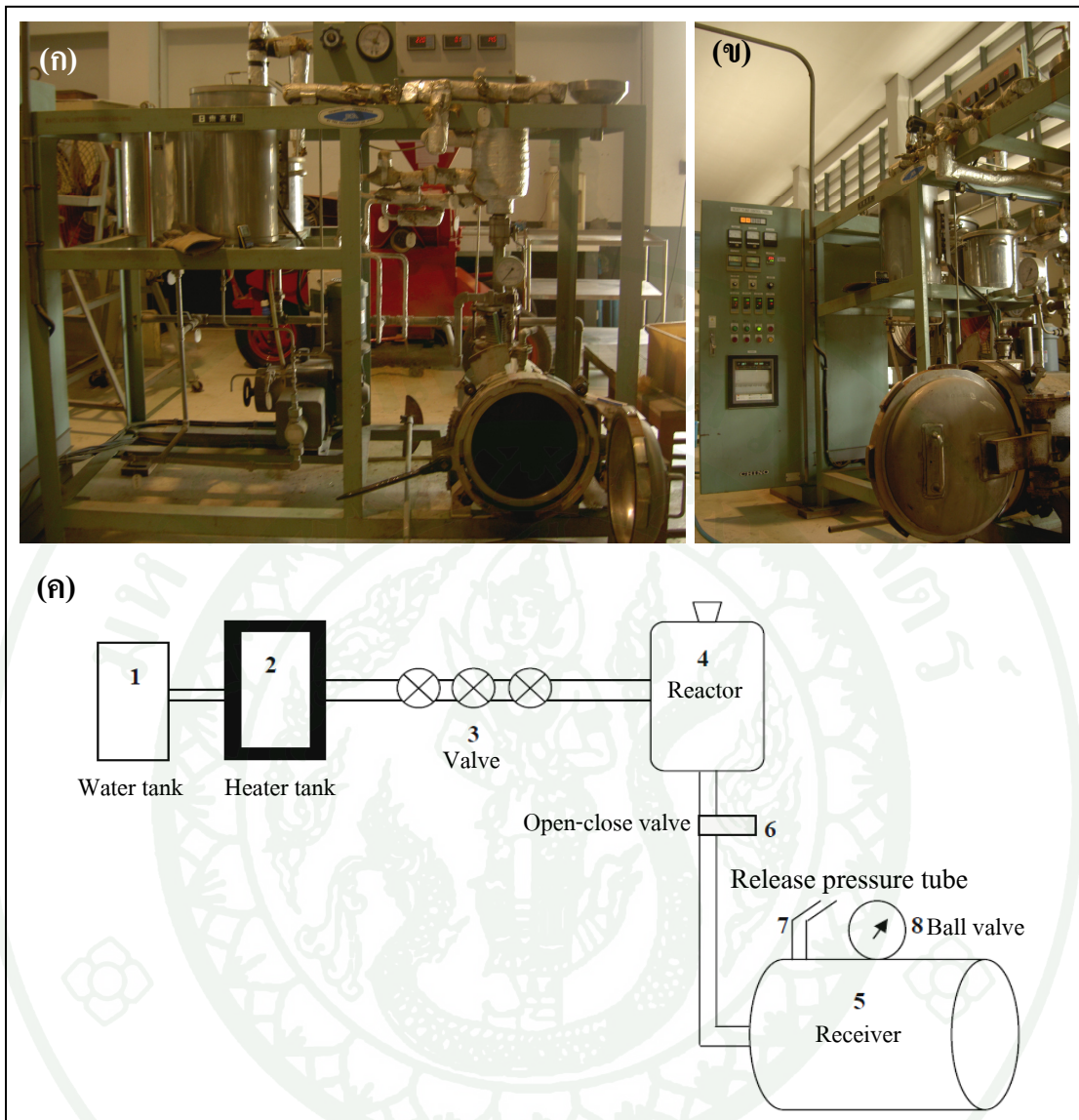
หมายเลข 4 คือ ถังทำปฏิกิริยา (reactor) ทำหน้าที่ให้ไอน้ำเข้าไปทำปฏิกิริยาข้อตัวอย่างเช่นไม้สัก หรือตัวอย่างเช่นส่วนของพืช

หมายเลข 5 คือ ถังรองรับตัวอย่างน้ำ และเยื่อหลังระเบิด (receiver) ทำหน้าที่เป็นถังรองรับตัวอย่างน้ำและเยื่อหลังระเบิดเช่นไม้สัก หรือตัวอย่างเช่นส่วนของพืชด้วยไอน้ำ

หมายเลข 6 คือ วาล์วปิดเปิด (open-close valve) ทำหน้าที่เปิดให้ชินไม้สัก หรือตัวอย่างเช่นส่วนของพืชที่ระเบิดแล้วคลงไปยังถังรองรับตัวอย่าง

หมายเลข 7 คือ ท่อปล่อยระบายความดัน ไอ (release pressure tube)

หมายเลข 8 คือ เครื่องวัดความดัน (ball valve) ภายในถังรองรับตัวอย่าง



ภาพที่ 10 ลักษณะโดยทั่วไปของเครื่อง steam explosion; (ก) ลักษณะของเครื่องทางด้านหน้า  
(ข) ลักษณะของเครื่องทางด้านข้าง (ค) ส่วนประกอบของเครื่อง

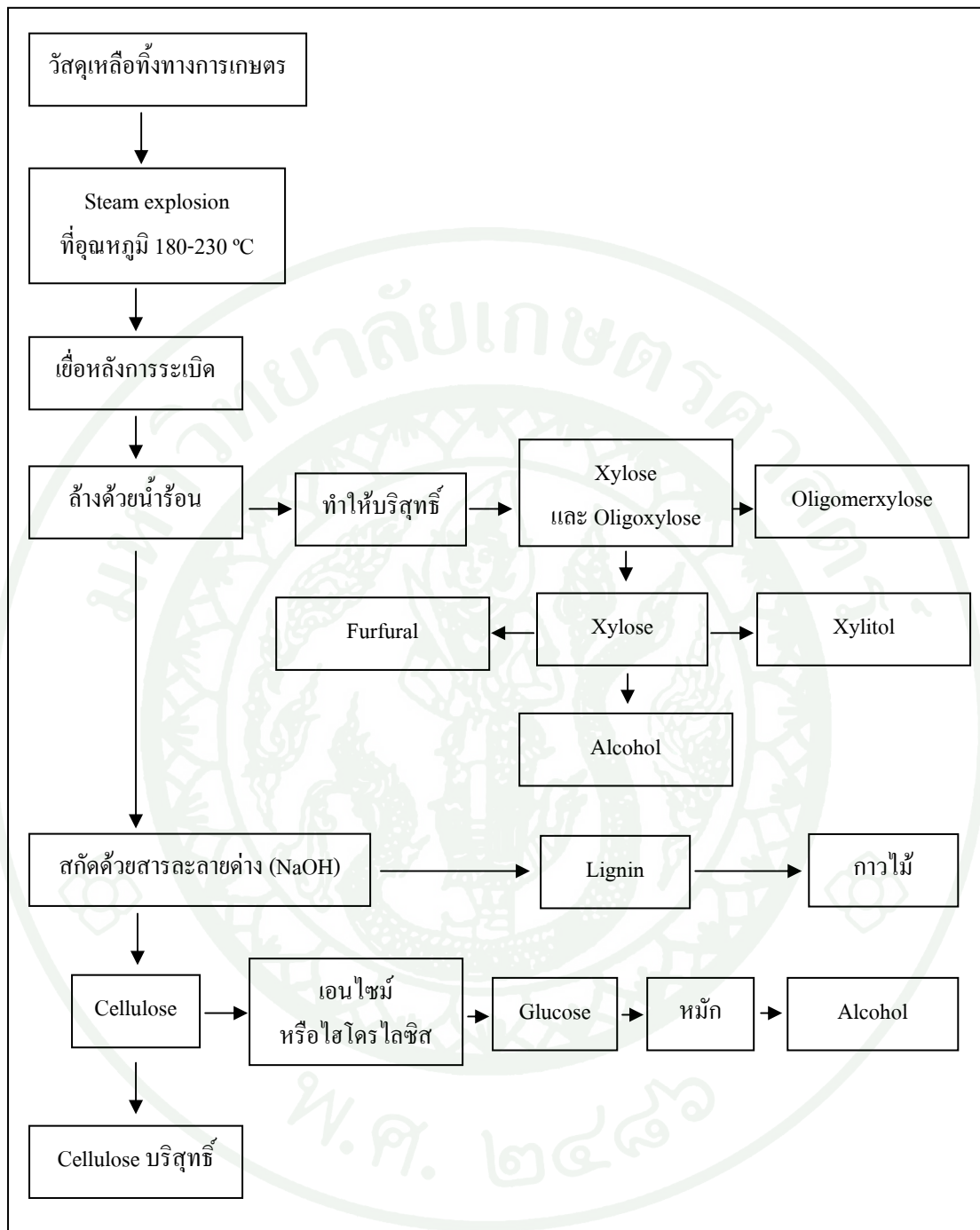
ที่มา: ดัดแปลงจาก พิชญา (2549)

#### 4.1.3 หลักการทำงานของเครื่อง steam explosion

เครื่อง steam explosion มีหลักการทำงาน โดยเริ่มจากน้ำจากถังหลายเลข 1 จะถูกส่งไปยังถังหมายเลข 2 ซึ่งถังหมายเลข 2 จะมีการให้ความร้อนเกิดขึ้นเพื่อให้น้ำกลายเป็นไอน้ำตามอุณหภูมิหรือความดันที่ต้องการ โดยไอน้ำถูกส่งต่อไปยังวัสดุหมายเลข 3 ซึ่งเป็นจุดควบคุมความดันที่ปล่อยเข้าสู่ถังทำปฏิกิริยา คือ หมายเลข 4 ที่บรรจุตัวอย่างชิ้นไม้สับ หรือตัวอย่างชิ้นส่วนของพืช เมื่อเปิดวาล์วหมายเลข 3 ไอน้ำเข้าสู่ถังหมายเลข 4 จากนั้นทำการจับเวลา ณ ความดันนั้น และควบคุมความดันไอน้ำให้คงที่ตลอดเวลา โดยการปรับเปลี่ยนปรับลดเวลา 3 เมื่อครบเวลาที่กำหนดเปิดท่อวาล์วหมายเลข 6 ที่เชื่อมระหว่างถังหมายเลข 4 และ 5 ความดันจะดันตัวอย่างชิ้นไม้สับ หรือตัวอย่างชิ้นส่วนของพืชซึ่งอยู่ในถังหมายเลข 4 ลงไปยังถังหมายเลข 5 หลังจากนั้นระบบายความดันออกจากการถังหมายเลข 5 โดยค่าที่เครื่องวัดความดันในหมายเลข 8 จะเป็นตัววัดความดันในเครื่องระเบิดด้วยไอน้ำร้อนจะระทั่งค่าความดันเป็นศูนย์ จนนั้นจึงทำการเปิดฝาถังหมายเลข 5 ออกเพื่อเอาเยื่อชิ้น ไม้ภายในหลังการระเบิดออกมา ดังภาพที่ 10 (พิชญา, 2549)

#### 4.1.4 ประโยชน์ของวิธี steam explosion

วิธี steam explosion หรือวิธีการระเบิดด้วยไอน้ำ สามารถนำมาใช้ในการ pretreatment ในชิ้นส่วนไม้ ชิ้นส่วนตัวอย่างของพืช หรือวัสดุเหลือทิ้งทางการเกษตร เพื่อให้ได้วัตถุคุณภาพดีกว่า ประกอบทางเคมีหลักของพืช 3 ชนิดได้แก่ cellulose, hemicellulose และ lignin (พิชญา, 2549) ซึ่งสามารถนำไปใช้เป็นสารมูลค่าเพิ่มต่างๆ ได้ ดังภาพที่ 11



**ภาพที่ 11** แนวทางการใช้ประโยชน์ในองค์ประกอบทางเคมีชนิดต่างๆ ของเศษวัสดุเหลือทิ้งทางการเกษตร ด้วยวิธี steam explosion

ที่มา: พิชญา (2549)

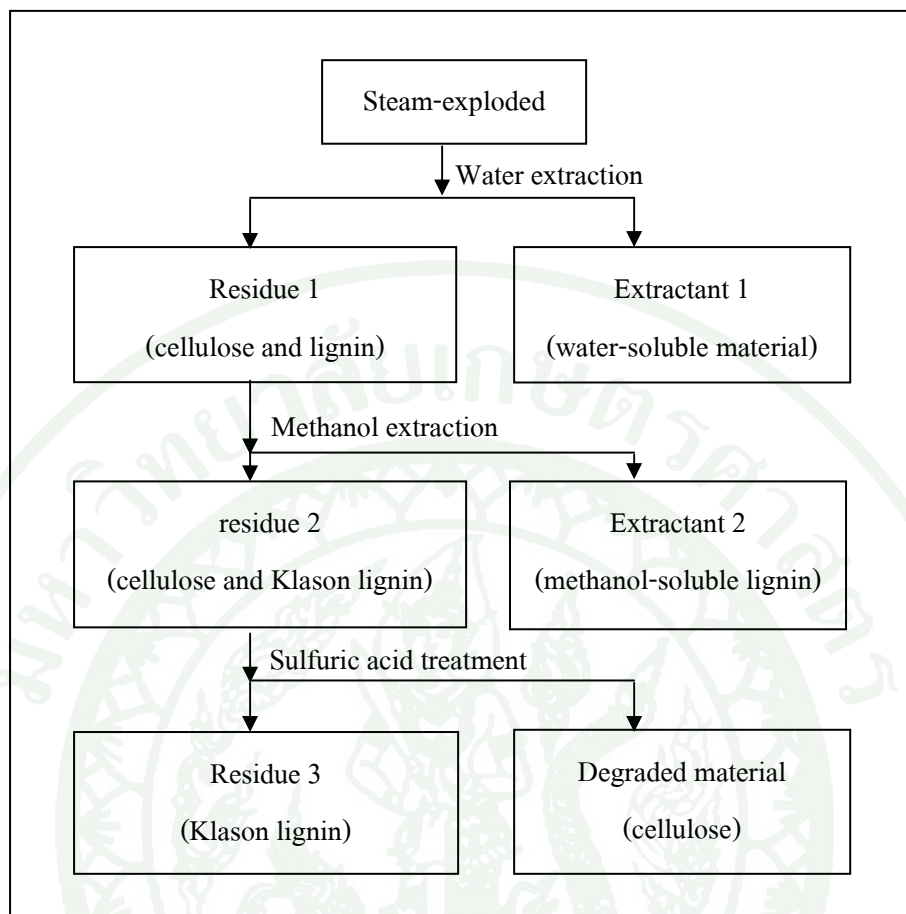
#### 4.1.5 สภาวะที่เหมาะสมในการศึกษาองค์ประกอบทางเคมีของพืชโดยวิธี steam explosion

จากการศึกษาของ Asada *et al.* (2005) พบว่าสภาวะของความดัน อุณหภูมิ และเวลาที่เหมาะสมในการศึกษาองค์ประกอบทางเคมีของไฝญี่ปุ่น (*Phyllostachys pubescens*) คือที่ระดับความดัน 36 กิโลกรัมต่อตารางเซนติเมตร (อุณหภูมิ 315 องศาเซลเซียส) เป็นเวลา 1 นาที และจากการศึกษาของ Kobayashi *et al.* (2005b) ที่ทำการศึกษาในเฟร้นญี่ปุ่น (*Athyrium yokoscense*) พบระดับความดันที่เหมาะสมที่สภาวะความดัน 26 กิโลกรัมต่อตารางเซนติเมตร (อุณหภูมิ 225 องศาเซลเซียส) เป็นเวลา 3 นาที อีกทั้งจากการศึกษาของ Tanahashi *et al.* (1988) ที่ทำการศึกษาใน White Birch (*Betula platyphylla*) พบระดับความดันที่เหมาะสมที่สภาวะความดันที่ 20 กิโลกรัมต่อตารางเซนติเมตร (อุณหภูมิ 212 องศาเซลเซียส) เป็นเวลา 1 นาที โดยใช้ปริมาณขององค์ประกอบทางเคมีของพืชที่เพบได้ภายในหลังจากการวิเคราะห์เป็นดัชนีชี้วัดสภาวะที่เหมาะสม ตามวัตถุประสงค์ของการนำเสนอวิธีการนี้ดูของพืชแต่ละชนิดที่นำไปใช้ประโยชน์ด้านต่างๆ โดยสภาวะของความดัน อุณหภูมิ และเวลาที่แตกต่างกันย่อมส่งผลให้ปริมาณองค์ประกอบทางเคมีของพืชที่สกัดได้ภายในหลังจากการกระบวนการ steam explosion มีความแตกต่างกัน (Kobayashi *et al.*, 2005b)

### 4.2 วิธีของ Wayman's

#### 4.2.1 ประวัติความเป็นมาของวิธี Wayman's

Wayman's method เป็นเทคนิคที่เกิดขึ้นมาเมื่อประมาณ 30 ปีมาแล้วโดย M.G.S. Chua และ M. Wayman (Chua and Wayman, 1979) ซึ่งเป็นเทคนิคในการสกัดตัวอย่าง ชั้นส่วนของพืชที่ผ่านกระบวนการ steam explosion โดยใช้ตัวทำละลายอย่างง่ายเพื่อแยกองค์ประกอบทางเคมีของพืชให้อยู่ในรูปของสารละลายและการของแข็งอันได้แก่ ส่วนที่ละลายน้ำได้ (water-soluble material fraction หรือเรียกว่า hemicellulose fraction) ลิกนินที่มีมวลโมเลกุลต่ำ (methanol-soluble lignin fraction) ลิกนินที่มีมวลโมเลกุลสูง (Klason lignin fraction) และเซลลูโลส (cellulose fraction) โดยใช้คุณสมบัติในการละลายของตัวทำละลายที่แตกต่างกันขององค์ประกอบเคมีแต่ละชนิดที่เกิดขึ้นเป็นหลัก (Kobayashi *et al.*, 2005a) ดังภาพที่ 12



ภาพที่ 12 กระบวนการ Wayman's method โดยสรุป

ที่มา: ดัดแปลงจาก Asada *et al.* (2005)

#### 4.2.2 ประโยชน์ของวิธี Wayman's

ผลผลิตที่ได้จากการแยกองค์ประกอบทางเคมีของพืชโดยวิธี Wayman's สามารถนำมาใช้เป็นสารมูลค่าเพิ่มได้ อาทิ เช่น การผลิตพลังงานเชื้อเพลิง (เอทานอลหรือมีเทน) หรือการผลิตเซลลูโลสบริสุทธิ์เพื่อใช้ในการผลิตแอลกอฮอล์จากในส่วน water-soluble material การผลิตกรดแอลกอฮอล์ร่วมกับกิจกรรมของจุลินทรีย์จากในส่วน cellulose การผลิตเรซินจากในส่วน methanol-soluble lignin หรือแม้แต่การผลิต activated carbon จากในส่วน Klason lignin (พิชญา, 2549; Asada *et al.*, 2005; Kobayashi *et al.*, 2005a) เป็นต้น

นอกจากนั้นเทคนิค steam explosion และ Wayman's method ดังกล่าวยังเป็นอีกแนวทางหนึ่งในการศึกษาความเป็นไปได้ในการนำโลหะหนักนำกลับมาใช้ใหม่จากพืชที่มีศักยภาพในการบำบัดคืนที่ปนเปื้อนที่มีคุณสมบัติเป็น hyperaccumulator (Kobayashi *et al.*, 2005b) โดยจาก การศึกษาของ Nishizono *et al.* (1987) ที่ทำการศึกษาปริมาณการสะสมของโลหะหนักในองค์ประกอบทางเคมีของเฟิร์นญี่ปุ่น (*Athyrium yokoscense*) ซึ่งจากการวิเคราะห์พบปริมาณโลหะหนักโดยส่วนใหญ่จะสะสมและเข้มติดกับในส่วนของ cellulose และ lignin ซึ่งเป็นโครงสร้างหลักของผนังเซลล์ในส่วนไดคินของพืช อีกทั้งจากการศึกษาของ Kobayashi *et al.*, (2005b) พบริมาณการสะสมของโลหะหนัก ได้แก่ ทองแดง (Cu) ตะกั่ว (Pb) เหล็ก (Fe) และสังกะสี (Zn) ในเฟิร์นญี่ปุ่น (*Athyrium yokoscense*) โดยพบการสะสมของโลหะหนักดังกล่าวเป็นปริมาณมากในส่วน Klason lignin และในส่วน cellulose ตามลำดับ และมีการสะสมโลหะหนักเป็นปริมาณต่ำในส่วน water-soluble material และ methanol-soluble lignin ตามลำดับ โดยจากการศึกษาปริมาณการสะสมของโลหะหนักในองค์ประกอบทางเคมีของพืชที่แตกต่างกันดังกล่าว จึงสามารถนำองค์ประกอบทางเคมีของพืชแต่ละชนิดไปใช้ในการสร้างมูลค่าเพิ่ม อาทิ การสร้างผลิตภัณฑ์จากพืชในส่วนที่พบการสะสมของโลหะหนักในปริมาณต่ำและไม่เป็นอันตรายต่อสิ่งแวดล้อม หรือการนำโลหะหนักในส่วนที่พบการสะสมโลหะหนักในปริมาณสูงนำกลับมาใช้ประโยชน์ใหม่ ภายหลังจากการบวน การ steam explosion และ Wayman's method

## อุปกรณ์และวิธีการ

### อุปกรณ์

#### 1. อุปกรณ์สำหรับการเก็บตัวอย่างดิน

- 1.1 พลั่วมือ และถุงพลาสติกสำหรับใส่ตัวอย่างดิน
- 1.2 เซ็อกผูกถุง และปากกาเขียนชนิดดินดาหาร
- 1.3 เครื่องวัดพิกัดพื้นที่ GPS (GERMIN รุ่น etrex H, USA)

#### 2. อุปกรณ์ภาคสนามสำหรับการเก็บตัวอย่างน้ำ

- 2.1 ขวดเก็บตัวอย่างน้ำพลาสติกโพลีเอทธิลีน ขนาดความจุ 1,000 มิลลิลิตร
- 2.2 ถุงพลาสติกชนิดทนความเย็น ขนาด  $10 \times 15$  นิ้ว
- 2.3 อุปกรณ์วัดคุณภาพน้ำภาคสนาม (WTW รุ่น cond 330i และ oxi 315i, Germany)
- 2.4 conc.  $\text{HNO}_3$  (MERCK, Germany)
- 2.5 บีเปต พร้อมถุงยาง
- 2.6 น้ำแข็ง

#### 3. อุปกรณ์สำหรับเก็บตัวอย่างตะกอนดิน

- 3.1 อุปกรณ์เก็บตัวอย่างตะกอนดิน (grab sampler)
- 3.2 ถุงพลาสติกชนิดรูดปิดสำหรับใส่ตัวอย่างตะกอนดิน

#### 4. อุปกรณ์การปั๊กพื้นทดลองในเรือนทดลอง

- 4.1 ตันพันธุ์ของสารเสื่อมที่ไม่มีการปนเปี้ยนของตะกั่ว ในเขตสายไหม กรุงเทพฯ
- 4.2 ดินที่ปนเปี้ยนตะกั่วจากเหมืองตะกั่วแร่ของบริษัท กาญจนบุรีเอ็กเพรสเรชั่น แอนด์ ไมนิ่ง (เค็มโก) จำกัด หมู่ที่ 5 ตำบลชะแอล อำเภอทองผาภูมิ จังหวัดกาญจนบุรี ในบริเวณลานตะกอนทางแร่
- 4.3 ดินที่ไม่ปนเปี้ยนตะกั่วในพื้นที่ผลิตผัก ในเขตอำเภอพระพุทธบาท จังหวัดสระบุรี
- 4.4 กระถางดินเผาขนาดความจุ 15 กิโลกรัมสำหรับปั๊กสารเสื่อม พร้อมงานรองกระถาง
- 4.5 บัวกดน้ำ และช้อนปั๊ก
- 4.6 ป้ายแสดงสิ่งทดลอง

5. อุปกรณ์ เครื่องมือ และสารเคมีที่ใช้ในห้องปฏิบัติการ

5.1 pH meter (TOA รุ่น HM-7E, Japan)

5.2 EC meter (SCHOTT รุ่น CG 855, Germany)

5.2 Fume hood (BOSS TECH, Thailand)

5.3 Block digester (VELP รุ่น DK 20 และ DK 42/26, Italy)

5.4 Micro-Kjeldahl distillation apparatus

5.5 Spectrophotometer (MILTON ROY รุ่น spectronic 21, USA)

5.6 Atomic absorption spectrophotometer (VARIAN รุ่น AA240, Australia)

5.7 Steam explosion apparatus ชนิดทำงานเป็นครั้ง (batch) ที่ขนาดความจุ 2.5 ลิตร

(Nitto Koatsu Company, Japan)

5.8 Soxhlet extraction apparatus (BUCHI รุ่น B-811 Standard, Switzerland)

5.9 เครื่องซั่ง 4 ตำแหน่ง (PRESICA รุ่น 120A, USA)

5.10 เครื่องเบา (INNOVA รุ่น 2100, USA)

5.11 กระดาษกรองเบอร์ 2 ขนาดเส้นผ่านศูนย์กลาง 110 มิลลิเมตร (ADVANTEC, Japan)

5.12 ตู้อบความชุमอุณหภูมิสำหรับอบตัวอย่างพืช (MEMMERT รุ่น TV 80b, Western

Germany)

5.13 ตู้อบตัวอย่าง incubator (BINDER รุ่น FED 53, Germany)

5.14 ครกสำหรับดัดตัวอย่างคิน

5.15 เครื่องบดตัวอย่างพืช (POLYMIX รุ่น PX-MFC, Switzerland)

5.16 ตะแกรงร่อนคินขนาด 2, 0.4 และ 0.25 มิลลิเมตร (10,40 และ 60 mesh) (ENDOCORIS, England)

5.17 สารเคมีที่ใช้ในการวิเคราะห์สมบัติทางกายภาพ สมบัติทางเคมีบางประการ และ ปริมาณตะกั่วจากตัวอย่างคิน ตะกอนคิน น้ำ พืช และองค์ประกอบทางเคมีของพืช (รายละเอียดดัง ภาคผนวก ค)

5.18 สารเคมีที่ใช้ในการวิเคราะห์องค์ประกอบเคมีของพืช

5.18.1 น้ำกลั่น

5.18.2  $H_2SO_4$  ที่ความเข้มข้นร้อยละ 72 โดยปริมาตร (v/v) (J.T. BAKER, USA)

5.18.3  $CH_3OH$  บริสุทธิ์ (GC grade) (MERCK, Germany)

5.19 เครื่องแก้วสำหรับการทดลองและการวิเคราะห์ (PYREX, USA)

5.20 อุปกรณ์อื่นๆ สำหรับการทดลองและการวิเคราะห์

## วิธีการ

### 1. การทดลองที่ 1 การสำรวจพื้นที่เหมืองแร่ที่ปั้นเป็นตะกั่ว และวิเคราะห์สมบัติของดิน ตะกอนดิน น้ำ และพืชที่พบในพื้นที่

#### 1.1 การสำรวจพื้นที่

ทำการสำรวจลักษณะที่ตั้งและข้อมูลโดยสังเขปของพื้นที่โดยใช้ข้อมูลรายงานการประเมินผลกระทบสิ่งแวดล้อม (EIA) ของบริษัทเทสโก้ ใบอนุญาตฯ พ.ศ. 2529 ซึ่งเป็นบริษัทที่ได้รับการว่าจ้างในการเขียนรายงานการประเมินผลกระทบสิ่งแวดล้อมของการประกอบกิจกรรมการทำเหมืองแร่ตะกั่วในพื้นที่ รวมทั้งการสำรวจลักษณะทางกายอ่อนฯ ของพื้นที่เหมืองโดยตรง

#### 1.2 การเก็บตัวอย่างดิน ตะกอนดิน น้ำ และพืชในพื้นที่

1.2.1 การเก็บตัวอย่างดิน สุ่มเก็บตัวอย่างดินจากพื้นที่เหมืองที่ปั้นเป็นตะกั่ว ได้แก่ พื้นที่โรงแร่ ลานแร่ และลานตะกอนหางแร่ ทำการเก็บดินที่ความลึก 0-30 เซนติเมตร โดยทำการเก็บตัวอย่างดินแบบสุ่มตลอดทั้งพื้นที่ที่กำหนดไว้ โดยทำการเก็บตัวอย่างดินไม่น้อยกว่า 15 จุด ต่อหนึ่งพื้นที่ที่ทำการสำรวจ และทำการถ่ายหลักฐาน ภาพเศษชากพืชหรือวัสดุที่อยู่ผิวน้ำดินออกเสียก่อน แล้วจึงใช้จอบ เสียม หรือพลั่วบุดหลุมเป็นรูปตัว V ให้มีความลึกในแนวดิ่งประมาณ 30 เซนติเมตร จากนั้นจึงนำทุกตัวอย่างนำมาผสมกันเพื่อเป็นตัวแทนของตัวอย่างดินในแต่ละพื้นที่ ทำการเก็บตัวอย่างดินจำนวน 2 กิโลกรัม โดยประมาณ จากนั้นนำมาผึ่งลมให้แห้ง บดและร่อนด้วยตะแกรงมาตรฐานขนาด 2 และ 0.25 มิลลิเมตร (10 และ 60 mesh) (ทัศนิย์ และ จรรยา, 2551)

1.2.2 การเก็บตัวอย่างตะกอนดิน สุ่มเก็บตัวอย่างตะกอนดินจากบ่อดักตะกอนที่ 1 และ 2 ตั้งอยู่ในพื้นที่บริเวณเหมือง สุ่มเก็บตัวอย่างโดยใช้เครื่องมือเก็บตะกอนดิน ทำการเก็บบริเวณพื้นท้องน้ำที่ความลึก 15 เซนติเมตรนับจากพื้นท้องน้ำ ทำการเก็บตัวอย่างตะกอนดินเป็นจำนวน 5 จุด ต่อหนึ่งพื้นที่ที่ทำการสำรวจ ในลักษณะรูปภาค半円 เพื่อเป็นตัวแทนของตัวอย่างตะกอนดินในแต่ละพื้นที่ ทำการเก็บตัวอย่างตะกอนดินจำนวน 2 กิโลกรัม โดยประมาณ จากนั้นนำมาผึ่งลมให้แห้ง และทำการกำจัดชากพืชและชากระดับต่ำที่ออกภายนอกและร่อนด้วยตะแกรงมาตรฐานขนาด 2 และ 0.25 มิลลิเมตร (10 และ 60 mesh) (ดัดแปลงจาก ทัศนิย์ และ จรรยา, 2551)

1.3 การเก็บตัวอย่างน้ำ สุ่มเก็บตัวอย่างน้ำจากบ่อดักตะกอนที่ 1 และ 2 ซึ่งตั้งอยู่ในพื้นที่บริเวณเหมือง โดยทำการเก็บตัวอย่างตำแหน่งเดียวกันกับบริเวณที่ทำการเก็บตะกอนดิน สุ่มเก็บตัวอย่างน้ำบริเวณผิวน้ำที่ความลึก 30 เซนติเมตรนับจากผิวน้ำโดยระวังไม่ให้อาการเข้าไปในขวดเก็บตัวอย่างน้ำ ทำการเก็บตัวอย่างในลักษณะเช่นเดียวกับการเก็บตัวอย่างตะกอนดินเพื่อเป็นตัวแทนของตัวอย่างน้ำในแต่ละพื้นที่ จากนั้นทำการวัดปริมาณออกซิเจนที่ละลายน้ำ (dissolved oxygen; DO) ปริมาณของแข็งทั้งหมดที่ละลายน้ำ (total dissolved solid; TDS) และอุณหภูมิของน้ำ (temperature) โดยทำการตรวจทันทีด้วยเครื่องมือวัดคุณภาพน้ำภาคสนาม จดบันทึกค่าที่ได้แล้วจึงทำการใส่ conc.  $\text{HNO}_3$  จำนวน 2 มิลลิลิตร ลงในขวดบรรจุตัวอย่างให้มีค่า pH ต่ำกว่า 2 เพื่อป้องกันการตกตะกอนของโลหะหนักของตัวอย่างน้ำ และการดูดซึมโลหะหนักโดยผิวของภาชนะระหว่างรอวิเคราะห์ในห้องปฏิบัติการ หลังจากนั้นทำการเก็บรักษาตัวอย่างน้ำที่อุณหภูมิ 4 องศาเซลเซียส โดยแช่ในตัวอย่างไว้ในน้ำแข็งเพื่อป้องกันการเปลี่ยนแปลงคุณภาพในน้ำตัวอย่าง (ดัดแปลงจาก APHA, AWWA and WEF, 2005)

1.4 การเก็บตัวอย่างพืช สุ่มเก็บตัวอย่างพืชแต่ละชนิดที่พบในพื้นที่โดยกำหนดพื้นที่เก็บตัวอย่างเช่นเดียวกับวิธีการเก็บตัวอย่างดิน ทำการสุ่มเก็บตัวอย่างพืชแต่ละชนิดที่มีการแพร่กระจายอยู่ให้ทั่วในพื้นที่ที่ทำการสำรวจ แล้วนำตัวอย่างพืชชนิดเดียวกันมาผสมกันเพื่อเป็นตัวแทนของตัวอย่างพืชแต่ละชนิดที่พบในแต่ละพื้นที่ โดยในการเก็บตัวอย่างให้แยกส่วนเหนือดิน (aboveground part) ได้แก่ ลำต้น ใน ดอก และส่วนใต้ดิน (underground part) ได้แก่ ราก อย่างละ 1 กิโลกรัมต่อพืชหนึ่งชนิดที่พบในพื้นที่ จากนั้นทำการเก็บตัวอย่างไว้ในถุงกระดาษ ผึ่งลมให้แห้งและนำไปอบจนตัวอย่างแห้งที่อุณหภูมิ 70 องศาเซลเซียส เป็นเวลา 7 วัน หรือจนกว่าตัวอย่างมีจะน้ำหนักคงที่ ทำการบดจนละเอียด แล้วนำไปร่อนผ่านตะแกรงมาตรฐานขนาด 0.4 มิลลิเมตร ( $> 40 \text{ mesh}$ ) เก็บตัวอย่างพืชที่ผ่านการบดและร่อนไว้ในถุงกระดาษ และครอบตัวอย่างพืชที่บดแล้วอีกครั้งที่อุณหภูมิ 70 องศาเซลเซียส เป็นเวลา 4 ชั่วโมง และทิ้งไว้ให้เย็นในโดดคุความชื้น (desiccators) ก่อนนำมาซึ่งเพื่อทำการวิเคราะห์ (ทัศนีย์ และ จรรักษ์, 2551)

### 1.5 การวิเคราะห์สมบัติทางกายภาพของดิน

โดยทำการวิเคราะห์เนื้อดินโดยวิธีปีปét (Kilmer and Alexander, 1949; Day, 1965)  
(รายละเอียดดังภาคผนวก ค)

## 1.6 การวิเคราะห์สมบัติทางเคมีบางประการของดิน และตะกอนดิน ได้แก่

1.6.1 ค่าพีอีช (pH) ทำการวัดค่า pH ของสารละลายน้ำโดยใช้อัตราส่วนระหว่างดินต่อน้ำเท่ากับ 1:1 ด้วยเครื่อง pH meter (ทัศนีย์ และ จงรักษ์, 2542) (รายละเอียดดังภาคผนวก ค)

1.6.2 ค่าการนำไฟฟ้า (electrical conductivity; EC) ทำการวัดค่าการนำไฟฟ้าของสารละลายน้ำที่สกัดจากดินซึ่งอิ่มตัวด้วยน้ำที่อุณหภูมิ 25 องศาเซลเซียสด้วยเครื่อง electricity conductometer (ทัศนีย์ และ จงรักษ์, 2542) (รายละเอียดดังภาคผนวก ค)

1.6.3 ค่าความจุแลกเปลี่ยนแคตไอออน (cation exchange capacity; CEC) ทำการวิเคราะห์ค่าความจุแลกเปลี่ยนแคตไอออน โดยการซึมชะโอมนบนวัสดุที่ต้องการ 1 N  $\text{NH}_4\text{OAc}$  ที่ pH 7.0 และแทนที่  $\text{NH}_4^+$  ด้วย acidified NaCl ที่ความเข้มข้นร้อยละ 10 โดยปริมาตร (v/v) (ดัดแปลงจาก Chapman, 1965) (รายละเอียดดังภาคผนวก ค)

1.6.4 ปริมาณอินทรีขัตตุ (organic matter; OM) ทำการวิเคราะห์ปริมาณอินทรีขัตตุโดยใช้ oxidizing agent (1N  $\text{K}_2\text{Cr}_2\text{O}_7$ ) และ conc.  $\text{H}_2\text{SO}_4$  และหาจุดยุติของปฏิกิริยาด้วย 0.5N  $\text{FeSO}_4$  (ทัศนีย์ และ จงรักษ์, 2542; Walkley and Black, 1934) (รายละเอียดดังภาคผนวก ค)

1.6.5 ปริมาณไนโตรเจนทั้งหมด (total nitrogen; total N) ทำการย่อยสลายตัวอย่างด้วย digestion mixture ( $\text{Na}_2\text{SO}_4$ , selenium และ conc.  $\text{H}_2\text{SO}_4$ ) และทำการวิเคราะห์ปริมาณไนโตรเจนทั้งหมดโดยวิธี micro-Kjeldahl (ดัดแปลงจาก ทัศนีย์ และ จงรักษ์, 2542) (รายละเอียดดังภาคผนวก ค)

1.6.6 ปริมาณฟอสฟอรัสที่เป็นประโยชน์ (available phosphorus; available P) ทำการวิเคราะห์ปริมาณฟอสฟอรัสที่เป็นประโยชน์โดยใช้สารสกัด Bray II และทำการวัดความเข้มข้นของฟอสฟอรัสด้วยเครื่อง spectrophotometer ที่ความยาวคลื่น 882 นาโนเมตร (Bray and Kurtz, 1945) (รายละเอียดดังภาคผนวก ค)

1.6.7 ปริมาณโพแทสเซียมที่เป็นประโภชน์ (available potassium; available K) ทำการวิเคราะห์ปริมาณโพแทสเซียมที่แยกเปลี่ยนได้ โดยใช้สารสกัด 1N  $\text{NH}_4\text{OAc}$  ที่ pH 7 แล้ววัดหาปริมาณโพแทสเซียมด้วย atomic absorption spectrophotometer (AAS) (ดัดแปลงจาก ทัศนีย์ และ จรรักษ์, 2542; Pratt, 1965) (รายละเอียดดังภาคผนวก ค)

### 1.7 การวิเคราะห์ปริมาณตะกั่วในดิน ตะกอนดิน น้ำ และพืช ได้แก่

1.7.1 ตะกั่วที่สกัดได้ (available lead; available Pb) ทำการวิเคราะห์ปริมาณตะกั่วที่สกัดได้ในดินและตะกอนดิน โดยใช้สารสกัด 0.005M DTPA ที่ pH 7.3 และทำการวัดปริมาณตะกั่วด้วย AAS (Lindsay and Norvell, 1978) (รายละเอียดดังภาคผนวก ค)

1.7.2 ตะกั่วทั้งหมด (total lead; total Pb) ทำการวิเคราะห์ปริมาณตะกั่วทั้งหมดในดิน ตะกอนดิน น้ำ และพืชด้วย digestion mixture ( $\text{HNO}_3$  และ  $\text{HClO}_4$  ในอัตราส่วน 5:2) และทำการวัดปริมาณตะกั่วด้วย AAS (ทัศนีย์ และ จรรักษ์, 2542; Michael, 1982) (รายละเอียดดังภาคผนวก ค)

## 2. การทดลองที่ 2 การศึกษาศักยภาพของสารเสื่อในการบำบัดดินที่ปนเปื้อนและไม่ปนเปื้อนตะกั่ว ภายใต้สภาพควบคุมในโรงเรือนทดลอง

### 2.1 ตัวอย่างดินที่ใช้ในการทดลอง

2.1.1 ดินที่ปนเปื้อนตะกั่ว หมายถึง ดินจากบริเวณลานตะกอนทางแร่ในพื้นที่เหมืองแร่ตะกั่ว ตำบลชะแอล อำเภอทองผาภูมิ จังหวัดกาญจนบุรี ซึ่งจากการวิเคราะห์พบปริมาณความเข้มข้นของ total Pb ในดินโดยเฉลี่ยเท่ากับ 75,529.38 มิลลิกรัมต่อกิโลกรัม (ตารางผนวกที่ ข3) โดยมีปริมาณการปนเปื้อนตะกั่วเกินค่ามาตรฐานคุณภาพดินที่ใช้ประโภชน์เพื่อการอ่นนอกเหนือจากการอยู่อาศัยและเกษตรกรรม ที่กำหนดปริมาณความเข้มข้นของ total Pb ในดินไม่เกิน 750 มิลลิกรัมต่อกิโลกรัม (กรมควบคุมมลพิษ, 2554ก)

2.1.2 ดินที่ไม่ปนเปื้อนตะกั่ว หมายถึง ดินจากพื้นที่ผลิตผัก อำเภอพระพุทธบาท จังหวัดสระบุรี ซึ่งจากผลการวิเคราะห์พบปริมาณความเข้มข้นของ total Pb ในดินโดยเฉลี่ยเท่ากับ 37.34 มิลลิกรัมต่อกิโลกรัม (ตารางผนวกที่ ข3) โดยมีปริมาณการปนเปื้อนตะกั่วไม่เกินค่ามาตรฐาน คุณภาพดินที่ใช้ประโยชน์เพื่อการอยู่อาศัยและเกษตรกรรม ที่กำหนดปริมาณความเข้มข้นของ total Pb ในดินไม่เกิน 400 มิลลิกรัมต่อกิโลกรัม (กรมควบคุมมลพิษ, 2554ก)

## 2.2 การวางแผนการทดลอง

### 2.2.1 ดินที่ปนเปื้อนตะกั่ว

ตัวอย่างดินที่ปนเปื้อนตะกั่ววางแผนการทดลองแบบ completely randomized design (CRD) ทำการทดลองศักยภาพในการนำบัดดินด้วยสาบเสือที่ระยะเวลาในการนำบัดแตกต่างกัน จำนวน 6 ตัวรับการทดลอง ทำการทดลองจำนวน 3 ช้ำ ดังนี้

ดินที่ปนเปื้อนตะกั่ว ที่ระยะเวลาในการนำบัด 15 วัน  
 ดินที่ปนเปื้อนตะกั่ว ที่ระยะเวลาในการนำบัด 30 วัน  
 ดินที่ปนเปื้อนตะกั่ว ที่ระยะเวลาในการนำบัด 45 วัน  
 ดินที่ปนเปื้อนตะกั่ว ที่ระยะเวลาในการนำบัด 60 วัน  
 ดินที่ปนเปื้อนตะกั่ว ที่ระยะเวลาในการนำบัด 75 วัน  
 ดินที่ปนเปื้อนตะกั่ว ที่ระยะเวลาในการนำบัด 90 วัน

### 2.2.2 ดินที่ไม่ปนเปื้อนตะกั่ว

ตัวอย่างดินที่ไม่ปนเปื้อนตะกั่ววางแผนการทดลองแบบ CRD ทำการทดลองศักยภาพในการนำบัดดินด้วยสาบเสือที่ระยะเวลาในการนำบัดแตกต่างกัน จำนวน 6 ตัวรับการทดลอง ทำการทดลองจำนวน 3 ช้ำ ดังนี้

ดินที่ไม่ปนเปื้อนตะกั่ว ที่ระยะเวลาในการบำบัด 15 วัน  
 ดินที่ไม่ปนเปื้อนตะกั่ว ที่ระยะเวลาในการบำบัด 30 วัน  
 ดินที่ไม่ปนเปื้อนตะกั่ว ที่ระยะเวลาในการบำบัด 45 วัน  
 ดินที่ไม่ปนเปื้อนตะกั่ว ที่ระยะเวลาในการบำบัด 60 วัน  
 ดินที่ไม่ปนเปื้อนตะกั่ว ที่ระยะเวลาในการบำบัด 75 วัน  
 ดินที่ไม่ปนเปื้อนตะกั่ว ที่ระยะเวลาในการบำบัด 90 วัน

## 2.2 การดำเนินการทดลอง

2.2.1 การเตรียมดิน นำตัวอย่างดินปนเปื้อนและไม่ปนเปื้อนตะกั่วที่เก็บได้จากพื้นที่ศึกษา ทำการผึ่งให้แห้งเป็นเวลาอย่างน้อย 7-10 วัน และคลุกเคล้าดินให้เป็นเนื้อเดียวกัน จากนั้นชั่งใส่กระถางดินเผาในปริมาณ 15 กิโลกรัมต่อกระถาง เป็นจำนวนทั้งสิ้น 36 กระถาง (36 หน่วยการทดลอง)

2.2.2 นำต้นสาบเสือที่คัดเลือกจากพื้นที่ที่ไม่มีการปนเปื้อนของตะกั่ว โดยทำการคัดเลือกต้นพันธุ์สาบเสือที่เกิดขึ้นตามธรรมชาติในพื้นที่ แขวงคลองถนน เขตสายไหม กรุงเทพมหานคร ตั้งอยู่ในพิกัดละตitud ที่ 13 องศาเหนือ 90 ลิปดา 23 พลิปดา และลองจิจูดที่ 100 องศาตะวันออก 63 ลิปดา 11 พลิปดา ทำการคัดเลือกต้นพันธุ์สาบเสือที่มีขนาดเส้นผ่าศูนย์กลางลำต้นประมาณ 3 มิลลิเมตร และทำการตัดแต่งกิ่ง ให้มีความคล้ายคลึงและมีความสูง 30 เซนติเมตร ในทุกๆ ต้น จากนั้นทำการขยับลงในกระถาง ควรใช้เวลาในการเคลื่อนย้ายต้นพันธุ์จากพื้นที่ไม่ปนเปื้อนและทำการลงปลูกไม่เกิน 24 ชั่วโมง เพื่อป้องกันการบอบช้ำ และลดปัญหาการชะงักการเจริญเติบโต ของต้นพันธุ์ที่ใช้ในการทดลอง

2.2.3 ทำการเก็บเกี่ยวต้นสาบเสือหลังจากการบำบัด ณ เวลา 15, 30, 45, 60, 75 และ 90 วันหลังจากเริ่มทำการปลูก ทำการเก็บเกี่ยวในส่วนเหนือดินและส่วนใต้ดิน จากนั้นล้างด้วยน้ำกรอง 2 ครั้ง ทำการเตรียมตัวอย่างเช่นเดียดังที่ได้กล่าวมาแล้วในส่วนของการเก็บตัวอย่างพืช บันทึกน้ำหนักแห้งทั้งหมดที่ได้ และเก็บตัวอย่างเพื่อใช้สำหรับการวิเคราะห์ปริมาณตะกั่วของต้นสาบเสือภายหลังการเก็บเกี่ยว และปริมาณตะกั่วจากองค์ประกอบทางเคมีของต้นสาบเสือด้วยวิธี steam explosion และ Wayman's method

2.2.4 ทำการวิเคราะห์ปริมาณตะกั่วทั้งหมดจากสารเสื่อภัยหลังจากการเก็บเกี่ยวโดยวิเคราะห์หาปริมาณตะกั่วทั้งหมดของสารเสื่อ เช่นเดียวกับการวิเคราะห์ปริมาณตะกั่วทั้งหมดในการทดลองที่ 1.7.2

### 2.3 การคำนวณ

#### 2.3.1 ค่า translocation factor (TF) สามารถคำนวณได้จาก

$$TF = C_{\text{aboveground}} / C_{\text{underground}}$$

โดย  $C_{\text{aboveground}}$  คือ ปริมาณความเข้มข้นของตะกั่วของพืชในส่วนเหนือดิน  $C_{\text{underground}}$  คือ ปริมาณความเข้มข้นของตะกั่วของพืชในส่วนใต้ดิน (Mattina *et al.*, 2003)

#### 2.3.2 ค่า bioaccumulation factor (BAF) หรือ enrichment coefficient (R) สามารถคำนวณได้จาก

$$BAF \text{ or } R = C_{\text{aboveground}} / C_{\text{soil}}$$

โดย  $C_{\text{aboveground}}$  คือ ปริมาณความเข้มข้นของตะกั่วของพืชในส่วนเหนือดิน  $C_{\text{soil}}$  คือ ปริมาณความเข้มข้นของตะกั่วในดินที่สกัดได้ (Deram *et al.*, 2006; Khan *et al.*, 2006; Branquinho *et al.*, 2007)

### 2.4 การวิเคราะห์ข้อมูลทางสถิติ

ข้อมูลที่ได้จากการทดลอง ทำการวิเคราะห์ความแตกต่างทางสถิติในการเปรียบเทียบค่าเฉลี่ย โดยวิธี Duncan's new multiple range test (DMRT) ที่ระดับความเชื่อมั่นร้อยละ 95 โดยใช้โปรแกรมสำเร็จรูปทางสถิติ (SPSS Inc, Chicago, IL, USA)

### 3. การทดลองที่ 3 การศึกษาปริมาณตะกั่วจากองค์ประกอบทางเคมีของสาบเสือด้วยวิธี steam explosion และ Wayman's method

#### 3.1 การศึกษาสภาวะที่เหมาะสมในการศึกษาองค์ประกอบทางเคมีของสาบเสือด้วยวิธี steam explosion และ Wayman's method

##### 3.1.1 การศึกษาระดับของความดันที่เหมาะสมในการศึกษาองค์ประกอบทางเคมีของสาบเสือด้วยวิธี steam explosion และ Wayman's method

ทำการทดลองโดยนำตัวอย่างต้นสาบเสือจากพื้นที่ไม่ปนเปื้อนจากบริเวณเดิมกันกับที่ทำการคัดเลือกต้นพันธุ์ในการทดลองที่ 2.2.2 โดยคัดเลือกเฉพาะในส่วนเหนือคินทำการสับตัวอย่างให้มีความยาว 3.5-4 เซนติเมตร และมีความกว้างไม่เกิน 0.5 เซนติเมตร นำมาชั่งน้ำหนักแห้งจำนวน 50 กรัม นำตัวอย่างที่เตรียมเข้าเครื่องระเบิดด้วยไอน้ำมีขนาดความจุ 2.5 ลิตร โดยควบคุมระยะเวลาที่ 3 นาที ภายใต้ระดับความดันต่างๆ ดังนี้

ความดัน 15 กิโลกรัมต่อตารางเซนติเมตร (198 องศาเซลเซียส)

ความดัน 17 กิโลกรัมต่อตารางเซนติเมตร (203 องศาเซลเซียส)

ความดัน 19 กิโลกรัมต่อตารางเซนติเมตร (209 องศาเซลเซียส)

ความดัน 21 กิโลกรัมต่อตารางเซนติเมตร (214 องศาเซลเซียส)

ความดัน 23 กิโลกรัมต่อตารางเซนติเมตร (219 องศาเซลเซียส)

จากนั้นนำตัวอย่างสาบเสือที่ได้ภายนอกจากการ steam explosion ทำการผึ่งแดดให้แห้งเป็นเวลา 2 วัน จากนั้นนำไปอบจนตัวอย่างแห้งที่อุณหภูมิ 70 องศาเซลเซียส เป็นเวลา 7 วัน หรือจนกว่าตัวอย่างมีจะน้ำหนักคงที่ บดจนละเอียด แล้วนำไปร่อนผ่านตะแกรงมาตรฐานให้มีขนาด 0.4-0.25 มิลลิเมตร (40-60 mesh) (TAPPI, 1996) ทำการสกัดเพื่อแยกองค์ประกอบทางเคมีของสาบเสือด้วยวิธี Wayman's method (ดัดแปลงจาก Chua and Wayman, 1979; TAPPI, 1983; Asada *et al.*, 2005) ตามลำดับ ดังนี้

(1) water-soluble material fraction

นำตัวอย่างที่ได้ภายหลังจากการระเบิด steam explosion ที่ผ่านการบด และคัดขนาดจำนวน 3 กรัม ผสมกับน้ำกลั่น 180 มิลลิลิตร ตั้งทึงไว้ที่อุณหภูมิห้อง เป็นเวลา 12 ชั่วโมง แล้วจึงทำการกรองสารละลายตัวอย่างด้วยกรรไกรของเบอร์ 2 ขนาด 40-100 ไมโครเมตร โดยของเหลวที่ได้คือ water-soluble material fraction นำภาคของแข็งและส่วนที่ละลายน้ำได้ข้ายลงในถ้วยกระเบื้องที่ผ่านการอบ และทราบน้ำหนักที่แน่นอน อบให้แห้งที่อุณหภูมิ  $103 \pm 5$  องศาเซลเซียสเป็นเวลาอย่างน้อย 12 ชั่วโมง จนตัวอย่างแห้งสนิท ทึงไว้ให้เย็นใน desiccators จดบันทึกน้ำหนักที่ได้ จากนั้นทำการคำนวณปริมาณ water-soluble material ที่ได้จากสูตร

$$\text{ปริมาณ water-soluble material ที่สกัดได้ (ร้อยละ)} = \frac{A}{B} \times 100$$

โดยที่ A = ปริมาณ water-soluble material อบแห้งหลังสกัด (กรัม)

B = น้ำหนักของตัวอย่างอบแห้ง (กรัม)

(2) methanol-soluble lignin fraction

นำภาคของแข็งที่ไม่ละลายในส่วน water-soluble material ที่ผ่านการอบแห้งจำนวน 2 กรัม ใส่ในกรรไกรของรูปทรงสำหรับสกัด (soxhlet thimble) นำถ้วยสกัด (soxhlet extraction cup) ที่ผ่านการอบแห้งและทราบน้ำหนักที่แน่นอน ติดตั้งเครื่องสกัดสารแทรก (soxhlet extraction) ทำการสกัดด้วย  $\text{CH}_3\text{OH}$  บริสุทธิ์ (GC grade) จำนวน 200 มิลลิลิตร ทำการสกัดเป็นเวลา 6 ชั่วโมง (30 รอบ) โดยควบคุมอุณหภูมิและจุดเดือดของตัวทำละลาย รวมทั้งรักษาระดับการระձაงของสารละลายให้คงที่ โดยสารละลายที่ได้ภายหลังจากการสกัดนี้ คือ methanol-soluble lignin fraction ทึงไว้ให้เย็นสักครู่ จากนั้นทำการกรองสารละลายตัวอย่างด้วยกรรไกรของเบอร์ 2 ขนาด 40-100 ไมโครเมตร นำภาคของแข็งล้างด้วยน้ำกลั่นแล้วทำการต้มเพื่อไล่  $\text{CH}_3\text{OH}$  ที่ติดอยู่เป็นเวลา 30 นาที จากนั้นนำทั้งภาชนะของแข็ง และส่วนที่ละลายใน  $\text{CH}_3\text{OH}$  ขยับลงในถ้วยกระเบื้องที่ผ่านการอบและทราบน้ำหนักที่แน่นอน ทำการอบให้แห้งที่อุณหภูมิ  $103 \pm 5$  องศาเซลเซียส เป็นเวลาอย่างน้อย 12 ชั่วโมง จนตัวอย่างแห้งสนิท ทึงไว้ให้เย็นใน desiccators จดบันทึกน้ำหนักที่ได้ จากนั้นทำการคำนวณปริมาณ methanol-soluble lignin ที่ได้จากสูตร

$$\text{ปริมาณ methanol-soluble lignin ที่สกัดได้ (ร้อยละ)} = \frac{A}{B} \times 100$$

โดยที่ A = ปริมาณ methanol-soluble lignin อบแห้งหลังสกัด (กรัม)  
 B = น้ำหนักพงตัวอย่างอบแห้ง (กรัม)

### (3) Klason lignin และ cellulose fraction

นำกาขของแข็งที่ไม่ละลายในส่วน methanol-soluble lignin ซึ่งผ่านการอบแห้งจำนวน 0.5 กรัม ทำการละลายตัวอย่างด้วย สารละลายกรด  $H_2SO_4$  ที่ความเข้มข้นร้อยละ 72 โดยปริมาตร (v/v) จำนวน 7.5 มิลลิลิตร คนให้กระจายสม่ำเสมอ ตั้งทิ้งไว้ที่อุณหภูมิไม่เกิน 8 องศาเซลเซียส และทำการคนทุกๆ 15 นาที จนครบ 2 ชั่วโมงจนแน่ใจว่าเกิดการละลายอย่างสมบูรณ์ จากนั้นเทสารละลายใน Erlenmeyer flask ขนาด 1 ลิตร แล้วล้างตะกอนด้วยน้ำกลั่นปริมาตร 280 มิลลิลิตร ทำการต้มจนเดือดที่อุณหภูมิ 250 องศาเซลเซียส เป็นเวลา 4 ชั่วโมง โดยทำการหล่อเย็นควบคู่กับการต้มเพื่อไม่ให้เกิดการระเหยของสารละลายตัวอย่าง จากนั้นจึงตั้งทิ้งเพื่อให้สารละลายเกิดการตกตะกอนเป็นเวลา 1 คืน โดยตะกอนที่ได้นี้คือ Klason lignin fraction และสารละลายที่ได้นี้คือ cellulose fraction แล้วจึงทำการกรองตะกอนด้วยถ้วยกรอง (crucible grass) เบอร์ 4 ที่ผ่านการอบและทราบน้ำหนักที่แน่นอน อบให้แห้งที่อุณหภูมิ  $103 \pm 5$  องศาเซลเซียส เป็นเวลาอย่างน้อย 12 ชั่วโมง จนตัวอย่างแห้งสนิท ทิ้งไว้ให้เย็นใน desiccators จดบันทึกน้ำหนักที่ได้ จากนั้นทำการคำนวณปริมาณ Klason lignin และ cellulose ที่ได้จากสูตร

$$\text{ปริมาณ Klason lignin ที่ได้ (ร้อยละ)} = \frac{A}{B} \times 100$$

โดยที่ A = ปริมาณ Klason lignin อบแห้ง (กรัม)  
 B = น้ำหนักพงตัวอย่างอบแห้ง (กรัม)

และปริมาณ cellulose ที่ได้จากการคำนวณ (ร้อยละ) =  $100 - A - B - C$

โดยที่ A = ร้อยละของปริมาณ water-soluble material ที่สกัดได้  
 B = ร้อยละของปริมาณ methanol-soluble lignin ที่สกัดได้  
 C = ร้อยละของปริมาณ Klason lignin ที่สกัดได้

### 3.1.2 การศึกษาระยะเวลาที่เหมาะสมในการศึกษาองค์ประกอบทางเคมีของสาบเสือด้วยวิธี steam explosion และ Wayman's method

ในการศึกษาระยะเวลาที่เหมาะสมในการสกัดองค์ประกอบทางเคมีด้วยวิธี steam explosion และ Wayman's method นี้ ทำการทดลองโดยนำตัวอย่างต้นสาบเสือจากพื้นที่ไม่ปนเปื้อนจากบริเวณเดียวกันกับบริเวณที่ทำการคัดเลือกต้นพันธุ์ในการทดลองที่ 2.2.2 เช่นเดียวกับในส่วนของการศึกษาระดับของความดันที่เหมาะสม โดยใช้ระดับของความดันที่เหมาะสมที่ได้จากการทดลองที่ 3.1.1 เป็นตัวควบคุมระดับของความดัน แล้วจึงทำการทดลองที่ระยะเวลาต่างๆ ดังนี้

ความดันที่เหมาะสมที่ได้จากการทดลอง 3.1.1 ที่เวลา 1 นาที  
 ความดันที่เหมาะสมที่ได้จากการทดลอง 3.1.1 ที่เวลา 3 นาที  
 ความดันที่เหมาะสมที่ได้จากการทดลอง 3.1.1 ที่เวลา 5 นาที  
 ความดันที่เหมาะสมที่ได้จากการทดลอง 3.1.1 ที่เวลา 7 นาที  
 ความดันที่เหมาะสมที่ได้จากการทดลอง 3.1.1 ที่เวลา 9 นาที

จากนั้นนำตัวอย่างสาบเสือที่ได้ภายหลังจากการ steam explosion ทำการวิเคราะห์ปริมาณขององค์ประกอบทางเคมีของสาบเสือที่ระยะเวลาต่างๆ เช่นเดียวกับการทดลองที่ 3.1.1

3.2 การวิเคราะห์หาปริมาณตะกั่วจากองค์ประกอบทางเคมีในส่วน water-soluble material, methanol-soluble lignin, Klason lignin และ cellulose ของสาบเสือหลังการนำบัดดินที่ปนเปื้อนตะกั่วภายใต้สภาพควบคุมในโรงเรือนทดลองด้วยวิธี steam explosion และ Wayman's method

นำตัวอย่างสาบเสือที่ได้ภายหลังจากการนำบัดดินที่ปนเปื้อนตะกั่วที่ระยะเวลาเก็บเกี่ยว 15, 30, 45, 60, 75 และ 90 วัน ทำการทดลองที่ 2.1.2 ทั้งในส่วนเหนือดินและส่วนใต้ดิน โดยทำการเตรียมตัวอย่างและใช้สภาวะของระดับความดันและเวลาที่ได้จากการทดลองที่ 3.1 เข้าเครื่องระเบิดด้วยไอน้ำ จากนั้นทำการเตรียมตัวอย่างสาบเสือภายหลังจากการระเบิดและทำการสกัดเพื่อแยกองค์ประกอบทางเคมีของสาบเสือ เช่นเดียวกับการทดลองข้างต้น เว้นแต่ไม่มีการวิเคราะห์หาปริมาณขององค์ประกอบทางเคมีในรูปของน้ำหนักแห้งภายหลังจากการสกัดด้วยวิธี Wayman's method โดยมีการปรับปริมาตรในส่วน water-soluble material, methanol-soluble lignin

และ cellulose ภายหลังจากการสกัดให้มีปริมาตรสุดท้ายเป็น 250, 200 และ 500 มิลลิลิตรตามลำดับ ในทุกตัวรับการทดลอง เพื่อใช้ในการวิเคราะห์ปริมาณตะกั่วจากองค์ประกอบทางเคมีของสาบเสื่อ ภายหลังการนำบัดดี้วาย AAS (ดัดแปลงจาก Chua and Wayman, 1979; TAPPI, 1983; Asada *et al.*, 2005) (รายละเอียดดังภาคผนวก ค)

### 3.3 การวิเคราะห์ข้อมูลทางสถิติ

ข้อมูลที่ได้จากการทดลอง ทำการวิเคราะห์ความแตกต่างทางสถิติในการเปรียบเทียบ ค่าเฉลี่ยโดยวิธี DMRT ที่ระดับความเชื่อมั่นร้อยละ 95 เช่นเดียวกับการทดลองที่ 2

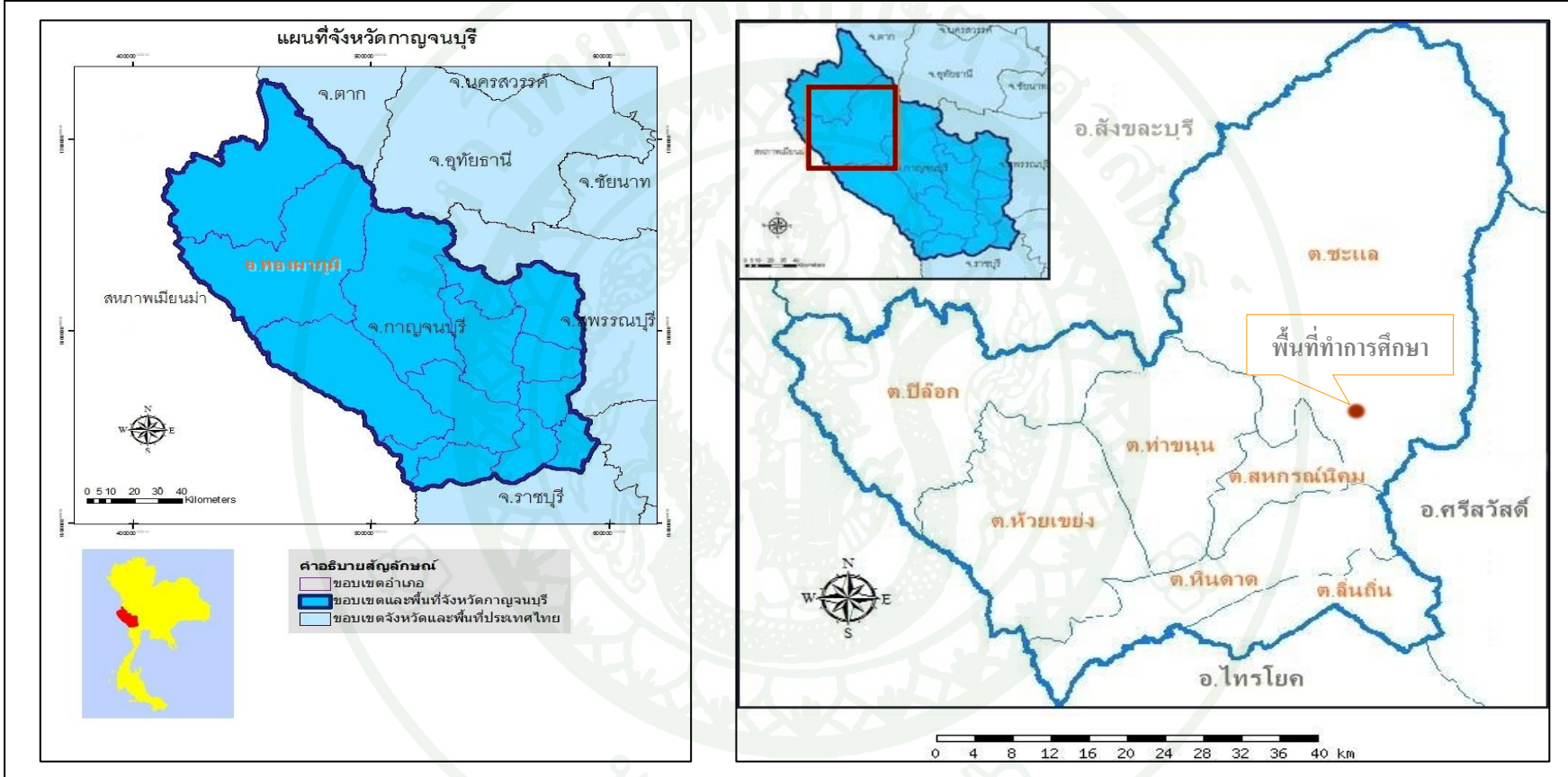
## ผลและวิจารณ์

### 1. การทดลองที่ 1 การสำรวจพื้นที่เหมืองแร่ที่ปั้นเปื้อนตะกั่ว และการวิเคราะห์สมบัติของดินตะกอนดิน น้ำ และพืชที่พับในพื้นที่

#### 1.1 ลักษณะของพื้นที่

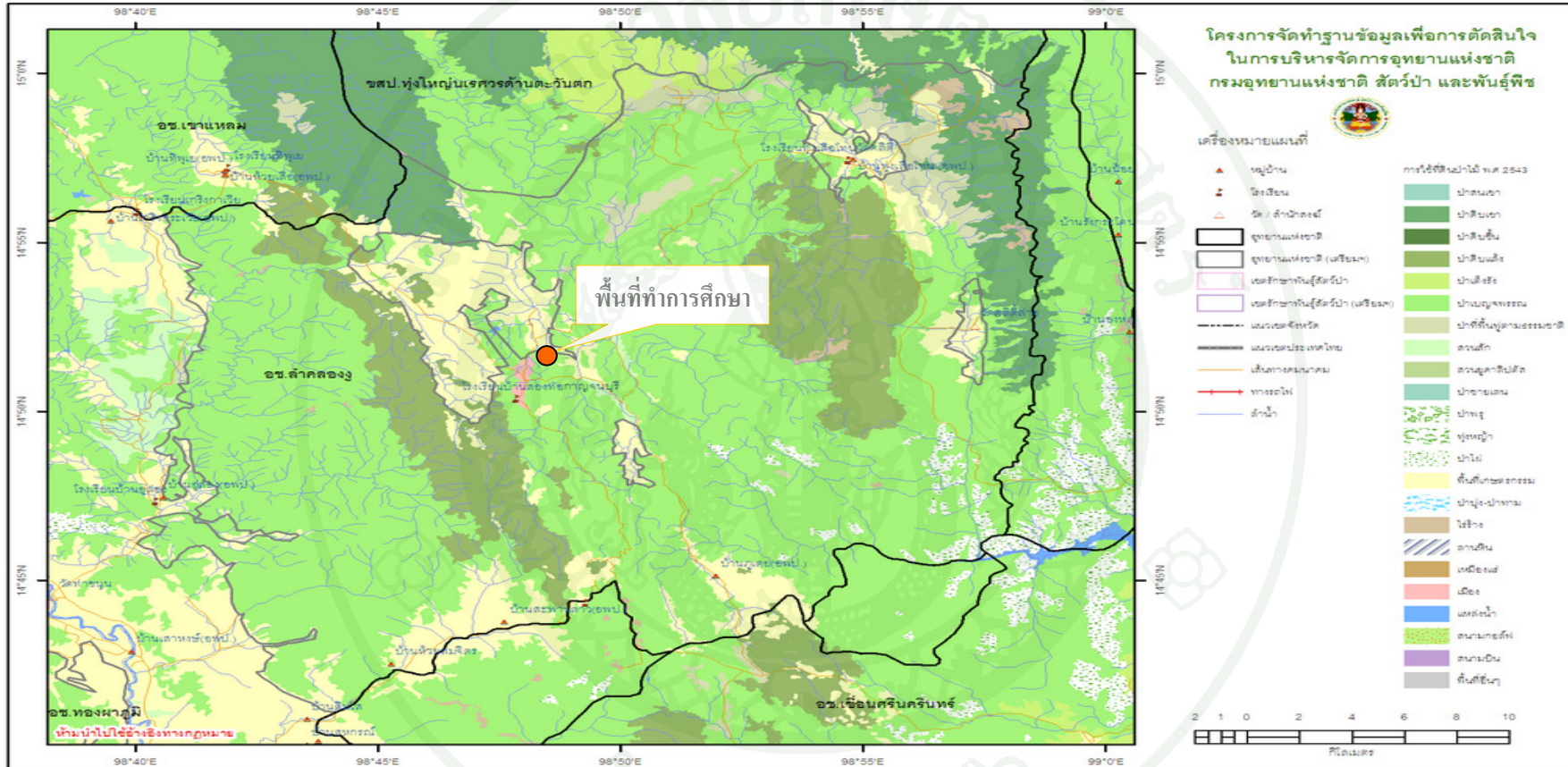
จากการสำรวจพื้นที่เหมืองแร่ที่ปั้นเปื้อนตะกั่ว โดยการใช้แผนที่รายงานการประเมินผลกระบวนการทางสิ่งแวดล้อมและสำรวจลักษณะทางกายภาพเบื้องต้นของพื้นที่ พบว่าในบริเวณที่ตั้งของพื้นที่ที่ทำการศึกษาแห่งนี้เดิมเป็นพื้นที่ของบริษัทกาญจนบุรีอีกโพลเรชั่น แอนด์ ไมนิ่ง (เก็มโก้) จำกัด ซึ่งได้รับสัมปทานในการผลิตตะกั่วจากแร่กาลีนา ( $PbS$ ) และแร่เชอรัสไไซท์ ( $PbCO_3$ ) ในประเภทเหมืองอุโมงค์ได้ดิน โดยบริเวณที่ตั้งอยู่ที่ระดับความสูงเหนือระดับน้ำทะเล 670 เมตรเหนือระดับน้ำทะเลปานกลาง โดยมีสภาพพื้นที่เป็นที่ราบเชิงเขาระหว่างเขากะโลซึ่งเป็นเทือกเขาในกลุ่มแควน้อย อำเภอทองผาภูมิ จังหวัดกาญจนบุรี และเทือกเขาในกลุ่มแควใหญ่ อำเภอศรีสวัสดิ์ จังหวัดกาญจนบุรี ตั้งอยู่ในพิกัดละติจูดที่ 14 องศาเหนือ 51 ลิปดา 18 พลิปดา และลองจิจูดที่ 98 องศาตะวันออก 47 ลิปดา 50 พลิปดา ในเขตป่าสงวนแห่งชาติเขาพระยา-เขานบ่อแร่ ตามกฎหมายกระทรวงที่ 802 (พ.ศ. 2521) ตั้งอยู่ในเขตการปกครองของบ้านสองห้อ หมู่ที่ 5 ตำบลจะแล อำเภอทองผาภูมิ จังหวัดกาญจนบุรี โดยสามารถเดินทางได้โดยใช้เส้นทางคมนาคมทางบก โดยห่างจากตัวเมืองกาญจนบุรีประมาณ 158 กิโลเมตร อันเป็นเส้นทางขนส่งที่รถยกสามารถเดินทางได้ตลอดปี และอีกเส้นทางหนึ่งเป็นเส้นทางเดินรถที่สามารถเดินทางได้เฉพาะในฤดูแล้ง มีระยะทางห่างจากตัวเมืองกาญจนบุรีประมาณ 161 กิโลเมตร (ดัดแปลงจาก บริษัทເກສໂກ້, 2529) ดังภาพที่ 13

สถานภาพของพื้นที่ดังกล่าวและพื้นที่โดยรอบในปัจจุบันซึ่งอ้างอิงจากข้อมูลของกรมอุทยานแห่งชาติสัตว์ป่าและพันธุ์พืช กระทรวงทรัพยากรธรรมชาติและสิ่งแวดล้อม ได้ถูกนำเสนอจากคณะกรรมการอุทยานแห่งชาติให้กำหนดพื้นที่ดังกล่าวให้เป็นอุทยานแห่งชาติลำคลองญู โดยมีพระราชบัญญัติกำหนดบริเวณที่ดินป่าเขาพระยา-ป่าเขานบ่อแร่ในพื้นที่ดังกล่าวและโดยรอบในเขตอำเภอทองผาภูมิ และบางส่วนอำเภอศรีสวัสดิ์ จังหวัดกาญจนบุรี เป็นอุทยานแห่งชาติ ลำดับที่ 123 ของประเทศไทย โดยประกาศลงในราชกิจจานุเบกษา เล่ม 126 ตอนที่ 97 ก ลงวันที่ 25 ธันวาคม 2552 โดยมีเนื้อที่ประมาณ 420,374 ไร่ หรือ 672.59 ตารางกิโลเมตร (กรมอุทยานแห่งชาติสัตว์ป่าและพันธุ์พืช, 2554) ดังภาพที่ 14



ภาพที่ 13 ที่ดึ๊งและอาณาเขตของพื้นที่ศึกษา ตำบลคละแಡ อำเภอทองผาภูมิ จังหวัดกาญจนบุรี

ที่มา: คัดแปลงจาก สถานบันวิจัยและพัฒนาพลังงานนรพิงค์ มหาวิทยาลัยเชียงใหม่ (2554)

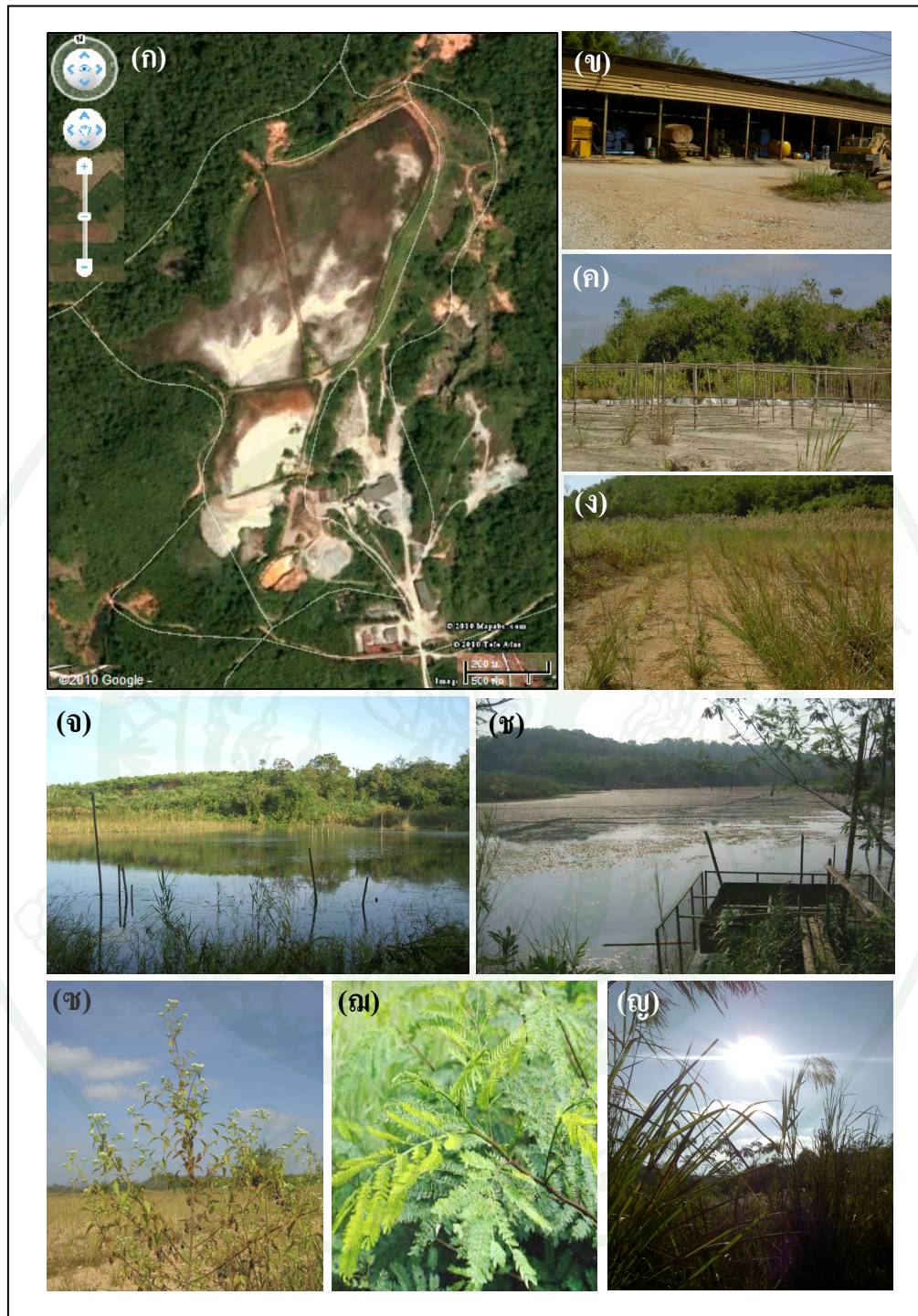


จากการสำรวจพื้นที่ในบริเวณเหมือนกับพบร่วมกันที่พื้นที่มีการแบ่งบริเวณในการประกอบกิจกรรมออกเป็น 3 ส่วนหลักๆ ได้แก่ (1) พื้นที่ที่ใช้ในการบุคคลเรื่องเป็นเหมือนที่มีการบุคคลในเมืองคือสิ่งที่ไปในได้ดินเพื่อหาสายแร่ในลักษณะการทำเหมืองอุโมงค์ (2) พื้นที่ที่ใช้ในการแต่งและเก็บกักแร่ (โรงแต่งแร่) ที่ใช้ในการคัดแยกและทำความสะอาดก้อนแร่เพื่อรกรอกเครื่องขั้นตอนขั้ยไปสู่การผลิตแร่ยังพื้นที่แหล่งอื่นๆ และ (3) พื้นที่ลานแร่และลานตะกอนห่างแร่ที่ใช้ในการรองรับเศษชากของแร่ขนาดเล็กที่เหลือจากการแต่งแร่ ดังภาพที่ 15

พบร่วมกับประกอบกิจกรรมดังกล่าวของพื้นที่โรงแต่งแร่ตั้งอยู่บนที่สูง เช่นเดียวกับในส่วนของพื้นที่ที่ใช้ในการบุคคลโดยมีระดับความสูงของบริเวณที่ตั้งลดหลั่นลงมาในส่วนของพื้นที่ลานแร่และลานตะกอนห่างแร่ตามลำดับ รวมทั้งมีบ่อเก็บกักน้ำที่ถูกสร้างขึ้นเพื่อใช้ในการดักตะกอนที่เกิดขึ้นจากการไอลบ่าของเศษแร่ขนาดเล็กที่เกิดขึ้น อันได้แก่ บ่อดักตะกอนที่ 1 และ บ่อดักตะกอนที่ 2 โดยมีระดับความสูงของบริเวณที่ตั้งลดหลั่นลงมาตามลำดับของจากพื้นที่ในบริเวณลานตะกอนห่างแร่เพื่อป้องกันการแพร่กระจายของแร่ตะกั่วในบริเวณพื้นที่ใกล้เคียงดังตารางที่ 1

**ตารางที่ 1 พิกัดกริด และระดับความสูงของพื้นที่ ณ บริเวณต่างๆ ที่ตั้งในเขตพื้นที่เหมือนแร่ตะกั่ว หมู่ที่ 5 ตำบลลักษะและอำเภอทองผาภูมิ จังหวัดกาญจนบุรี**

พื้นที่	พิกัดกริด UTM	ระดับความสูงของพื้นที่ (จากระดับน้ำทะเลเป็นกลาง)
โรงแต่งแร่	47P 0478564 UTM 1641800	670 m
ลานแร่	47P 0478268 UTM 1641787	664 m
ลานตะกอนห่างแร่	47P 0478212 UTM 1641779	664 m
บ่อดักตะกอนที่ 1	47P 0478070 UTM 1641710	664 m
บ่อดักตะกอนที่ 2	47P 0480792 UTM 1643355	659 m



**ภาพที่ 15** ลักษณะทางกายภาพของที่ดิน และการแพร่กระจายของพืชบางชนิดในพื้นที่เหมืองแร่ ตะกั่ว; (ก) อาณาเขตที่ดังของพื้นที่ (ข) โรงเตตงแร่ (ค) ลานแร่ (ฅ) ลานตะกอนห่างแร่ (ฅ) ป่าดักตะกอนที่ 1 (ฅ) บ่อดักตะกอนที่ 2 (ฅ) สาบเสือ (*Chromolaena odorata*) (ฅ) กระถิน (*Leucaena leucocephala*) (ฅ) อ้อ (*Arundo donax*)

รวมทั้งการสำรวจการแพร่กระจายของพืชในพื้นที่เหมือง โดยเฉพาะในส่วนของพื้นที่โรงแร่ ลานแร่ และลานตะกอนห่างแร่ พบร่วมกับการแพร่กระจายของพืชไม่กี่ชนิด อาทิ เช่น กระถิน (*Leucaena leucocephala*) สาบเสือ (*Chromolaena odorata*) และอ้อ (*Arundo donax*) แต่จากการสำรวจด้วยสายตาในพื้นที่โดยสังเขปทั้ง 3 บริเวณจากที่กล่าวมาแล้วในข้างต้น พบร่องรอยการแพร่กระจายของต้นอ้อและสาบเสือเป็นจำนวนมากในทุกๆ พื้นที่ ดังภาพที่ 15

## 1.2 ผลการวิเคราะห์สมบัติทางกายภาพสมบัติทางเคมีบางประการและปริมาณการปนเปื้อนของตะกั่วในดิน

โดยจากการสู่มเก็บตัวอย่างดินในพื้นที่เหมืองแร่ตระกั่วจากจุดต่างๆ ได้แก่ โรงแร่ ลานแร่ และลานตะกอนห่างแร่ จากผลการวิเคราะห์สมบัติของดินในห้องปฏิบัติการพบว่าลักษณะทางกายภาพในส่วนของเนื้อดินที่พบโดยส่วนใหญ่มีความคล้ายคลึงกันในทุกๆ พื้นที่ โดยมีลักษณะของเนื้อดินส่วนใหญ่เป็นดินทราย ยกเว้นแต่พื้นที่ในส่วนของโรงแร่ที่มีลักษณะของเนื้อดินเป็นดินร่วนปนทรายเป็นส่วนใหญ่ เนื้อดินที่เป็นดินทรายของพื้นที่ในส่วนด้านแร่ และด้านตะกอนห่างแร่นั้นเกิดจากกิจกรรมของการทำเหมืองแร่ในพื้นที่ทำให้เกิดการชะล้างและทับถมของเศษดินและเศษแร่ขนาดเล็กจนเกิดการเปลี่ยนแปลงไปจากเดิมของลักษณะเนื้อดินในพื้นที่ ผลการวิเคราะห์สมบัติทางเคมีบางประการของตัวอย่างดินในพื้นที่พบว่าส่วนใหญ่มีค่า pH อยู่ในช่วงที่เป็นด่างปานกลาง ยกเว้นแต่ดินในส่วนของโรงแร่ที่อยู่ในช่วงเป็นกรด โดยมีค่า pH โดยเฉลี่ยเท่ากับ  $6.97 \pm 0.06$ ,  $8.17 \pm 0.06$  และ  $8.07 \pm 0.06$  ในส่วนของโรงแร่ ลานแร่ และด้านตะกอนห่างแร่ตามลำดับ และในส่วนของสภาพการนำไฟฟ้า (electrical conductivity; EC) พบว่ามีค่าอยู่ในช่วงที่ต่ำมากทั้ง 3 บริเวณ โดยมีค่า EC โดยเฉลี่ยเท่ากับ  $0.32 \pm 0.01$ ,  $0.07 \pm 0.01$  และ  $0.07 \pm 0.01$  เเดซิซีเมนต์ต่อมترตามลำดับ รวมทั้งยังมีค่าความจุแลกเปลี่ยนแคตไอออน (cation exchange capacity; CEC) ที่มีค่าอยู่ในช่วงปานกลางถึงต่ำตามลำดับ โดยมีค่า CEC โดยเฉลี่ยเท่ากับ  $11.9 \pm 0.10$ ,  $7.6 \pm 0.08$  และ  $4.25 \pm 0.17$  เชนติโมลต่อกรัมตามลำดับ

รวมทั้งในส่วนผลการวิเคราะห์ความอุดมสมบูรณ์ของตัวอย่างดินในพื้นที่พบว่าส่วนใหญ่มีค่าความอุดมสมบูรณ์ของดินที่ต่ำมากในทุกๆ พารามิเตอร์ โดยพบปริมาณอินทรีย์วัตถุ (organic matter; OM) โดยเฉลี่ยร้อยละ  $3.32 \pm 0.07$ ,  $1.89 \pm 0.03$  และ  $0.30 \pm 0.08$  ตามลำดับ พบร่องรอยในไตรเจนทั้งหมด (total N) โดยเฉลี่ยร้อยละ  $0.03 \pm 0.01$ ,  $0.01 \pm 0$  และ  $0.02 \pm 0$  ตามลำดับ พบร่องรอยฟอสฟอรัสที่เป็นประโยชน์ (available P) โดยเฉลี่ยเท่ากับ  $0.50 \pm 0$ ,  $0.33 \pm 0.14$  และ  $6.83 \pm$

1.04 มิลลิกรัมต่อ กิโลกรัมตามลำดับ และพบปริมาณโพแทสเซียมที่เป็นประโยชน์ (available K) โดยเฉลี่ยเท่ากับ  $9.90 \pm 1.88$ ,  $4.54 \pm 0.79$  และ  $12.64 \pm 3.47$  มิลลิกรัมต่อ กิโลกรัม ตามลำดับ

นอกจากนี้ในส่วนของผลการวิเคราะห์ปริมาณความเข้มข้นของตะกั่วในพื้นที่ทั้ง 3 บริเวณ ทั้งในส่วนของปริมาณตะกั่วที่สกัดได้ (available Pb) และตะกั่วทั้งหมด (total Pb) พบมีปริมาณการปนเปื้อนของตะกั่วในดินที่สูงเกินมาตราฐานคุณภาพดินจากประกาศองกระทรวงทรัพยากรธรรมชาติและสิ่งแวดล้อม ในปี พ.ศ. 2547 จากการพิจารณามาตรฐานคุณภาพดินที่ใช้ประโยชน์เพื่อการอื่นนอกเหนือจากการอยู่อาศัยและเกษตรกรรมที่ต้องมีปริมาณการปนเปื้อนของ total Pb ไม่เกิน 750 มิลลิกรัมต่อ กิโลกรัม (กรมควบคุมมลพิษ, 2554ก) โดยจากการวิเคราะห์พบปริมาณความเข้มข้นของ available Pb โดยเฉลี่ยเท่ากับ  $837.71 \pm 24.23$ ,  $375.64 \pm 13.89$  และ  $1,114.61 \pm 53.06$  มิลลิกรัมต่อ กิโลกรัมตามลำดับ และพบปริมาณความเข้มข้นของ total Pb โดยเฉลี่ยเท่ากับ  $18,543.0 \pm 3,417.99$ ,  $1,620.98 \pm 93.59$  และ  $75,529.38 \pm 2,935.98$  มิลลิกรัมต่อ กิโลกรัมตามลำดับ ดังตารางที่ 2 และตารางผนวกที่ ข1

**ตารางที่ 2** สมบัติทางกายภาพ สมบัติทางเคมีทางประการ และปริมาณความเข้มข้นตะกั่วในดินจากพื้นที่เหมืองแร่ตะกั่ว หมู่ที่ 5 ตำบลชะแಡ อําเภอทองผาภูมิ จังหวัดกาญจนบุรี

สมบัติของดิน	จุดเก็บตัวอย่างที่ 1	จุดเก็บตัวอย่างที่ 2	จุดเก็บตัวอย่างที่ 3
Texture <sup>1/</sup>	Silt loam	Sand	Sand
Sand (%)	24.24	86.97	90.24
Silt (%)	58.96	6.23	2.96
Clay (%)	16.80	6.80	6.80
pH <sup>2/</sup>	6.97±0.06	8.17±0.06	8.07±0.06
EC <sup>3/</sup> (dS m <sup>-1</sup> )	0.32±0.01	0.07±0.01	0.07±0.01
CEC <sup>4/</sup> (cmol kg <sup>-1</sup> )	11.9±0.10	7.6±0.08	4.25±0.17
OM <sup>5/</sup> (%)	3.32±0.07	1.89±0.03	0.30±0.08
Total N <sup>6/</sup> (%)	0.03±0.01	0.01±0	0.02±0
Available P <sup>7/</sup> (mg kg <sup>-1</sup> )	0.50±0	0.33±0.14	6.83±1.04
Available K <sup>8/</sup> (mg kg <sup>-1</sup> )	9.90±1.88	4.54±0.79	12.64±3.47
Available Pb <sup>9/</sup> (mg kg <sup>-1</sup> )	837.71±24.23	375.64±13.89	1,114.61±53.06
Total Pb <sup>10/</sup> (mg kg <sup>-1</sup> )	18,543.0±3,417.99	1,620.98±93.59	75,529.38±2,935.98

หมายเหตุ จุดเก็บตัวอย่างที่ 1; โรงแต่งแร่

จุดเก็บตัวอย่างที่ 2; ลานแร่

จุดเก็บตัวอย่างที่ 3; ลานตะกอนหงำแร่

<sup>1/</sup> Pipette method (Kilmer and Alexander, 1949; Day, 1965)

<sup>2/</sup> pH meter (soil: water; 1:1) (ทัศนีย์ และ จรรักษ์, 2542)

<sup>3/</sup> Electric conductrometer (ทัศนีย์ และ จรรักษ์, 2542)

<sup>4/</sup> Extracted with NH<sub>4</sub>OAc pH 7.0 (ดัดแปลงจาก Chapman, 1965)

<sup>5/</sup> Walkley and Black method (ทัศนีย์ และ จรรักษ์, 2542; Walkley and Black, 1934)

<sup>6/</sup> Micro-Kjeldahl method (ดัดแปลงจาก ทัศนีย์ และ จรรักษ์, 2542)

<sup>7/</sup> Extracted with NH<sub>4</sub>OAc pH 7.0 (ดัดแปลงจาก ทัศนีย์ และ จรรักษ์, 2542; Pratt, 1965)

<sup>8/</sup> Bray II method (Bray and Kurtz, 1945)

<sup>9/</sup> Extracted with 0.005M DTPA (Lindsay and Norvell, 1978)

<sup>10/</sup> Wet-digestion method (ทัศนีย์ และ จรรักษ์, 2542; Michael, 1982)

### 1.3 ผลการวิเคราะห์คุณสมบัติทางเคมีทางประการ และปริมาณการปนเปื้อนของตะกั่วในตะกอนดิน

โดยจากการสุ่มเก็บตัวอย่างตะกอนดินจากบ่อตักตะกอนในพื้นที่เหมืองแร่ตะกั่วจากบ่อตักตะกอนที่ 1 และบ่อตักตะกอนที่ 2 จากผลการวิเคราะห์สมบัติของตะกอนดินในห้องปฏิบัติการพบว่าในตะกอนดินจากจุดเก็บตัวอย่างที่ 1 และ 2 มีค่า pH ที่เป็นกลางถึงค้างเล็กน้อย และมีค่า EC ที่ต่ำมาก โดยพบค่า EC โดยเฉลี่ยเท่ากับ  $1.01 \pm 0.15$  และ  $0.61 \pm 0.37$  เดซิซีเมตต่อมเมตร ตามลำดับ และพบปริมาณของ available Pb และ total Pb ในปริมาณที่สูง โดยพบปริมาณความเข้มข้นของ available Pb โดยเฉลี่ยเท่ากับ  $1,330.76 \pm 28.07$  และ  $692.15 \pm 35.29$  มิลลิกรัมต่อกิโลกรัม ตามลำดับ และพบปริมาณความเข้มข้น total Pb โดยเฉลี่ยเท่ากับ  $1,686.48 \pm 202.30$  และ  $2,706.07 \pm 2,090.91$  มิลลิกรัมต่อกิโลกรัมตามลำดับ ดังตารางที่ 3 และตารางผนวกที่ ช1-ช2

ซึ่งจากการสำรวจปริมาณความเข้มข้นของ total Pb ที่ตรวจพบจากบ่อตักตะกอนที่ 2 ที่มีปริมาณความเข้มข้นที่สูงกว่าบ่อตักตะกอนที่ 1 นั้นมีสาเหตุมาจากการลักษณะของที่ดินทางกายภาพของบ่อตักตะกอนที่ 2 ที่อยู่ต่ำกว่าดังที่ได้กล่าวไปแล้วในส่วนของลักษณะของพื้นที่จากผลการทดลองที่ 1.1 ส่งผลให้เกิดกระบวนการไอลบ่า (run-off) ของตะกอนดินที่ปนเปื้อนตะกั่วจากการทำกิจกรรมเหมืองแร่ตะกั่วในพื้นที่และเกิดการสะสมอยู่ในส่วนของบ่อตักตะกอนที่ 2 มากกว่าบ่อตักตะกอนที่ 1 แต่จากการวิเคราะห์ในของส่วนของปริมาณความเข้มข้นของ available Pb ที่ตรวจพบจากบ่อตักตะกอนที่ 1 ที่มีปริมาณความเข้มข้นที่สูงกว่าบ่อตักตะกอนที่ 2 นั้นมีสาเหตุมาจากการอินทรีย์ที่สูงในบ่อตักตะกอนที่ 2 เมื่อเทียบกับบ่อตักตะกอนที่ 1 โดยจากการศึกษาของ ศุภมาศ (2540) พบว่าเมื่ออินทรีย์ที่สูงในบ่อตักตะกอนนั้นเมื่อเกิดการแตกตัวของกลุ่มอนุญลามงตัวจากสารประกอบอินทรีย์ จะทำให้มีประจุเกิดขึ้นซึ่งประจุที่เกิดขึ้นส่วนใหญ่จะเป็นประจุลบทำให้มีความสามารถในการดูดดึงประจุบวก หรือโลหะหนักที่มีประจุบวกในรูปอ่อนๆ ได้อย่างหนึ่งหรือทึบหมด ได้แก่ (1) ในรูปที่ถูกคุตชันในตำแหน่งพิวของอนุภาคคลอเดอเรด (adsorbed) (2) ในรูปที่ถูกตรึงและจับกับสารแขวนลอยอื่นๆ (fixed, occluded) (3) ในรูปที่ตกตะกอนหรือตะกอนกับสารอื่น (precipitated) หรือ (4) ในรูปที่ถูกคลุกเคล้าเข้าสู่ระบบชีวภาพเป็นสารอินทรีย์ (organic) สอดคล้องกับปริมาณของพืชได้น้ำที่ตรวจพบในพื้นที่ของบ่อตักตะกอนทั้ง 2 จุด โดยพบการเจริญเติบโตของพืชได้น้ำ บางชนิดอาทิ สาหร่ายหางกระรอก (*Hydrilla verticillata*) และสาหร่ายพุงชะโง (*Ceratophyllum demersum*) ที่มีการแพร่กระจายในบ่อตักตะกอนที่ 2 มากกว่าในบ่อตักตะกอนที่ 1 ส่งผลต่อการเพิ่มขึ้นของปริมาณอินทรีย์ที่สูงจากการทับถมของวัสดุอินทรีย์ของตะกอนดินในบ่อตักตะกอน รวมทั้งจากการ

ดูดใช้และสะสมต่ำกว่าในรูป available Pb ที่มีอยู่ในตะกอนดินจากพืชได้นำโดยตรง ส่งผลต่อการลดลงของต่ำกว่าในรูป available Pb ของตะกอนดินในบ่อคั้กตะกอนที่ 2 ดังภาพที่ 16

**ตารางที่ 3** สมบัติทางเคมีบางประการของตะกอนดิน และปริมาณความเข้มข้นต่ำกว่าในตะกอนดิน จากพื้นที่เหมืองแร่ต่ำกว่า หมู่ที่ 5 ตำบลละแซและอำเภอทองผาภูมิ จังหวัดกาญจนบุรี

สมบัติของตะกอนดิน	จุดเก็บตัวอย่างที่ 1	จุดเก็บตัวอย่างที่ 2
pH <sup>1/</sup>	7.28±0.12	7.57±0.09
EC <sup>2/</sup> (dS m <sup>-1</sup> )	1.01±0.15	0.61±0.37
OM <sup>3/</sup> (%)	2.86±0.63	3.06±0.35
Available Pb <sup>4/</sup> (mg kg <sup>-1</sup> )	1,330.76±28.07	692.15±35.29
Total Pb <sup>5/</sup> (mg kg <sup>-1</sup> )	1,686.48±202.30	2,706.07±2,090.91

หมายเหตุ จุดเก็บตัวอย่างที่ 1; บ่อคั้กตะกอนที่ 1

จุดเก็บตัวอย่างที่ 2; บ่อคั้กตะกอนที่ 2

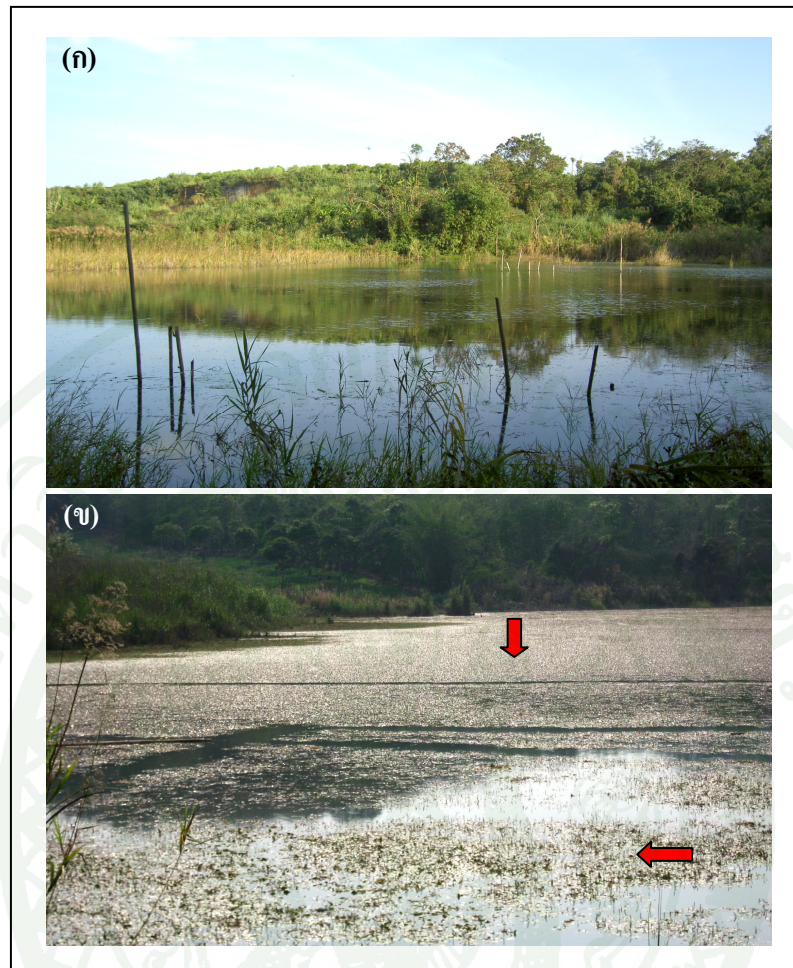
<sup>1/</sup> pH meter (soil: water; 1:1) (ทัศนีย์ และ จรรักษ์, 2542)

<sup>2/</sup> Electric conductrometer (ทัศนีย์ และ จรรักษ์, 2542)

<sup>3/</sup> Walkley and Black method (ทัศนีย์ และ จรรักษ์, 2542; Walkley and Black, 1934)

<sup>4/</sup> Extracted with 0.005M DTPA (Lindsay and Norvell, 1978)

<sup>5/</sup> Wet-digestion method (ทัศนีย์ และ จรรักษ์, 2542; Michael, 1982)



**ภาพที่ 16 การแพร่กระจายของพืชนำในบ่อดักตะกอนที่ 1 (ก) และบ่อดักตะกอนที่ 2 (ข)  
ที่พบการแพร่กระจายของพืชนำในบ่อดักตะกอนที่ 2 มากกว่าบ่อดักตะกอนที่ 1 (ลูกศรชี้)**

#### 1.4 ผลการวิเคราะห์สมบัติทางกายภาพ สมบัติทางเคมีทางประการ และปริมาณการปนเปื้อนของตะกั่วในน้ำ

โดยจากการสุ่มเก็บตัวอย่างนำจากบ่อดักตะกอนที่ 1 และบ่อดักตะกอนที่ 2 ในพื้นที่เหมืองแร่ตะกั่ว ซึ่งจากการวิเคราะห์สมบัติของน้ำในห้องปฏิบัติการพบว่าจากจุดเก็บตัวอย่างที่ 1 และ 2 มีค่า pH ที่เป็นค่าเดือน้อยและไม่แตกต่างกันทั้ง 2 จุด โดยมีค่าโดยเฉลี่ยเท่ากับ  $7.66 \pm 0.05$  ทั้ง 2 จุด และมีปริมาณออกซิเจนที่ละลายน้ำ (dissolved oxygen; DO) ในระดับปานกลางโดยพบปริมาณโดยเฉลี่ยเท่ากับ  $4.94 \pm 0.75$  และ  $4.43 \pm 0.13$  มิลลิกรัมต่อลิตรตามลำดับ ซึ่งเป็นปริมาณที่พบได้ตามปกติในแหล่งน้ำตามธรรมชาติ (กรมควบคุมมลพิษ, 2554)

รวมทั้งเมื่อทำการวัดปริมาณตะกั่วที่อยู่ในรูปของ ไอออนอิสระ (available Pb;  $Pb^{2+}$ ) และ total Pb ในน้ำจากชุดเก็บตัวอย่างน้ำทั้ง 2 ชุด โดยผลจากการวิเคราะห์ไม่พบปริมาณตะกั่วที่อยู่ในรูป  $Pb^{2+}$  แต่พบปริมาณ total Pb อยู่ในระดับสูง ซึ่งพบปริมาณความเข้มข้นของ total Pb ในน้ำโดยเฉลี่ยเท่ากับ  $0.23 \pm 0.15$  และ  $0.42 \pm 0.09$  มิลลิกรัมต่อลิตรตามลำดับ ซึ่งสาเหตุจากผลทดลองที่ไม่พบปริมาณตะกั่วที่อยู่ในรูป  $Pb^{2+}$  แต่พบปริมาณตะกั่วในน้ำที่รูปตะกั่วทั้งหมด เนื่องจากปริมาณตะกั่วที่อยู่ในรูป  $Pb^{2+}$  ในน้ำที่เกิดการปนเปื้อนจากกิจกรรมการทำเหมืองแร่ต่ำกว่าในข้างต้นถูกดูดซับไว้ในตำแหน่งผิวดของอนุภาคคลอโลยด์ หรือถูกดูดซับในรูปที่ถูกต้องและจับกับสารแbewnloyอื่นๆ เอ้าไว้ทั้งหมด (ศุภมาศ, 2540)

โดยเมื่อพิจารณาปริมาณความเข้มข้นของ total Pb ในน้ำจากชุดเก็บตัวอย่างน้ำทั้ง 2 ชุดพบว่าจัดอยู่ในระดับที่เกินมาตรฐานคุณภาพน้ำ จากการพิจารณามาตรฐานคุณภาพน้ำที่มาจากโรงงานอุตสาหกรรมและนิคมอุตสาหกรรมจากประกาศของกระทรวงทรัพยากรธรรมชาติและสิ่งแวดล้อมในปี พ.ศ. 2539 ที่กำหนดให้มีปริมาณของตะกั่วในน้ำที่กิจกรรมต่างๆ ในโรงงานอุตสาหกรรมและนิคมอุตสาหกรรมไม่เกิน 0.2 มิลลิกรัมต่อลิตร (กรมควบคุมมลพิษ, 2554) นอกจากนี้จากการวิเคราะห์ที่ปริมาณของแข็งทั้งหมดที่ละลายน้ำ (total dissolved solid; TDS) ที่วัดได้จากเครื่องวัดคุณภาพน้ำภาคสนาม พบปริมาณ TDS โดยเฉลี่ยเท่ากับ  $133.0 \pm 3.39$  และ  $231.2 \pm 1.30$  มิลลิกรัมต่อลิตรตามลำดับ ซึ่งสอดคล้องกับลักษณะทางกายภาพของที่ดินที่ของบ่อคักตะกอนที่ 2 ที่อยู่ต่ำกว่าบ่อคักตะกอนที่ 1 ส่งผลให้เกิดกระบวนการ run-off ของอนุภาคที่มีประจุในน้ำจากบ่อคักตะกอนที่ 1 สูบ่อคักตะกอนที่ 2 ล่างผลต่อการเพิ่มขึ้นของปริมาณ TDS ในน้ำที่ได้จากการตรวจวัดในบ่อคักตะกอนที่ 2 ดังตารางที่ 4

**ตารางที่ 4 สมบัติทางกายภาพ สมบัติทางเคมีทางประการ และปริมาณความเข้มข้นของตะกั่วในน้ำจากพื้นที่เหมืองแร่ตะกั่ว หมู่ที่ 5 ตำบลชะแಡ อำเภอทองผาภูมิ จังหวัดกาญจนบุรี**

สมบัติของน้ำ	จุดเก็บตัวอย่างที่ 1	จุดเก็บตัวอย่างที่ 2
Temperature <sup>1/</sup> (°C)	25.78±0.36	23.4±0.16
pH <sup>1/</sup>	7.66±0.05	7.66±0.05
TDS <sup>1/</sup> (mg l <sup>-1</sup> )	133.0±3.39	231.2±1.30
DO <sup>1/</sup> (mg l <sup>-1</sup> )	4.94±0.75	4.43±0.13
Available Pb <sup>2/</sup> (mg l <sup>-1</sup> )	0	0
Total Pb <sup>3/</sup> (mg l <sup>-1</sup> )	0.23±0.15	0.42±0.09

หมายเหตุ จุดเก็บตัวอย่างที่ 1: บ่อดักตะกอนที่ 1

จุดเก็บตัวอย่างที่ 2: บ่อดักตะกอนที่ 2

<sup>1/</sup> ทำการวิเคราะห์โดยตรงจากเครื่องวัดคุณภาพน้ำภาคสนาม

<sup>2/</sup> ทำการกรองแล้ววิเคราะห์โดยตรงจากเครื่อง AAS

<sup>3/</sup> Wet-digestion method (ทัศนีย์ และ จรรักษ์, 2542; Michael, 1982)

### 1.5 ผลการวิเคราะห์ปริมาณการดูดใช้และสะสมตะกั่วของพืชในพื้นที่

โดยจากการสุ่มเก็บตัวอย่างพืชในพื้นที่เหมืองแร่ตะกั่วในจุดต่างๆ อันได้แก่ พื้นที่โรงแต่งแร่ ลานแร่ และลานตะกอนหางแร่ ซึ่งจากการสำรวจพรั่งระบายน้ำของพืชที่มีการเจริญเติบโตในพื้นที่ พบการพรั่งระบายน้ำของสาบเสือ (*Chromolaena odorata*) ในทุกๆ พื้นที่ที่ทำการสำรวจ ลักษณะเมื่อทำการเปรียบเทียบปริมาณการดูดใช้และสะสมของต้นสาบเสือกับพืชชนิดอื่นๆ ที่พบในพื้นที่ในแต่ละบริเวณที่ทำการสำรวจ ได้แก่ กระถิน (*Leucaena leucophala*) และอ้อ (*Arundo donax*) โดยจากการวิเคราะห์ปริมาณการดูดใช้และสะสมตะกั่วของพืชทั้งในส่วนเหนือดิน และส่วนใต้ดินในห้องปฏิบัติการพบว่า ปริมาณการดูดใช้และสะสมของพืชแต่ละชนิดมีความแตกต่างกัน โดยในพื้นที่โรงแต่งแร่พบปริมาณความเข้มข้นของ total Pb ของต้นสาบเสือทั้งในส่วนเหนือดินและส่วนใต้ดินโดยเฉลี่ยเท่ากับ  $2,012.0 \pm 312.66$  และ  $4,476.83 \pm 1,008.03$  มิลลิกรัมต่อกิโลกรัมตามลำดับ และพบปริมาณความเข้มข้นของ total Pb ของต้นอ้อในส่วนเหนือดินและส่วนใต้ดินโดยเฉลี่ยเท่ากับ  $813.75 \pm 28.31$  และ  $18,717.08 \pm 535.84$  มิลลิกรัมต่อกิโลกรัมตามลำดับในส่วน

ของพื้นที่ล้านแร่พบปริมาณการคุณใช้และสะสมต่ำกว่าของพื้นแต่ละชนิดที่แตกต่างเช่นเดียวกันโดยพบปริมาณความเข้มข้นของ total Pb ของต้นสาบเสือทั้งในส่วนเหนือดินและส่วนใต้ดินโดยเฉลี่ยเท่ากับ  $230.18 \pm 63.89$  และ  $2,904.83 \pm 736.01$  มิลลิกรัมต่อกิโลกรัมตามลำดับ และพบปริมาณความเข้มข้นของ total Pb ของต้นอ้อทั้งในส่วนเหนือดินและส่วนใต้ดินโดยเฉลี่ยเท่ากับ  $117.69 \pm 6.37$  และ  $5,280.21 \pm 95.60$  มิลลิกรัมต่อกิโลกรัมตามลำดับ และในส่วนของพื้นที่ล้านตะกอนทางแร่พบปริมาณความเข้มข้นของ total Pb ของต้นกระถินทั้งในส่วนเหนือดินและส่วนใต้ดินโดยเฉลี่ยเท่ากับ  $498.29 \pm 26.96$  และ  $4,466.67 \pm 124.81$  มิลลิกรัมต่อกิโลกรัมตามลำดับ และพบปริมาณความเข้มข้นของ total Pb ของต้นสาบเสือทั้งในส่วนเหนือดินและส่วนใต้ดินต่ำที่สุดเมื่อเทียบกับพื้นที่อื่นๆ ในท้องที่น้ำ โดยพบปริมาณความเข้มข้นของต่ำกว่าโดยเฉลี่ยเท่ากับ  $91.08 \pm 14.41$  และ  $1,922.25 \pm 280.48$  มิลลิกรัมต่อกิโลกรัมตามลำดับ ดังตารางที่ 5

**ตารางที่ 5** ปริมาณการคุณใช้และสะสมต่ำกว่าทั้งหมดของตัวอย่างพืชบางชนิดที่พบในพื้นที่  
เหมืองแร่ตระกั่ว หมู่ที่ 5 ตำบลชะแอล อำเภอทองผาภูมิ จังหวัดกาญจนบุรี

ชนิดของพืช	จุดเก็บตัวอย่าง	Total Pb <sup>11</sup> ( $\text{mg kg}^{-1}$ )	
		ส่วนเหนือดิน	ส่วนใต้ดิน
สาบเสือ ( <i>Chromolaena odorata</i> )	โรงแต่งแร่	$2,012.0 \pm 312.66$	$4,476.83 \pm 1,008.03$
อ้อ ( <i>Arundo donax</i> )	โรงแต่งแร่	$813.75 \pm 28.31$	$18,717.08 \pm 535.84$
สาบเสือ ( <i>Chromolaena odorata</i> )	ล้านแร่	$230.18 \pm 63.89$	$2,904.83 \pm 736.01$
อ้อ ( <i>Arundo donax</i> )	ล้านแร่	$117.69 \pm 6.37$	$5,280.21 \pm 95.60$
กระถิน ( <i>Leucaena leucocephala</i> )	ล้านตะกอนทางแร่	$498.29 \pm 26.96$	$4,466.67 \pm 124.81$
สาบเสือ ( <i>Chromolaena odorata</i> )	ล้านตะกอนทางแร่	$91.08 \pm 14.41$	$1,922.25 \pm 280.48$

หมายเหตุ <sup>11</sup> Wet-digestion method (ทัศนีย์ และ จรรักษ์, 2542; Michael, 1982)

จากการพิจารณาศักยภาพดูดใช้และสะสมของพืชที่พบในพื้นที่ เพื่อพิจารณาการเลือกใช้เทคนิคการบำบัดดินที่ปนเปื้อนตะกั่วโดยใช้พืชภายในสภาพควบคุมในโรงเรือนทดลอง ซึ่งจากการพิจารณาโดยใช้ดัชนีชี้วัดในพืชที่มีศักยภาพในการบำบัดดินที่ปนเปื้อนตะกั่วในระดับสูง (lead hyperaccumulator) อันได้แก่ (1) พืชชนิดนี้จะต้องมีความสามารถในการดูดใช้และสะสมตะกั่วทั้งหมด (total Pb) ในส่วนเหนือดินในปริมาณที่มากกว่า 1,000 มิลลิกรัมต่อกิโลกรัม (Baker and Brooks, 1989; Baker *et al.*, 1994, 2000) (2) พืชชนิดนี้จะต้องมีอัตราส่วนของความเข้มข้นตะกั่วในส่วนเหนือดินต่อส่วนใต้ดินที่มากกว่า 1 (translocation factor; TF > 1) (Mattina *et al.*, 2003) (3) พืชชนิดนี้จะต้องมีอัตราส่วนของความเข้มข้นตะกั่วในส่วนเหนือดินต่อความเข้มข้นของตะกั่วที่สกัดได้ในดินที่ปนเปื้อนที่มากกว่า 1 (bioaccumulation factor; BAF > 1) (Deram *et al.*, 2006; Khan *et al.*, 2006; Branquinho *et al.*, 2007) และ (4) พืชชนิดนี้จะต้องมีอัตราส่วนของความเข้มข้นของตะกั่วในส่วนเหนือดินภายใต้เงื่อนไขหลังการบำบัดต่อความเข้มข้นของตะกั่วในส่วนเหนือดินที่ปลูกในดินที่ไม่ปนเปื้อนในพืชชนิดเดียวกัน (C/NC ratio) ที่ต้องมีค่าอยู่ในช่วง 10-500 เท่า (Shen and Liu, 1998) ดังที่ได้กล่าวมาแล้วในส่วนของการตรวจเอกสาร

ผลการพิจารณาต่อการเลือกใช้สารเสื่อมในการบำบัดดินที่ปนเปื้อนตะกั่วในสภาพโรงเรือนโดยใช้ดัชนีชี้วัด 3 ข้อแรกในข้างต้นพบว่า ในส่วนของพื้นที่โรงแต่งแร่ดินสามเสื่อมีศักยภาพในการบำบัดดินที่ปนเปื้อนตะกั่วที่เข้าเกณฑ์พืชที่มีศักยภาพในการบำบัดดินที่ปนเปื้อนตะกั่วในระดับสูง โดยเข้าเกณฑ์คุณสมบัติของพืชที่มีศักยภาพในการบำบัดจาก 2 ใน 3 ดัชนี รวมทั้ง มีค่าดัชนีที่ดีกว่าเมื่อเปรียบเทียบกับดัชนีอื่นอีก 3 ดัชนีชี้วัด โดยพบว่าดินสามเสื่อมีความสามารถในการดูดใช้และสะสมตะกั่วในส่วนเหนือดินโดยเฉลี่ยเท่ากับ 2,012 มิลลิกรัมต่อกิโลกรัม อีกทั้งมีค่า TF และ BAF ที่ 0.45 และ 2.40 ตามลำดับ อีกทั้งจากการวิเคราะห์ตัวอย่างสามเสื่อที่เก็บได้ในพื้นที่ของสถานแรร์ยพบว่าดินสามเสื่อมมีศักยภาพในการบำบัดดินที่ปนเปื้อนตะกั่วที่สูงกว่าดินอื่นอีกด้วยในพื้นที่ เช่นเดียวกับโรงแต่งแร่ โดยพบว่าดินสามเสื่อมมีความสามารถในการดูดใช้และสะสมตะกั่วในส่วนเหนือดินโดยเฉลี่ยเท่ากับ 230.18 มิลลิกรัมต่อกิโลกรัม อีกทั้งมีค่า TF และ BAF 0.08 และ 0.37 ตามลำดับ แต่อย่างไรก็ตามในพื้นที่ลานตะกอนทางแร่ที่พบศักยภาพในการบำบัดของสามเสื่อ ที่ต่ำกว่าเมื่อเทียบกับดัชนีระดับ โดยพบว่าสามเสื่อมมีความสามารถในการดูดใช้และสะสมตะกั่วในส่วนเหนือดินโดยเฉลี่ยเท่ากับ 91.08 มิลลิกรัมต่อกิโลกรัม อีกทั้งมีค่า TF และ BAF ที่ 0.05 และ 0.08 ตามลำดับ แต่อย่างไรก็ตามเมื่อทำการพิจารณาถึงปริมาณการแพร่กระจายของต้นกระถินในพื้นที่ลานตะกอนทางแร่ที่พบปริมาณการแพร่กระจายที่ต่ำกว่าเมื่อเทียบสามเสื่อ โดยสามารถพบสามเสื่อในทุกๆ พื้นที่ที่ทำการสำรวจ อีกทั้งจากการวิเคราะห์ปริมาณตะกั่วในสามเสื่อที่พบปริมาณ

การคุ้ดใช้และสะสมต่ำกว่าในปริมาณสูง โดยเฉพาะสาบเสือที่พบจากการสำรวจในพื้นที่โรงแต่งแร่ จึงสามารถสันนิษฐานถึงความสามารถในการนำบัดคินที่ปนเปื้อนตะกั่วในระดับสูงของสาบเสือ และสามารถนำข้อสันนิษฐานที่ได้ไปใช้ในการทดลองเพื่อศึกษาศักยภาพของสาบเสือในการนำบัดคินที่ปนเปื้อนตะกั่วในสภาพความคุณในโรงเรือนทดลองได้ ดังตารางที่ 6

**ตารางที่ 6** ปริมาณความเข้มข้นของตะกั่วทั้งหมด (total Pb) ในส่วนเหนือคิน ค่า translocation factor (TF) และ bioaccumulation factor (BAF) ต่อการพิจารณาพืชที่มีศักยภาพในการนำบัดคินที่ปนเปื้อนตะกั่วในระดับสูง (lead hyperaccumulator) ของตัวอย่างพืชบางชนิดที่พบในพื้นที่เหมืองแร่ตะกั่ว หมู่ที่ 5 ตำบลลazole อำเภอทองผาภูมิ จังหวัดกาญจนบุรี

ชุดเก็บตัวอย่าง	ชนิดของพืช	Total Pb ในส่วนเหนือคิน (mg kg <sup>-1</sup> )	TF	BAF	Lead hyper- accumulator
โรงแต่งแร่	สาบเสือ ( <i>Chromolaena odorata</i> )	2,012	0.45	2.40	เข้าเกณฑ์
	อ้อ ( <i>Arundo donax</i> )	813.75	0.04	0.97	ไม่เข้าเกณฑ์
	สาบเสือ ( <i>Chromolaena odorata</i> )	230.18	0.08	0.37	ไม่เข้าเกณฑ์
	อ้อ ( <i>Arundo donax</i> )	117.69	0.02	0.19	ไม่เข้าเกณฑ์
ลานตะกอน	กระถิน ( <i>Leucaena leucocephala</i> )	498.29	0.11	0.45	ไม่เข้าเกณฑ์
ทางแร่	สาบเสือ ( <i>Chromolaena odorata</i> )	91.08	0.05	0.08	ไม่เข้าเกณฑ์

## 2. การทดลองที่ 2 การศึกษาสักยภาพของสาบเสือในการบำบัดดินที่ปนเปื้อนและไม่ปนเปื้อนตะกั่ว ภายใต้สภาพความคุณในโรงเรือนทดลอง

### 2.1 การเจริญเติบโตของสาบเสือภายหลังการบำบัดดินที่ปนเปื้อนและไม่ปนเปื้อนตะกั่ว ภายใต้สภาพความคุณในโรงเรือนทดลอง

จากการทดลองเพื่อศึกษาถึงสักยภาพของสาบเสือในการบำบัดดินที่ปนเปื้อนตะกั่ว โดยการนำดินที่ปนเปื้อนตะกั่วจากบริเวณลานตะกอนหางแร่ในพื้นที่เหมืองแร่ตะกั่วมาทำการบำบัดด้วยสาบเสือ ณ ระยะเวลาบำบัด 15, 30, 45, 60, 75 และ 90 วัน โดยนำต้นสาบเสือที่เจริญเติบโตในบริเวณที่ไม่ปนเปื้อนมาใช้ในการบำบัดภายใต้สภาพความคุณในโรงเรือนทดลอง จากการศึกษาพบว่าหน้า嫩กแห้งของต้นสาบเสือที่ได้ภายหลังการบำบัดของสาบเสือที่ปนเปื้อนในดินที่ปนเปื้อนและดินที่ไม่ปนเปื้อนตะกั่ว พบน้ำหนักแห้งโดยเฉลี่ยที่เพิ่มสูงขึ้นตามระยะเวลาในการบำบัดทั้งในส่วนหนีอคินและส่วนใต้อคิน โดยพบว่าเมื่อเบริกน์เทียบการเจริญเติบโตของสาบเสือที่ปนเปื้อนในดินที่ไม่ปนเปื้อนและดินที่ปนเปื้อน พบว่าสาบเสือที่ปนเปื้อนในดินที่ไม่ปนเปื้อนมีการเจริญเติบโตที่ดีกว่าเมื่อเทียบกับสาบเสือที่ปนเปื้อนในดินที่ปนเปื้อนตะกั่วในทุกๆ ระยะเวลาของการบำบัดอันเนื่องมาจากมีสมบัติทางกายภาพและสมบัติทางเคมีของดินที่เหมาะสมต่อการเจริญเติบโตที่มากกว่า (ตารางผนวกที่ ข3) รวมทั้งจากการสังเกตถึงลักษณะการแสดงออกถึงความของเป็นพิษในสาบเสือภายหลังการบำบัด โดยเฉพาะในดินที่ปนเปื้อนตะกั่ว โดยพบลักษณะการเกิดรอยจุดไหม้ (necrosis) ที่ใบของสาบเสือซึ่งพบลักษณะการแสดงออกของความเป็นพิษมากในบริเวณโคนต้นดังภาพที่ 17

#### 2.1.1 การเจริญเติบโตของสาบเสือในดินที่ไม่ปนเปื้อนตะกั่วภายใต้สภาพความคุณในโรงเรือนทดลอง

ผลการปนูกสาบเสือในดินที่ไม่ปนเปื้อนตะกั่ว พบว่าสาบเสือจะมีน้ำหนักที่เพิ่มสูงขึ้นตามระยะเวลาการบำบัดทั้งในส่วนหนีอคินและส่วนใต้อคิน โดยมีปริมาณน้ำหนักแห้งตามระยะเวลาในการบำบัด 15, 30, 45, 60, 75 และ 90 วัน โดยเฉลี่ยเท่ากับ  $12.51 \pm 1.41$ ,  $16.79 \pm 3.25$ ,  $22.07 \pm 6.91$ ,  $34.10 \pm 2.31$ ,  $34.35 \pm 0.74$  และ  $52.13 \pm 9.34$  กรัมตามลำดับในส่วนหนีอคิน และเท่ากับ  $14.30 \pm 3.30$ ,  $15.23 \pm 1.19$ ,  $14.27 \pm 3.11$ ,  $37.30 \pm 1.49$ ,  $35.32 \pm 4.74$  และ  $39.73 \pm 15.52$  กรัมตามลำดับในส่วนใต้อคิน

เมื่อทำการวิเคราะห์ค่าความแตกต่างทางสถิติของการเจริญเติบโตของสาบเสือโดยพิจารณาจากน้ำหนักแห้งในส่วนเหนือคิน พบร่วมกับระยะเวลาการบำบัด 90 วันให้ค่าการเจริญเติบโตสูงสุดและมีค่าการเจริญเติบโตที่สูงกว่าเมื่อเปรียบเทียบกับระยะเวลาในการบำบัด 75, 60, 45, 30 และ 15 วันตามลำดับ โดยพบว่าที่ระยะเวลาการบำบัด 75 วันให้ค่าการเจริญเติบโตที่ไม่แตกต่างเมื่อเปรียบเทียบกับระยะเวลาในการบำบัด 60 วัน แต่พบการเจริญเติบโตที่สูงกว่าเมื่อเปรียบเทียบกับระยะเวลาในการบำบัด 45, 30 และ 15 วันตามลำดับ และพบว่าที่ระยะเวลาในการบำบัด 45 วันให้ค่าการเจริญเติบโตที่ไม่แตกต่างกับระยะเวลาในการบำบัด 30 วันแต่พบการเจริญเติบโตที่สูงกว่าเมื่อเปรียบเทียบกับระยะเวลาในการบำบัด 15 วัน อีกทั้งยังพบว่าที่ระยะเวลาในการบำบัด 30 วันให้ค่าการเจริญเติบโตที่ไม่แตกต่างเมื่อเปรียบเทียบกับระยะเวลาในการบำบัด 15 วัน อย่างมีนัยสำคัญทางสถิติที่ระดับความเชื่อมั่นที่ร้อยละ 95 ดังภาพที่ 18ก และตารางผนวกที่ ก1

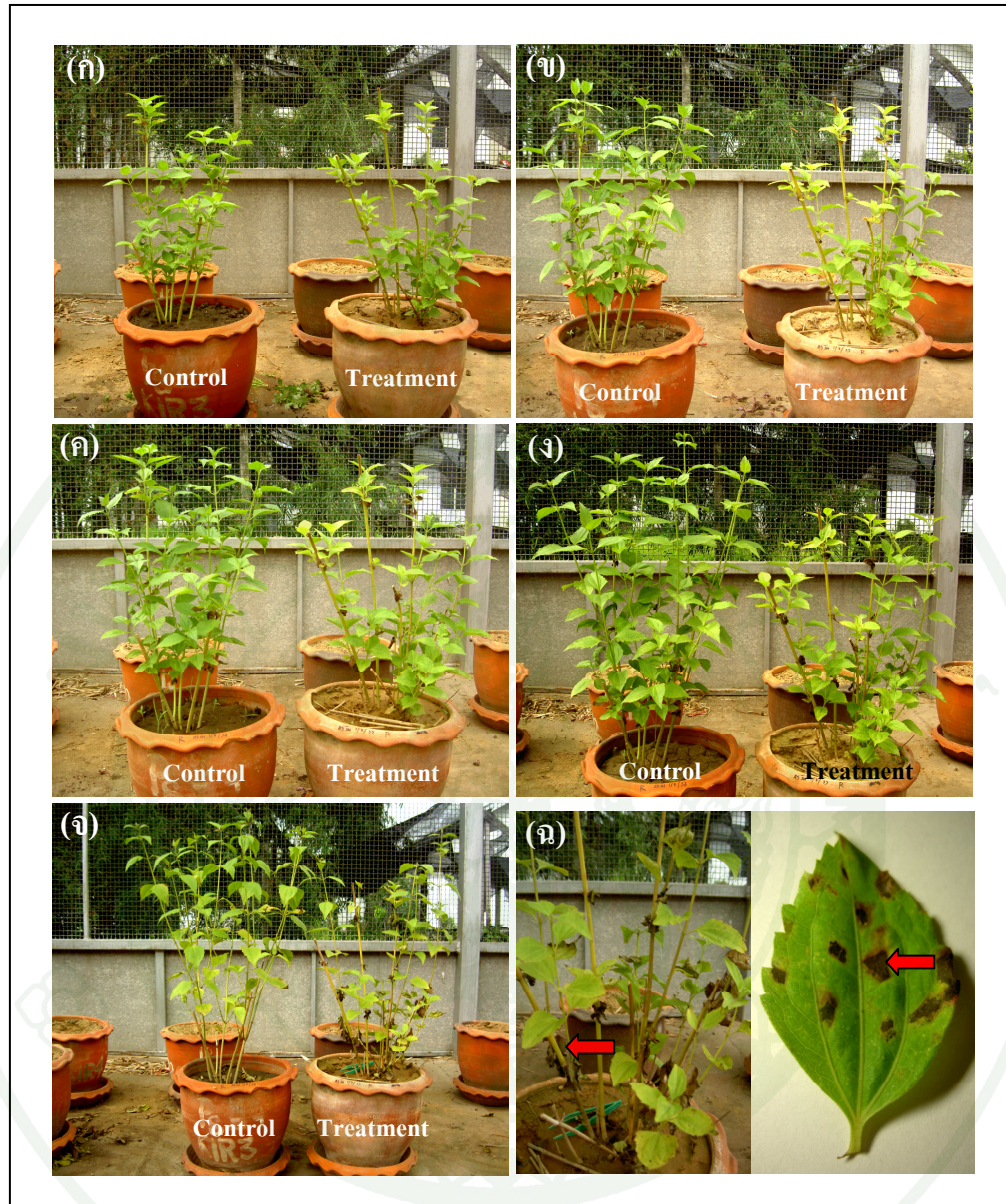
รวมทั้งเมื่อทำการวิเคราะห์ค่าความแตกต่างทางสถิติในการเจริญเติบโตของสาบเสือของน้ำหนักแห้งในส่วนใต้คิน พบร่วมกับระยะเวลาในการบำบัด 90 วันให้ค่าการเจริญเติบโตสูงสุด และไม่แตกต่างเมื่อเปรียบเทียบกับระยะเวลาในการบำบัด 75 และ 60 วันตามลำดับ แต่พบการเจริญเติบโตที่สูงกว่าเมื่อเปรียบเทียบกับระยะเวลาในการบำบัด 45, 30 และ 15 วันตามลำดับ และพบว่าที่ระยะเวลาในการบำบัด 45 วันให้ค่าการเจริญเติบโตที่ไม่แตกต่างเมื่อเปรียบเทียบกับระยะเวลาในการบำบัด 30 และ 15 วัน อย่างมีนัยสำคัญทางสถิติที่ระดับความเชื่อมั่นร้อยละ 95 ดังภาพที่ 18ก และตารางผนวกที่ ก1

#### 2.1.2 การเจริญเติบโตของสาบเสือในคินที่ป่นเปื้อนตะกั่วภายในร่องเรือนทดลอง

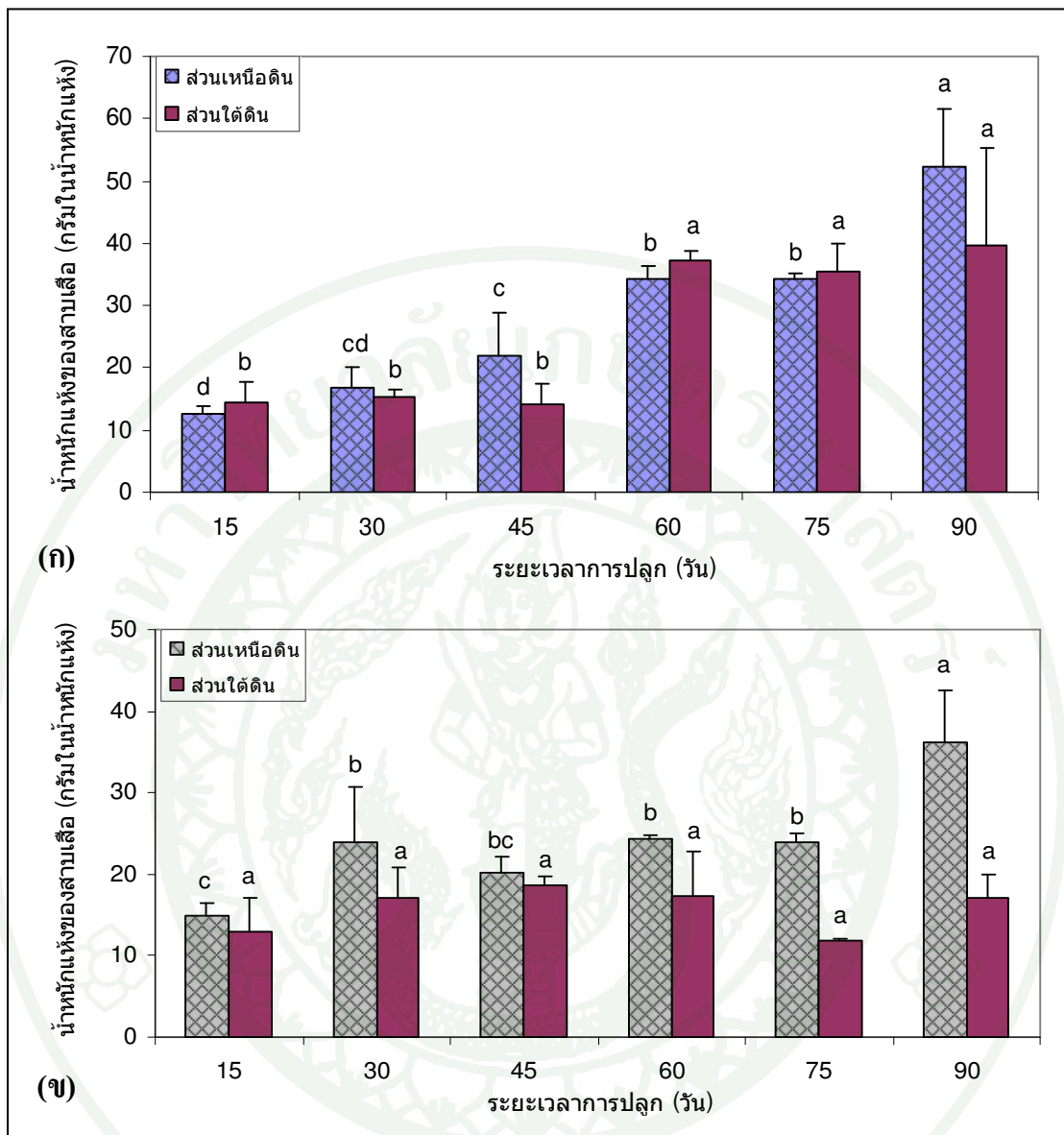
ผลการปลูกสาบเสือในคินที่ป่นเปื้อนตะกั่ว พบร่วมกับสาบเสือจะมีน้ำหนักแห้งที่เพิ่มสูงขึ้นตามระยะเวลาในการบำบัดเฉพาะในส่วนเหนือคินเช่นเดียวกับสาบเสือที่ปลูกในคินที่ไม่ป่นเปื้อน แต่ไม่พบความแตกต่างในส่วนใต้คิน โดยพบว่ามีน้ำหนักแห้งโดยเฉลี่ยตามระยะเวลาในการบำบัด 15, 30, 45, 60, 75 และ 90 วัน โดยเฉลี่ยเท่ากับ  $14.9 \pm 1.48$ ,  $23.9 \pm 6.79$ ,  $20.3 \pm 1.92$ ,  $24.4 \pm 0.31$ ,  $24.0 \pm 1.13$  และ  $36.18 \pm 6.41$  กรัมตามลำดับในส่วนเหนือคิน และเท่ากับ  $12.90 \pm 4.20$ ,  $17.10 \pm 3.63$ ,  $18.53 \pm 1.15$ ,  $17.39 \pm 5.49$ ,  $11.77 \pm 0.21$  และ  $17.07 \pm 2.93$  กรัมตามลำดับในส่วนใต้คิน

เมื่อทำการวิเคราะห์ค่าความแตกต่างทางสถิติในการเจริญเติบโตของสาบเสือในรูปน้ำหนักแห้งในส่วนเหนือดิน พบว่าที่ระยะเวลาในการบำบัด 90 วัน ให้ค่าการเจริญเติบโตสูงสุด และมีค่าการเจริญเติบโตที่สูงกว่าเมื่อเปรียบเทียบกับระยะเวลาในการบำบัด 75, 60, 45, 30 และ 15 วันตามลำดับ และพบว่าที่ระยะเวลาในการบำบัด 75 วัน ให้ค่าการเจริญเติบโตที่ไม่แตกต่างเมื่อเปรียบเทียบกับระยะเวลาในการบำบัด 60, 45 และ 30 วัน ตามลำดับแต่พบการเจริญเติบโตที่สูงกว่า เมื่อเปรียบเทียบกับระยะเวลาในการบำบัด 15 วัน อีกทั้งพบว่าที่ระยะเวลาในการบำบัด 45 วัน ให้ค่าการเจริญเติบโตที่ไม่แตกต่างเมื่อเปรียบกับที่ระยะเวลาในการบำบัด 15 วัน อย่างมีนัยสำคัญทางสถิติที่ระดับความเชื่อมั่นร้อยละ 95 ดังภาพที่ 18x และตารางผนวกที่ ก1

รวมทั้งเมื่อทำการวิเคราะห์ค่าความแตกต่างทางสถิติในการเจริญเติบโตของสาบเสือในรูปน้ำหนักแห้งในส่วนใต้ดิน พบว่าที่ระยะเวลาในการบำบัด 45 วัน ให้ค่าการเจริญเติบโตสูงสุดและไม่แตกต่างเมื่อเปรียบเทียบกับระยะเวลาในการบำบัดอื่นๆ ในทุก darmaband อย่างมีนัยสำคัญทางสถิติที่ระดับความเชื่อมั่นร้อยละ 95 ดังภาพที่ 18x และตารางผนวกที่ ก1



ภาพที่ 17 การเจริญเติบโตของสาบเลือในคืนที่ไม่ป่นเปื้อนตะกั่ว (control) และคืนที่ป่นเปื้อน ตะกั่ว (treatment) ที่ระยะเวลาการปลูก 30 วัน (ก) 45 วัน (ข) 60 วัน (ค) 75 วัน (ง) 90 วัน (จ) และลักษณะการแสดงออกของความเป็นพิษของสาบเสื่อยาหลังจากการปลูก ในคืนที่ป่นเปื้อนตะกั่ว (ฉ) (ลูกครรช์)



ภาพที่ 18 ปริมาณน้ำหนักแห้งของสาบเสื้อที่ได้ภายหลังการบำบัดดินภายนอกเพื่อสภาพควบคุมใน โรงเรือนทดลอง; (ก) ดินที่ไม่ปนเปื้อนตะกั่ว (ห) ดินที่ปนเปื้อนตะกั่ว

## 2.2 ปริมาณการดูดใช้และสะสมตะกั่วของสาบเสือภัยหลังการบำบัดดินที่ป่นเปี้ยนและไม่ป่นเปี้ยนตะกั่วภัยใต้สภาพความคุณในโรงเรือนทดลอง

### 2.2.1 ปริมาณการดูดใช้และสะสมตะกั่วของสาบเสือในดินที่ไม่ป่นเปี้ยนตะกั่วภัยใต้สภาพความคุณในโรงเรือนทดลอง

ผลการปลูกสาบเสือในดินที่ไม่ป่นเปี้ยนตะกั่ว พบปริมาณความเข้มข้นของ total Pb ในสาบเสือตามระยะเวลาในการบำบัด 15, 30, 45, 60, 75 และ 90 วัน โดยเฉลี่ยเท่ากับ  $0.13 \pm 0$ ,  $0.39 \pm 0.08$ ,  $0.71 \pm 0.39$ ,  $0.65 \pm 0.13$ ,  $1.03 \pm 0.21$  และ  $1.73 \pm 0.30$  มิลลิกรัมต่อดินในน้ำหนักแห้ง ตามลำดับในส่วนเหนือดิน และเท่ากับ  $1.26 \pm 0.28$ ,  $1.09 \pm 0.15$ ,  $0.97 \pm 0.05$ ,  $3.04 \pm 0.05$ ,  $2.99 \pm 0.32$  และ  $3.41 \pm 1.14$  มิลลิกรัมต่อดินในน้ำหนักแห้ง ตามลำดับในส่วนใต้ดิน

เมื่อทำการวิเคราะห์ค่าความแตกต่างทางสถิติถึงปริมาณการดูดใช้และสะสมตะกั่วภัยหลังการบำบัดในส่วนเหนือดิน พบว่าที่ระยะเวลาการเก็บเกี่ยว 90 วันพบปริมาณการดูดใช้และสะสมตะกั่วสูงสุดและมีปริมาณการดูดใช้และสะสมตะกั่วที่สูงกว่าเมื่อเปรียบเทียบกับระยะเวลาการเก็บเกี่ยว 75, 60, 45, 30 และ 15 วันตามลำดับ โดยพบว่าที่ระยะเวลาการเก็บเกี่ยว 75 วันพบปริมาณการดูดใช้และสะสมตะกั่วที่ไม่แตกต่างเมื่อเปรียบเทียบกับระยะเวลาการเก็บเกี่ยว 60 และ 45 วัน แต่พบปริมาณการดูดใช้และสะสมตะกั่วที่สูงกว่าเมื่อเปรียบเทียบกับสาบเสือที่ระยะเวลาการเก็บเกี่ยว 30 และ 15 วันตามลำดับ และพบว่าที่ระยะเวลาการเก็บเกี่ยว 30 วันพบปริมาณการดูดใช้และสะสมตะกั่วที่ไม่แตกต่างที่ระยะเวลาการเก็บเกี่ยว 15 วัน อย่างมีนัยสำคัญทางสถิติที่ระดับความเชื่อมั่นร้อยละ 95 ดังภาพที่ 19ก และตารางผนวกที่ ก2

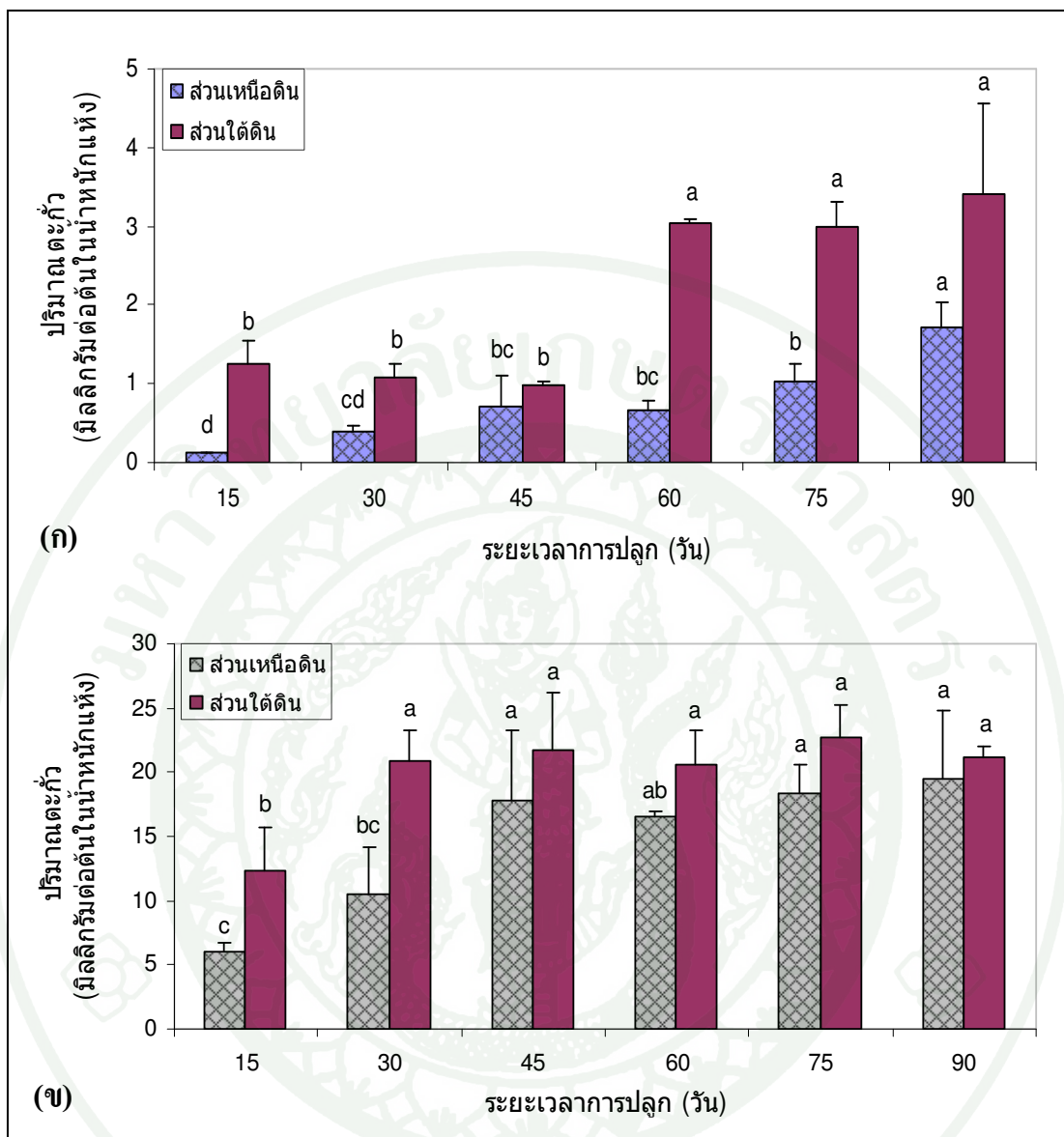
รวมทั้งเมื่อทำการวิเคราะห์ค่าความแตกต่างทางสถิติถึงปริมาณการดูดใช้และสะสมตะกั่วภัยหลังการบำบัดในส่วนใต้ดิน พบว่าที่ระยะเวลาการเก็บเกี่ยว 90 วันพบปริมาณการดูดใช้และสะสมตะกั่วสูงสุดและไม่แตกต่างทางสถิติเมื่อเปรียบเทียบกับสาบเสือที่ระยะเวลาการเก็บเกี่ยว 75 และ 60 วันตามลำดับ แต่พบปริมาณการดูดใช้และสะสมตะกั่วที่สูงกว่าเมื่อเปรียบเทียบกับระยะเวลาการเก็บเกี่ยว 45, 30 และ 15 วันตามลำดับ อีกทั้งพบว่าที่ระยะเวลาการเก็บเกี่ยว 45 วันพบปริมาณการดูดใช้และสะสมตะกั่วที่ไม่แตกต่างเมื่อเปรียบเทียบกับสาบเสือที่ระยะเวลาการเก็บเกี่ยว 15 และ 30 วันตามลำดับ อย่างมีนัยสำคัญทางสถิติที่ระดับความเชื่อมั่นร้อยละ 95 ดังภาพที่ 19ก และตารางผนวกที่ ก2

### 2.2.2 ปริมาณการดูดใช้และสะสมตะกั่วของสาบเสือในдинที่ป่นเปื้อนตะกั่วภายในสภากาแฟคุณในโรงเรือนทดลอง

ผลการปลูกสาบเสือในдинที่ป่นเปื้อนตะกั่ว พบปริมาณความเข้มข้นของ total Pb ในสาบเสือตามระยะเวลาในการบำบัด 15, 30, 45, 60, 75 และ 90 วัน โดยเฉลี่ยเท่ากับ  $6.07 \pm 0.65$ ,  $10.45 \pm 3.74$ ,  $17.78 \pm 5.54$ ,  $16.49 \pm 0.48$ ,  $18.37 \pm 2.22$  และ  $19.54 \pm 5.33$  มิลลิกรัมต่อตันในน้ำหนักแห้งตามลำดับในส่วนเหนือдин และเท่ากับ  $12.29 \pm 3.46$ ,  $20.87 \pm 2.39$ ,  $21.72 \pm 4.43$ ,  $20.65 \pm 2.63$ ,  $22.68 \pm 2.63$  และ  $21.21 \pm 0.82$  มิลลิกรัมต่อตันในน้ำหนักแห้ง ตามลำดับในส่วนใต้din

เมื่อทำการวิเคราะห์ค่าความแตกต่างทางสถิติถึงปริมาณการดูดใช้และสะสมตะกั่วภายหลังการบำบัดในส่วนเหนือдин พบว่าที่ระยะเวลาการเก็บเกี่ยว 90 วันพบปริมาณการดูดใช้และสะสมตะกั่วสูงสุดและมีปริมาณการดูดใช้และสะสมตะกั่วที่ไม่แตกต่างเมื่อเปรียบเทียบกับระยะเวลาการเก็บเกี่ยว 75, 60 และ 45 วันตามลำดับ แต่พบปริมาณการดูดใช้และสะสมตะกั่วที่สูงกว่าเมื่อเปรียบเทียบกับสาบเสือที่ระยะเวลาการเก็บเกี่ยว 30 และ 15 วันตามลำดับ และพบว่าที่ระยะเวลาการเก็บเกี่ยว 30 วันพบปริมาณการดูดใช้และสะสมตะกั่วที่ไม่แตกต่างที่ระยะเวลาการเก็บเกี่ยว 15 วันอย่าง มีนัยสำคัญทางสถิติที่ระดับความเชื่อมั่นร้อยละ 95 ดังภาพที่ 19x และตารางผนวกที่ ก2

รวมทั้งเมื่อทำการวิเคราะห์ค่าความแตกต่างทางสถิติถึงปริมาณการดูดใช้และสะสมตะกั่วภายหลังการบำบัดในส่วนใต้din พบว่าที่ระยะเวลาการเก็บเกี่ยว 90 วันพบปริมาณการดูดใช้และสะสมตะกั่วสูงสุดและมีปริมาณการดูดใช้และสะสมตะกั่วที่ไม่แตกต่างเมื่อเปรียบเทียบกับระยะเวลาการเก็บเกี่ยว 75, 60, 45 และ 30 วันตามลำดับ แต่พบปริมาณการดูดใช้และสะสมตะกั่วที่สูงกว่าเมื่อเปรียบเทียบกับสาบเสือที่ระยะเวลาการเก็บเกี่ยว 15 วัน อย่างมีนัยสำคัญทางสถิติที่ระดับความเชื่อมั่นร้อยละ 95 ดังภาพที่ 19x และตารางผนวกที่ ก2



ภาพที่ 19 ปริมาณการคุ้ดใช้และสะสมต่อต้นในหน้าฝนแห้ง  
ควบคุมในโรงเรือนทดลอง; (ก) คืนที่ไม่ปนเปื้อนตะกั่ว (ข) คืนที่ปนเปื้อนตะกั่ว

## 2.3 ปริมาณความเข้มข้นของตะกั่วในดินภายหลังการบำบัดดินที่ป่นเปื้อนและไม่ป่นเปื้อน ตะกั่วด้วยสารเสื่อภัยใต้สภาพควบคุมในโรงเรือนทดลอง

### 2.3.1 ปริมาณความเข้มข้นของตะกั่วในดินภายหลังการบำบัดด้วยสารเสื่อภัยในดินที่ไม่ป่นเปื้อนตะกั่วภัยใต้สภาพควบคุมในโรงเรือนทดลอง

ผลการปลุกสารเสื่อในดินที่ไม่ป่นเปื้อนตะกั่ว พบปริมาณความเข้มข้นของ available Pb ในดินภายหลังจากการบำบัดเมื่อใช้ระยะเวลาในการบำบัด 15, 30, 45, 60, 75 และ 90 วัน โดยเฉลี่ยเท่ากับ  $1.29 \pm 0.02$ ,  $1.29 \pm 0.05$ ,  $1.44 \pm 0.10$ ,  $1.41 \pm 0.02$ ,  $1.43 \pm 0.07$  และ  $1.40 \pm 0.02$  มิลลิกรัมต่อกิโลกรัมตามลำดับ และปริมาณความเข้มข้นของ total Pb ในดินภายหลังการบำบัด โดยเฉลี่ยเท่ากับ  $28.40 \pm 5.49$ ,  $30.19 \pm 5.26$ ,  $35.84 \pm 7.44$ ,  $31.72 \pm 2.67$ ,  $33.67 \pm 4.86$  และ  $32.59 \pm 0.51$  มิลลิกรัมต่อกิโลกรัมตามลำดับ

เมื่อทำการวิเคราะห์ค่าความแตกต่างทางสถิติถึงปริมาณความเข้มข้นของ available Pb ในดินภายหลังการบำบัด พบว่าที่ระยะเวลาการบำบัด 45 วันพบปริมาณความเข้มข้นของ available Pb ในดินสูงสุดและมีปริมาณที่ไม่แตกต่างเมื่อเปรียบเทียบกับปริมาณ available Pb ในดินภายหลังการบำบัดด้วยสารเสื่อที่ระยะเวลาในการบำบัด 30, 75, 60 และ 90 วันตามลำดับ แต่พบปริมาณความเข้มข้นของ available Pb ที่สูงกว่าเมื่อเปรียบเทียบกับกับปริมาณ available Pb ในดินภายหลังการบำบัดด้วยสารเสื่อที่ระยะเวลาในการบำบัด 15 วัน อย่างมีนัยสำคัญทางสถิติที่ระดับความเชื่อมั่นร้อยละ 95 ดังภาพที่ 20k และตารางผนวกที่ ก3

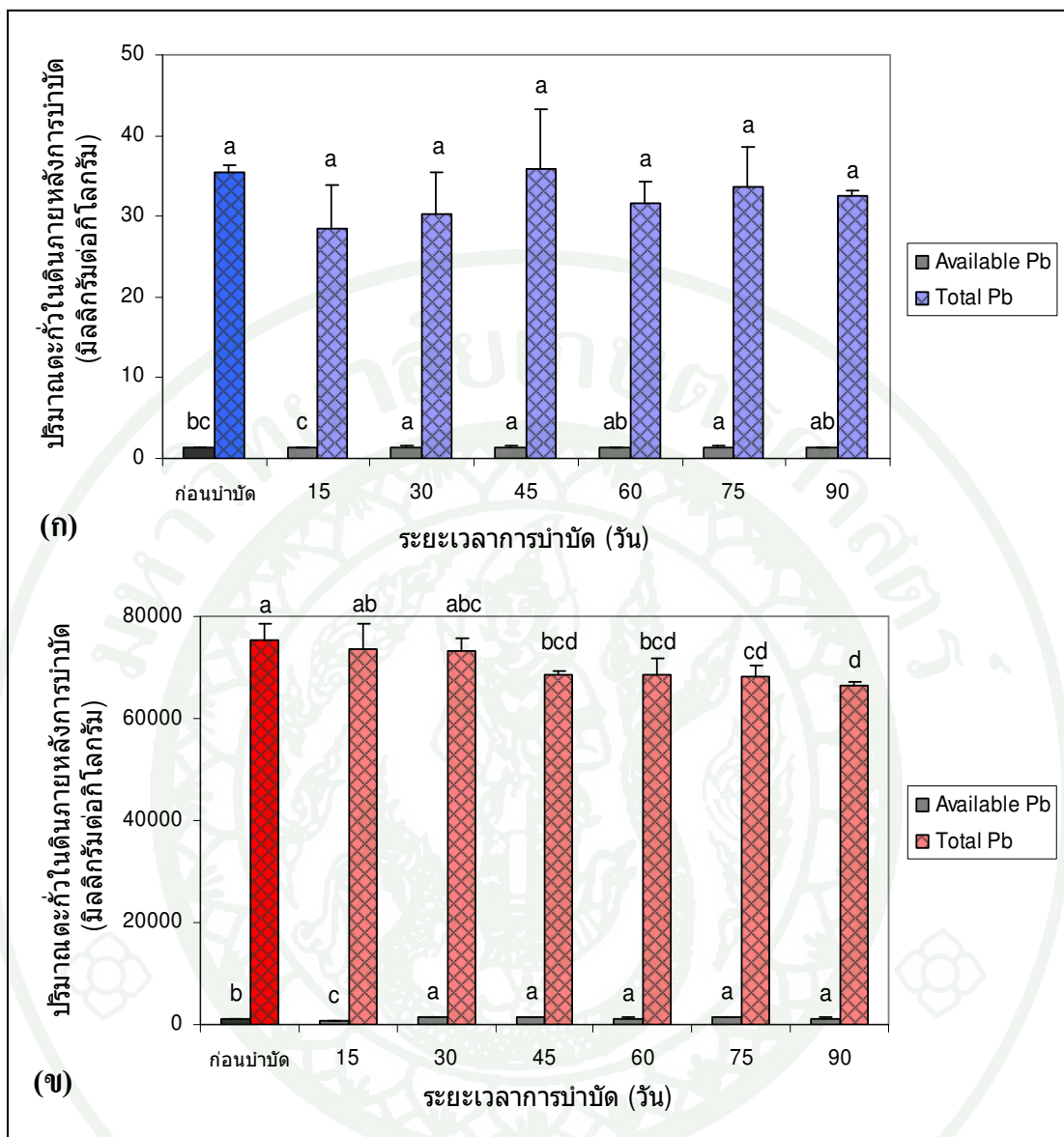
รวมทั้งเมื่อทำการวิเคราะห์ค่าความแตกต่างทางสถิติถึงปริมาณความเข้มข้นของ total Pb ในดินภายหลังการบำบัด พบว่าที่ระยะเวลาการบำบัด 45 วันพบปริมาณความเข้มข้นของ total Pb ในดินสูงสุดแต่มีปริมาณที่ไม่แตกต่างเมื่อเปรียบเทียบกับปริมาณ total Pb ในดินภายหลังการบำบัดด้วยสารเสื่อที่ระยะเวลาการบำบัดในทุกตำแหน่งทดลอง อย่างมีนัยสำคัญทางสถิติที่ระดับความเชื่อมั่นร้อยละ 95 ดังภาพที่ 20k และตารางผนวกที่ ก3

### 2.3.2 ปริมาณความเข้มข้นของตะกั่วในดินภายหลังการบำบัดด้วยสาบเสื่อในดินที่ปนเปื้อนตะกั่วภายนอกสภาพควบคุมในโรงเรือนทดลอง

จากการปนเปื้อนดินที่ปนเปื้อนตะกั่ว พบริมาณความเข้มข้นของ available Pb ในดินภายหลังจากการบำบัดเมื่อใช้ระยะเวลาในการบำบัด 15, 30, 45, 60, 75 และ 90 วัน โดยเฉลี่ยเท่ากับ โดยเฉลี่ยเท่ากับ  $842.60 \pm 38.39$ ,  $1,282.54 \pm 41.32$ ,  $1,317.42 \pm 44.18$ ,  $1,246.86 \pm 57.04$ ,  $1,303.77 \pm 22.27$  และ  $1,243.27 \pm 81.38$  มิลลิกรัมต่อกิโลกรัมตามลำดับ และพบปริมาณความเข้มข้นของ total Pb ในดินภายหลังจากการบำบัดโดยเฉลี่ยเท่ากับ  $73,570.31 \pm 4,844.88$ ,  $73,351.67 \pm 2,276.03$ ,  $68,446.46 \pm 868.22$ ,  $68,633.85 \pm 3,016.75$ ,  $68,250.0 \pm 2,215.56$  และ  $66,530.63 \pm 584.89$  มิลลิกรัมต่อกิโลกรัมตามลำดับ

เมื่อทำการวิเคราะห์ค่าความแตกต่างทางสถิติถึงปริมาณความเข้มข้นของ available Pb ในดินภายหลังการบำบัด พบร่วมกับระยะเวลาการบำบัด 90 วันพบปริมาณความเข้มข้นของ available Pb ในดินสูงสุด และมีปริมาณตะกั่วที่ไม่แตกต่างเมื่อเปรียบเทียบกับปริมาณ available Pb ในดินภายหลังการบำบัดด้วยสาบเสื่อที่ระยะเวลาในการบำบัด 75, 60, 45 และ 30 วันตามลำดับ แต่พบปริมาณความเข้มข้นของ available Pb ที่สูงกว่าเมื่อเปรียบเทียบกับปริมาณ available Pb ในดินภายหลังการบำบัดด้วยสาบเสื่อที่ระยะเวลาในการบำบัด 15 วัน อย่างมีนัยสำคัญทางสถิติที่ระดับความเชื่อมั่นร้อยละ 95 ดังภาพที่ 20x และตารางผนวกที่ ก3

รวมทั้งเมื่อทำการวิเคราะห์ค่าความแตกต่างทางสถิติถึงปริมาณความเข้มข้นของ total Pb ในดินภายหลังการบำบัด พบร่วมกับระยะเวลาการบำบัด 15 วันพบปริมาณความเข้มข้น total Pb ในดินสูงสุดและมีปริมาณที่ไม่แตกต่างเมื่อเปรียบเทียบกับปริมาณ total Pb ในดินภายหลังการบำบัดด้วยสาบเสื่อที่ระยะเวลาในการบำบัด 30, 45 และ 60 วันตามลำดับ แต่พบปริมาณความเข้มข้นของ total Pb ที่สูงกว่าเมื่อเปรียบเทียบกับปริมาณตะกั่วทั้งหมดในดินภายหลังการบำบัดด้วยสาบเสื่อที่ระยะเวลาในการบำบัด 75 และ 90 วันตามลำดับ และพบปริมาณความเข้มข้นของ total Pb ในดินภายหลังการบำบัดด้วยสาบเสื่อที่ระยะเวลาในการบำบัด 75 วันที่ไม่แตกต่างเมื่อเปรียบเทียบกับปริมาณ total Pb ในดินภายหลังการบำบัดด้วยสาบเสื่อที่ระยะเวลาในการบำบัด 90 วัน อย่างมีนัยสำคัญทางสถิติที่ระดับความเชื่อมั่นร้อยละ 95 ดังภาพที่ 20x และตารางผนวกที่ ก3



ภาพที่ 20 ปริมาณความเข้มข้นของตะกั่วในดินภายหลังการนำบดด้วยสาบเสือภายในตัวอย่างในโรงเรือนทดลอง; (ก) ดินที่ไม่ป่นเป็นตะกั่ว (ข) ดินที่ป่นเป็นตะกั่ว

แต่อย่างไรก็ตามจากผลการทดลองถึงศักยภาพของสารเสื่อในการบำบัดดินที่ปนเปื้อนและไม่ปนเปื้อนตะกั่วภายในโรงเรือนทดลอง พบปริมาณความเข้มข้นของ available Pb ในดินที่เพิ่มขึ้นอย่างมีนัยสำคัญทางสถิติ ภายหลังจากการบำบัดทั้งในดินที่ปนเปื้อนและดินไม่ปนเปื้อน โดยมีสาเหตุสำคัญจากอิทธิพลของสารหลั่งราก (root exudates) ซึ่งเป็นสารประกอบที่เกิดขึ้นตามธรรมชาติของพืช โดย root exudates เป็นสารประกอบอินทรีย์จำพวกกรดอินทรีย์และกรดอะมิโนที่มีประโยชน์ ในการเปลี่ยนแปลงลักษณะทางเคมีของแร่ธาตุต่างๆ ในดินให้อยู่ในรูปที่พืชสามารถดูดใช้และสะสมได้โดยตรง ซึ่งจากการศึกษาของ Uren and Reisenaner (1998); Kim *et al.* (2010) พบความสัมพันธ์ของปริมาณ root exudates ที่แปรผันตามการเจริญเติบโตของพืช รวมทั้งจากการศึกษาของ Krishnamurti *et al.* (1997); Nigam *et al.* (2001); Liu *et al.* (2008) ที่พบอิทธิพลของ root exudates ที่มีความสำคัญต่อปริมาณของโลหะหนักในรูปที่พืชสามารถดูดใช้และสะสมได้ โดยในพืชที่มีศักยภาพในการบำบัดดินที่ปนเปื้อนโลหะหนักมีการสร้าง root exudates เพิ่มมากขึ้นเมื่อพืชมีการเจริญเติบโต ซึ่งเป็นสมบัติสำคัญของพืชที่เหมาะสมต่อการบำบัดในเทคนิค phytoremediation

โดยสาเหตุที่พบปริมาณสารหลั่งรากที่เพิ่มขึ้น ในแต่ละระยะเวลาการเจริญเติบโตของสารเสื่อเมื่อใช้ระยะเวลาในการบำบัดดินที่เพิ่มมากขึ้น พิจารณาจากปริมาณน้ำหนักแห้งของต้นสามเสือที่ได้ภายหลังการเก็บเกี่ยวทั้งในส่วนของสารเสื่อที่ปลูกในดินที่ปนเปื้อนและไม่ปนเปื้อน พบน้ำหนักแห้งโดยเฉลี่ยเพิ่มสูงขึ้นตามระยะเวลาในการบำบัด ทั้งในส่วนเหนือดินและล่างใต้ดินดังที่ได้กล่าวมาแล้วในผลการทดลองที่ 2.1 (ภาพที่ 18) จึงส่งผลต่อปริมาณ available Pb ที่เพิ่มขึ้นอย่างมีนัยสำคัญทางสถิติภายหลังจากการบำบัดทั้งในส่วนของการปลูกสามเสื่อในดินที่ปนเปื้อนและไม่ปนเปื้อนตะกั่ว ดังภาพที่ 20

จากการศึกษาศักยภาพของสารเสื่อในการบำบัดดินที่ปนเปื้อนตะกั่ว ภายใต้สภาพควบคุมในโรงเรือนทดลอง สามารถสรุปถึงศักยภาพของสารเสื่อในการบำบัดโดยสารเสื่อสามารถบำบัดดินที่มีปริมาณความเข้มข้นของ total Pb โดยเฉลี่ยก่อนการบำบัดเท่ากับ  $75,529.38 \pm 2,935.98$  มิลลิกรัมต่อกิโลกรัม ให้ลดลงจนมีปริมาณความเข้มข้นของ total Pb ในดินโดยเฉลี่ยภายหลังการบำบัดเท่ากับ  $66,530.63 \pm 584.89$  มิลลิกรัมต่อกิโลกรัม ที่ระยะเวลาการบำบัด 90 วัน อย่างมีนัยสำคัญทางสถิติ โดยมีประสิทธิภาพในการบำบัดคิดเป็นร้อยละ 11.91 ต่อหนึ่งรอบของการบำบัด (crop) แต่จากการเพิ่มขึ้นของปริมาณความเข้มข้นของ available Pb ที่เพิ่มสูงขึ้นจากอิทธิพลของ root exudates ตามกระบวนการบำบัด ดังนั้นในการใช้สามเสื่อหรือพืชชนิดอื่นๆ ที่มีสมบัติ

ในการบำบัดดินที่ป่นเปี้ยนตะกั่ว ควรใช้ระยะเวลาในการบำบัดที่ไม่ส่งผลกระทบต่อการแพร่กระจายของ available Pb ในดิน ซึ่งเป็นตะกั่วในรูปที่สามารถเคลื่อนข่ายสู่สิ่งแวดล้อมได้ และจากผลการทดลองพบว่าปริมาณการคุณใช้และสะสมตะกั่วของสาบเสือตามระยะเวลาในการบำบัด 15, 30, 45, 60, 75 และ 90 วัน จากผลการทดลองที่ 2.2.2 พบว่าสาบเสือแสดงอาการเป็นพิษต่อตะกั่ว โดยมีอาการของรอยไหม้ (necrosis) ในส่วนใบ ตั้งแต่ระยะเวลาในการบำบัด 45 วัน ซึ่งส่งผลต่อการเจริญเติบโตของสาบเสือ ดังภาพที่ 17

สำหรับอัตราการคุณใช้และสะสมตะกั่วของสาบเสือในดินที่ป่นเปี้ยนตะกั่ว พบว่ามีแนวโน้มคงที่อย่างมีนัยสำคัญทางสถิติเมื่อระยะเวลาในการบำบัด 30 วัน ในส่วนใต้ดิน และ 45 วัน ในส่วนเหนือดิน (ภาพที่ 19x) แม้ว่าจากผลการทดลองพบว่า อัตราการคุณใช้และสะสมตะกั่วมีแนวโน้มคงที่ ณ ระยะเวลาในการบำบัด 30 วัน ในส่วนใต้ดิน แต่มือทำการเปรียบเทียบอัตราการคุณใช้และสะสมตะกั่วของสาบเสือในส่วนเหนือดิน ที่ระยะเวลาในการบำบัด 30 และ 45 วัน ยังพบการเคลื่อนข้ายางของตะกั่วในสาบเสือจากกรากสู่ลำต้น เมื่อระยะเวลาในการบำบัดเพิ่มขึ้นจาก 30 เป็น 45 วัน จึงเป็นตัวบ่งชี้ที่สำคัญในการสนับสนุนถึงความสามารถในการเคลื่อนข้ายางตะกั่ว (Pb translocation) เมื่อใช้สาบเสือในการบำบัด ส่งผลต่อการพิจารณาถึงประสิทธิภาพและระยะเวลาในการบำบัดที่เหมาะสมของสาบเสือ ในการบำบัดดินที่ป่นเปี้ยนตะกั่วด้วยเทคนิค phytoremediation

ดังนั้นที่ระยะเวลาบำบัด 45 วัน จึงเป็นระยะเวลาที่เหมาะสมต่อการใช้สาบเสือในการบำบัดดินที่ป่นเปี้ยนตะกั่ว โดยพิจารณาจากอัตราการคุณใช้และสะสมตะกั่วของสาบเสือที่มีแนวโน้มคงที่ เมื่อเวลาในการบำบัดผ่านไป 45 วันในส่วนเหนือดิน อันเนื่องมาจากการศึกษาของ Mattina *et al.* (2003); Deram *et al.* (2006); Khan *et al.* (2006); Branquinho *et al.* (2007) ที่พบว่า ปริมาณการคุณใช้และสะสมโลหะหนักในส่วนเหนือดินนั้น เป็นดัชนีชี้วัดที่สำคัญในการบ่งบอกถึงความสามารถในการเคลื่อนข้ายางและสะสมของโลหะหนักจากกรากสู่ลำต้นของพืช อีกทั้งจากการทดลองที่พับปริมาณความเข้มข้นของ total Pb ในดินภายหลังจากการบำบัด มีแนวโน้มคงที่อย่างนัยสำคัญทางสถิติ (ภาพที่ 20x) จึงเป็นดัชนีชี้วัดที่สำคัญอีกประการหนึ่งที่บ่งบอกถึงความสามารถของสาบเสือในการบำบัดดินที่ป่นเปี้ยนตะกั่ว จากผลการศึกษาถึงความสามารถในการคุณใช้และสะสมตะกั่วของสาบเสือในการบำบัดดินที่ป่นเปี้ยนตะกั่วในสภาพพื้นที่จริงเพื่อกำหนดระยะเวลาที่ใช้ในการบำบัดและเวลาในการเก็บเกี่ยวภายหลังจากการบำบัดด้วยพืช ซึ่งเป็นข้อได้เปรียบในการเพิ่มจำนวนรอบของการบำบัดใน 1 ปี ที่ส่งผลต่อประสิทธิภาพในการบำบัดเพิ่มสูงขึ้นจากการใช้ระยะเวลาบำบัดที่สั้นลง

อย่างไรก็ตามจากการศึกษาศักยภาพของสารเสื่อในการบำบัดดินที่ปนเปื้อนตะกั่วภายในสภาพควบคุมในโรงเรือนทดลอง ต่อคุณสมบัติของพืชที่มีศักยภาพเข้าเกณฑ์ lead hyperaccumulator โดยการพิจารณาจากดัชนีชี้วัดต่างๆ ดังที่ได้กล่าวมาแล้วในส่วนของการตรวจเอกสาร ถึงข้อพิจารณาศักยภาพของพืชในการบำบัดดินที่ปนเปื้อนตะกั่ว พบว่าสารเสื่อมีลักษณะโดยรวมที่ไม่เข้าเกณฑ์ของพืชที่มีคุณสมบัติเป็น lead hyperaccumulator โดยจากการพิจารณาที่ระยะเวลาในการเก็บเกี่ยว 45 วัน ซึ่งเป็นระยะเวลาที่เหมาะสมในการบำบัดจากการอภิปรายผลในข้างต้น พบสารเสื่อมีปริมาณการดูดใช้และสะสมตะกั่วในส่วนเหนือดินของสารเสื่อ โดยเฉลี่ยเท่ากับ  $864.6 \pm 198.7$  มิลลิกรัมต่อกิโลกรัม พบค่า TF เท่ากับ 0.74 และ BAF เท่ากับ 0.67 และ C/N ratio เท่ากับ 25.13 เท่า (ตารางที่ 7) ซึ่งจากการศึกษาศักยภาพของสารเสื่อในการบำบัดดินที่ปนเปื้อนตะกั่วซึ่งไม่เข้าเกณฑ์ดังกล่าว ซึ่งอาจมีสาเหตุมาจากระดับความเป็นพิษของตะกั่วในดินบริเวณด้านตะกอนทางแร่ซึ่งเป็นดินที่เลือกใช้ในการศึกษาที่ส่งผลต่อความสามารถในการเจริญเติบโตของสารเสื่อ ซึ่งมีผลโดยตรงต่อศักยภาพในการบำบัด (ตารางที่ 2) จากการพิจารณาถึงศักยภาพของสารเสื่อในการดูดใช้และสะสมตะกั่ว จากการสำรวจพรั่งระบายน้ำของพืชในผลกระทบดินที่ 1.5 พบการพรั่งระบายน้ำของสารเสื่อในพื้นที่โรงแต่งแร่ซึ่งเข้าเกณฑ์ lead hyperaccumulator เพียงบริเวณเดียว (ตารางที่ 5) สามารถสนับสนุนถึงความสามารถในการทนต่อระดับความเป็นพิษของตะกั่วในดินเมื่อใช้สารเสื่อในการบำบัด เมื่อมีการปนเปื้อนตะกั่วในดินที่สูงเกินระดับความเข้มข้นของปริมาณตะกั่วที่พบในพื้นที่โรงแต่งแร่ โดยเฉพาะอย่างยิ่งในส่วนของปริมาณ available Pb ซึ่งเป็นตะกั่วในรูปที่พืชสามารถดูดใช้และสะสมโดยตรง จึงส่งผลต่อการเจริญเติบโตของสารเสื่อในสภาพควบคุมในโรงเรือนทดลอง ซึ่งมีผลกระทบโดยตรงต่อประสิทธิภาพในการบำบัดดินที่ปนเปื้อนตะกั่ว

ดังนั้นเมื่อกล่าวโดยสรุปจากผลการทดลองถึงศักยภาพของสาบเสือในการนำบัดคินที่ป่นเป็นตะกั่วภายใต้สภาพควบคุมในโรงเรือนทดลอง สามารถนำไปประยุกต์ใช้ในการนำบัดคินที่เกิดการป่นเป็นตะกั่วในพื้นที่จริงได้ โดยสามารถคาดการณ์จำนวนรอบของการนำบัดคินในพื้นที่ล้านตะกอนทางแร่ ซึ่งมีปริมาณความเข้มข้นของ total Pb ในดินก่อนการนำบัดโดยเฉลี่ยเท่ากับ  $75,529.38 \pm 2,935.98$  มิลลิกรัมต่อกิโลกรัม ให้ลดลงจนมีปริมาณความเข้มข้นของ total Pb ในดินภายหลังการนำบัดโดยเฉลี่ยเท่ากับ  $68,446.46 \pm 868.22$  ที่ระยะเวลาในการนำบัด 45 วัน คิดเป็นประสิทธิภาพในการนำบัดร้อยละ 9.38 ต่อหนึ่งรอบของการนำบัด (crop) ดังนั้นเมื่อทำการคำนวณประสิทธิภาพของการนำบัดคินที่ป่นเป็นตะกั่วในพื้นที่ล้านตะกอนทางแร่ โดยใช้สาบเสือในการนำบัดเพื่อให้มีปริมาณความเข้มข้นของ total Pb ลดลงร้อยละ 50 ของปริมาณการป่นเป็นตะกั่วในดินทั้งหมด จะต้องทำการปลูกสาบเสือเพื่อใช้เป็นพืชนำบัดจำนวนทั้งสิ้น 6 รอบการนำบัด (crop) คิดเป็นระยะเวลาในการนำบัดทั้งสิ้น 8 เดือน โดยประมาณ อีกทั้งพบว่าประสิทธิภาพในการนำบัดอาจเพิ่มสูงขึ้น เมื่อใช้สาบเสือในการนำบัดคินที่มีปริมาณความเข้มข้นของ available Pb ไม่เกิน  $864.6 \pm 198.7$  มิลลิกรัมต่อกิโลกรัม หรือมีปริมาณความเข้มข้นของ total Pb ที่ไม่เกิน  $18,543.0 \pm 3,417.99$  มิลลิกรัมต่อกิโลกรัม จากเหตุผลที่พบสาบเสือมีความสามารถในการดูดใช้และสะสมตะกั่วได้สูงสุด เมื่อมีตะกั่วในรูป available Pb ไม่ก่อให้เกิดความเป็นพิษต่อการเจริญเติบโตของสาบเสือ ดังได้กล่าวไว้ข้างต้น รวมทั้งยังมีปัจจัยทางสภาพแวดล้อมภายในพื้นที่ที่เหมาะสมต่อการใช้สาบเสือในการนำบัด อาทิ ระดับของ pH ในดินที่ไม่ต่างจากน้ำท่วมขังสลับแห้งในพื้นที่ (flood-drying) ที่ส่งผลต่อระดับ pH ที่ลดต่ำลงตามระยะเวลาของการเกิดน้ำท่วมขังจากปฏิกิริยาออกซิเดชันและรีดักชัน (oxidation-reduction) ซึ่งส่งผลให้มีปริมาณตะกั่วในรูป available Pb เพิ่มสูงขึ้น ซึ่งส่งผลต่อประสิทธิภาพในการนำบัดคินที่ป่นเป็นตะกั่วด้วยสาบเสือในพื้นที่จริง

ตารางที่ 7 การพิจารณาสมบัติของสารเสื่อมต่อความสามารถในการบำบัดดินที่ป่นเปื้อนตะกั่วในระดับสูง (lead hyperaccumulator) จากการศึกษาศักยภาพของสารเสื่อมในการบำบัดดินที่ป่นเปื้อนตะกั่วภายใต้สภาพควบคุมในโรงเรือนทดลองที่ระยะเวลาในการบำบัด 45 วัน

หลักเกณฑ์ ในการพิจารณา	ค่าเกณฑ์ ขั้นต่ำที่ใช้	ศักยภาพของ สารเสื่อมจาก การทดลอง	ผลการ พิจารณา	เอกสารอ้างอิง
(1) ปริมาณความเข้มข้น ตะกั่วทั้งหมด (total Pb) ในส่วนเหนือดินที่ปลูก ในพื้นที่ป่นเปื้อน	มากกว่า 1,000 mg kg <sup>-1</sup>	864.6 mg kg <sup>-1</sup>	ไม่เข้าเกณฑ์	Baker and Brooks (1989)
(2) ค่า translocation factor (TF)	มากกว่า 1	0.74	ไม่เข้าเกณฑ์	Baker and Brooks (1989); Baker <i>et al.</i> (1994)
(3) ค่า bioaccumulation factor (BAF)	มากกว่า 1	0.67	ไม่เข้าเกณฑ์	Deram <i>et al.</i> (2006); Khan <i>et al.</i> (2006); Branquinho <i>et al.</i> (2007)
(4) อัตราส่วนปริมาณ ความเข้มข้นตะกั่วใน ส่วนเหนือดินที่ปลูกใน พื้นที่ป่นเปื้อนต่อพื้นที่ ไม่ป่นเปื้อน  (C/NC ratio)	10-500 เท่า	25.13 เท่า	เข้าเกณฑ์	Shen and Liu (1998)

### 3. การทดลองที่ 3 การศึกษาปริมาณตะกั่วจากองค์ประกอบทางเคมีของสาบเสือด้วยวิธี steam explosion และ Wayman's method

#### 3.1 การศึกษาสภาวะที่เหมาะสมในการศึกษาองค์ประกอบทางเคมีของสาบเสือด้วยวิธี steam explosion และ Wayman's method

##### 3.1.1 การศึกษาระดับของความดันที่เหมาะสมในการศึกษาองค์ประกอบทางเคมีของสาบเสือด้วยวิธี steam explosion และ Wayman's method

จากอิทธิพลของระดับความดันต่อปริมาณองค์ประกอบทางเคมีของสาบเสือ (*Chromolaena odorata*) ในการศึกษาสภาวะที่เหมาะสมของการศึกษาองค์ประกอบทางเคมีโดยวิธี steam explosion และ Wayman's method จากการนำตัวอย่างต้นสาบเสือที่ได้จากพื้นที่ไม่ปนเปื้อน เช่นเดียวในการทดลองที่ 2.2 ผ่านกระบวนการ steam explosion ภายใต้สภาวะแตกต่างกันที่ระดับความดัน 15, 17, 19, 21 และ 23 กิโลกรัมต่อตารางเซนติเมตร และควบคุมระยะเวลาในกระบวนการ steam explosion ที่เวลา 3 นาที ในทุกๆ สภาวะที่ใช้ในการทดลอง โดยผลจากการทดลองพบ สัดส่วนของปริมาณองค์ประกอบทางเคมีแต่ละชนิดในสาบเสือมีความแตกต่างกันภายใต้ระดับความดันต่างๆ ดังนี้

(1) ปริมาณ water-soluble material ในสาบเสือที่พบภายหลังกระบวนการ steam explosion และ Wayman's method โดยที่ระดับความดัน 15, 17, 19, 21 และ 23 กิโลกรัมต่อตารางเซนติเมตร พบปริมาณ water-soluble material ที่เพิ่มขึ้นเมื่อเพิ่มระดับความดันในกระบวนการ steam explosion ซึ่งพบปริมาณ water-soluble material โดยเฉลี่ยเท่ากับ  $0.25 \pm 0.001$ ,  $0.29 \pm 0.001$ ,  $0.29 \pm 0.001$ ,  $0.24 \pm 0.003$  และ  $0.25 \pm 0.002$  กรัมต่อตัวอย่างสาบเสือ 1 กรัมในน้ำหนักแห้ง ตามลำดับซึ่งจากผลการทดลองพบปริมาณ water-soluble material สูงสุด ณ ระดับความดัน 17 กิโลกรัมต่อตารางเซนติเมตร โดยไม่มีความแตกต่างทางสถิติเมื่อเปรียบเทียบกับปริมาณ water-soluble material ที่เกิดขึ้น ณ ระดับความดัน 19 กิโลกรัมต่อตารางเซนติเมตร แต่พบปริมาณ water-soluble material ที่มากกว่าเมื่อเปรียบเทียบกับปริมาณ water-soluble material ที่เกิดขึ้น ณ ระดับความดัน 15, 23 และ 21 กิโลกรัมต่อตารางเซนติเมตรตามลำดับ อีกทั้งพบปริมาณ water-soluble material ที่เกิดขึ้น ณ ระดับความดัน 15 กิโลกรัมต่อตารางเซนติเมตรไม่มีความแตกต่างทางสถิติเมื่อเปรียบเทียบกับปริมาณ water-soluble material ที่เกิดขึ้น ณ ระดับความดัน 23 กิโลกรัมต่อตาราง

เซนติเมตร แต่มีปริมาณ water-soluble material ที่มากกว่าเมื่อเปรียบเทียบกับปริมาณ water-soluble material ที่เกิดขึ้น ณ ระดับความดัน 21 กิโลกรัมต่อตารางเซนติเมตร อย่างมีนัยสำคัญทางสถิติที่ระดับความเชื่อมั่นร้อยละ 95 ดังภาพที่ 21ก และตารางผนวกที่ ก4

(2) ปริมาณ methanol-soluble lignin ในสาบเสือที่พับภายหลังกระบวนการ steam explosion และ Wayman's method ที่ระดับความดัน 15, 17, 19, 21 และ 23 กิโลกรัมต่อตารางเซนติเมตร พบปริมาณ methanol-soluble lignin ที่เพิ่มขึ้นเมื่อเพิ่มระดับความดันในกระบวนการ steam explosion ซึ่งพบปริมาณ methanol-soluble lignin โดยเฉลี่ยเท่ากับ  $0.05 \pm 0.003$ ,  $0.08 \pm 0.005$ ,  $0.09 \pm 0.004$ ,  $0.09 \pm 0.002$  และ  $0.11 \pm 0.001$  กรัมต่อตัวอย่างสาบเสือ 1 กรัมในน้ำหนักแห้งตามลำดับ ซึ่งจากผลการทดลองพบปริมาณ methanol-soluble lignin สูงสุด ณ ระดับความดัน 23 กิโลกรัมต่อตารางเซนติเมตร โดยพบปริมาณ methanol-soluble lignin ที่มากกว่าเมื่อเปรียบเทียบกับปริมาณ methanol-soluble lignin ที่เกิดขึ้น ณ ระดับความดัน 19, 21, 17 และ 15 กิโลกรัมต่อตารางเซนติเมตรตามลำดับ และพบปริมาณ methanol-soluble lignin ที่เกิดขึ้น ณ ระดับความดัน 19 กิโลกรัมต่อตารางเซนติเมตร ไม่มีความแตกต่างทางสถิติเมื่อเปรียบเทียบกับปริมาณ methanol-soluble lignin ที่เกิดขึ้น ณ ระดับความดัน 21 กิโลกรัมต่อตารางเซนติเมตร แต่พบปริมาณ methanol-soluble lignin ที่มากกว่าเมื่อเปรียบเทียบกับปริมาณ methanol-soluble lignin ที่เกิดขึ้น ณ ระดับความดัน 17 และ 15 กิโลกรัมต่อตารางเซนติเมตรตามลำดับ อีกทั้ง ณ ระดับความดัน 17 กิโลกรัมต่อตารางเซนติเมตร อีกทั้งพบปริมาณ methanol-soluble lignin ที่มากกว่าเมื่อเปรียบเทียบกับปริมาณ methanol-soluble lignin ที่เกิดขึ้น ณ ระดับความดัน 15 กิโลกรัมต่อตารางเซนติเมตร อย่างมีนัยสำคัญทางสถิติที่ระดับความเชื่อมั่นร้อยละ 95 ดังภาพที่ 21ก และตารางผนวกที่ ก4

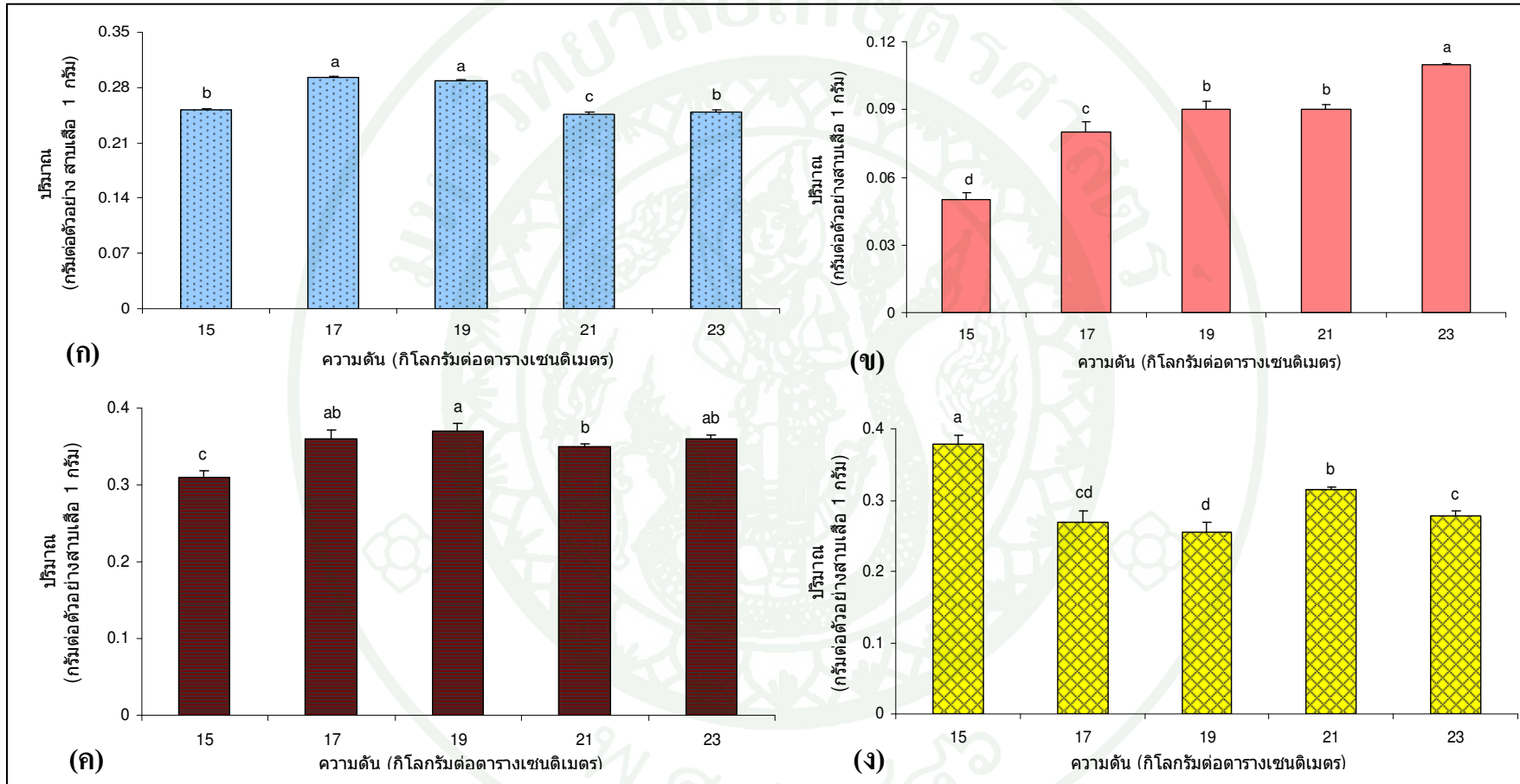
(3) ปริมาณ Klason lignin ในสาบเสือที่พับภายหลังกระบวนการ steam explosion และ Wayman's method ที่ระดับความดัน 15, 17, 19, 21 และ 23 กิโลกรัมต่อตารางเซนติเมตร พบปริมาณ Klason lignin ที่เพิ่มขึ้นเมื่อเพิ่มระดับความดันในกระบวนการ steam explosion ซึ่งพบปริมาณ Klason lignin โดยเฉลี่ยเท่ากับ  $0.31 \pm 0.008$ ,  $0.36 \pm 0.011$ ,  $0.37 \pm 0.01$ ,  $0.35 \pm 0.003$  และ  $0.36 \pm 0.004$  กรัมต่อตัวอย่างสาบเสือ 1 กรัมในน้ำหนักแห้งตามลำดับ ซึ่งจากผลการทดลองพบปริมาณ Klason lignin สูงสุด ณ ระดับความดัน 19 กิโลกรัมต่อตารางเซนติเมตร โดยไม่มีความแตกต่างทางสถิติเมื่อเปรียบเทียบกับปริมาณ Klason lignin ที่เกิดขึ้น ณ ระดับความดัน 17 และ 23 กิโลกรัมต่อตารางเซนติเมตร แต่พบปริมาณ Klason lignin ที่มากกว่าเมื่อเปรียบเทียบกับปริมาณ Klason lignin ที่เกิดขึ้น ณ ระดับความดัน 21 และ 15 กิโลกรัมต่อตารางเซนติเมตรตามลำดับ

อีกทั้ง ณ ระดับความดัน 21 กิโลกรัมต่อตารางเซนติเมตร พบปริมาณ Klason lignin ที่มากกว่าเมื่อเปรียบเทียบกับปริมาณ Klason lignin ที่เกิดขึ้น ณ ระดับความดัน 15 กิโลกรัมต่อตารางเซนติเมตร อย่างมีนัยสำคัญทางสถิติที่ระดับความเชื่อมั่นร้อยละ 95 ดังภาพที่ 21ค และตารางผนวกที่ ก4

(4) ปริมาณ cellulose ในสาบเสือที่พบภายหลังจากการคำนวณจากปริมาณของผลิตภัณฑ์ทั้ง 3 ชนิดข้างต้นที่เกิดขึ้นภายหลังจากการระเบิดน้ำ蒸汽 steam explosion และ Wayman's method ที่ระดับความดัน 15, 17, 19, 21 และ 23 กิโลกรัมต่อตารางเซนติเมตร พบปริมาณ cellulose ที่ลดลงเมื่อเพิ่มระดับความดันในกระบวนการ steam explosion ซึ่งพบปริมาณ cellulose โดยเฉลี่ยเท่ากับ  $0.38 \pm 0.012$ ,  $0.27 \pm 0.016$ ,  $0.25 \pm 0.014$ ,  $0.32 \pm 0.002$  และ  $0.28 \pm 0.006$  กรัมต่อตัวอย่างสาบเสือ 1 กรัมในหน่วยแ雷็งตามลำดับ ซึ่งจากการทดลองพบปริมาณ cellulose สูงสุด ณ ระดับความดัน 15 กิโลกรัมต่อตารางเซนติเมตร แต่พบปริมาณ cellulose ที่มากกว่าเมื่อเปรียบเทียบกับปริมาณ cellulose ที่เกิดขึ้น ณ ระดับความดัน 21, 23, 17 และ 19 กิโลกรัมต่อตารางเซนติเมตรตามลำดับ และพบว่า ณ ระดับความดัน 21 กิโลกรัมต่อตารางเซนติเมตร พบปริมาณ cellulose ที่มากกว่าเมื่อเปรียบเทียบกับปริมาณ cellulose ที่เกิดขึ้น ณ ระดับความดัน 23, 17 และ 19 กิโลกรัมต่อตารางเซนติเมตรตามลำดับ พบปริมาณ cellulose ที่เกิดขึ้น ณ ระดับความดัน 23 กิโลกรัมต่อตารางเซนติเมตรไม่แตกต่างทางสถิติเมื่อเปรียบเทียบกับปริมาณ cellulose ที่เกิดขึ้น ณ ระดับความดัน 17 กิโลกรัมต่อตารางเซนติเมตร แต่เมื่อพบปริมาณ cellulose ที่มากกว่าเมื่อเปรียบเทียบกับปริมาณ cellulose ที่เกิดขึ้น ณ ระดับความดัน 19 กิโลกรัมต่อตารางเซนติเมตร และ ณ ระดับความดัน 17 กิโลกรัมต่อตารางเซนติเมตร พบปริมาณ cellulose ที่ไม่มีความแตกต่างทางสถิติเมื่อเปรียบเทียบกับปริมาณ cellulose ที่เกิดขึ้น ณ ระดับความดัน 19 กิโลกรัมต่อตารางเซนติเมตร อย่างมีนัยสำคัญทางสถิติที่ระดับความเชื่อมั่นร้อยละ 95 ดังภาพที่ 21ง และตารางผนวกที่ ก4

โดยจากปริมาณที่พบแตกต่างกันขององค์ประกอบเคมีของสาบเสือภายในหลังจากกระบวนการ steam explosion และ Wayman's method จึงนำไปสู่หลักการพิจารณาถึงระดับความดันที่เหมาะสมในการเลือกใช้ต่อการศึกษาองค์ประกอบของสาบเสือด้วยวิธี steam explosion และ Wayman's method เพื่อใช้ในการศึกษาต่อไปถึงความเป็นไปได้ในการนำโลหะตะกั่วที่มีอยู่ในพืชจากการคุณใช้และสะสมตะกั่วภายในหลังการบำบัดดินที่ป่นเปื้อนเพื่อนำกลับมาใช้ประโยชน์ใหม่ซึ่งจากการศึกษาของ Kobayashi *et al.* (2005a) ที่ศึกษาศักยภาพของเฟรน (*Athyrium yokoscense*) ในการบำบัดดินที่ป่นเปื้อนตะกั่ว ทองแดง สังกะสี และเหล็ก รวมทั้งการศึกษาปริมาณการสะสมของโลหะหนักทั้ง 4 ชนิด ภายในหลังจากการคุณใช้และสะสมของพืชชนิดดังกล่าว โดยวิธี steam explosion และ Wayman's method พบร่วมกันที่พนภัยหลังการบำบัดจะมีการสะสมอยู่ในองค์ประกอบภายในแต่ละส่วนที่แตกต่างกันได้แก่ (1) ทองแดง (Cu) จะพบการสะสมมากที่สุดใน water-soluble material > Klason lignin > methanol-soluble lignin ตามลำดับ โดยไม่พบการสะสมของทองแดงใน cellulose จากการวิเคราะห์ในส่วนเหนือดิน และพบการสะสมของทองแดงใน Klason lignin > methanol-soluble lignin ตามลำดับโดยไม่พบการสะสมของทองแดงใน water-soluble material และ cellulose จากการวิเคราะห์ในส่วนใต้ดิน (2) เหล็ก (Fe) จะพบการสะสมมากที่สุดใน water-soluble material > cellulose > methanol-soluble lignin > Klason lignin ตามลำดับในส่วนเหนือดิน และพบการสะสมของเหล็กใน Klason lignin > water-soluble material > methanol-soluble lignin ตามลำดับโดยไม่พบการสะสมของเหล็กใน cellulose จากการวิเคราะห์ในส่วนใต้ดิน และ (3) สังกะสี (Zn) จะพบการสะสมมากที่สุดใน water-soluble material > Klason lignin > methanol-soluble lignin ตามลำดับ โดยไม่พบการสะสมของสังกะสีใน cellulose จากการวิเคราะห์ในส่วนเหนือดิน และพบการสะสมของสังกะสีใน Klason lignin > water-soluble material > methanol-soluble lignin ตามลำดับโดยไม่พบการสะสมใน cellulose จากการวิเคราะห์ในส่วนใต้ดิน โดยเฉพาะปริมาณการสะสมของตะกั่ว (Pb) ในองค์ประกอบของพืชชนิดดังกล่าวภายในหลังการบำบัดพบว่ามีการสะสมของตะกั่วมากที่สุดใน water-soluble material > Klason lignin โดยไม่พบการสะสมของตะกั่วใน methanol-soluble lignin และ cellulose จากการวิเคราะห์ในส่วนเหนือดิน และพบการสะสมของตะกั่วใน Klason lignin > methanol-soluble lignin > water-soluble material ตามลำดับโดยไม่พบการสะสมตะกั่วใน cellulose จากการวิเคราะห์ในส่วนใต้ดิน

ดังนั้นในการพิจารณาถึงสภาวะความดันที่เหมาะสมในสาบเสือภายหลังจากการบำบัดดินที่ป่นเปื้อนจะต้องคำนึงถึงการศึกษาปริมาณการละลายของตะกั่วโดยวิธี steam explosion และ Wayman's method จึงต้องทำการพิจารณาโดยใช้สมมติฐานเช่นเดียวกับปริมาณการละลายของตะกั่วเป็นจำนวนมากในส่วน Klason lignin, water-soluble material และ methanol-soluble lignin ตามลำดับ โดยไม่นำปริมาณของ cellulose ที่เกิดขึ้นภายหลังจากการสกัดเข้ามาร่วมในการพิจารณา ร่วมกับการพิจารณาตามสมมติฐานของ Kobayashi *et al.* (2005b) ที่พบว่าปริมาณของโลหะหนักจะมีการแปรผันตามสัดส่วนขององค์ประกอบทางเคมีของพืชแต่ละชนิดภายหลังจากการสกัด ดังนั้นจากการพิจารณาโดยการเปรียบเทียบสัดส่วนของปริมาณองค์ประกอบทางเคมีของสาบเสือที่เกิดขึ้นภายหลังจากการทดลองที่สภาวะความดันในระดับต่างๆ แล้วทำการเปรียบเทียบโดยใช้ค่าความแตกต่างทางสถิติโดยวิธี DMRT จึงสรุปได้ว่า ณ ระดับความดันที่ 19 กิโลกรัมต่อตารางเซนติเมตร เป็นสภาวะที่เหมาะสมในการศึกษาปริมาณตะกั่วจากองค์ประกอบทางเคมีของสาบเสือด้วยวิธี steam explosion และ Wayman's method



ภาพที่ 21 อิทธิพลของระดับความดันต่อปริมาณองค์ประกอบทางเคมีของสาบเสือ ด้วยวิธี steam explosion และ Wayman's method;

(ก) = water-soluble material (บ) = methanol-soluble lignin (ค) = Klason lignin (ง) = cellulose

### 3.1.2 การศึกษาระยะเวลาที่เหมาะสมในการศึกษาองค์ประกอบทางเคมีของสาบเสือด้วยวิธี steam explosion และ Wayman's method

จากอิทธิพลของระยะเวลาต่อปริมาณองค์ประกอบทางเคมีภายในสาบเสือ (*Chromolaena odorata*) ในการศึกษาสภาวะที่เหมาะสมของการศึกษาองค์ประกอบทางเคมีโดยวิธี steam explosion และ Wayman's method จากการนำตัวอย่างต้นสาบเสือที่ได้จากพื้นที่ไม่ปนเปื้อน เช่นเดียวกันในตัวรับควบคุมของการทดลองที่ 2.2 โดยทำการ steam explosion ในระยะเวลาแตกต่าง กันที่ 1, 3, 5, 7 และ 9 นาที โดยควบคุมระดับความดันที่ 19 กิโลกรัมต่อตารางเซนติเมตรในทุกๆ สภาวะที่ใช้ในการทดลอง ซึ่งเป็นระดับความดันที่เหมาะสมที่ได้จากการทดลองที่ 3.1.1 โดยจากการทดลองพบว่าสัดส่วนปริมาณขององค์ประกอบทางเคมีของต้นสาบเสือที่พบแต่ละชนิดมีความแตกต่างกัน ณ ที่ระยะเวลาต่างๆ ดังนี้

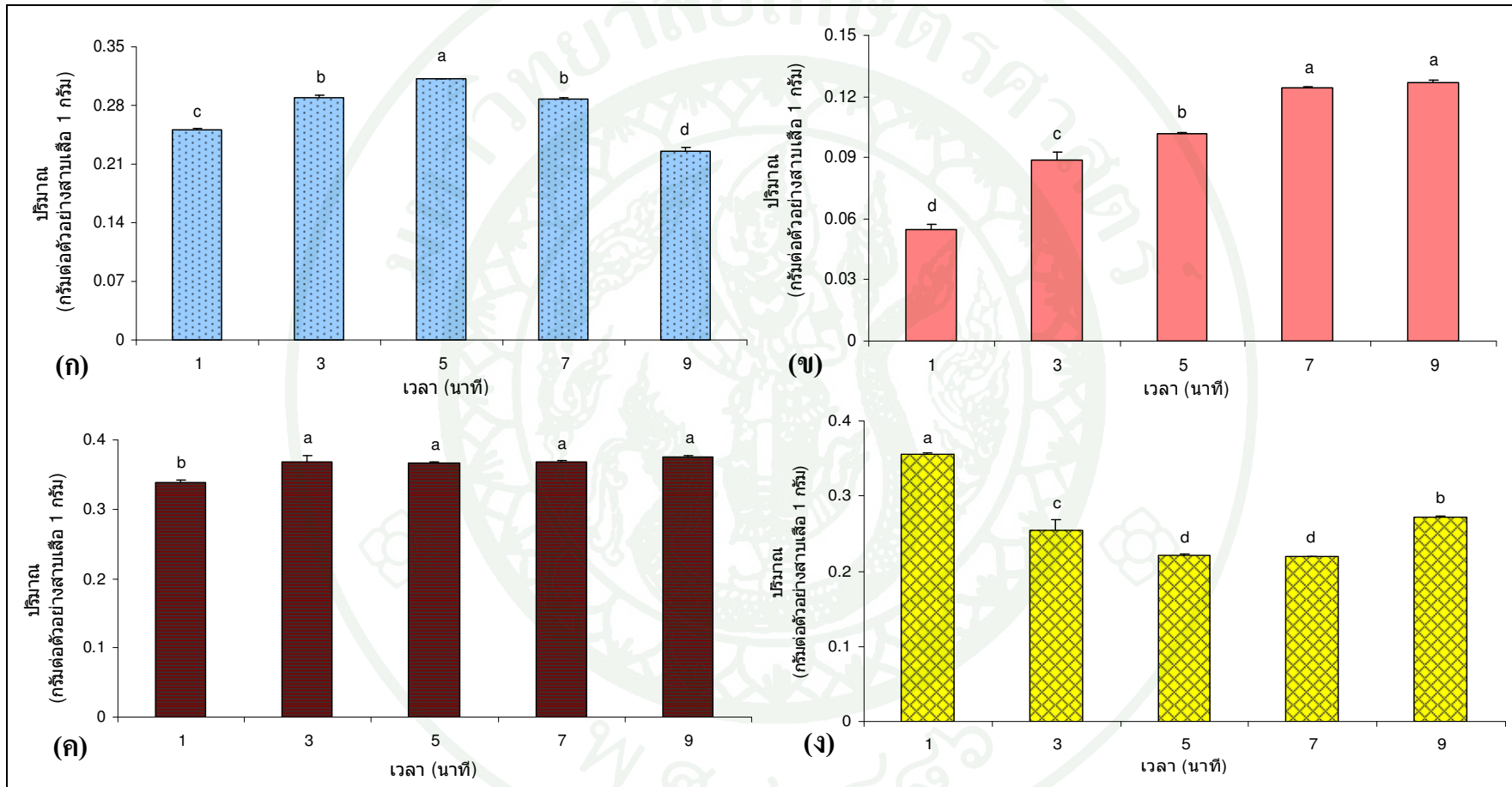
(1) ปริมาณ water-soluble material ในสาบเสือที่พบภายหลังกระบวนการ steam explosion และ Wayman's method โดยระยะเวลาที่ 1, 3, 5, 7 และ 9 นาที พบปริมาณ water-soluble material ที่เพิ่มขึ้นเมื่อเพิ่มระยะเวลาในการกระบวนการ steam explosion โดยพบปริมาณ water-soluble material โดยเฉลี่ยเท่ากับ  $0.25 \pm 0.002$ ,  $0.29 \pm 0.004$ ,  $0.31 \pm 0.001$ ,  $0.29 \pm 0.002$  และ  $0.23 \pm 0.004$  กรัมต่อตัวอย่างสาบเสือ 1 กรัมในน้ำหนักแห้งตามลำดับ ซึ่งจากผลการทดลองพบปริมาณ water-soluble material สูงสุด ณ เวลา 5 นาที โดยพบปริมาณ water-soluble material ที่มากกว่าเมื่อเปรียบเทียบกับปริมาณ water-soluble material ที่เกิดขึ้น ณ เวลา 3, 7, 1 และ 9 นาทีตามลำดับ โดยพบปริมาณ water-soluble material ที่เกิดขึ้น ณ เวลา 3 นาที ไม่มีความแตกต่างทางสถิติเมื่อเปรียบเทียบกับปริมาณ water-soluble material ที่เกิดขึ้น ณ เวลา 7 นาที แต่มีปริมาณ water-soluble material ที่มากกว่าเมื่อเปรียบเทียบกับปริมาณ water-soluble material ที่เกิดขึ้น ณ เวลา 1 และ 9 นาที ตามลำดับ อีกทั้ง ณ เวลา 1 นาที พบปริมาณ water-soluble material ที่มากกว่าเมื่อเปรียบเทียบกับปริมาณ water-soluble material ที่เกิดขึ้น ณ เวลา 9 นาที อย่างมีนัยสำคัญทางสถิติที่ระดับความเชื่อมั่นร้อยละ 95 ดังภาพที่ 22<sup>ก</sup> และตารางผนวกที่ ก

(2) ปริมาณ methanol-soluble lignin ในสาบเสือที่พนภายหลังกระบวนการ steam explosion และ Wayman's method โดยระยะเวลาที่ 1, 3, 5, 7 และ 9 นาที พนปริมาณ methanol-soluble lignin ที่เพิ่มขึ้นเมื่อเพิ่มระยะเวลาในกระบวนการ steam explosion โดยพนปริมาณ methanol-soluble lignin โดยเฉลี่ยเท่ากับ  $0.05\pm0.002$ ,  $0.09\pm0.004$ ,  $0.10\pm0$ ,  $0.12\pm0.001$  และ  $0.13\pm0.001$  กรัมต่อตัวอย่างสาบเสือ 1 กรัมในน้ำหนักแห้งตามลำดับ ซึ่งจากผลการทดลองพนปริมาณ methanol-soluble lignin สูงสุด ณ เวลา 9 นาที โดยไม่มีความแตกต่างทางสถิติเมื่อเปรียบเทียบกับปริมาณ methanol-soluble lignin ที่เกิดขึ้น ณ เวลา 7 นาที แต่พนปริมาณ methanol-soluble lignin ที่มากกว่าเมื่อเปรียบเทียบกับปริมาณ methanol-soluble lignin ที่เกิดขึ้น ณ เวลา 5, 3 และ 1 นาที ตามลำดับ และ ณ เวลา 5 นาทีพนปริมาณ methanol-soluble lignin ที่มากกว่าเมื่อเปรียบเทียบกับปริมาณ methanol-soluble lignin ที่เกิดขึ้น ณ เวลา 3 และ 1 นาที ตามลำดับ อีกทั้ง ณ เวลา 3 นาทีพนปริมาณ methanol-soluble lignin ที่มากกว่าเมื่อเปรียบเทียบกับปริมาณ methanol-soluble lignin ที่เกิดขึ้น ณ เวลา 1 นาที อย่างมีนัยสำคัญทางสถิติที่ระดับความเชื่อมั่นร้อยละ 95 ดังภาพที่ 22x และตารางผนวกที่ ก5

(3) ปริมาณ Klason lignin ในสาบเสือที่พนภายหลังกระบวนการ steam explosion และ Wayman's method โดยระยะเวลาที่ 1, 3, 5, 7 และ 9 นาที พนปริมาณ Klason lignin ที่เพิ่มขึ้นเมื่อเพิ่มระยะเวลาในกระบวนการ steam explosion โดยพนปริมาณ Klason lignin โดยเฉลี่ยเท่ากับ  $0.34\pm0.004$ ,  $0.37\pm0.01$ ,  $0.37\pm0.003$ ,  $0.37\pm0.001$  และ  $0.38\pm0.001$  กรัมต่อตัวอย่างสาบเสือ 1 กรัมในน้ำหนักแห้งตามลำดับ ซึ่งจากผลการทดลองพนปริมาณ Klason lignin สูงสุด ณ เวลา 9 นาที โดยไม่มีความแตกต่างทางสถิติเมื่อเปรียบเทียบกับปริมาณ Klason lignin ที่เกิดขึ้น ณ เวลา 3, 5 และ 7 นาทีตามลำดับ แต่พนปริมาณ Klason lignin ที่มากกว่าเมื่อเปรียบเทียบกับปริมาณ Klason lignin ที่เกิดขึ้น ณ เวลา 1 นาที อย่างมีนัยสำคัญทางสถิติที่ระดับความเชื่อมั่นร้อยละ 95 ดังภาพ 22c และตารางผนวกที่ ก5

(4) ปริมาณ cellulose ในสาบเสือที่พบภายหลังจากการคำนวณจากปริมาณของผลิตภัณฑ์ทั้ง 3 ชนิดข้างต้นที่เกิดขึ้นภายหลังจากการระเบิดน้ำเดือด steam explosion และ Wayman's method โดยระยะเวลาที่ 1, 3, 5, 7 และ 9 นาที จะพบปริมาณ cellulose ที่ลดลงเมื่อเพิ่มระยะเวลาในกระบวนการ steam explosion โดยพบปริมาณของ cellulose โดยเฉลี่ยเท่ากับ  $0.36 \pm 0.001$ ,  $0.25 \pm 0.014$ ,  $0.22 \pm 0.002$ ,  $0.22 \pm 0.001$  และ  $0.27 \pm 0.001$  กรัมต่อตัวอย่างสาบเสือ 1 กรัมในน้ำหนักแห้งตามลำดับ ซึ่งจากการทดลองพบปริมาณ cellulose สูงสุด ณ เวลา 1 นาที โดยพบปริมาณ cellulose ที่มากกว่าเมื่อเปรียบเทียบกับปริมาณ cellulose ที่เกิดขึ้น ณ เวลา 9, 3, 5 และ 7 นาทีตามลำดับ โดย ณ เวลา 9 นาทีพบปริมาณ cellulose ที่มากกว่าเมื่อเปรียบเทียบกับปริมาณ cellulose ที่เกิดขึ้น ณ เวลา 3, 5 และ 7 นาทีตามลำดับ และเมื่อทำการทดลองที่เวลา 3 นาทีพบปริมาณ cellulose ที่มากกว่า เมื่อเปรียบเทียบกับปริมาณ cellulose ที่เกิดขึ้น ณ เวลา 5 และ 7 นาทีตามลำดับ อีกทั้งพบปริมาณ cellulose ณ เวลา 5 นาทีไม่แตกต่างทางสถิติเมื่อเปรียบเทียบกับปริมาณ cellulose ที่เกิดขึ้น ณ เวลา 7 นาที อย่างมีนัยสำคัญทางสถิติที่ระดับความเชื่อมั่นร้อยละ 95 ดังภาพ 22 และตารางผนวกที่ ก 5

ในการพิจารณาระยะเวลาที่เหมาะสมในการศึกษาองค์ประกอบทางเคมีของสาบเสือภายหลังจากการนำบัดดินที่ป่นเนื้อนตะกั่วด้วยวิธี steam explosion และ Wayman's method โดยทำการพิจารณาตามสมมติฐานของ Kobayashi *et al.* (2005a) ที่มีการพิจารณาที่พบปริมาณการสะสมของตะกั่วเป็นจำนวนมากในส่วน Klason lignin, water-soluble material และ methanol-soluble lignin ตามลำดับเป็นหลัก ร่วมกับการพิจารณาตามสมมติฐานของ Kobayashi *et al.* (2005b) ที่ได้กล่าวถึงปริมาณของโลหะหนักที่พบ จะมีปริมาณที่แปรผันตามสัดส่วนขององค์ประกอบทางเคมีของพืชแต่ละชนิดภายหลังจากการสกัดเช่นเดียวกับการทดลองที่ 3.1.1 เพื่อจะนี้การพิจารณาโดยการเปรียบเทียบสัดส่วนของปริมาณองค์ประกอบทางเคมีของสาบเสือที่เกิดขึ้นภายหลังจากการทดลองที่สภาวะความดันในระดับต่างๆ แล้วทำการเปรียบเทียบโดยใช้ค่าความแตกต่างทางสถิติโดยวิธี DMRT จึงสรุปได้ว่า ณ เวลา 5 นาที จึงเป็นเวลาที่เหมาะสมในการศึกษาปริมาณตะกั่วจากองค์ประกอบเคมีของสาบเสือด้วยวิธี steam explosion และ Wayman's method



ภาพที่ 22 อิทธิพลของระยะเวลาต่อปริมาณองค์ประกอบทางเคมีของสาบเสื่อ ด้วยวิธี steam explosion และ Wayman's method;

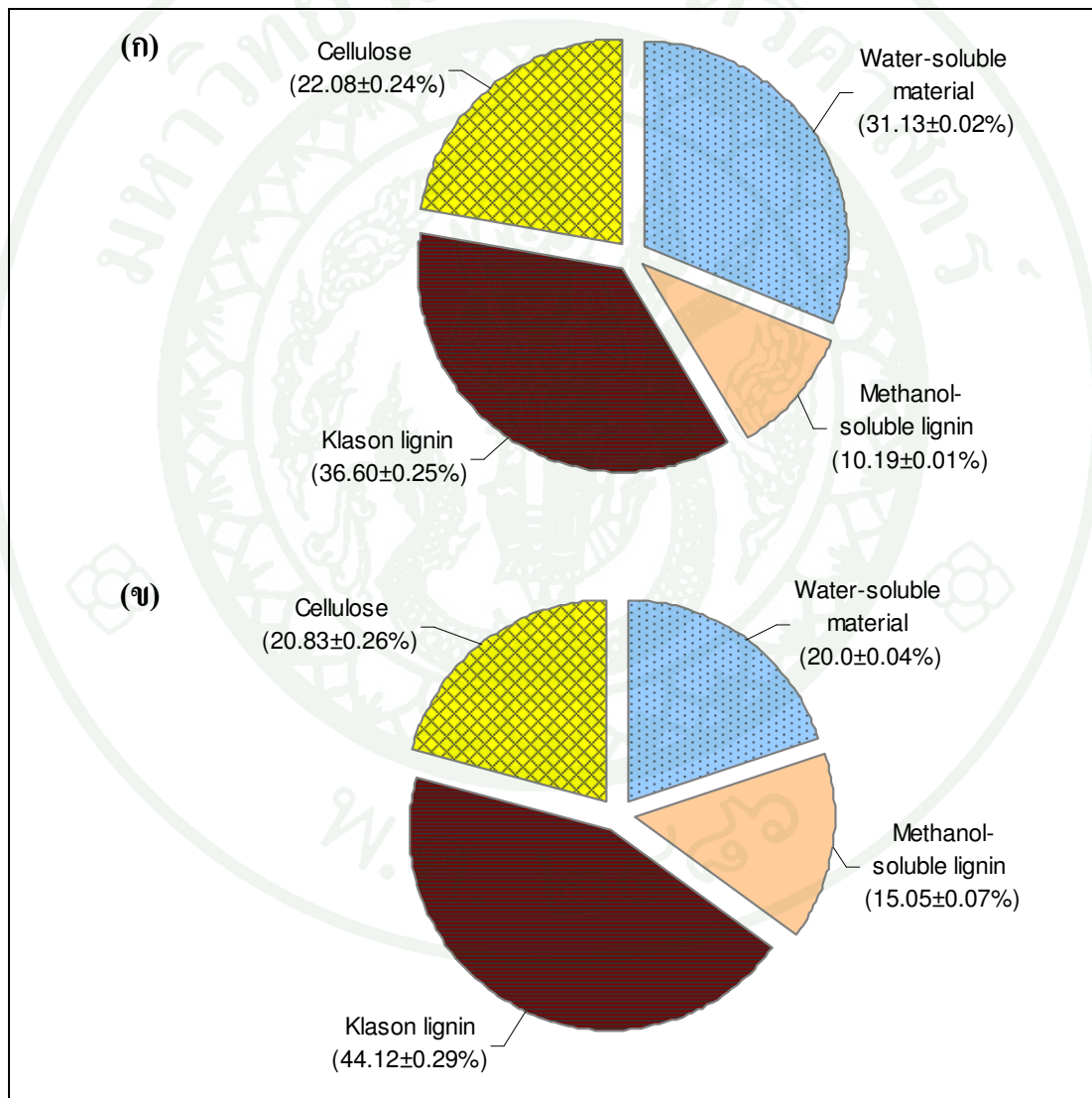
(ก) = water-soluble material (沪) = methanol-soluble lignin (ค) = Klason lignin (จ) = cellulose

### 3.1.3 องค์ประกอบทางเคมีของสาบเสือภายในหลังกระบวนการ steam explosion และ Wayman's method

จากการศึกษาสัดส่วนของปริมาณองค์ประกอบทางเคมีของสาบเสือภายในหลังกระบวนการ steam explosion และ Wayman's method โดยใช้สภาวะที่ระดับความดัน 19 กิโลกรัม ต่อตารางเซนติเมตร เป็นเวลา 5 นาที ซึ่งเป็นสภาวะที่เหมาะสมที่ได้จากการทดลองที่ 3.1.1 และ 3.1.2 โดยทำการทดลองทั้งในส่วนเนื้อดินและส่วนใต้ดิน พบลักษณะทางเคมีภาพและสัดส่วนของปริมาณ water-soluble materials, methanol-soluble lignin, Klason lignin และ cellulose ที่แตกต่างกัน พบว่าโดยเฉลี่ยร้อยละ  $31.13 \pm 0.02$ ,  $10.19 \pm 0.01$ ,  $36.60 \pm 0.25$  และ  $22.08 \pm 0.24$  ตามลำดับ ในส่วนเนื้อดิน และร้อยละ  $20.0 \pm 0.04$ ,  $15.05 \pm 0.07$ ,  $44.12 \pm 0.29$  และ  $20.83 \pm 0.26$  ตามลำดับในส่วนใต้ดิน ดังภาพที่ 23 และ 24

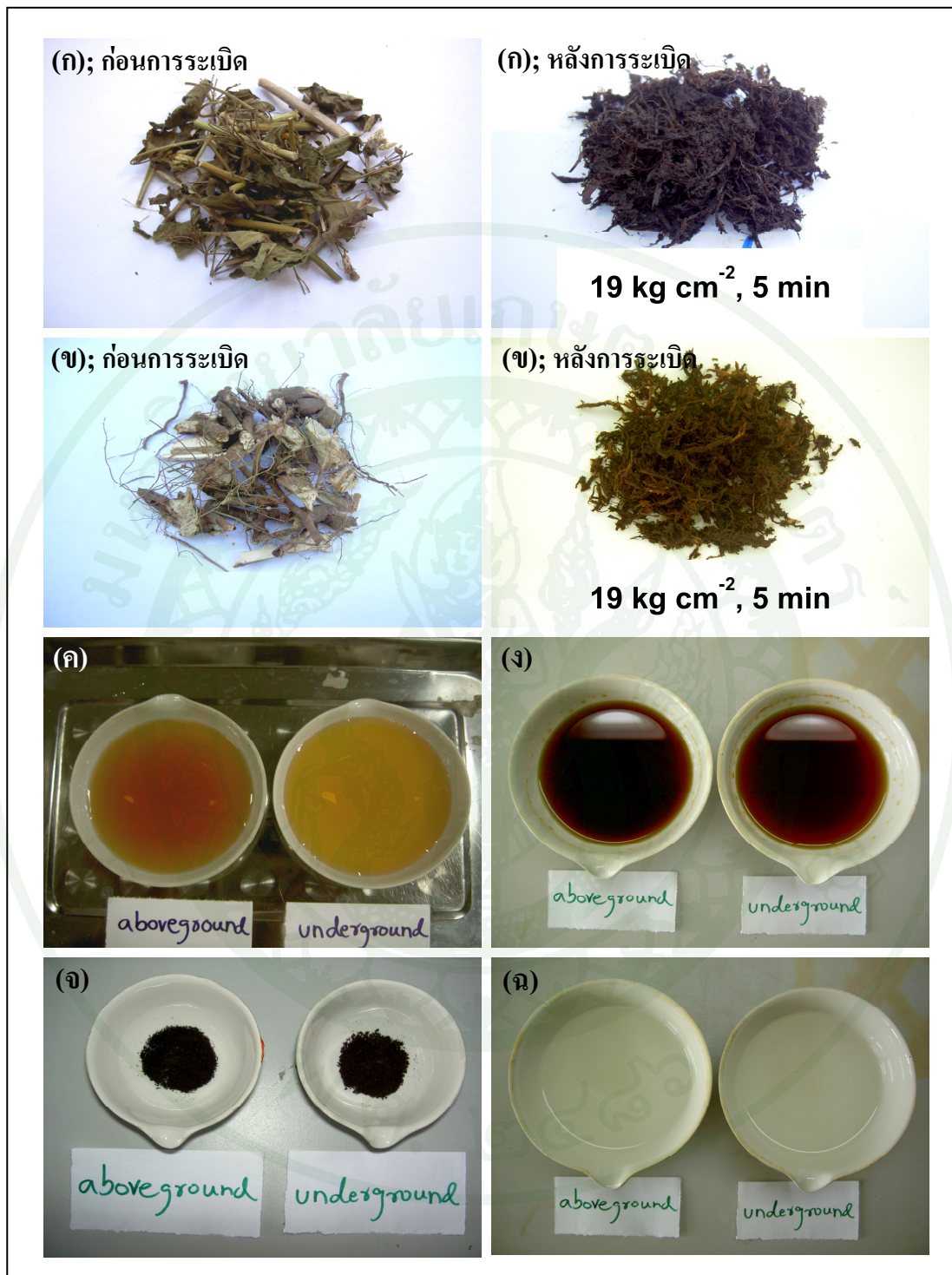
จากการทดลองที่พบสัดส่วนของปริมาณองค์ประกอบทางเคมีภายในสาบเสือที่แตกต่างกันนี้พบว่าในส่วน Klason lignin และ water-soluble material เป็นองค์ประกอบทางเคมีที่เป็นองค์ประกอบหลักในส่วนเนื้อดิน และในส่วน Klason lignin เป็นองค์ประกอบทางเคมีที่เป็นองค์ประกอบหลักในส่วนใต้ดิน ซึ่งสอดคล้องในการพิจารณาถึงการเลือกใช้สภาวะที่เหมาะสมที่พิจารณาในส่วนของ Klason lignin, water-soluble material และ methanol-soluble lignin ตามลำดับเป็นหลัก โดยไม่ใช้สัดส่วนของปริมาณ cellulose ที่เกิดขึ้นภายหลังการระเบิดและการสกัดด้วยวิธี steam explosion และ Wayman's method เข้าร่วมในการพิจารณาในส่วนของการทดลองที่ 3.1.1 และ 3.1.2 ซึ่งเมื่อทำการเปรียบเทียบสัดส่วนของปริมาณองค์ประกอบทางเคมีภายในสาบเสือกับสัดส่วนปริมาณองค์ประกอบทางเคมีภายในพืชชนิดอื่นๆ ได้แก่ White Birch (*Betula platyphylla*) ไผ่ญี่ปุ่น (*Phyllostachys heteroclada*) และเฟิร์นญี่ปุ่น (*Athyrium yokoscense*) เมื่อนำตัวอย่างพืชในแต่ละชนิดผ่านกระบวนการ steam explosion และ Wayman's method จากตัวอย่าง ในส่วนลำดับของ White Birch และไผ่ญี่ปุ่น รวมทั้งในส่วนเนื้อดินของเฟิร์นญี่ปุ่นเมื่อเทียบกับสัดส่วนของปริมาณองค์ประกอบทางเคมีภายในสาบเสือในส่วนเนื้อดิน พบสัดส่วนของปริมาณองค์ประกอบทางเคมีภายในพืชแต่ละชนิดที่แตกต่างกัน ซึ่งพบปริมาณ water-soluble material ที่ร้อยละ 28, 14 และ 42 โดยประมาณใน White Birch, ไผ่ญี่ปุ่น และเฟิร์นญี่ปุ่น ตามลำดับ พบปริมาณ methanol-soluble lignin ที่ร้อยละ 8, 5 และ 13 โดยประมาณตามลำดับ และพบปริมาณ cellulose ที่ร้อยละ 49, 53 และ 24 โดยประมาณตามลำดับ ซึ่งจากการเปรียบเทียบสัดส่วนปริมาณองค์ประกอบทางเคมีของ

สาบเสือกับสัดส่วนของปริมาณองค์ประกอบทางเคมีของพืชทั้ง 3 ชนิด ดังที่กล่าวมาแล้วในข้างต้นพบความคล้ายคลึงกันของสัดส่วนของปริมาณองค์ประกอบทางเคมีโดยส่วนใหญ่ภายหลังจากกระบวนการ steam explosion และ Wayman's method ของสาบเสือและเฟรนซ์ปูนจึงสามารถสันนิษฐานได้ว่าความคล้ายคลึงกันทางสรีรวิทยาเบื้องต้นระหว่างสาบเสือ (*Chromolaena odorata*) และเฟรนซ์ปูน (*Athyrium yokoscense*) (Tanahashi *et al.*, 1988; Kobayashi *et al.*, 2004; Kobayashi *et al.*, 2005b) ดังตารางที่ 8



ภาพที่ 23 สัดส่วนของปริมาณองค์ประกอบทางเคมีในส่วนเหนือดิน (ก) และส่วนใต้ดิน (ข)

ของสาบเสือ ภายหลังจากการ steam explosion และ Wayman's method  
ณ สภาพที่ระดับความดัน 19 กิโลกรัมต่อตารางเซนติเมตร เป็นเวลา 5 นาที



ภาพที่ 24 ลักษณะทางกายภาพของสารเดือในส่วนเหนือดิน (ก) และส่วนใต้ดิน (ข) ก่อนและหลัง steam explosion ลักษณะ water-soluble material (จ) methanol-soluble lignin (ก) Klason lignin (จ) และ cellulose (ฉ) ที่ได้จากการสกัดด้วยวิธี Wayman's method

ตารางที่ 8 สัดส่วนของปริมาณองค์ประกอบทางเคมีในพืชชนิดต่างๆ ภายหลังจากการ steam explosion และ Wayman's method

ชนิดของพืช	ตำแหน่ง	สภาพที่ใช้	สัดส่วนขององค์ประกอบทางเคมี ของพืช (% โดยประมาณ)					เอกสาร อ้างอิง
			WS	ML	KL	C		
White Birch ( <i>Betula platyphylla</i> )	ลำต้น	20 kg cm <sup>-2</sup> , 1 min	28	8	15	49	Tanahashi <i>et al.</i> (1988)	
ไผ่ญี่ปุ่น ( <i>Phyllostachys heteroclada</i> )	ลำต้น	36 kg cm <sup>-2</sup> , 1 min	16	5	26	53	Kobayashi <i>et al.</i> (2004)	
เฟรนญี่ปุ่น ( <i>Athyrium yokoscense</i> )	ส่วน เหง้าอุดิน	26 kg cm <sup>-2</sup> ,	42	13	37	24	Kobayashi <i>et al.</i> (2005b)	
สาบเสือ ( <i>Chromolaena odorata</i> )	ส่วน เหง้าอุดิน	19 kg cm <sup>-2</sup> , 3 min	19	13	37	31	จากการ ทดลอง	
	ส่วน เหง้าอุดิน	19 kg cm <sup>-2</sup> , 5 min	31	10	36	22		
	ส่วน เหง้าอุดิน	19 kg cm <sup>-2</sup> , 5 min	20	15	44	20		

หมายเหตุ WS = water-soluble material

ML = methanol-soluble lignin

KL = Klason lignin

C = cellulose

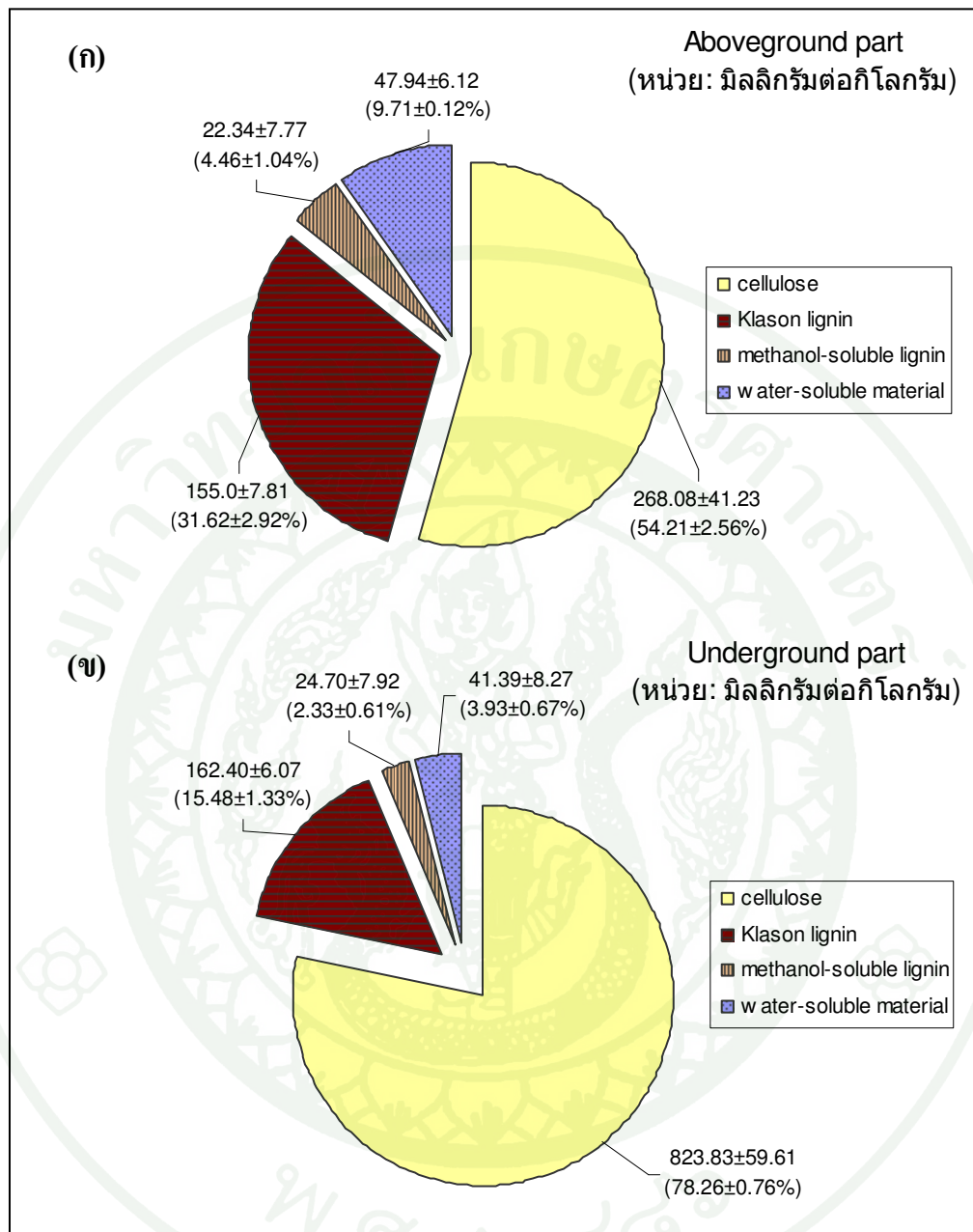
### 3.2 การศึกษาปริมาณตะกั่วจากองค์ประกอบทางเคมีของสาบเสือด้วยวิธี steam explosion และ Wayman's method

#### 3.2.1 ปริมาณการสะสมตะกั่วในองค์ประกอบทางเคมีของสาบเสือภายหลังจากการนำบัดดินที่ป่นเป็นฝุ่นที่ระยะเวลาการเก็บเกี่ยวสาบเสือที่ 15, 30, 45, 60, 75 และ 90 วัน

จากการศึกษาลิงปริมาณการสะสมตะกั่วจากองค์ประกอบทางเคมีของสาบเสือที่พับภายในห้องปฏิบัติการนำบัดดินที่ป่นเป็นฝุ่นด้วยวิธี steam explosion และ Wayman's method ณ สภาพที่ระดับความดัน 19 กิโลกรัมต่อตารางเซนติเมตร เป็นเวลา 5 นาที ที่ระยะเวลาในการเก็บเกี่ยวสาบเสือ 15, 30, 45, 60, 75 และ 90 วัน พบริมาณการสะสมตะกั่ว ในรูปปริมาณความเข้มข้นของ total Pb โดยเฉลี่ย จากองค์ประกอบทางเคมีของสาบเสือในปริมาณที่แตกต่างกันดังนี้

(1) ที่ระยะเวลาการเก็บเกี่ยวสาบเสือ 15 วันในส่วนเหนือดิน พบริมาณการสะสมตะกั่วจากองค์ประกอบทางเคมีของสาบเสือในส่วน water-soluble material, methanol-soluble lignin, Klason lignin และ cellulose โดยเฉลี่ยเท่ากับ  $47.94 \pm 6.12$ ,  $22.34 \pm 7.77$ ,  $155.0 \pm 7.81$  และ  $268.08 \pm 41.23$  มิลลิกรัมต่อกิโลกรัมตามลำดับ โดยคิดเป็นสัดส่วนปริมาณการสะสมร้อยละ  $9.71 \pm 0.12$ ,  $4.46 \pm 1.04$ ,  $31.62 \pm 2.92$  และ  $54.21 \pm 2.56$  ตามลำดับ ซึ่งเมื่อทำการวิเคราะห์ค่าความแตกต่างทางสถิติถึงปริมาณการสะสมตะกั่วในองค์ประกอบทางเคมีของสาบเสือที่พับภายในห้องปฏิบัติการนำบัดดินที่ป่นเป็นฝุ่น พบริมาณการสะสมของตะกั่วในส่วน cellulose สูงสุด และมีปริมาณการสะสมที่มากกว่าเมื่อเปรียบเทียบกับในส่วน Klason lignin, water-soluble material และ methanol-soluble lignin ตามลำดับ และพบว่าในส่วนของ Klason lignin พบริมาณการสะสมตะกั่วที่มากกว่าเมื่อเปรียบเทียบกับในส่วน water-soluble material และ methanol-soluble lignin ตามลำดับ อีกทั้งพบว่าในส่วนของ water-soluble material พบริมาณการสะสมตะกั่วที่ไม่แตกต่างกันในส่วน methanol-soluble lignin อย่างมีนัยสำคัญทางสถิติที่ระดับความเชื่อมั่นร้อยละ 95 ดังภาพที่ 25 และตารางผนวกที่ ก6

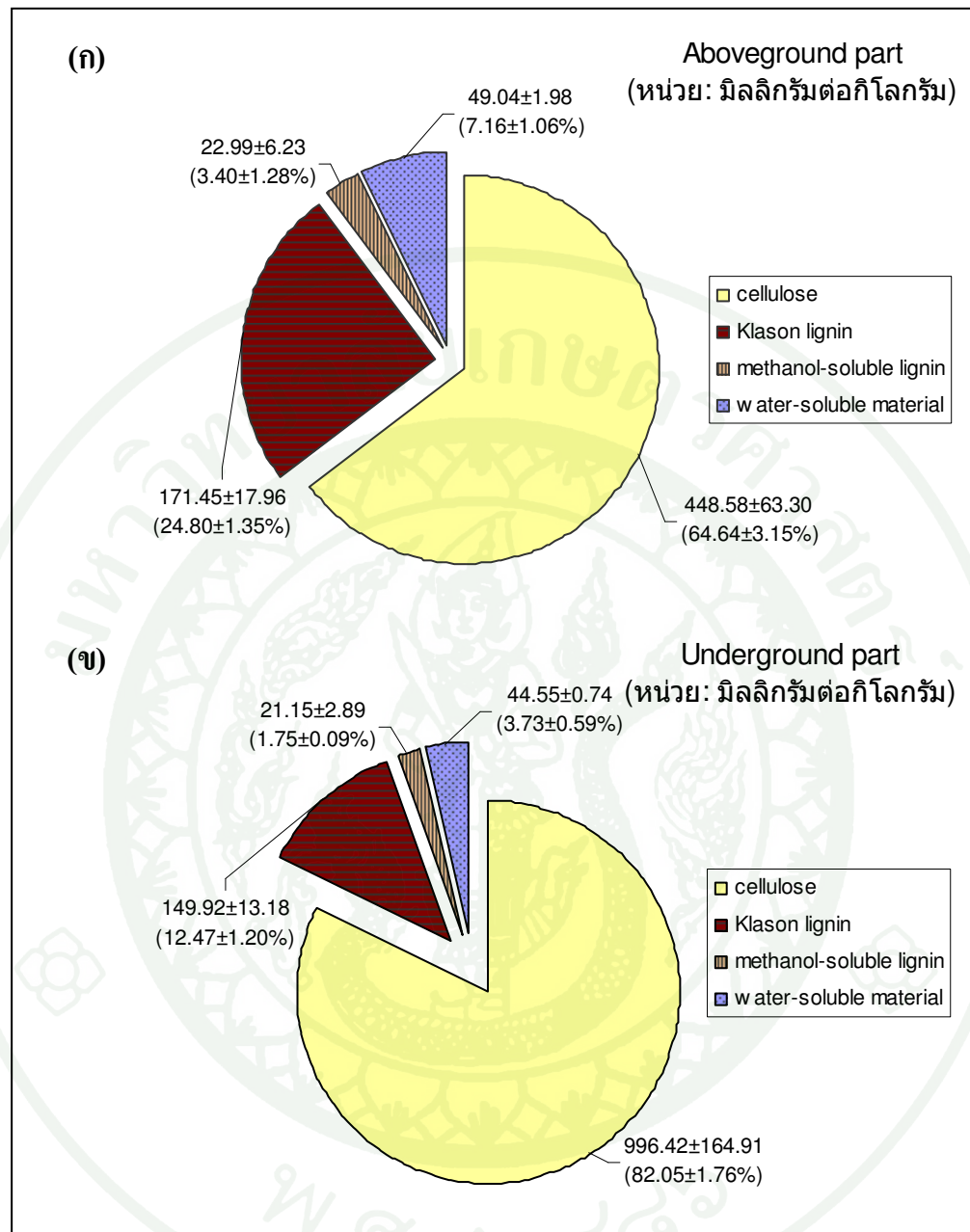
และที่ระยะเวลาการเก็บเกี่ยวสาบเสื่อ 15 วันในส่วนトイดิน พบปริมาณการสะสมก้าวจากองค์ประกอบทางเคมีของสาบเสื่อในส่วน water-soluble material, methanol-soluble lignin, Klason lignin และ cellulose โดยเฉลี่ยเท่ากับ  $41.39\pm8.27$ ,  $24.70\pm7.92$ ,  $162.40\pm6.07$  และ  $823.83\pm59.61$  มิลลิกรัมต่อ กิโลกรัมตามลำดับ โดยคิดเป็นสัดส่วนปริมาณการสะสมร้อยละ  $3.93\pm0.67$ ,  $2.33\pm0.61$ ,  $15.48\pm1.33$  และ  $78.26\pm0.76$  ตามลำดับ ซึ่งเมื่อทำการวิเคราะห์ค่าความแตกต่างทางสถิติถึงปริมาณการสะสมก้าวจากองค์ประกอบทางเคมีของสาบเสื่อที่พบภายหลังจากการนำบัดดินที่ปันเปื้อน พบปริมาณการสะสมของตะก้าในส่วน cellulose สูงสุดและมีปริมาณการสะสมที่มากกว่าเมื่อเปรียบเทียบกับในส่วน Klason lignin, water-soluble material และ methanol-soluble lignin ตามลำดับ และพบว่าในส่วนของ Klason lignin พบปริมาณการสะสมก้าวที่มากกว่าเมื่อเปรียบเทียบกับในส่วน water-soluble material และ methanol-soluble lignin ตามลำดับ อีกทั้งพบว่าในส่วนของ water-soluble material พบปริมาณการสะสมก้าวที่ไม่แตกต่างกับในส่วน methanol-soluble lignin อย่างมีนัยสำคัญทางสถิติที่ระดับความเชื่อมั่นร้อยละ 95 ดังภาพที่ 25x และตารางผนวกที่ ก6



ภาพที่ 25 ปริมาณการสะสมต่ำกว่าที่พนจากองค์ประกอบทางเคมีของสาบเสือภายในหลังจาก การนำบัดดินที่ป่นเป็นผงละเอียด ด้วยวิธี steam explosion และ Wayman's method ณ สภาพที่ระดับความดัน 19 กิโลกรัมต่อตารางเซนติเมตร เป็นเวลา 5 นาที ในส่วนเหนือดิน (ก) และส่วนใต้ดิน (ข) ที่ระยะเวลาการเก็บเกี่ยวสาบเสือ 15 วัน

(2) ที่ระยะเวลาการเก็บเกี่ยวสาบเสือ 30 วันในส่วนเหนือดิน พบปริมาณการสะสระน้ำจากองค์ประกอบทางเคมีของสาบเสือในส่วน water-soluble material, methanol-soluble lignin, Klason lignin และ cellulose โดยเฉลี่ยเท่ากับ  $49.04\pm1.98$ ,  $22.99\pm6.23$ ,  $171.45\pm17.96$  และ  $448.58\pm63.30$  มิลลิกรัมต่อกรัมตามลำดับ โดยคิดเป็นสัดส่วนปริมาณการสะสระน้ำอย่าง  $7.16\pm1.06$ ,  $3.40\pm1.28$ ,  $24.80\pm1.35$  และ  $64.64\pm3.15$  ตามลำดับ ซึ่งเมื่อทำการวิเคราะห์ค่าความแตกต่างทางสถิติถึงปริมาณการสะสระน้ำจากองค์ประกอบทางเคมีของสาบเสือที่พบภายหลังจากการนำบดดินที่ป่นเปื้อน พบปริมาณการสะสระน้ำของตะกั่วในส่วน cellulose สูงสุดและมีปริมาณการสะสระน้ำมากกว่าเมื่อเปรียบเทียบกับในส่วน Klason lignin, water-soluble material และ methanol-soluble lignin ตามลำดับ และพบว่าในส่วนของ Klason lignin พบปริมาณการสะสระน้ำตะกั่วที่มากกว่าเมื่อเปรียบเทียบกับในส่วน water-soluble material และ methanol-soluble lignin ตามลำดับ อีกทั้งพบว่าในส่วนของ water-soluble material พบปริมาณการสะสระน้ำตะกั่วที่ไม่แตกต่างกับในส่วน methanol-soluble lignin อย่างมีนัยสำคัญทางสถิติที่ระดับความเชื่อมั่นร้อยละ 95 ดังภาพที่ 26ก และตารางผนวกที่ ก7

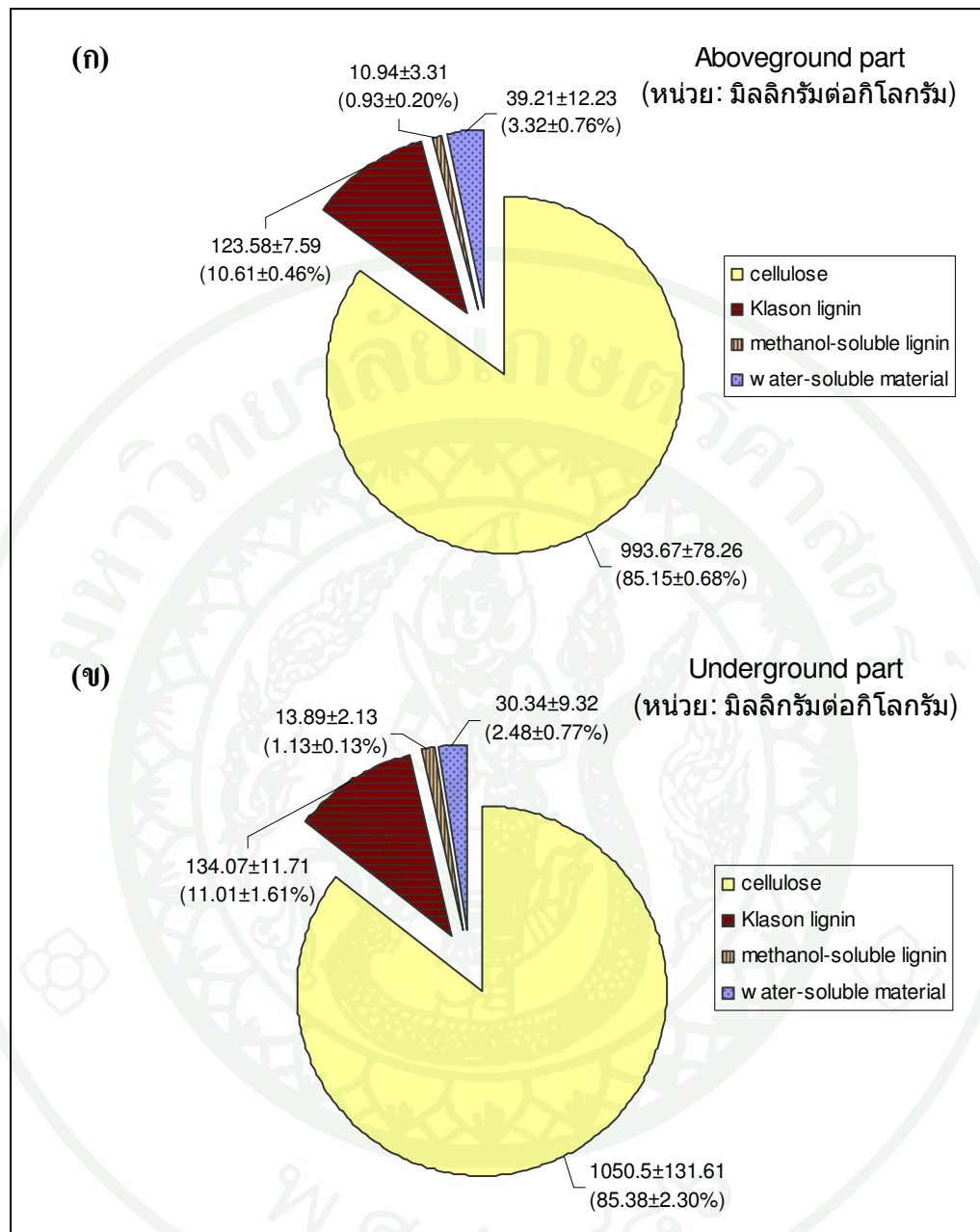
และที่ระยะเวลาการเก็บเกี่ยวสาบเสือ 30 วันในส่วนใต้ดิน พบปริมาณการสะสระน้ำจากองค์ประกอบทางเคมีของสาบเสือในส่วน water-soluble material, methanol-soluble lignin, Klason lignin และ cellulose โดยเฉลี่ยเท่ากับ  $44.55\pm0.74$ ,  $21.15\pm2.89$ ,  $149.92\pm13.18$  และ  $996.42\pm164.91$  มิลลิกรัมต่อกรัมตามลำดับ โดยคิดเป็นสัดส่วนปริมาณการสะสระน้ำอย่าง  $3.73\pm0.59$ ,  $1.75\pm0.09$ ,  $12.47\pm1.20$  และ  $82.05\pm1.76$  ตามลำดับ ซึ่งเมื่อทำการวิเคราะห์ค่าความแตกต่างทางสถิติถึงปริมาณการสะสระน้ำจากองค์ประกอบทางเคมีของสาบเสือที่พบภายหลังจากการนำบดดินที่ป่นเปื้อนพบปริมาณการสะสระน้ำของตะกั่วในส่วน cellulose สูงสุดและมีปริมาณการสะสระน้ำมากกว่าเมื่อเปรียบเทียบกับในส่วน Klason lignin, water-soluble material และ methanol-soluble lignin ตามลำดับ และพบว่าในส่วนของ Klason lignin พบปริมาณการสะสระน้ำตะกั่วที่ไม่แตกต่างกับในส่วน water-soluble material และ methanol-soluble lignin ตามลำดับอย่างมีนัยสำคัญทางสถิติที่ระดับความเชื่อมั่นร้อยละ 95 ดังภาพที่ 26ข และตารางผนวกที่ ก7



ภาพที่ 26 ปริมาณการสะสมต่ำกว่าที่พนจากองค์ประกอบทางเคมีของสาบเสื่อภายหลังจากการบำบัดดินที่ปืนปืนระดับต่ำกว่าด้วยวิธี steam explosion และ Wayman's method ณ สภาพที่ระดับความดัน 19 กิโลกรัมต่อตารางเซนติเมตร เป็นเวลา 5 นาที ในส่วนเหนือดิน (ก) และส่วนใต้ดิน (ข) ที่ระยะเวลาการเก็บเกี่ยวสาบเสื่อ 30 วัน

(3) ที่ระยะเวลาการเก็บเกี่ยวสาบเสือ 45 วันในส่วนเหนือดิน พบปริมาณการสะสมต่ำจากองค์ประกอบทางเคมีของสาบเสือในส่วน water-soluble material, methanol-soluble lignin, Klason lignin และ cellulose โดยเฉลี่ยเท่ากับ  $39.21\pm12.23$ ,  $10.94\pm3.31$ ,  $123.58\pm7.59$  และ  $993.67\pm78.26$  มิลลิกรัมต่อกรัมตามลำดับ โดยคิดเป็นสัดส่วนปริมาณการสะสมร้อยละ  $3.32\pm0.76$ ,  $0.93\pm0.20$ ,  $10.61\pm0.46$  และ  $85.15\pm0.68$  ตามลำดับ ซึ่งเมื่อทำการวิเคราะห์ค่าความแตกต่างทางสถิติถึงปริมาณการสะสมต่ำจากองค์ประกอบทางเคมีของสาบเสือที่พบภายหลังจากการนำบัดดินที่ป่นเปื้อนพบปริมาณการสะสมของตะกั่วในส่วน cellulose สูงสุดและมีปริมาณการสะสมที่มากกว่าเมื่อเปรียบเทียบกับในส่วน Klason lignin, water-soluble material และ methanol-soluble lignin ตามลำดับ และพบว่าในส่วนของ Klason lignin พบปริมาณการสะสมตะกั่วที่มากกว่าเมื่อเปรียบเทียบกับในส่วน water-soluble material และ methanol-soluble lignin ตามลำดับ อีกทั้งพบว่าในส่วนของ water-soluble material พบปริมาณการสะสมตะกั่วที่ไม่แตกต่างกับในส่วน methanol-soluble lignin อย่างมีนัยสำคัญทางสถิติที่ระดับความเชื่อมั่นร้อยละ 95 ดังภาพที่ 27 ก และตารางผนวกที่ ก 8

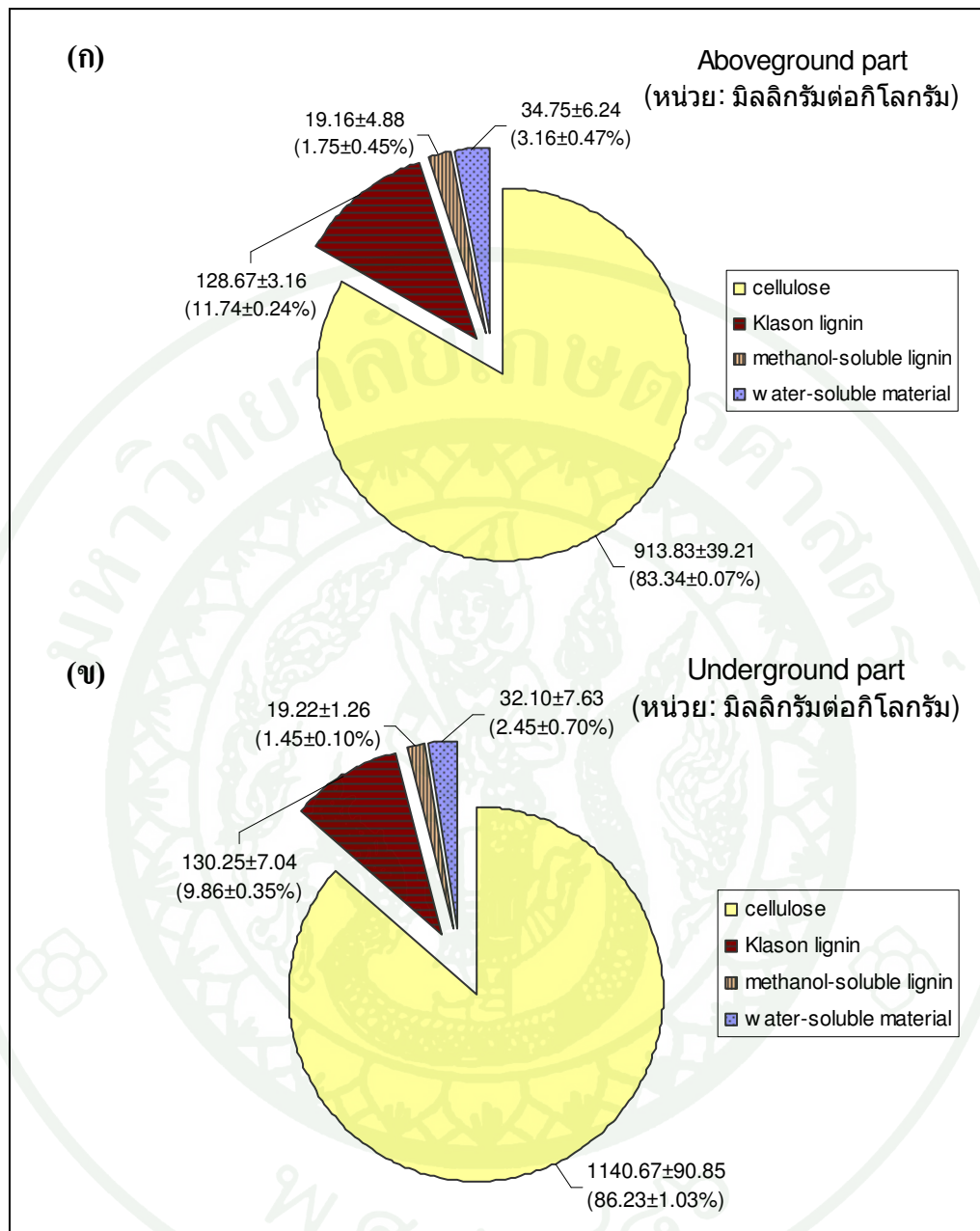
และที่ระยะเวลาการเก็บเกี่ยวสาบเสือ 45 วันในส่วนใต้ดิน พบปริมาณการสะสมต่ำจากองค์ประกอบทางเคมีของสาบเสือในส่วน water-soluble material, methanol-soluble lignin, Klason lignin และ cellulose โดยเฉลี่ยเท่ากับ  $30.34\pm9.32$ ,  $13.89\pm2.13$ ,  $134.07\pm11.71$  และ  $1,050.50\pm131.61$  มิลลิกรัมต่อกรัมตามลำดับ โดยคิดเป็นสัดส่วนปริมาณการสะสมร้อยละ  $2.48\pm0.77$ ,  $1.13\pm0.13$ ,  $11.01\pm1.61$  และ  $85.38\pm2.30$  ตามลำดับ ซึ่งเมื่อทำการวิเคราะห์ค่าความแตกต่างทางสถิติถึงปริมาณการสะสมต่ำจากองค์ประกอบทางเคมีของสาบเสือที่พบภายหลังจากการนำบัดดินที่ป่นเปื้อน พบปริมาณการสะสมของตะกั่วในส่วน cellulose สูงสุดและมีปริมาณการสะสมที่มากกว่าเมื่อเปรียบเทียบกับในส่วน Klason lignin, water-soluble material และ methanol-soluble lignin ตามลำดับ และพบว่าในส่วนของ Klason lignin พบปริมาณการสะสมตะกั่วที่ไม่แตกต่างกับในส่วน water-soluble material และ methanol-soluble lignin ตามลำดับอย่างมีนัยสำคัญทางสถิติที่ระดับความเชื่อมั่นร้อยละ 95 ดังภาพที่ 27 ข และตารางผนวกที่ ก 8



ภาพที่ 27 ปริมาณการสะสมต่ำที่พนจากองค์ประกอบทางเคมีของสาบสืือภายในหลังจาก การบำบัดดินที่ป่นเปี้ยนตะกั่ว ด้วยวิธี steam explosion และ Wayman's method ณ สภาพที่ระดับความดัน 19 กิโลกรัมต่ำตรางเซนติเมตร เป็นเวลา 5 นาที ในส่วนเหนือดิน (ก) และส่วนใต้ดิน (ข) ที่ระยะเวลาการเก็บเกี่ยวสาบสืือ 45 วัน

(4) ที่ระยะเวลาการเก็บเกี่ยวสาบเสื่อ 60 วันในส่วนหนึ่งเดือน พบปริมาณการสะสมตัวจากองค์ประกอบทางเคมีของสาบเสื่อในส่วน water-soluble material, methanol-soluble lignin, Klason lignin และ cellulose โดยเฉลี่ยเท่ากับ  $34.75\pm6.24$ ,  $19.16\pm4.88$ ,  $128.67\pm3.16$  และ  $913.83\pm39.21$  มิลลิกรัมต่อ กิโลกรัมตามลำดับ โดยคิดเป็นสัดส่วนปริมาณการสะสมร้อยละ  $3.16\pm0.47$ ,  $1.75\pm0.45$ ,  $11.74\pm0.24$  และ  $83.34\pm0.07$  ตามลำดับ ซึ่งเมื่อทำการวิเคราะห์ค่าความแตกต่างทางสถิติถึงปริมาณการสะสมตัวจากองค์ประกอบทางเคมีของสาบเสื่อที่พบภายหลังจากการนำบัดดินที่ป่นเปื้อนพบปริมาณการสะสมของตะไคร้ในส่วน cellulose สูงสุดและมีปริมาณการสะสมที่มากกว่าเมื่อเปรียบเทียบกับในส่วน Klason lignin, water-soluble material และ methanol-soluble lignin ตามลำดับอีก และพบว่าในส่วนของ Klason lignin พบปริมาณการสะสมตัวที่มากกว่าเมื่อเปรียบเทียบกับในส่วน water-soluble material และ methanol-soluble lignin ตามลำดับ อีกทั้งพบว่าในส่วนของ water-soluble material พบปริมาณการสะสมตัวที่ไม่แตกต่างกับในส่วน methanol-soluble lignin อย่างมีนัยสำคัญทางสถิติที่ระดับความเชื่อมั่นร้อยละ 95 ดังภาพที่ 28ก และตารางผนวกที่ ก9

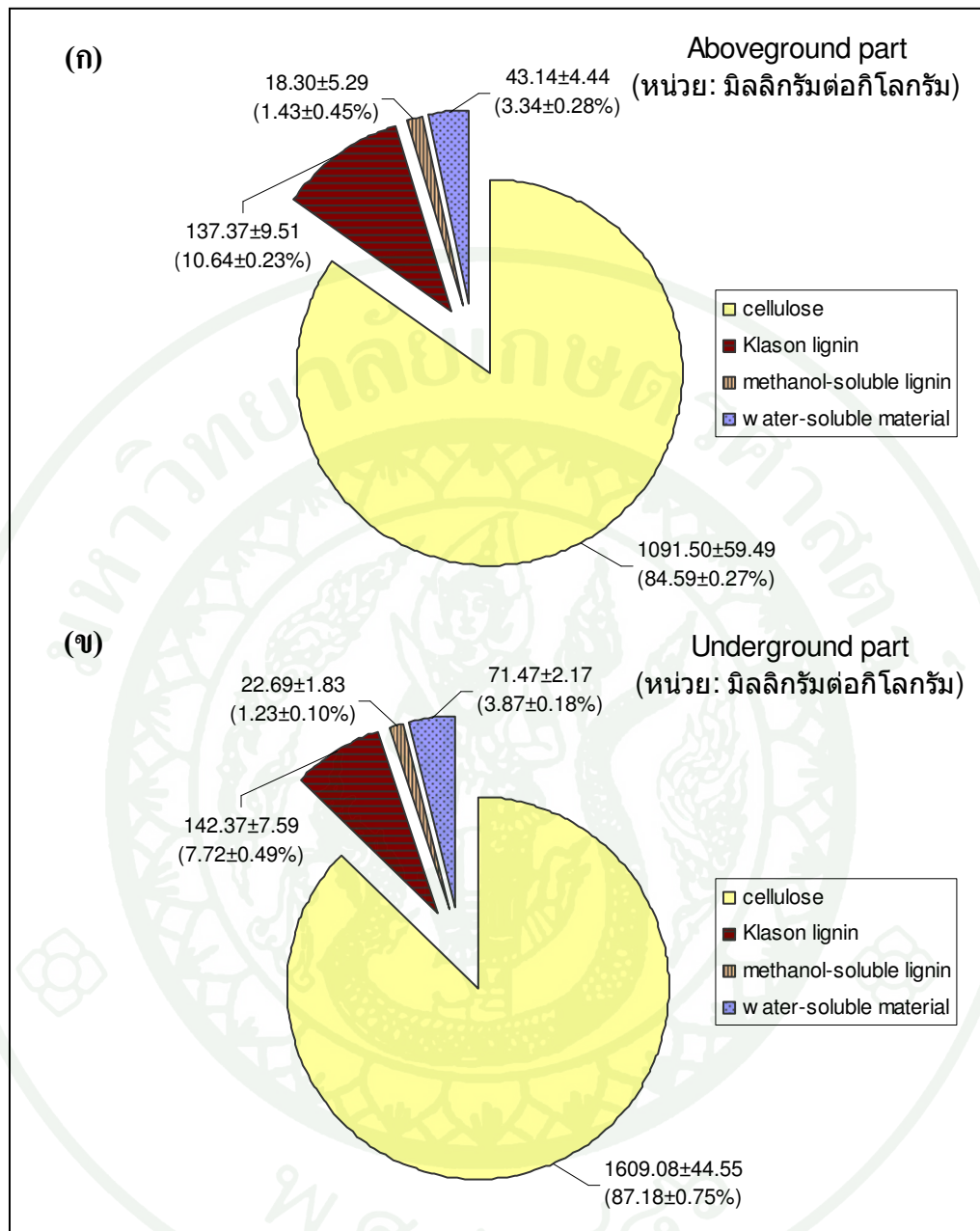
และที่ระยะเวลาการเก็บเกี่ยวสาบเสื่อ 60 วันในส่วนได้ดิน พบปริมาณการสะสมตัวจากองค์ประกอบทางเคมีของสาบเสื่อในส่วน water-soluble material, methanol-soluble lignin, Klason lignin และ cellulose โดยเฉลี่ยเท่ากับ  $32.10\pm7.63$ ,  $19.22\pm1.26$ ,  $130.25\pm7.04$  และ  $1,140.67\pm90.85$  มิลลิกรัมต่อ กิโลกรัมตามลำดับ โดยคิดเป็นสัดส่วนปริมาณการสะสมร้อยละ  $2.45\pm0.70$ ,  $1.45\pm0.10$ ,  $9.86\pm0.35$  และ  $86.23\pm1.03$  ตามลำดับ ซึ่งเมื่อทำการวิเคราะห์ค่าความแตกต่างทางสถิติถึงปริมาณการสะสมตัวจากองค์ประกอบทางเคมีของสาบเสื่อที่พบภายหลังจากการนำบัดดินที่ป่นเปื้อนพบปริมาณการสะสมของตะไคร้ในส่วน cellulose สูงสุดและมีปริมาณการสะสมที่มากกว่าเมื่อเปรียบเทียบกับในส่วน Klason lignin, water-soluble material และ methanol-soluble lignin ตามลำดับ และพบว่าในส่วนของ Klason lignin พบปริมาณการสะสมตัวที่มากกว่าเมื่อเปรียบเทียบในส่วน water-soluble material และ methanol-soluble lignin ตามลำดับ อีกทั้งพบว่าในส่วนของ water-soluble material พบปริมาณการสะสมตัวที่ไม่แตกต่างกับในส่วน methanol-soluble lignin อย่างมีนัยสำคัญทางสถิติที่ระดับความเชื่อมั่นร้อยละ 95 ดังภาพที่ 28خ และตารางผนวกที่ ก9



ภาพที่ 28 ปริมาณการสาะสูนตะกั่วที่พ่นจากองค์ประกอบทางเคมีของสาบเสือภายในหลังจาก การบำบัดดินที่ป่นเป็นผงตะกั่ว ด้วยวิธี steam explosion และ Wayman's method ณ สภาพที่ระดับความดัน 19 กิโลกรัมต่อตารางเซนติเมตร เป็นเวลา 5 นาที ในส่วนเหนือดิน (ก) และส่วนใต้ดิน (ข) ที่ระยะเวลาการเก็บเกี่ยวสาบเสือ 60 วัน

(5) ที่ระยะเวลาการเก็บเกี่ยวสาบเสื่อ 75 วันในส่วนหนึ่งเดือน พบริมาณการสะสมตัวจากองค์ประกอบทางเคมีของสาบเสื่อในส่วน water-soluble material, methanol-soluble lignin, Klason lignin และ cellulose โดยเฉลี่ยเท่ากับ  $43.14\pm4.44$ ,  $18.30\pm5.29$ ,  $137.37\pm9.51$  และ  $1,091.50\pm59.49$  มิลลิกรัมต่อกรัมตามลำดับ โดยคิดเป็นสัดส่วนปริมาณการสะสมร้อยละ  $3.34\pm0.28$ ,  $1.43\pm0.45$ ,  $10.64\pm0.23$  และ  $84.59\pm0.27$  ตามลำดับ ซึ่งเมื่อทำการวิเคราะห์ค่าความแตกต่างทางสถิติถึงปริมาณการสะสมตัวจากองค์ประกอบทางเคมีของสาบเสื่อที่พบภายหลังจากการนำบัดดินที่ป่นเปื้อนพบริมาณการสะสมของตะไคร้ในส่วน cellulose สูงสุดและมีปริมาณการสะสมที่มากกว่าเมื่อเปรียบเทียบกับในส่วน Klason lignin, water-soluble material และ methanol-soluble lignin ตามลำดับ และพบว่าในส่วนของ Klason lignin พบริมาณการสะสมตัวที่มากกว่าเมื่อเปรียบเทียบกับในส่วน water-soluble material และ methanol-soluble lignin ตามลำดับ อีกทั้งพบว่าในส่วนของ water-soluble material พบริมาณการสะสมตัวที่ไม่แตกต่างกับในส่วน methanol-soluble lignin อย่างมีนัยสำคัญทางสถิติที่ระดับความเชื่อมั่นร้อยละ 95 ดังภาพที่ 29ก และตารางผนวกที่ ก10

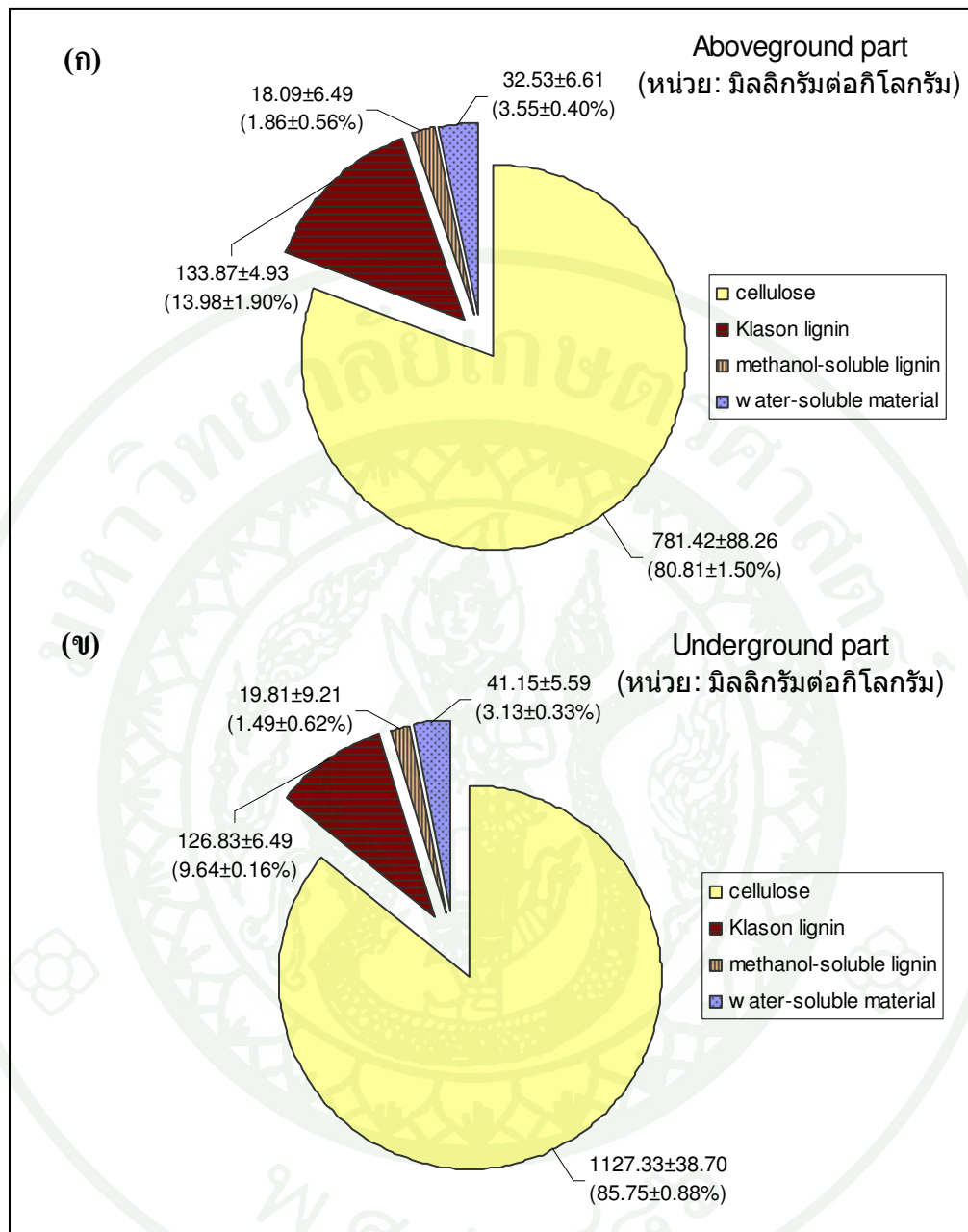
และที่ระยะเวลาการเก็บเกี่ยวสาบเสื่อ 75 วันในส่วนใต้ดิน พบริมาณการสะสมตัวจากองค์ประกอบทางเคมีของสาบเสื่อในส่วน water-soluble material, methanol-soluble lignin, Klason lignin และ cellulose โดยเฉลี่ยเท่ากับ  $71.47\pm2.17$ ,  $22.69\pm1.83$ ,  $142.37\pm7.59$  และ  $1,609.08\pm44.55$  มิลลิกรัมต่อกรัมตามลำดับ โดยคิดเป็นสัดส่วนปริมาณการสะสมร้อยละ  $3.87\pm0.18$ ,  $1.23\pm0.10$ ,  $7.72\pm0.49$  และ  $87.18\pm0.75$  ตามลำดับ ซึ่งเมื่อทำการวิเคราะห์ค่าความแตกต่างทางสถิติถึงปริมาณการสะสมตัวจากองค์ประกอบทางเคมีของสาบเสื่อที่พบภายหลังจากการนำบัดดินที่ป่นเปื้อน พบริมาณการสะสมของตะไคร้ในส่วน cellulose สูงสุดและมีปริมาณการสะสมที่มากกว่าเมื่อเปรียบเทียบกับในส่วน Klason lignin, water-soluble material และ methanol-soluble lignin ตามลำดับ และพบว่าในส่วนของ Klason lignin พบริมาณการสะสมตัวที่มากกว่าเมื่อเปรียบเทียบในส่วน water-soluble material และ methanol-soluble lignin ตามลำดับ อีกทั้งพบว่าในส่วนของ water-soluble material พบริมาณการสะสมตัวที่มากกว่าเมื่อเปรียบเทียบกับในส่วน methanol-soluble lignin อย่างมีนัยสำคัญทางสถิติที่ระดับความเชื่อมั่นร้อยละ 95 ดังภาพที่ 29ง และตารางผนวกที่ ก10



ภาพที่ 29 ปริมาณการสะสมต่ำกว่าที่พบจากองค์ประกอบทางเคมีของสาบเสือภายในหลังจาก การนำบัดดินที่ป่นเปี้ยนตะกั่ว ด้วยวิธี steam explosion และ Wayman's method ณ สภาพที่ระดับความดัน 19 กิโลกรัมต่อตารางเซนติเมตร เป็นเวลา 5 นาที ในส่วนเหนือดิน (ก) และส่วนใต้ดิน (ข) ที่ระยะเวลาการเก็บเกี่ยวสาบเสือ 75 วัน

(6) ที่ระยะเวลาการเก็บเกี่ยวสาบเสื่อ 90 วันในส่วนหนึ่งเดือน พบปริมาณการสะสมตัวจากองค์ประกอบทางเคมีของสาบเสื่อในส่วน water-soluble material, methanol-soluble lignin, Klason lignin และ cellulose โดยเฉลี่ยเท่ากับ  $32.53\pm6.61$ ,  $18.09\pm6.49$ ,  $133.87\pm4.93$  และ  $781.42\pm88.26$  มิลลิกรัมต่อ กิโลกรัมตามลำดับ โดยคิดเป็นสัดส่วนปริมาณการสะสมร้อยละ  $3.35\pm0.40$ ,  $1.86\pm0.56$ ,  $13.98\pm1.90$  และ  $80.81\pm1.50$  ตามลำดับ ซึ่งเมื่อทำการวิเคราะห์ค่าความแตกต่างทางสถิติถึงปริมาณการสะสมตัวจากองค์ประกอบทางเคมีของสาบเสื่อที่พบภายหลังจากการนำบัดดินที่ป่นเปื้อนพบปริมาณการสะสมของตะไคร้ในส่วน cellulose สูงสุดและมีปริมาณการสะสมที่มากกว่าเมื่อเปรียบเทียบกับในส่วน Klason lignin, water-soluble material และ methanol-soluble lignin ตามลำดับ และพบว่าในส่วนของ Klason lignin พบปริมาณการสะสมตัวที่มากกว่าเมื่อเปรียบเทียบกับในส่วน water-soluble material และ methanol-soluble lignin ตามลำดับ อีกทั้งพบว่าในส่วนของ water-soluble material พบปริมาณการสะสมตัวที่ไม่แตกต่างกับในส่วน methanol-soluble lignin อย่างมีนัยสำคัญทางสถิติที่ระดับความเชื่อมั่นร้อยละ 95 ดังภาพที่ 30ก และตารางผนวกที่ ก11

และที่ระยะเวลาการเก็บเกี่ยวสาบเสื่อ 90 วันในส่วนใต้ดิน พบปริมาณการสะสมตัวจากองค์ประกอบทางเคมีของสาบเสื่อในส่วน water-soluble material, methanol-soluble lignin, Klason lignin และ cellulose โดยเฉลี่ยเท่ากับ  $41.15\pm5.59$ ,  $19.81\pm9.21$ ,  $126.83\pm6.49$  และ  $1,127.33\pm38.70$  มิลลิกรัมต่อ กิโลกรัมตามลำดับ โดยคิดเป็นสัดส่วนปริมาณการสะสมร้อยละ  $3.13\pm0.33$ ,  $1.49\pm0.62$ ,  $9.64\pm0.16$  และ  $85.75\pm0.88$  ตามลำดับ ซึ่งเมื่อทำการวิเคราะห์ค่าความแตกต่างทางสถิติถึงปริมาณการสะสมตัวจากองค์ประกอบทางเคมีของสาบเสื่อที่พบภายหลังจากการนำบัดดินที่ป่นเปื้อนพบปริมาณการสะสมของตะไคร้ในส่วน cellulose สูงสุดและมีปริมาณการสะสมที่มากกว่าเมื่อเปรียบเทียบกับในส่วน Klason lignin, water-soluble material และ methanol-soluble lignin ตามลำดับ และพบว่าในส่วนของ Klason lignin พบปริมาณการสะสมตัวที่มากกว่าเมื่อเปรียบเทียบในส่วน water-soluble material และ methanol-soluble lignin ตามลำดับ อีกทั้งพบว่าในส่วนของ water-soluble material พบปริมาณการสะสมตัวที่มากกว่าเมื่อเปรียบเทียบกับในส่วน methanol-soluble lignin อย่างมีนัยสำคัญทางสถิติที่ระดับความเชื่อมั่นร้อยละ 95 ดังภาพที่ 30ง และตารางผนวกที่ ก11



ภาพที่ 30 ปริมาณการสาะสมตะกั่วที่พนจากองค์ประกอบทางเคมีของสาบเสือภายในหลังจาก การนำบัดดินที่ป่นเป็นผงละเอียด กับ ด้วยวิธี steam explosion และ Wayman's method ณ สภาพที่ระดับความดัน 19 กิโลกรัมต่อตารางเซนติเมตร เป็นเวลา 5 นาที ในส่วนเหนือดิน (ก) และส่วนใต้ดิน (ข) ที่ระยะเวลาการเก็บเกี่ยวสาบเสือ 90 วัน

### 3.2.2 ปริมาณการสะสูดตะกั่วในองค์ประกอบทางเคมีภายในแต่ละชนิดของสาบเสือ ภายหลังจากการบำบัดดินที่ป่นเปี้ยน

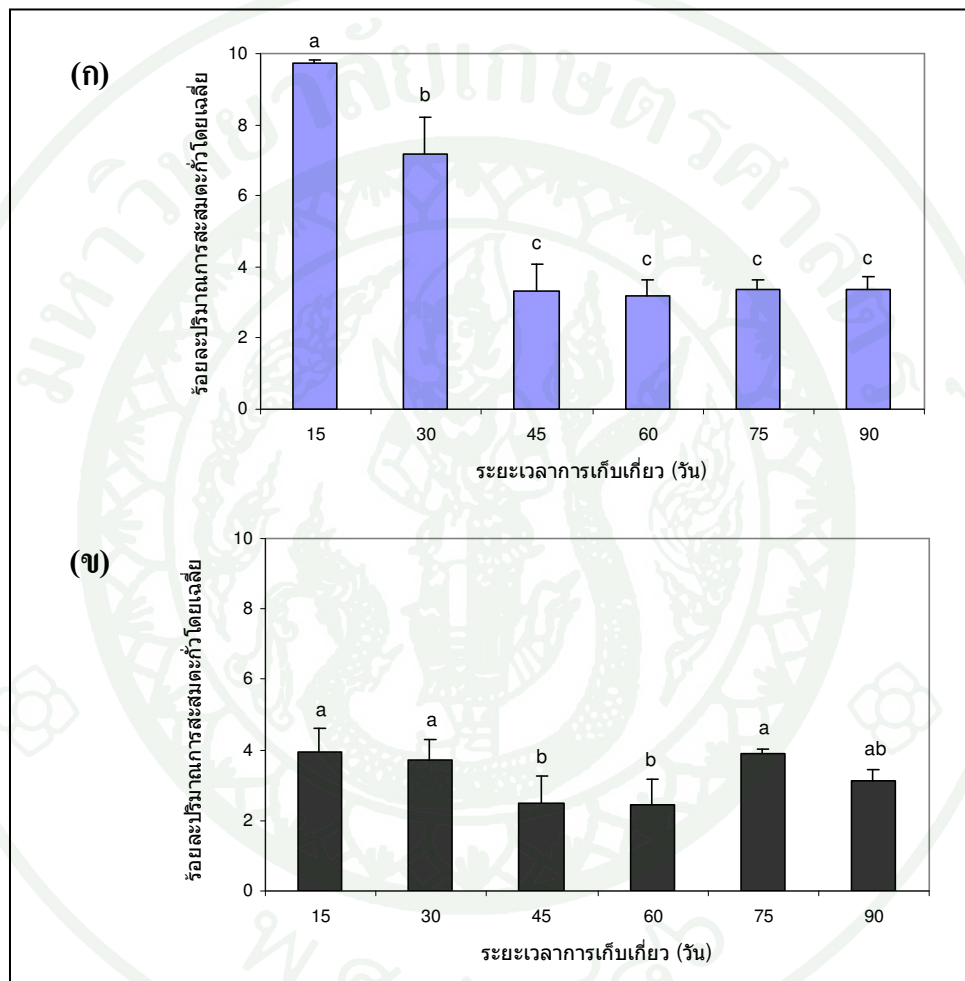
เมื่อทำการพิจารณาถึงปริมาณการสะสูดของตะกั่วโดยเฉลี่ยขององค์ประกอบทางเคมีภายในแต่ละชนิดของสาบเสือภายหลังจากการบำบัดดินที่ป่นเปี้ยน ด้วยวิธี steam explosion และ Wayman's method ณ สถานที่ระดับความดัน 19 กิโลกรัมต่อตารางเซนติเมตร เป็นเวลา 5 นาที ที่ระยะเวลาการเก็บเกี่ยวสาบเสือ 15, 30, 45, 60, 75 และ 90 วันพบปริมาณการสะสูดตะกั่วโดยเฉลี่ย จากองค์ประกอบทางเคมีของสาบเสือแต่ละชนิดในปริมาณที่แตกต่างกันดังนี้

(1) ปริมาณการสะสูดตะกั่วในส่วน water-soluble material ของสาบเสือที่พบภายหลังจากการบำบัดดินที่ป่นเปี้ยน โดยกระบวนการ steam explosion และ Wayman's method ที่ระยะเวลาในการเก็บเกี่ยวสาบเสือ 15, 30, 45, 60, 75 และ 90 วัน

ในส่วนเหนือดินพบปริมาณการสะสูดตะกั่วโดยเฉลี่ยร้อยละ  $9.71 \pm 0.12$ ,  $7.16 \pm 1.06$ ,  $3.32 \pm 0.76$ ,  $3.16 \pm 0.47$ ,  $3.34 \pm 0.28$  และ  $3.35 \pm 0.40$  ตามลำดับ ซึ่งเมื่อทำการวิเคราะห์ค่าความแตกต่างทางสถิติถึงปริมาณการสะสูดตะกั่วในส่วน water-soluble material พบว่าที่ระยะเวลาการเก็บเกี่ยว 15 วันพบปริมาณการสะสูดตะกั่วสูงสุดและมีปริมาณการสะสูดตะกั่วที่สูงกว่าเมื่อเปรียบเทียบกับระยะเวลาการเก็บเกี่ยวสาบเสือ 30, 90, 75, 45 และ 60 วันตามลำดับ โดยพบว่าที่ระยะเวลาการเก็บเกี่ยวสาบเสือ 30 วันพบปริมาณการสะสูดตะกั่วที่สูงกว่าเมื่อเปรียบเทียบกับระยะเวลาการเก็บเกี่ยวสาบเสือ 75, 45, 60 และ 90 วันตามลำดับ และพบว่าที่ระยะเวลาการเก็บเกี่ยวสาบเสือ 75 วัน พบของปริมาณการสะสูดตะกั่วที่ไม่แตกต่างที่ระยะเวลาการเก็บเกี่ยวสาบเสือ 45, 60 และ 90 วันตามลำดับ อย่างมีนัยสำคัญทางสถิติที่ระดับความเชื่อมั่นที่ 95 ดังภาพที่ 31ก และตารางผนวกที่ ก12

ในส่วนใต้ดินพบปริมาณการสะสูดตะกั่วโดยเฉลี่ยร้อยละ  $3.93 \pm 0.67$ ,  $3.73 \pm 0.59$ ,  $2.48 \pm 0.77$ ,  $2.45 \pm 0.70$ ,  $3.87 \pm 0.18$  และ  $3.13 \pm 0.33$  ตามลำดับ ซึ่งเมื่อทำการวิเคราะห์ค่าความแตกต่างทางสถิติถึงปริมาณการสะสูดตะกั่วในส่วน water-soluble material พบว่าที่ระยะเวลาการเก็บเกี่ยวสาบเสือ 15 วัน พบปริมาณการสะสูดตะกั่วสูงสุดและไม่แตกต่างเมื่อเปรียบเทียบกับระยะเวลาการเก็บเกี่ยวสาบเสือ 75, 30 และ 90 วัน ตามลำดับ แต่มีปริมาณการสะสูดตะกั่วที่สูงกว่า

เมื่อเปรียบเทียบกับระยะเวลาการเก็บเกี่ยวสาบเสือ 45 และ 60 วันตามลำดับ โดยพบว่าที่ระยะเวลาการเก็บเกี่ยวสาบเสือ 90 วันพบปริมาณการสะสมตัวที่ไม่แตกต่างกับระยะเวลาการเก็บเกี่ยวสาบเสือ 45 และ 60 วันตามลำดับ อย่างมีนัยสำคัญทางสถิติที่ระดับความเชื่อมั่นร้อยละ 95 ดังภาพที่ 31(ก) และตารางผนวกที่ ก12

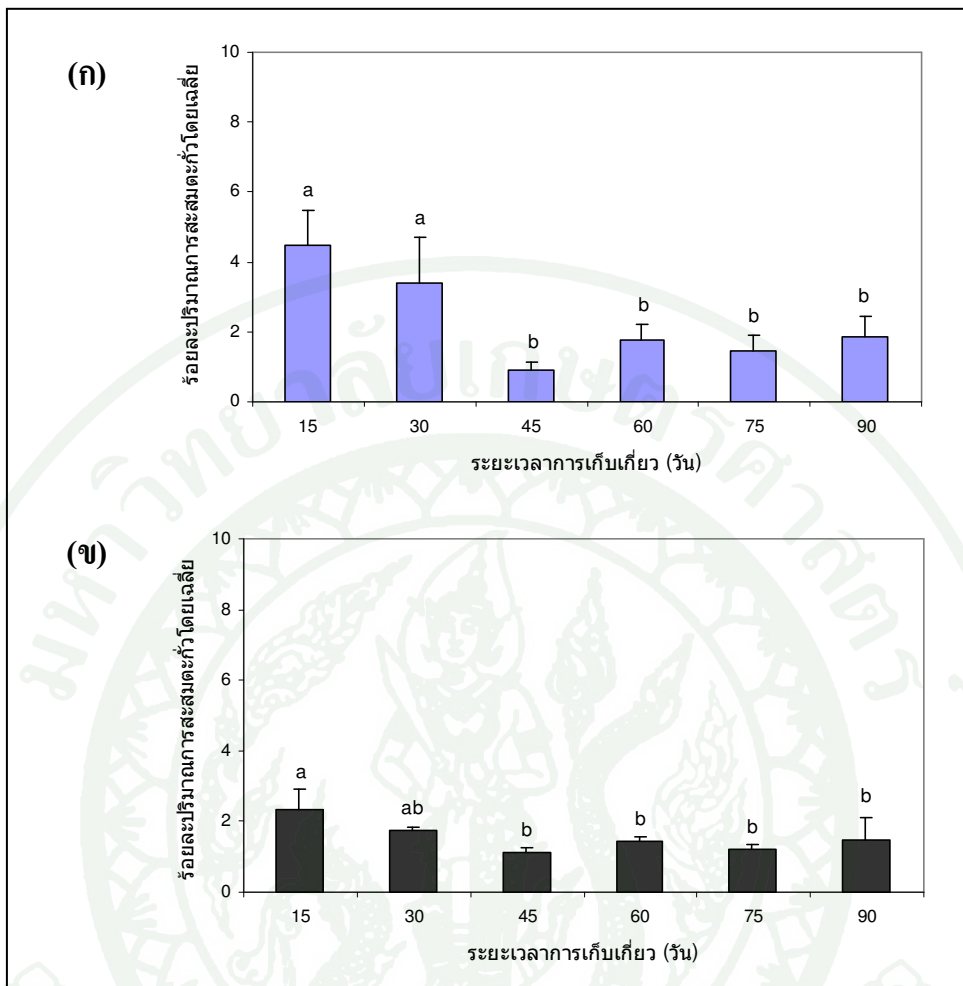


ภาพที่ 31 ร้อยละการสะสมตัวที่ยังคงอยู่ในส่วน water-soluble material ของสาบเสือภายหลังจาก การบำบัดดินที่ปืนปืนเพื่อเพิ่มพื้นที่ก้าว ด้วยวิธี steam explosion และ Wayman's method ณ สภาพที่ระดับความดัน 19 กิโลกรัมต่อตารางเซนติเมตร เป็นเวลา 5 นาที ในส่วนเหนือดิน (ก) และส่วนใต้ดิน (ข) ที่ระยะเวลาการเก็บเกี่ยวสาบเสือ 15, 30, 45, 60, 75 และ 90 วัน

(2) ปริมาณการละลายต่อไปในส่วน methanol-soluble lignin ของสาบเสือที่พบภายหลังจากการนำบัคคินที่ป่นเป็นฝุ่น โดยกระบวนการ steam explosion และ Wayman's method ที่ระยะเวลาในการเก็บเกี่ยวสาบเสือ 15, 30, 45, 60, 75 และ 90 วัน

ในส่วนเหนือดินพบปริมาณการละลายต่อไปในส่วน methanol-soluble lignin พบว่าที่ระยะเวลาการเก็บเกี่ยวสาบเสือ 15 วันพบปริมาณการละลายต่อไปสูงสุดและไม่แตกต่างกับระยะเวลาการเก็บเกี่ยวสาบเสือ 30 วัน แต่มีปริมาณการละลายต่อไปที่สูงกว่าเมื่อเปรียบเทียบกับระยะเวลาการเก็บเกี่ยวสาบเสือ 90, 60, 75 และ 45 วันตามลำดับ และพบว่าที่ระยะเวลาการเก็บเกี่ยวสาบเสือ 90 วันพบปริมาณการละลายต่อไปที่ไม่แตกต่างกับระยะเวลาการเก็บเกี่ยวสาบเสือ 60, 75 และ 45 วันตามลำดับ อย่างมีนัยสำคัญทางสถิติที่ระดับความเชื่อมั่นร้อยละ 95 ดังภาพที่ 32ก และตารางผนวกที่ ก13

ในส่วนใต้ดินพบของปริมาณการละลายต่อไปโดยเฉลี่ยร้อยละ  $2.33 \pm 0.61$ ,  $1.75 \pm 0.09$ ,  $1.13 \pm 0.13$ ,  $1.45 \pm 0.10$ ,  $1.23 \pm 0.10$  และ  $1.49 \pm 0.62$  ตามลำดับซึ่งเมื่อทำการวิเคราะห์ค่าความแตกต่างทางสถิติถึงสัดส่วนของปริมาณการละลายต่อไปในส่วน methanol-soluble lignin พบว่าที่ระยะเวลาการเก็บเกี่ยวสาบเสือ 15 วันพบปริมาณการละลายต่อไปสูงสุดและไม่แตกต่างเมื่อเปรียบเทียบกับระยะเวลาการเก็บเกี่ยวสาบเสือ 30 วัน แต่มีปริมาณการละลายต่อไปที่สูงกว่าเมื่อเปรียบเทียบกับระยะเวลาการเก็บเกี่ยวสาบเสือ 90, 60, 75 และ 45 วันตามลำดับ โดยพบว่าที่ระยะเวลาการเก็บเกี่ยวสาบเสือ 30 วันพบปริมาณการละลายต่อไปที่ไม่แตกต่างกับระยะเวลาการเก็บเกี่ยวสาบเสือ 90, 60, 75 และ 45 วันตามลำดับ อย่างมีนัยสำคัญทางสถิติที่ระดับความเชื่อมั่นร้อยละ 95 ดังภาพที่ 32خ และตารางผนวกที่ ก13



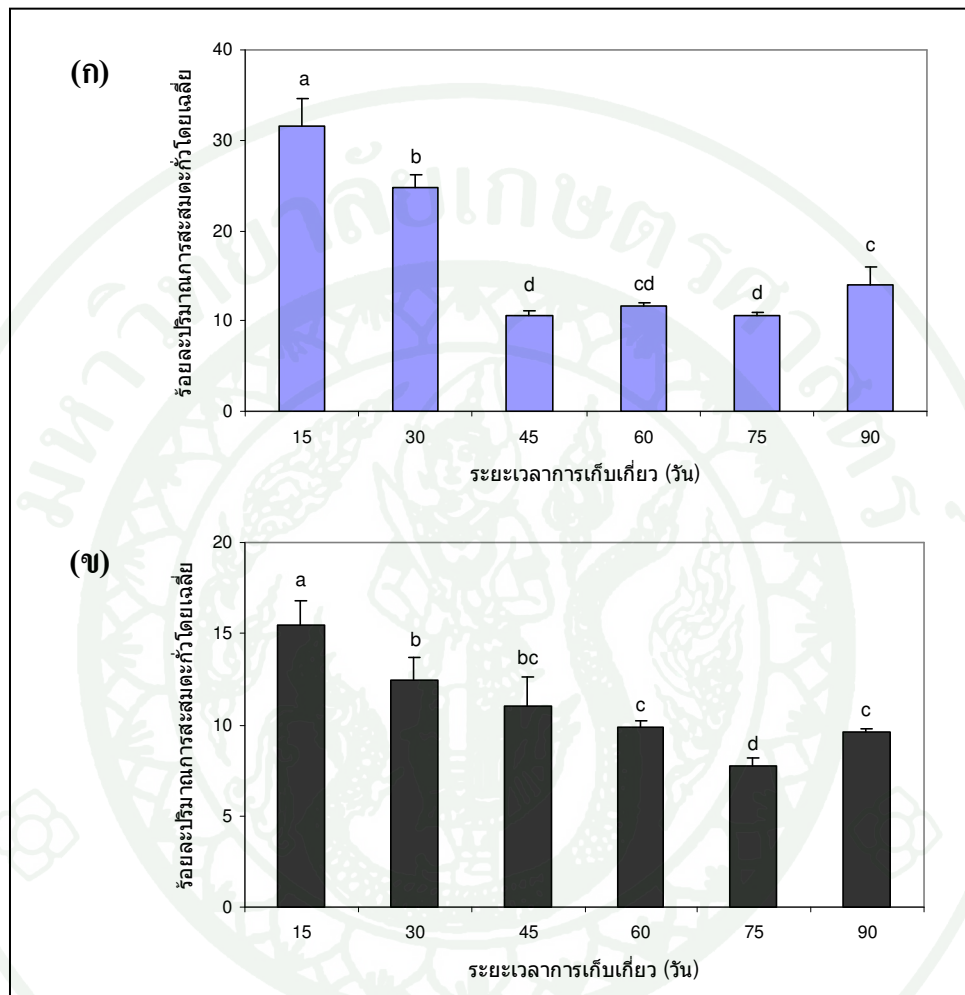
ภาพที่ 32 ร้อยละการสะสมกั่วในส่วน methanol-soluble lignin ของสาบเสือภายในหลังจาก การนำบัดดินที่ปืนปืนกั่ว ด้วยวิธี steam explosion และ Wayman's method ณ สภาพที่ระดับความดัน 19 กิโลกรัมต่อตารางเซนติเมตร เป็นเวลา 5 นาที ในส่วนหนึ่งอดิน (ก) และส่วนใต้ดิน (ข) ที่ระยะเวลาเก็บเกี่ยวสาบเสือ 15, 30, 45, 60, 75 และ 90 วัน

(3) ปริมาณการละลายก้าวในส่วน Klason lignin ของสาบเสือที่พบภายหลังจากการนำบัดดินที่ป่นเป็นฝุ่น โดยกระบวนการ steam explosion และ Wayman's method ที่ระยะเวลาในการเก็บเกี่ยวสาบเสือ 15, 30, 45, 60, 75 และ 90 วัน

โดยในส่วนเหนือดินพบปริมาณการละลายก้าวโดยเฉลี่ยร้อยละ  $31.62 \pm 2.92, 24.80 \pm 1.35, 10.61 \pm 0.46, 11.74 \pm 0.24, 10.64 \pm 0.23$  และ  $13.98 \pm 1.90$  ตามลำดับ ซึ่งเมื่อทำการวิเคราะห์ค่าความแตกต่างทางสถิติถึงปริมาณการละลายก้าวในส่วน Klason lignin พบร่วมกับระยะเวลาการเก็บเกี่ยวสาบเสือ 15 วันพบปริมาณการละลายก้าวสูงสุดและมีปริมาณการละลายก้าวที่สูงกว่าเมื่อเปรียบเทียบกับระยะเวลาการเก็บเกี่ยวสาบเสือ 30, 90, 60, 75 และ 45 วันตามลำดับโดยพบว่าที่ระยะเวลาการเก็บเกี่ยวสาบเสือ 30 วันพบปริมาณการละลายก้าวที่สูงกว่าเมื่อเปรียบเทียบกับระยะเวลาการเก็บเกี่ยวสาบเสือ 30, 90, 60, 75 และ 45 วันตามลำดับ และพบร่วมกับระยะเวลาการเก็บเกี่ยวสาบเสือ 90, 60, 75 และ 45 วันตามลำดับ แต่พบร่วมกับระยะเวลาการเก็บเกี่ยวสาบเสือ 60 วัน แต่มีปริมาณการละลายก้าวที่สูงกว่าเมื่อเปรียบเทียบกับระยะเวลาการเก็บเกี่ยวสาบเสือ 75 และ 45 วันตามลำดับ อีกทั้งพบว่าที่ระยะเวลาการเก็บเกี่ยวสาบเสือ 60 วันพบปริมาณการละลายก้าวที่ไม่แตกต่างกับระยะเวลาการเก็บเกี่ยวสาบเสือ 75 และ 45 วันตามลำดับ อย่างมีนัยสำคัญทางสถิติที่ระดับความเชื่อมั่นร้อยละ 95 ดังภาพที่ 33ก และตารางผนวกที่ ก14

ในส่วนใต้ดินพบปริมาณการละลายก้าวโดยเฉลี่ยร้อยละ  $15.48 \pm 1.33, 12.47 \pm 1.20, 11.01 \pm 1.61, 9.86 \pm 0.35, 7.72 \pm 0.49$  และ  $9.64 \pm 0.16$  ตามลำดับ ซึ่งเมื่อทำการวิเคราะห์ค่าความแตกต่างทางสถิติถึงปริมาณการละลายก้าวในส่วน Klason lignin พบร่วมกับระยะเวลาการเก็บเกี่ยวสาบเสือ 15 วันพบปริมาณการละลายก้าวสูงสุดและมีปริมาณการละลายก้าวที่สูงกว่าเมื่อเปรียบเทียบกับระยะเวลาการเก็บเกี่ยวสาบเสือ 30, 45, 60, 90 และ 75 วันตามลำดับ โดยพบร่วมกับระยะเวลาการเก็บเกี่ยวสาบเสือ 30 วันพบปริมาณการละลายก้าวที่ไม่แตกต่างที่ระยะเวลาการเก็บเกี่ยวสาบเสือ 45 วัน แต่มีปริมาณการละลายก้าวที่สูงกว่าเมื่อเปรียบเทียบกับระยะเวลาการเก็บเกี่ยวสาบเสือ 60, 90 และ 75 วันตามลำดับ และพบร่วมกับระยะเวลาการเก็บเกี่ยวสาบเสือ 45 วันพบปริมาณการละลายก้าวที่ไม่แตกต่างกับระยะเวลาการเก็บเกี่ยวสาบเสือ 60 และ 90 วันตามลำดับ แต่มีปริมาณการละลายก้าวที่สูงกว่าเมื่อเปรียบเทียบกับระยะเวลาการเก็บเกี่ยวสาบเสือ 75 วัน อีกทั้งพบว่าที่ระยะเวลาการเก็บเกี่ยวสาบเสือที่ 60 วันพบปริมาณการละลายก้าวที่ไม่แตกต่างกับระยะเวลาการเก็บเกี่ยวสาบเสือ 90 วัน แต่มีปริมาณการละลายก้าวที่สูงกว่าเมื่อเปรียบ

เทียบกับระยะเวลาการเก็บเกี่ยวสาบเสื่อ 75 วัน อย่างมีนัยสำคัญทางสถิติที่ระดับความเชื่อมั่นร้อยละ 95 ดังภาพที่ 33(ข) และตารางผนวกที่ ก14

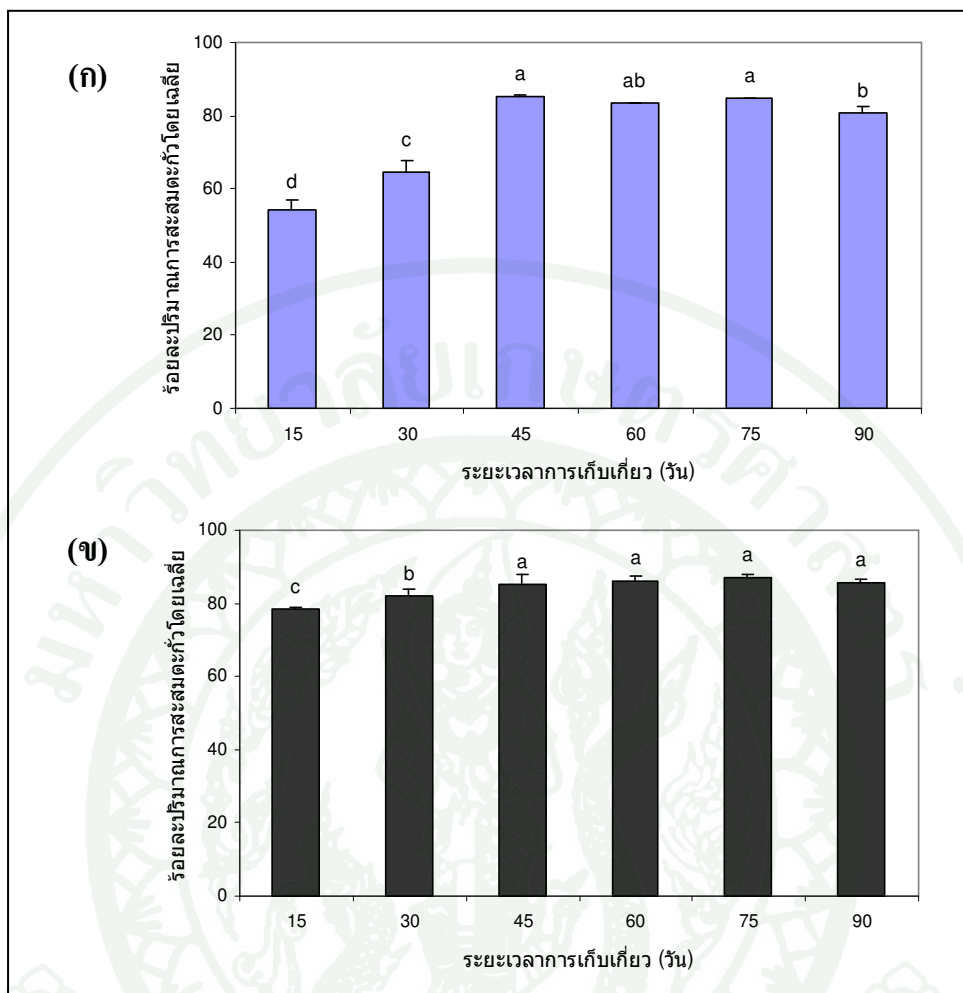


ภาพที่ 33 ร้อยละการสารสูงสุดที่ได้โดยเฉลี่ยในส่วน Klason lignin ของสาบเสื่อภายหลังจากการบำบัดดินที่ปืนเมืองตะกั่ว ด้วยวิธี steam explosion และ Wayman's method ณ สภาพที่ระดับความดัน 19 กิโลกรัมต่อตารางเซนติเมตร เป็นเวลา 5 นาที ในส่วนเหนือดิน (ก) และส่วนใต้ดิน (ข) ที่ระยะเวลาการเก็บเกี่ยวสาบเสื่อ 15, 30, 45, 60, 75 และ 90 วัน

(4) ปริมาณการละลายก้าวในส่วน cellulose ของสาบเสือที่พบภายหลังจากการบำบัดดินที่ป่นเป็นฝุ่น โดยกระบวนการ steam explosion และ Wayman's method ที่ระยะเวลาในการเก็บเกี่ยวสาบเสือ 15, 30, 45, 60, 75 และ 90 วัน

โดยในส่วนเหนือดินพบปริมาณการละลายก้าวโดยเฉลี่ยร้อยละ  $54.21 \pm 2.56$ ,  $64.64 \pm 3.15$ ,  $85.15 \pm 0.68$ ,  $83.34 \pm 0.07$ ,  $84.59 \pm 0.27$  และ  $80.81 \pm 1.50$  ตามลำดับ ซึ่งเมื่อทำการวิเคราะห์ค่าความแตกต่างทางสถิติถึงปริมาณการละลายก้าวในส่วน cellulose พบว่าที่ระยะเวลาการเก็บเกี่ยวสาบเสือ 45 วันพบปริมาณการละลายก้าวสูงสุดและมีสัดส่วนของปริมาณการละลายก้าวที่ไม่แตกต่างกับระยะเวลาการเก็บเกี่ยวสาบเสือ 75 และ 60 วัน ตามลำดับ แต่มีปริมาณการละลายก้าวที่สูงกว่าเมื่อเปรียบเทียบกับระยะเวลาการเก็บเกี่ยวสาบเสือ 90, 30 และ 15 วัน ตามลำดับ โดยพบว่าที่ระยะเวลาการเก็บเกี่ยวสาบเสือที่ 60 วันพบปริมาณการละลายก้าวที่ไม่แตกต่างกับระยะเวลาการเก็บเกี่ยวสาบเสือ 90 วัน แต่มีปริมาณการละลายก้าวที่สูงกว่าเมื่อเปรียบเทียบกับระยะเวลาการเก็บเกี่ยวสาบเสือ 30 และ 15 วันตามลำดับ และพบว่าที่ระยะเวลาการเก็บเกี่ยวสาบเสือ 90 วันพบปริมาณการละลายก้าวที่สูงกว่าเมื่อเปรียบเทียบกับระยะเวลาการเก็บเกี่ยวสาบเสือ 30 และ 15 วันตามลำดับ อีกทั้งพบว่าที่ระยะเวลาการเก็บเกี่ยวสาบเสือ 30 วันพบปริมาณการละลายก้าวที่สูงกว่าเมื่อเปรียบเทียบกับระยะเวลาการเก็บเกี่ยวสาบเสือ 15 วัน อย่างมีนัยสำคัญทางสถิติที่ระดับความเชื่อมั่นร้อยละ 95 ดังภาพที่ 34ก และตารางผนวกที่ ก15

ในส่วนใต้ดินพบปริมาณการละลายก้าวโดยเฉลี่ยร้อยละ  $78.26 \pm 0.76$ ,  $82.05 \pm 1.76$ ,  $85.38 \pm 2.30$ ,  $86.23 \pm 1.03$ ,  $87.18 \pm 0.75$  และ  $85.75 \pm 0.88$  ตามลำดับซึ่งเมื่อทำการวิเคราะห์ค่าความแตกต่างทางสถิติถึงปริมาณการละลายก้าวในส่วน cellulose พบว่าที่ระยะเวลาการเก็บเกี่ยวสาบเสือ 75 วันพบปริมาณการละลายก้าวสูงสุดและไม่แตกต่างเมื่อเปรียบเทียบกับระยะเวลาการเก็บเกี่ยวสาบเสือ 60, 90 และ 45 วันตามลำดับ แต่มีปริมาณการละลายก้าวที่สูงกว่าเมื่อเปรียบเทียบกับระยะเวลาการเก็บเกี่ยวสาบเสือ 30 และ 15 วันตามลำดับ โดยพบว่าที่ระยะเวลาการเก็บเกี่ยวสาบเสือ 30 วันพบปริมาณการละลายก้าวที่สูงกว่าเมื่อเปรียบเทียบกับระยะเวลาการเก็บเกี่ยวสาบเสือ 15 วัน อย่างมีนัยสำคัญทางสถิติที่ระดับความเชื่อมั่นร้อยละ 95 ดังภาพที่ 34x และตารางผนวกที่ ก15



ภาพที่ 34 ร้อยละการสะสมตัวในส่วน cellulose ของสาบเสือภายในหลังจากการบำบัดดินที่ปืนเปื้อนตะกั่ว ด้วยวิธี steam explosion และ Wayman's method ณ สถานที่ระดับความดัน 19 กิโลกรัมต่อตารางเซนติเมตร เป็นเวลา 5 นาที ในส่วนเหนือดิน (ก) และส่วนใต้ดิน (ข) ที่ระยะเวลาการเก็บเกี่ยวสาบเสือ 15, 30, 45, 60, 75 และ 90 วัน

จากผลการศึกษาถึงปริมาณการสะสมตะกั่วจากองค์ประกอบทางเคมีของสาบเสือภายหลังการนำบัดดินที่ป่นเปี้ยอน โดยการพิจารณาปริมาณการสะสมตะกั่วในองค์ประกอบทางเคมีของสาบเสือภายหลังจากการนำบัดดินที่ป่นเปี้ยอน โดยเฉลี่ยในองค์ประกอบทางเคมีของสาบเสือภายหลังจากการนำบัดดินที่ป่นเปี้ยอนจากการเก็บเกี่ยวสาบเสือ 15, 30, 45, 60, 75 และ 90 วัน และการพิจารณาสัดส่วนของปริมาณการสะสมตะกั่วโดยเฉลี่ยในองค์ประกอบทางเคมีภายในแต่ละชนิดของสาบเสือภายหลังจากการนำบัดดินที่ป่นเปี้ยอนจากผลการทดลองที่ 3.2.1 และ 3.2.2 ซึ่งกล่าวโดยสรุปพบว่า เมื่อพิจารณาถึงปริมาณการสะสมของตะกั่วในสาบเสือภายหลังจากการนำบัดดินที่ป่นเปี้ยอนตะกั่วโดยกระบวนการ steam explosion และ Wayman's method พบริมาณการสะสมตะกั่วมากที่สุดในส่วน cellulose > Klason lignin > water-soluble material > methanol-soluble lignin ตามลำดับทั้งในส่วนเหนือดินและส่วนใต้ดินอย่างมีนัยสำคัญทางสถิติ ซึ่งพบปริมาณ total Pb โดยเฉลี่ยร้อยละ 75.5, 17.2, 5.0 และ 2.3 ตามลำดับในส่วนเหนือดิน และร้อยละ 84.1, 11.0, 3.3 และ 1.6 ตามลำดับในส่วนใต้ดิน

โดยสาเหตุที่พบริมาณการสะสมตะกั่วที่สูงในส่วน cellulose ของสาบเสือ สอดคล้องกับผลการศึกษาของ Islam *et al.* (2007); Ho *et al.* (2008) ที่ศึกษาปริมาณการคุณใช้และสะสมตะกั่วในพืชบางชนิด ได้แก่ ต้น Kujo (*Elsholtzia argyi*) และ ป้อแก้ว (*Hibiscus cannabinus*) พบริมาณและ การแพร่กระจายของตะกั่วในปริมาณสูงบริเวณ parenchyma ของผนังเซลล์ในส่วนใต้ดินภายหลังการนำบัดดินที่ป่นเปี้ยอนตะกั่ว โดยใช้เทคนิค transmission electron microscopy (TEM) และเทคนิค x-ray ในการตรวจสอบปริมาณการแพร่กระจายของตะกั่ว และจากการตรวจเอกสารของ นกุล (2548) ที่อธิบายลักษณะขององค์ประกอบที่สำคัญในผนังเซลล์ของพืชโดย cellulose เป็นโพลิเมอร์ที่พบได้โดยทั่วไปในพืชเนื่องจากเป็นองค์ประกอบหลักของผนังเซลล์ในพืชทุกชนิด ซึ่งจากการทดลองพบสัดส่วนของปริมาณการสะสมตะกั่วในส่วน cellulose และ Klason lignin เป็นหลักนั้น สอดคล้องกับผลการศึกษาของ Morrison *et al.* (1981); Nishizono *et al.* (1987) ที่ได้อธิบายถึงพฤติกรรมของโลหะหนักของพืชโดยส่วนใหญ่จะเกิดการสะสมและเข้มติดอยู่ในองค์ประกอบหลักทางเคมีของผนังเซลล์โดยเฉพาะในส่วน cellulose และ lignin และจากสัดส่วนของปริมาณการสะสมตะกั่วใน cellulose ที่มีแนวโน้มเพิ่มสูงขึ้นอย่างมีนัยสำคัญทางสถิติ ตามระยะเวลาในการเก็บเกี่ยวเพิ่มขึ้นและจากสัดส่วนของปริมาณการสะสมตะกั่วที่มีแนวโน้มลดลงอย่างมีนัยสำคัญทางสถิติในส่วน Klason lignin, water-soluble material และ methanol-soluble lignin ตามลำดับนั้น แสดงให้เห็นถึงกลไกในการเคลื่อนย้ายและสะสมตะกั่วในสาบเสือภายหลังจากการนำบัดดินที่ป่นเปี้ยอนตะกั่ว ซึ่งเกิดจากกระบวนการเคลื่อนย้ายตะกั่วในส่วน hemicellulose (water-soluble material) และ lignin (Klason lignin และ methanol-soluble lignin)

เข้าสู่ผนังเซลล์ที่มี cellulose เป็นองค์ประกอบหลักเพื่อลดความเป็นพิษของตะกั่วเมื่อเข้าสู่พืช สอดคล้องกับผลการศึกษาของ ยงยุทธ (2543); Brown and Slingsby (1972); Wierzbicka (1995); Raskin *et al.* (1997); Garbisu and Alkorta (2001); Rascio and Navari-Izzo (2011) ที่อธิบายถึง กลไกในกระบวนการลดความเป็นพิษของตะกั่วเมื่อเกิดการเคลื่อนข่ายตะกั่วจากดินเข้าสู่พืชโดย ตะกั่วจะเกิดกระบวนการตัดก่อนกับสารประกอบที่มีประจุลบบางชนิด ได้แก่ ซัลเฟต ( $\text{SO}_4^{2-}$ ) ฟอสเฟต ( $\text{PO}_4^{3-}$ ) หรือ คาร์บอเนต ( $\text{CO}_3^{2-}$ ) และเกิดการสะสมบริเวณผนังเซลล์ของพืช นอกจากนี้ อาจเกิดกระบวนการการทำลายพิษหรือลดความเป็นพิษ โดยอาศัยโปรตีนจำเพาะบางชนิด ได้แก่ phytochelatins หรือ metallothioneins ที่พบการสะสมเป็นจำนวนมากใน vacuole ภายในเซลล์ภาย หลังจากการดูดใช้และสะสมตะกั่วของพืช โดยสันนิษฐานจากรูปแบบของเลขออกซิเดชัน (oxidation number) โดยส่วนใหญ่ที่มีความคล้ายคลึงกันของตะกั่วกับโลหะหนักบางชนิด อาทิ สังกะสี ( $\text{Zn}^{2+}$ ) นิเกิล ( $\text{Ni}^{2+}$ ) และแคนเดเมียม ( $\text{Cd}^{2+}$ ) อย่างไรก็ตามในปัจจุบันยังไม่พบรายงานการวิจัยที่แน่ชัดใน การศึกษากลไกของการเคลื่อนข่ายตะกั่วจากดินสู่พืช รวมทั้งกลไกการลดความเป็นพิษและการ ทำลายพิษของตะกั่วในสาบเสือซึ่งจะต้องมีการศึกษาถึงกลไกดังกล่าวที่แน่ชัดต่อไปในอนาคต

จากการศึกษาที่พนส克ส่วนของปริมาณการสะสมตะกั่วที่สูงในส่วน cellulose และ Klason lignin และพบสัดส่วนของปริมาณการสะสมตะกั่วที่ต่ำในส่วน water-soluble material และ methanol-soluble lignin ตามลำดับ จึงสามารถนำผลการศึกษาที่ได้ไปประยุกต์ใช้ในการ จัดการขยะของสาบเสือภายหลังจากการบำบัด อาทิ เช่น การผลิตพลังงานเชื้อเพลิง (ethanol หรือ methane) จากในส่วน water-soluble material (Kobayashi *et al.*, 2005a, 2005b) การผลิต epoxy resin โดยใช้กระบวนการ resinification จากในส่วน methanol-soluble lignin การผลิต activated carbon โดย ใช้กระบวนการ carbonization จากในส่วน Klason lignin (Asada *et al.*, 2005) หรือแม้แต่การนำ ตะกั่วที่พนปริมาณการสะสมตะกั่วที่สูงในส่วน cellulose และ Klason lignin เพื่อนำกลับมาใช้ใหม่ ซึ่งอาจใช้วิธีการตัดต่อของตะกั่วที่พนในส่วน cellulose และการเผาที่อุณหภูมิสูงเพื่อสกัดตะกั่วในส่วน Klason lignin (Kobayashi *et al.*, 2005b) แต่อย่างไรก็ตามจากผลการทดลองที่พนปริมาณการสะสม ตะกั่วที่สูงในส่วน cellulose เป็นหลัก ซึ่งมีความแตกต่างจากผลการศึกษาของปริมาณการสะสม ตะกั่วในเฟร้นญี่ปุ่น (*Athyrium yokoscense*) ที่พนสัดส่วนของปริมาณการสะสมตะกั่วที่สูงในส่วน Klason lignin เป็นหลัก ซึ่งไม่สอดคล้องกับหลักการพิจารณาถึงสภาพความดันและเวลาที่ เหมาะสมจากในผลการทดลองที่ 3.1.1-3.1.3 ที่อ้างอิงหลักการพิจารณาในส่วน Klason lignin ที่ เกิดขึ้นภายหลังจากการ steam explosion และ Wayman's method เป็นหลัก โดยใช้สภาพ

ที่ระดับความดัน 19 กิโลกรัมต่อตารางเซนติเมตร เป็นเวลา 5 นาที ที่ส่งผลให้ปริมาณ Klason lignin สูงที่สุด ซึ่งปัจจัยที่ส่งผลต่อสัดส่วนของปริมาณการสะสมตะกั่วที่แตกต่างกันระหว่างสาบเสือและเพรนญี่ปุ่นนั้น เกิดจากลักษณะทางสรีรวิทยาของพืชที่เกี่ยวข้องกับกลไกในการลดความเป็นพิษ และการทำลายพิษของตะกั่วที่มีความแตกต่างกันของพืชทั้ง 2 ชนิด ดังนั้นจึงควรมีการศึกษาวิจัยที่เกี่ยวข้องกับการพิจารณาสภาพของความดันและเวลาในกระบวนการ steam explosion ของสาบเสือ ภายหลังจากการนำบัดดินที่ป่นเปี้ยนตะกั่วเพิ่มเติม โดยมุ่งเน้นพิจารณาในส่วนของ cellulose ที่เกิดขึ้นจากสภาพของระดับความดันและเวลาที่ใช้ในกระบวนการ steam explosion เป็นหลัก ซึ่งเมื่อพิจารณาจากผลการทดลอง พบว่าสามารถเลือกปรับใช้สภาพที่ระดับความดันที่ 15 กิโลกรัมต่อตารางเซนติเมตร เป็นเวลา 1 นาที จึงเป็นข้อได้เปรียบในการปรับสภาพความดันและระยะเวลาที่ใช้ในการศึกษาปริมาณตะกั่วในองค์ประกอบทางเคมีของสาบเสือด้วยวิธีการดังกล่าว สามารถลดการใช้สภาวะความดันที่สูงและเวลาที่นานเกินความจำเป็น ซึ่งจะมีผลต่อความคุ้มค่าในการลงทุนเพื่อนำตะกั่วในดินที่ป่นเปี้ยนนำกลับมาใช้ใหม่โดยการใช้พืชนำบัดในเทคนิค phytoremediation ต่อไปในอนาคต

## สรุปและข้อเสนอแนะ

### สรุป

1. จากการสำรวจพื้นที่เหมืองแร่ตะกั่วซึ่งตั้งอยู่ในเขตหมู่ที่ 5 ตำบลชะแอล อำเภอทองผาภูมิ จังหวัดกาญจนบุรี พบริมาณการปนเปื้อนของตะกั่วในปริมาณสูงทั้งในด้าวอย่างคิด ตะกอนคิด น้ำ และพืช ที่มีการแพร่กระจายในพื้นที่ จากผลการวิเคราะห์ปริมาณความเข้มข้นของตะกั่วที่ได้จากการสุ่มเก็บด้าวอย่าง พบริมาณการปนเปื้อนของตะกั่วโดยเฉลี่ยในคิด > ตะกอนคิด > พืช > น้ำตามลำดับ และผลการสำรวจพืชที่มีการแพร่กระจายในพื้นที่ พบรการแพร่กระจายของสาบเสือ (*Chromolaena odorata*) และอ้อ (*Arundo donax*) เป็นส่วนใหญ่ โดยเฉพาะเมื่อทำการวิเคราะห์สมบัติของพืชถึงศักยภาพในการนำบัดคิด พบรสาบเสือมีสมบัติเข้ากันที่มีศักยภาพในการนำบัดคิดที่ปนเปื้อนตะกั่วในระดับสูง

2. จากการศึกษาศักยภาพของสาบเสือในการนำบัดคิดที่ปนเปื้อนตะกั่วภายใต้สภาพควบคุมในโรงเรือนทดลอง พบรระยะเวลาในการนำบัดที่ 45 วัน เป็นระยะเวลาที่เหมาะสมโดยสามารถนำบัดคิดที่มีปริมาณความเข้มข้นของตะกั่วทั้งหมด (total Pb) ก่อนการนำบัดเท่ากับ 75,529.38 มิลลิกรัมต่อกิโลกรัม ให้ลดลงจนมีปริมาณความเข้มข้นของ total Pb ในคิดภายหลังการนำบัดเท่ากับ 68,446.46 มิลลิกรัมต่อกิโลกรัม คิดเป็นประสิทธิภาพในการนำบัดร้อยละ 9.38 ต่อหนึ่งรอบของการนำบัด (crop)

3. จากการศึกษาปริมาณตะกั่วจากองค์ประกอบทางเคมีของสาบเสือด้วยวิธี steam explosion และ Wayman's method ภายหลังการใช้สาบเสือในการนำบัดคิดที่ปนเปื้อนตะกั่วภายใต้สภาพควบคุมในโรงเรือนทดลอง พบร่วมที่ระดับความคิด 19 กิโลกรัมต่อตารางเซนติเมตรที่เวลา 5 นาที เป็นสภาวะที่สามารถใช้ในการศึกษาองค์ประกอบทางเคมีของสาบเสือ โดยพบปริมาณ water-soluble material, methanol-soluble lignin, Klason lignin และ cellulose คิดเป็นร้อยละ 31.13, 10.19, 36.60 และ 22.08 ตามลำดับในส่วนเหนือคิด และร้อยละ 20.0, 15.05, 44.12 และ 20.83 ตามลำดับในส่วนใต้คิด และจากการศึกษาปริมาณการสะสมของตะกั่ว พบริมาณตะกั่วในส่วน cellulose > Klason lignin > water-soluble material > methanol-soluble lignin ตามลำดับ ทั้งในส่วนเหนือคิดและส่วนใต้คิดอย่างมีนัยสำคัญทางสถิติ ( $p \leq 0.05$ ) โดยมีปริมาณตะกั่วทั้งหมดคิดเป็นร้อยละ 75.5, 17.2, 5.0 และ 2.3 ตามลำดับในส่วนเหนือคิด และร้อยละ 84.1, 11.0, 3.3 และ 1.6 ตามลำดับในส่วนใต้คิด

### ข้อเสนอแนะ

1. การพิจารณาสมบัติของพืชแต่ละชนิด ที่มีศักยภาพในการบำบัดคืนที่ปนเปื้อนตะกั่วในระดับสูง (lead hyperaccumulator) ที่ได้จากการสำรวจ ความมีการวิเคราะห์ปริมาณการดูดใช้และสะสมตะกั่วของพืชแต่ละชนิดทั้งในส่วนเหนือคินและส่วนใต้คิน ในหน่วยของมิลลิกรัมต่อตันในน้ำหนักแห้ง ( $\text{mg plant}^{-1} \text{ DW}$ ) และวิธีทำการพิจารณาปริมาณการสะสมตะกั่วในเนื้อเยื่อของพืชแต่ละชนิด ในหน่วยของร้อยละ โดยน้ำหนัก (w/w) เนื่องจากปริมาณการดูดใช้และสะสมของตะกั่วในพืชที่มีศักยภาพในการบำบัดคืนปนเปื้อนตะกั่ว โดยส่วนใหญ่จะเพิ่มขึ้นตามการเจริญเติบโตของพืช เมื่อทำการพิจารณาถึงปริมาณการดูดใช้และสะสมตะกั่วในหน่วยมิลลิกรัมต่อ กิโลกรัมในน้ำหนักแห้ง ( $\text{mg kg}^{-1} \text{ DW; ppm}$ ) เพียงอย่างเดียว อาจส่งผลให้เกิดความผิดพลาดในการพิจารณาสมบัติของพืชที่มีศักยภาพในการบำบัดคืนที่ปนเปื้อนตะกั่วในระดับสูงดังกล่าวไว้ในข้างต้น

2. การศึกษาลึ่งศักยภาพของสาบเลือในการบำบัดคืนที่ปนเปื้อนตะกั่วภายในสภาพควบคุมในโรงเรือนทดลอง ความมีการทดลองเพิ่มเติมในคืนที่ปนเปื้อนตะกั่ว ซึ่งมีปริมาณความเข้มข้นของตะกั่วที่แตกต่างกัน ทั้งในส่วนของปริมาณตะกั่วที่สกัดได้ (available lead) และปริมาณตะกั่วทั้งหมด (total lead) เพื่อศึกษาลึ่งช่วงความสามารถในการทนต่อความเป็นพิษของตะกั่ว ที่อาจส่งผลต่อศักยภาพในการบำบัดคืนที่ปนเปื้อนตะกั่ว โดยใช้สาบเลือ (*Chromolaena odorata*) เป็นพืชบำบัด

3. การพิจารณาสภาวะความดันและเวลาที่เหมาะสมในการศึกษาปริมาณตะกั่วจากองค์ประกอบทางเคมีของสาบเลือ ภายหลังการบำบัดคืนที่ปนเปื้อนตะกั่วด้วยวิธี steam explosion และ Wayman's method ความมีการทดลองเพิ่มเติม โดยทำการทดลอง ณ สภาวะที่ระดับความดัน 15 กิโลกรัมต่อตารางเซนติเมตร เป็นเวลา 1 นาที เพื่อลดการใช้สภาวะที่เกินความจำเป็นในการทดลอง ซึ่งจะช่วยประหยัดพลังงานและเกิดความคุ้มค่าในการนำตะกั่วที่ปนเปื้อนในคืนกลับมาใช้ใหม่โดยใช้พืชบำบัดด้วยเทคนิค phytoremediation ต่อไปในอนาคต

## เอกสารและสิ่งอ้างอิง

กรมควบคุมมลพิษ. 2554ก. มาตรฐานคุณภาพดิน: มาตรฐานคุณภาพดินที่ใช้ประโยชน์.  
แหล่งที่มา: [http://www.pcd.go.th/info\\_serv/reg\\_std\\_soil01.html](http://www.pcd.go.th/info_serv/reg_std_soil01.html), 5 มีนาคม 2554.

กรมควบคุมมลพิษ. 2554ข. มาตรฐานคุณภาพน้ำ: มาตรฐานคุณภาพน้ำผิวดิน.  
แหล่งที่มา: [http://www.pcd.go.th/info\\_serv/reg\\_std\\_water05.html](http://www.pcd.go.th/info_serv/reg_std_water05.html), 4 มีนาคม 2554.

กรมควบคุมมลพิษ. 2554ค. มาตรฐานคุณภาพน้ำ: มาตรฐานคุณภาพน้ำทึบ.  
แหล่งที่มา: [http://www.pcd.go.th/info\\_serv/reg\\_std\\_water04.html](http://www.pcd.go.th/info_serv/reg_std_water04.html), 4 มีนาคม 2554.

กรมควบคุมมลพิษ. 2547. เอกสารเผยแพร่ทางวิชาการของสารเคมีเฉพาะเรื่อง: ตะกั่ว.  
พิมพ์ครั้งที่ 1. โรงพิมพ์แห่งจุฬาลงกรณ์มหาวิทยาลัย, กรุงเทพฯ.

กรมพัฒนาที่ดิน. 2554. หลักการจัดทำรายงานเรื่อง การจัดการทรัพยากรดินเพื่อการปลูกพืช  
เศรษฐกิจหลักตามกลุ่มชุดดิน. แหล่งที่มา: <http://www.ldd.go.th/thai-html/WorkManegment-Soil/book1.pdf>, 16 มีนาคม 2554.

กรมส่งเสริมการเกษตร. 2552. สารสกัดจากพืช...ควบคุมศัตรูพืช. แหล่งที่มา:  
<http://actech.agritech.doae.go.th/folder/sptf5004.pdf>, 4 กุมภาพันธ์ 2552.

กรมอุทยานแห่งชาติสัตหีป่าและพันธุ์พืช. 2554. พื้นที่อุทยานแห่งชาติลำคลองญู.  
แหล่งที่มา: [http://park.dnp.go.th/visitor/nationparkshow.php?PTA\\_CODE=9127](http://park.dnp.go.th/visitor/nationparkshow.php?PTA_CODE=9127),  
25 กุมภาพันธ์ 2554.

คณาจารย์ภาควิชาปฐพิทยา คณะเกษตร มหาวิทยาลัยเกษตรศาสตร์. 2541. ปฐพิทยาเบื้องต้น.  
พิมพ์ครั้งที่ 8. สำนักพิมพ์มหาวิทยาลัยเกษตรศาสตร์, กรุงเทพฯ.

จรพร โชติสมิทธิกุล. 2550. การสะสูนตะกั่วและแอดเมียในน้ำเสียชุมชนโดยพุทธรักษา และธรรมรักษาที่ปักกุดด้วยดินนาในสภาพน้ำขังสับแห้ง. วิทยานิพนธ์ปริญญาโท, มหาวิทยาลัยเกษตรศาสตร์.

ตีรอนรรถ ศรีสุนนท์. 2549. การปนเปื้อนปรอท ตะกั่ว และแอดเมีย จากการใช้ประโยชน์ที่ดินประเภทป่าไม้ และเกษตรกรรมในลุ่มน้ำบางปะกง. วิทยานิพนธ์ปริญญาโท, มหาวิทยาลัยเกษตรศาสตร์.

ถนนหัวณู พิพวงษ์. 2548. ผลของการใช้น้ำเสียชุมชนต่อปริมาณแอดเมีย และตะกั่วในหลักอาหารสัตว์ 3 ชนิด. วิทยานิพนธ์ปริญญาโท, มหาวิทยาลัยเกษตรศาสตร์.

ทัศนีย์ อัตตะนันท์ และ จงรักษ์ จันทร์เจริญสุข. 2542. แบบฝึกหัดและคู่มือปฏิบัติการการวิเคราะห์ดินและพืช. พิมพ์ครั้งที่ 7. ภาควิชาปฐพิวิทยา คณะเกษตร มหาวิทยาลัยเกษตรศาสตร์, กรุงเทพฯ.

ทัศนีย์ อัตตะนันท์ และ จงรักษ์ จันทร์เจริญสุข. 2551. แบบฝึกหัดและคู่มือปฏิบัติการการวิเคราะห์ดินและพืช. พิมพ์ครั้งที่ 8. ภาควิชาปฐพิวิทยา คณะเกษตร มหาวิทยาลัยเกษตรศาสตร์, กรุงเทพฯ.

นฤมล ศรีวิทูรย์. 2548. การผลิตฟองน้ำสำนายน้ำด้วยธรรมชาติจากชานอ้อยเพื่อเป็นวัสดุคุณภาพชีมนำมันปนเปื้อนในทะเล. วิทยานิพนธ์ปริญญาโท, มหาวิทยาลัยเกษตรศาสตร์.

นวรัตน์ ไชยา. 2530. ความเข้มข้นของแมลงนานีส แอดเมีย และตะกั่ว ในน้ำ และดินตะกอนจากชั้นคุณภาพลุ่มน้ำต่างๆ บริเวณลุ่มน้ำชี. วิทยานิพนธ์ปริญญาโท, มหาวิทยาลัยเกษตรศาสตร์.

บัญชาการ วินัยพานิช. 2548. การบำบัดดินที่ปนเปื้อนทองแดงโดยใช้ผักกาดเขียวปีลี ต้อยติง และไไมยราบ. วิทยานิพนธ์ปริญญาโท, จุฬาลงกรณ์มหาวิทยาลัย.

บริษัทเทสโก้. 2529. รายงานการประเมินผลกระทบสิ่งแวดล้อม โครงการเหมืองอุโมงค์ แร่ตะกั่ว ตำบลจะแล อําเภอทองผาภูมิ จังหวัดกาญจนบุรี. บริษัทเทสโก้ จำกัด, กรุงเทพฯ.  
(อัดสำเนา)

เบญจลักษณ์ พลายโอด. 2546. การสกัดตามลำดับส่วนของแคร์เมียม และตะกั่ว จากดินตะกอน ชายฝั่งอ่าวเพ จังหวัดระยอง. วิทยานิพนธ์ปริญญาโท, มหาวิทยาลัยเกษตรศาสตร์.

ปราโมทย์ ศรีสุวรรณ และ รินทร์วนิช สมบัติศิริ. 2552. ตะกั่วและพิษของตะกั่ว. แหล่งที่มา:

[http://www.diw.go.th/diw\\_web/html/versionthai/news/%E0%B8%95%E0%B8%B0%E0%B8%81%E0%B8%B1%E0%B9%88%E0%B8%A7%E0%B9%81%E0%B8%A5%E0%B8%B0%E0%B8%9E%E0%B8%B4%E0%B8%A9%E0%B8%82%E0%B8%AD%E0%B8%87%E0%B8%95%E0%B8%B0%E0%B8%81%E0%B8%B1%E0%B9%88%E0%B8%A7.pdf](http://www.diw.go.th/diw_web/html/versionthai/news/%E0%B8%95%E0%B8%B0%E0%B8%81%E0%B8%B1%E0%B9%88%E0%B8%A7%E0%B9%81%E0%B8%A5%E0%B8%B0%E0%B8%9E%E0%B8%B4%E0%B8%A9%E0%B8%82%E0%B8%AD%E0%B8%87%E0%B8%95%E0%B8%B0%E0%B8%81%E0%B8%B1%E0%B9%88%E0%B8%A7.pdf), 5 กันยายน 2552.

พันธุ์ส ลัมพันธ์พานิช. 2550. กลไกการกำจัดโครเมียมจากชากาลนที่ในดินด้วยต้นถั่วป่า. สถาบันวิจัยสภาวะแวดล้อม, จุฬาลงกรณ์มหาวิทยาลัย.

พันธุ์ส ลัมพันธ์พานิช. 2552. **Phytoremediation.** แหล่งที่มา:

<http://www.eric.chula.ac.th/eric/course/Kmutnb/Phytoremediation.pdf>, 5 มีนาคม 2552.

พิชญา ภูมิภัทร. 2549. การศึกษากระบวนการผลิตไฮโดรไลส์จากกระบวนการเบิดต้นปาล์มน้ำมันด้วย ไอน้ำสำหรับการหมักใช้ลิทอล. วิทยานิพนธ์ปริญญาโท, มหาวิทยาลัยเกษตรศาสตร์.

ไมตรี สุทธิจิตต์. 2531. สารพิษรอบตัวเรา. พิมพ์ครั้งที่ 1. โรงพิมพ์ดาวคอมพิวกราฟฟิค,  
เชียงใหม่.

ยงยุทธ โอสถสกุล. 2543. ชาต้อาหารพืช. พิมพ์ครั้งที่ 1. สำนักพิมพ์มหาวิทยาลัยเกษตรศาสตร์,  
กรุงเทพฯ.

ศุภมาศ พนิชศักดิ์พัฒนา. 2540. ภาวะมลพิษทางดินจากการใช้สารเคมี. พิมพ์ครั้งที่ 2.  
สำนักพิมพ์มหาวิทยาลัยเกษตรศาสตร์, กรุงเทพฯ.

สถาบันวิจัยและพัฒนาพลังงานนรพิงค์ มหาวิทยาลัยเชียงใหม่. 2554. แผนที่จังหวัดกาญจนบุรี.  
แหล่งที่มา: <http://www.thaienergydata.in.th/province/71/>, 25 กุมภาพันธ์ 2554.

สถาบันวิจัยและพัฒนาพื้นที่สูง. 2554. องค์ความรู้เพื่อการพัฒนาพื้นที่สูงอย่างยั่งยืน:  
หญ้าเมืองราย (*Chromolaena odorata*). แหล่งที่มา:

[http://mis.hrdi.or.th/inforcenter/xml\\_km/shdet.aspx?mnuid=362](http://mis.hrdi.or.th/inforcenter/xml_km/shdet.aspx?mnuid=362), 14 กุมภาพันธ์ 2554.

สารานุกรมไทยสำหรับเยาวชน. 2552. อาชีวอนามัย. แหล่งที่มา:  
<http://kanchanapisek.or.th/kp6/BOOK22/chapter6/t22-6-11.htm#sect1>, 12 กันยายน 2552.

อรอิงค์ เวชสิติพัชร์. 2551. การศึกษาคุณภาพน้ำและปริมาณโลหะหนักในน้ำ ดินตะกอน  
และพรรณไม้น้ำทางชั้นติด บริเวณแม่น้ำท่าจีน. วิทยานิพนธ์ปริญญาโท,  
มหาวิทยาลัยเกษตรศาสตร์.

เอิน เกียร์นร์ม. 2552. คู่มือปฏิบัติการ การสำรวจดิน. พิมพ์ครั้งที่ 6.  
สำนักพิมพ์มหาวิทยาลัยเกษตรศาสตร์, กรุงเทพฯ.

APHA, AWWA and WEF. 2005. **Standard Methods for the Examination of Water and Wastewater.** 21<sup>st</sup> ed. American Public Health Association, Washington D.C.

Asada, C., Y. Nakamura and F. Kobayashi. 2005. Waste reduction system for production of useful materials from un-utilized bamboo using steam explosion followed by various conversion methods. **Biochem. Eng. J.** 23: 131-157.

Baker, A.J.M. and R.R. Brooks. 1989. Terrestrial higher plants which hyperaccumulate metallic elements-a review of their distribution, ecology and phytochemistry. **Biorecovery** 1: 81-126.

- Baker, A.J.M., S.P. McGrath, C.M.D. Sidoli and R.D. Reeves. 1994. The possibility of in situ heavy metals decontamination of polluted soils using crops of metal-accumulating plants. **Resour. Conserv. Recy.** 11: 41-49.
- Baker, A.J.M., S.P. McGrath, R.D. Reeves and J.A.C. Smith. 2000. Metal hyperaccumulator plants: a review of the ecology and physiology of a biological resource for phytoremediation of metal-polluted soils, pp. 85-107. In N. Terry and G. Baelos, eds. **Phytoremediation of Contaminated Soil and Water.** Lewis Publishers, Inc., Florida.
- Boonlert, S. 2008. **Phytoremediation of Cadmium and Zinc Contaminated Soil by Chromolaena Odorata.** M.S. Thesis, Mahidol University.
- Branquinho, C., H.C. Serrano, M.J. Pinto and M.A. Martins-Loução. 2007. Revisiting the plant hyperaccumulation criteria to rare plants and earth abundant elements. **Environ. Pollut.** 146: 437-443.
- Bray, R.H. and N. Kurtz. 1945. Determination of total, organic and available forms of phosphorus in soils. **Soil Sci.** 59: 39-45.
- Brown, D.H. and D.R. Slingsby. 1972. The cellular location of lead and potassium in the lichen *Cladonia rangiformis* (L.) HOFFM. **New. Phytol.** 71: 297-305.
- Chapman, H.D. 1965. Cation exchange capacity, pp. 891-901. In C.A. Black, ed. **Method of Soil Analysis Part II: Chemical and Microbiological Properties.** Am. Soc. Agron., Inc., Wisconsin.
- Chowdhury, A.R., N.J. Chinoy and A.K. Gautam. 1986. Effect of lead on human semen. **Adv. Contracept. Delivery Syst.** 2: 208-211.

- Chua, M.G.S. and M. Wayman. 1979. Characterization of autohydrolysis aspen (*P. tremuloides*) lignins Part I: Composition and molecular weight distribution of extracted autohydrolysis lignin. **Can. J. Chem.** 57: 1141-1149.
- Clemens S, M.G. Palmgren and U. Kramer. 2002. A long way ahead: understanding and engineering plant metal accumulation. **Trends Plant Sci.** 7: 309-315.
- Cunningham, S.D., T.A. Anderson, A.P. Schwab and F.C. Hsu. 1996. Phytoremediation of soils contaminated with organic pollutants. **Adv. Agron.** 56: 55-114.
- Davies, B.E. 1980. **Trace Element Pollution.** John Wiley and Sons, Inc., New York.
- Day, D.R. 1965. Particle fractionation and particle size analysis, pp. 545-566. In C.A. Black, ed. **Method of Soil Analysis Part II: Chemical and Microbiology Properties.** Amer. Soc. Agron., Inc., Wisconsin.
- Deram, A., F.O. Denayer, D. Petit and C.V. Haluwyn. 2006. Seasonal variations of cadmium and zinc in *Arrhenatherum elatius*, a perennial grass species from highly contaminated soils. **Environ. Pollut.** 140: 62-70.
- Ensley, B.D. 2000. Rationale for use of phytoremediation, pp. 3-11. In I. Raskin and B.D. Ensley, eds. **Phytoremediation of Toxic Metals using Plants to Clean up the Environment.** John Wiley and Sons, Inc., New York.
- Farrah, H. and W.F. Pickering. 1977. The sorption of lead and cadmium species by clay minerals. **J. Aust. Chem.** 30: 1417-1425.
- Garbisu, C. and I. Alkorta. 2001. Phytoextraction: A cost-effective plant-based technology for the removal of metals from the environment. **Bioresource Technol.** 77: 229-236.

Gosselin, R.E., R.P. Smith and H.C. Hodge. 1984. **Clinical Toxicology of Commercial Products.** Williams and Wilkins, Inc., Maryland.

Hardman, J.G., L.E. Limbird, P.B. Molonoff, R.W. Ruddon and A.G. Goodman. 1996. A human in vivo model for the determination of lead bioavailability using stable isotope dilution. **Environ. Health Perspect.** 104: 176-179.

Ho, W.M., L.H. Ang and D.K. Lee. 2008. Assessment of Pb uptake, translocation and immobilization in kenaf (*Hibiscus cannabinus* L.) for phytoremediation of sand tailings. **J. Environ. Sci.** 20: 1341-1347.

IPCS. 1995. **Inorganic Lead.** World Health Organization, Geneva.

Islam, E., X. Yang, T. Li, D. Liu, X. Jin and F. Meng. 2007. Effect of Pb toxicity on root morphology, physiology and ultrastructure in the two ecotypes of *Elsholtzia argyi*. **J. Hazard. Mater.** 147: 806-816.

ITRC. 2001. **Phytotechnology Technical and Regulatory Guidance Document.**

Available Source: <http://www.itrcweb.org/Documents/PHYTO-2.pdf>, March 27, 2011.

Khan, S., Q. Cao, B.D. Chen and Y.G. Zhu. 2006. Humic acids increase the phytoavailability of Cd and Pb to wheat plants cultivated in freshly spiked contaminated soil. **J. Soils Sediments** 6: 236-242.

Kilmer, V.J. and L.T. Alexander. 1949. Method of making mechanical analysis of soils. **Soil Sci.** 68: 15-24.

Kim, S., H. Lim and I. Lee. 2010. Enhanced heavy metal phytoextraction by *Echinochloa crus-galli* using root exudates. **J. Biosci. Bioeng.** 109: 47-50.

Kitagishi, K. and I. Yamane. 1981. **Heavy Metal Pollution in Soils of Japan.** Japan Science Society, Tokyo.

Kobayashi, F., C. Asada and Y. Nakamura. 2005a. Phytoremediation of soil contaminated with heavy metals and recovery of valuable metals. **Kagau Kogaku Ronbun.** 31: 476-480.

Kobayashi, F., H. Take, C. Asada and Y. Nakamura. 2004. Methane production from steam-exploded bamboo. **J. Biosci. Bioeng.** 97: 426-428.

Kobayashi, F., T. Maki, Y. Nakamura and K. Ueda. 2005b. Determination of Cu, Pb, Fe and Zn in plant component polymers of a hyperaccumulating plant. **Anal. Sci.** 21: 1553-1556.

Krishnamurti, G.S.R., G. Cielinski, P.M. Huang, and K.C.J. Van Rees. 1997. Kinetics of cadmium release from soils as influenced by organic acids: implication in cadmium availability. **J. Environ. Qual.** 26: 271-277.

Lindsay, W.L. and W.A. Norvell. 1978. Development of a DTPA soil test for zinc, iron, manganese and copper. **Soil Sci. Soc. Am. J.** 42: 421-428.

Liogier, H.A. 1990. **Plantas medicinales de Puerto Rico y del Caribe.** Iberoamericana de Ediciones, Inc., San Juan.

Liu, D., E. Islam, T. Li, X. Yang, X. Jin and Q. Mahmood. 2008. Comparison of synthetic chelators and low molecular weight organic acids in enhancing phytoextraction of heavy metals by two ecotypes of *Sedum alfredii* Hance. **J. Hazard. Mater.** 153: 114-122.

Macek, T., M. Mackova and J. Kas. 2000. Exploitation of plants for the removal of organics in environmental remediation. **Biotechnol. Adv.** 18: 23-34.

Mattina, M.I., W. Lannucci-Berger, C. Musante and J.C. White. 2003. Concurrent plant uptake of heavy metals and persistent organic pollutants from soil. **Environ. Pollut.** 124: 375-378.

McCutcheon, S.C. and J.L. Schnoor. 2003. Overview of phytotransformation and control of wastes. pp. 3-58. In S.C. McCutcheon and J.L. Schnoor, eds. **Phytoremediation: Transformation and Control of Contaminants.** John Wiley and Sons, Inc., New Jersey.

McFadyen, R. and Bryce Skarratt. 1996. Potential distribution of *Chromolaena odorata* (siam weed) in Australia, Africa and Oceania. **Agric. Ecos. Environ.** 59: 89-96.

Medina, V. F., E. Maestri, M. Marmiroli, A. C. Dietz and S.C. McCutcheon. 2003. Plant tolerances to contaminants, pp. 189-232. In S.C. McCutcheon and J. L. Schnoor, eds. **Phytoremediation: Transformation and Control of Contaminants.** John Wiley and Sons, Inc., New Jersey.

Michael, C.A. 1982. Nickel, Cadmium and Lead, pp. 739-767. In A.L. Page, ed. **Method of Soil Analysis Part II: Chemical and Microbiology Properties.** Amer. Soc. Agron., Inc., Wisconsin.

Morrison, R.S., R.R. Brooks, R.D. Reeves, F. Malaisse, P. Horowitz, M. Aronson and G. R. Merriam. 1981. The diverse chemical forms of heavy metals in tissue extracts of some metallophytes from Shaba province, Zaïre. **Phytochemistry** 20: 455-458.

Nigam, R., S. Srivastava, S., Prakash and M.M. Srivastava. 2001. Cadmium mobilization and plant availability-the impact of organic acids commonly exuded from roots. **Plant Soil** 230: 107-113.

Nishizono H., H. Ichikawa, S. Suzuki and F. Ishii. 1987. The role of the root cell wall in the heavy metal tolerance of *Athyrium yokoscense*. **Plant Soil** 101: 15-20.

Pokaeo, K. 2008. **The Potential use of Eucalyptus (*Eucalyptus camaldulensis* Dehn.) for Phytoremediation of Lead.** M.S. Thesis, Mahidol University.

Pratt, P.E. 1965. Potassium, pp. 1022-1030. In C.A. Black, ed. **Method of Soil Analysis Part II: Chemical and Microbiology Properties.** Amer. Soc. Agron., Inc., Wisconsin.

Rascio, N. and F. Navari-Izzo. 2011. Heavy metal hyperaccumulating plants: How and why do they do it? And what makes them so interesting? **Plant Sci.** 180: 169-181.

Raskin, I., R.D. Smith and D.E. Salt. 1997. Phytoremediation of metals: using plants to remove pollutants from the environment. **Curr. Opin. Biotechnol.** 8: 221-226.

Rotkittikhun, P., M. Kruatrachue, R. Chaiyarat, C. Ngernsansaruay, P. Pokethitiyook, A. Paijitprapaporn and A.J.M. Baker. 2006. Uptake and accumulation of lead by plants from the Bo Ngam lead mine area in Thailand. **Environ. Pollut.** 144: 681-688.

Schnoor, J.L. 2000. Phytostabilization of metals using hybrid poplar trees, pp 133-150. In I. Raskin and B.D. Ensley, eds. **Phytoremediation of Toxic Metals using Plants to Clean up the Environment.** John Wiley and Sons, Inc., New York.

Shen, Z.G. and Y.L. Liu. 1998. Progress in the study on the plants that hyperaccumulate heavy metal. **Plant Physiol. Commun.** 34: 133-139.

Singh, S., V. Thorat, C.P. Kaushik, K. Raj, S. Eapen and S.F. D'Souza. 2009. Potential of *Chromolaena odorata* for phytoremediation of <sup>137</sup>Cs from solution and low level nuclear waste. **J. Hazard. Mater.** 162: 743-74.

Srivastava, M., L.Q. Ma and J.A.G. Santos. 2006. Three new arsenic hyperaccumulating ferns. **Sci. Total Environ.** 364: 24-31.

Tanahashi, M., K. Tamabuchi, T. Goto, T. Aoki, M. Karina and T. Higuchi. 1988. Characterization of steam-exploded wood II: Chemical changes of wood components by steam explosion. **Wood Res.** 75: 1-12.

Tanhan, P., M. Kruatrachue, P. Pokethitiyook and R. Chaiyarat. 2007. Uptake and accumulation of cadmium, lead and zinc by Siam weed [*Chromolaena odorata* (L.) King & Robinson]. **Chemosphere** 68: 323-329.

TAPPI. 1983. **Acid Insoluble Lignin in Wood and Pulp: Official Test Method T-222 om-8.** TAPPI Press, Georgia.

TAPPI. 1996. **The Technical Association of the Pulp and Paper Industry.** TAPPI Press, Georgia.

Tomsett, A.B. and D.A. Thurman. 1988. Molecular biology of metal tolerances of plants. **Plant Cell Environ.** 11: 383-394.

Triratana, T., R. Suwannuraks and W. Naengchomnong. 1991. Effect of *Eupatorium odoratum* on blood coagulation. **J. Med. Assoc. Thai.** 74: 283-287.

Uren, N. C. and H.M. Reisenaner. 1998. The role of root exudates in nutrient acquisition. pp. 79-114. In P. B. Tinker and A. Lanchli, eds. **Advances in Plant Nutrition.** Praeger, Inc., New York.

USDA. 2011. ***Chromolaena odorata* (seed).** Available Source: [http://plants.usda.gov/java/largeImage?imageID=euod\\_001\\_ahp.tif](http://plants.usda.gov/java/largeImage?imageID=euod_001_ahp.tif), March 14, 2011.

USEPA. 1993. **Remediation Technologies Screening Matrix and Reference Guide.**

Available Source: [http://www.frtr.gov/matrix2/appd\\_e/appd\\_e07.html](http://www.frtr.gov/matrix2/appd_e/appd_e07.html),

September 16, 2009.

USEPA. 2000. **Introduction to Phytoremediation.**

Available Source: <http://www.cluin.org/download/remed/introphyto.pdf>,

March 27, 2011.

Walkley, A. and I.A. Black. 1934. An examination of Degtjareff method for determining soil organic matter and a proposed modification of the chronic acid titration method.

**Soil Sci.** 37: 29-38.

Wei, S., Q. Zhou, U.K. Saha, H. Xiao, Y. Hu, L. Ren and G. Ping. 2009.

Identification of a Cd accumulator *Conyza canadensis*. **J. Hazard. Mater.** 163: 32-35.

Wierzbicka, M. 1995. How lead loses its toxicity to plants. **Acta Soc. Bot. Pol.** 64: 81-90.

Wilson, C. 2006. ***Chromolaena odorata* (herb).** Available Source:

[http://www.hear.org/pier/species/chromolaena\\_odorata.htm](http://www.hear.org/pier/species/chromolaena_odorata.htm), September 7, 2009.





ตารางผนวกที่ ก1 น้ำหนักแห้งของสาบเสื่อภายในบัดดินภายใต้สภาพควบคุม  
ในโรงเรือนทดลอง

ระยะเวลา การปลูก	น้ำหนักแห้งของสาบเสื่อ (g DW)			
	динที่ไม่ป่นเปื้อนตะกั่ว		динที่ป่นเปื้อนตะกั่ว	
	ส่วนเนื้อดิน	ส่วนได้ดิน	ส่วนเนื้อดิน	ส่วนได้ดิน
15	12.51±1.41d <sup>1</sup>	14.30±3.30b	14.9±1.48c	12.90±4.20a
30	16.79±3.25cd	15.23±1.19b	23.9±6.79b	17.10±3.63a
45	22.07±6.91c	14.27±3.10b	20.3±1.92bc	18.53±1.15a
60	34.10±2.31b	37.30±1.49a	24.4±0.3b	17.39±5.49a
75	34.35±0.74b	35.32±4.74a	24.0±1.13b	11.77±0.21a
90	52.13±9.34a	39.73±15.5a	36.18±6.41a	17.07±2.93a
CV (%)	13.93	18.80	12.57	18.58
F-test	*	*	*	ns

หมายเหตุ ns ไม่แตกต่างกันอย่างมีนัยสำคัญทางสถิติ

\* มีความแตกต่างกันอย่างมีนัยสำคัญทางสถิติ

<sup>1</sup> ค่าเฉลี่ยที่ตามด้วยตัวอักษรต่างกันในแต่ละกลุ่มนี้มีความแตกต่างกันที่ระดับความเชื่อมั่นร้อยละ 95 โดยวิธี Duncan's new multiple range test (DMRT)

ตารางผนวกที่ ก2 การคูดใช้และสะสมต่อกันของสาบเสือภัยหลังจากการบำบัดดินภัยใต้สภาพความคุณในโรงเรือนทดลอง

ระยะเวลา การปลูก	การคูดใช้และสะสมต่อกันของสาบเสือ ( $\text{mg plant}^{-1} \text{ DW}$ )			
	динที่ไม่ป่นเปื้อนตะกั่ว		динที่ป่นเปื้อนตะกั่ว	
	ส่วนเหนือดิน	ส่วนใต้ดิน	ส่วนเหนือดิน	ส่วนใต้ดิน
15	$0.13 \pm 0.0d^1$	$1.26 \pm 0.28b$	$6.07 \pm 0.65c$	$12.29 \pm 3.46b$
30	$0.39 \pm 0.08cd$	$1.09 \pm 0.15b$	$10.45 \pm 3.74bc$	$20.87 \pm 2.39a$
45	$0.71 \pm 0.39bc$	$0.97 \pm 0.05b$	$17.78 \pm 5.54a$	$21.72 \pm 4.43a$
60	$0.65 \pm 0.13bc$	$3.04 \pm 0.05a$	$16.49 \pm 0.48ab$	$20.65 \pm 2.63a$
75	$1.03 \pm 0.21b$	$2.99 \pm 0.32a$	$18.37 \pm 2.22a$	$22.68 \pm 2.63a$
90	$1.73 \pm 0.30a$	$3.41 \pm 1.14a$	$19.54 \pm 5.33a$	$21.21 \pm 0.82a$
CV (%)	24.09	15.68	20.23	13.70
F-test	*	*	*	*

หมายเหตุ \* มีความแตกต่างกันอย่างมีนัยสำคัญทางสถิติ

<sup>1</sup> ค่าเฉลี่ยที่ตามด้วยตัวอักษรต่างกันในแต่ละ colum นี้มีความแตกต่างกันที่ระดับความเชื่อมั่นร้อยละ 95 โดยวิธี Duncan's new multiple range test (DMRT)

ตารางผนวกที่ ก3 ความเข้มข้นของตะกั่วในดินภายหลังการบำบัดด้วยสาบเสือภายในตัวสภាពควบคุมในโรงเรือนทดลอง

ระยะเวลา การปลูก	ความเข้มข้นของตะกั่วในดิน ( $\text{mg kg}^{-1}$ )			
	ดินที่ไม่ป่นเปี้ยนตะกั่ว		ดินที่ป่นเปี้ยนตะกั่ว	
	ปริมาณตะกั่ว ที่สักดได้	ทั้งหมด	ปริมาณตะกั่ว ที่สักดได้	ทั้งหมด
15	1.29±0.02a <sup>1</sup>	28.40±5.49b	842.60±38.39b	73,570.31±4,844.88a
30	1.29±0.05a	30.19±5.26a	1,282.54±41.32a	73,351.67±2,276.03ab
45	1.44±0.10a	35.84±7.44a	1,317.42±44.18a	68,446.46±868.22abc
60	1.41±0.02a	31.72±2.67a	1,246.86±57.04a	68,633.85±3,016.75abc
75	1.43±0.07a	33.67±4.86a	1,303.77±22.27a	68,250.0±2,215.56bc
90	1.40±0.02a	32.59±0.51a	1,243.27±81.38a	66,530.63±584.89c
CV (%)	3.26	13.63	6.55	0.88
F-test	ns	*	*	*

หมายเหตุ ns ไม่แตกต่างกันอย่างมีนัยสำคัญทางสถิติ

\* มีความแตกต่างกันอย่างมีนัยสำคัญทางสถิติ

<sup>1</sup> ค่าเฉลี่ยที่ตามด้วยตัวอักษรต่างกันในแต่ละกลุ่มนี้มีความแตกต่างกันที่ระดับ

ความเชื่อมั่นร้อยละ 95 โดยวิธี Duncan's new multiple range test (DMRT)

ตารางผนวกที่ ก4 อิทธิพลของระดับความดันต่อปริมาณองค์ประกอบทางเคมีของสาบเสื่อ  
ด้วยวิธี steam explosion และ Wayman's method

ความดัน	องค์ประกอบเคมีของสาบเสื่อ ( $\text{g g}^{-1}$ DW)			
	Water-soluble material	Methanol-soluble lignin	Klason lignin	Cellulose
15 $\text{kg cm}^{-2}$	0.25±0.001b <sup>1</sup>	0.05±0.003d	0.31±0.008c	0.38±0.012a
17 $\text{kg cm}^{-2}$	0.29±0.001a	0.08±0.005c	0.36±0.011ab	0.27±0.016cd
19 $\text{kg cm}^{-2}$	0.29±0.001a	0.09±0.004b	0.37±0.01a	0.25±0.014d
21 $\text{kg cm}^{-2}$	0.24±0.003c	0.09±0.002b	0.35±0.003b	0.32±0.002b
23 $\text{kg cm}^{-2}$	0.25±0.002b	0.11±0.001a	0.36±0.004ab	0.28±0.006c
CV (%)	0.57	3.38	2.10	3.40
F-test	*	*	*	*

หมายเหตุ \* มีความแตกต่างกันอย่างมีนัยสำคัญทางสถิติ

<sup>1</sup> ค่าเฉลี่ยที่ตามด้วยตัวอักษรต่างกันในแต่ละคอลัมน์มีความแตกต่างกันที่ระดับ

ความเชื่อมั่นร้อยละ 95 โดยวิธี Duncan's new multiple range test (DMRT)

<sup>2</sup> จากการคำนวณ

ตารางผนวกที่ ก5 อิทธิพลของระยะเวลาต่อปริมาณองค์ประกอบทางเคมีของสาบเสื่อ  
ด้วยวิธี steam explosion และ Wayman's method

เวลา	องค์ประกอบเคมีของสาบเสื่อ ( $\text{g g}^{-1}$ DW)			
	Water-soluble material	Methanol-soluble lignin	Klason lignin	Cellulose <sup>2</sup>
1 min	0.25±0.002c <sup>1</sup>	0.05±0.002d	0.34±0.004b	0.36±0.001a
3 min	0.29±0.004b	0.09±0.004c	0.37±0.01a	0.25±0.014c
5 min	0.31±0.001a	0.10±0b	0.37±0.003a	0.22±0.002d
7 min	0.29±0.002b	0.12±0.001a	0.37±0.001a	0.22±0.001d
9 min	0.23±0.004d	0.13±0.001a	0.38±0.001a	0.27±0.001b
CV (%)	0.93	1.67	1.01	1.51
F-test	*	*	*	*

หมายเหตุ \* มีความแตกต่างกันอย่างมีนัยสำคัญทางสถิติ

<sup>1</sup> ค่าเฉลี่ยที่ตามด้วยตัวอักษรต่างกันในแต่ละคอลัมน์มีความแตกต่างกันที่ระดับ

ความเชื่อมั่นร้อยละ 95 โดยวิธี Duncan's new multiple range test (DMRT)

<sup>2</sup> จากการคำนวณ

ตารางผนวกที่ ก๖ ความเข้มข้นของตะกั่วที่พบในองค์ประกอบทางเคมีของสาบเสือภัยหลังจากการบำบัดดินที่ป่นเปื้อนและไม่ป่นเปื้อนตะกั่ว ด้วยวิธี steam explosion และ Wayman's method ที่ระยะเวลาการเก็บเกี่ยวสาบเสือ 15 วัน

ชนิดของ องค์ประกอบ ทางเคมี	ความเข้มข้นตะกั่ว ( $\text{mg kg}^{-1}$ )			
	ส่วนเหนือดิน		ส่วนใต้ดิน	
	динที่ไม่ป่นเปื้อน	динที่ป่นเปื้อน	динที่ไม่ป่นเปื้อน	динที่ป่นเปื้อน
Water-soluble material	15.38±1.87 <sup>a</sup>	47.94±6.12c	11.82±3.52b	41.39±8.27c
Methanol- soluble lignin	6.97±0.92b	22.34±7.77c	7.61±0.90c	24.70±7.92c
Klason lignin	9.03±0.74b	155.0±7b	6.38±0.28c	162.40±6.07b
Cellulose	17.52±5.88a	268.08±41.23a	55.07±0.86a	823.83±59.61a
CV (%)	19.23	12.75	6.87	7.78
F-test	*	*	*	*

หมายเหตุ \* มีความแตกต่างกันอย่างมีนัยสำคัญทางสถิติ

<sup>1</sup> ค่าเฉลี่ยที่ตามด้วยตัวอักษรต่างกันในแต่ละกลุ่มนี้มีความแตกต่างกันที่ระดับ

ความเชื่อมั่นร้อยละ 95 โดยวิธี Duncan's new multiple range test (DMRT)

ตารางผนวกที่ ก7 ความเข้มข้นของตะกั่วที่พบในองค์ประกอบทางเคมีของสาบเสือภัยหลังจากการนำบัดดินที่ป่นเป็นฝุ่นและไม่ป่นเป็นฝุ่นตะกั่ว ด้วยวิธี steam explosion และ Wayman's method ที่ระยะเวลาการเก็บเกี่ยวสาบเสือ 30 วัน

ชนิดของ องค์ประกอบ ทางเคมี	ความเข้มข้นตะกั่ว ( $\text{mg kg}^{-1}$ )			
	ส่วนเหนือดิน		ส่วนใต้ดิน	
	динที่ไม่ป่นเป็นฝุ่น	динที่ป่นเป็นฝุ่น	динที่ไม่ป่นเป็นฝุ่น	динที่ป่นเป็นฝุ่น
Water-soluble material	15.65±2.07b <sup>1</sup>	49.04±1.98c	13.79±2.45b	44.55±0.74b
Methanol- soluble lignin	9.65±1.59b	22.99±6.23c	9.21±3.70b	21.15±2.89b
Klason lignin	7.00±0.32b	171.45±17.96b	7.54±0.45b	149.92±13.18b
Cellulose	25.49±9.66a	448.58±63.30a	57.63±6.94a	996.42±164.91a
CV (%)	23.61	12.93	15.35	14.99
F-test	*	*	*	*

หมายเหตุ \* มีความแตกต่างกันอย่างมีนัยสำคัญทางสถิติ

<sup>1</sup> ค่าเฉลี่ยที่ตามด้วยตัวอักษรต่างกันในแต่ละกลุ่มนี้มีความแตกต่างกันที่ระดับ

ความเชื่อมั่นร้อยละ 95 โดยวิธี Duncan's new multiple range test (DMRT)

ตารางผนวกที่ ก8 ความเข้มข้นของตะกั่วที่พบในองค์ประกอบทางเคมีของสาบเสือภัยหลังจากการนำบัดดินที่ป่นเป็นฝุ่นและไม่ป่นเป็นฝุ่นตะกั่ว ด้วยวิธี steam explosion และ Wayman's method ที่ระยะเวลาการเก็บเกี่ยวสาบเสือ 45 วัน

ชนิดของ องค์ประกอบ ทางเคมี	ความเข้มข้นตะกั่ว ( $\text{mg kg}^{-1}$ )			
	ส่วนเหนือดิน		ส่วนใต้ดิน	
	динที่ไม่ป่นเป็นฝุ่น	динที่ป่นเป็นฝุ่น	динที่ไม่ป่นเป็นฝุ่น	динที่ป่นเป็นฝุ่น
Water-soluble material	21.36±3.53b <sup>1</sup>	39.21±12.23c	21.60±5.28bc	30.34±9.32b
Methanol- soluble lignin	11.29±2.02b	10.94±3.31c	13.05±1.67c	13.89±2.13b
Klason lignin	13.28±2.15b	123.58±7.59b	31.45±10.35b	134.07±11.71b
Cellulose	41.17±9.59a	993.67±78.26a	50.78±4.34a	1,050.50±131.61a
CV (%)	8.69	19.85	12.60	18.52
F-test	*	*	*	*

หมายเหตุ \* มีความแตกต่างกันอย่างมีนัยสำคัญทางสถิติ

<sup>1</sup> ค่าเฉลี่ยที่ตามด้วยตัวอักษรต่างกันในแต่ละกลุ่มนี้มีความแตกต่างกันที่ระดับความเชื่อมั่นร้อยละ 95 โดยวิธี Duncan's new multiple range test (DMRT)

ตารางผนวกที่ ก9 ความเข้มข้นของตะกั่วที่พบในองค์ประกอบทางเคมีของสาบเสือภัยหลังจากการนำบัดดินที่ป่นเป็นฝุ่นและไม่ป่นเป็นฝุ่นตะกั่ว ด้วยวิธี steam explosion และ Wayman's method ที่ระยะเวลาการเก็บเกี่ยวสาบเสือ 60 วัน

ชนิดของ องค์ประกอบ ทางเคมี	ความเข้มข้นตะกั่ว ( $\text{mg kg}^{-1}$ )			
	ส่วนเหนือดิน		ส่วนใต้ดิน	
	динที่ไม่ป่นเป็นฝุ่น	динที่ป่นเป็นฝุ่น	динที่ไม่ป่นเป็นฝุ่น	динที่ป่นเป็นฝุ่น
Water-soluble material	26.06±4.41a <sup>1</sup>	34.75±6.24c	21.45±9.37b	32.10±7.63c
Methanol- soluble lignin	15.89±0.92b	19.16±4.88c	13.64±2.47b	19.22±1.26c
Klason lignin	10.64±0.54b	128.67±3.16b	11.15±0.55b	130.25±7.04b
Cellulose	24.65±5.10a	913.83±39.21a	54.13±8.64a	1,140.67±90.85a
CV (%)	14.20	4.88	20.96	8.08
F-test	*	*	*	*

หมายเหตุ \* มีความแตกต่างกันอย่างมีนัยสำคัญทางสถิติ

<sup>1</sup> ค่าเฉลี่ยที่ตามด้วยตัวอักษรต่างกันในแต่ละกลุ่มนี้มีความแตกต่างกันที่ระดับ

ความเชื่อมั่นร้อยละ 95 โดยวิธี Duncan's new multiple range test (DMRT)

ตารางผนวกที่ ก10 ความเข้มข้นของตะกั่วที่พบในองค์ประกอบทางเคมีของสาบเสือภัยหลังจากการนำบัดดินที่ป่นเป็นฝุ่นและไม่ป่นเป็นฝุ่นตะกั่ว ด้วยวิธี steam explosion และ Wayman's method ที่ระยะเวลาการเก็บเกี่ยวสาบเสือ 75 วัน

ชนิดของ องค์ประกอบ ทางเคมี	ความเข้มข้นตะกั่ว ( $\text{mg kg}^{-1}$ )			
	ส่วนเหนือดิน		ส่วนใต้ดิน	
	динที่ไม่ป่นเป็นฝุ่น	динที่ป่นเป็นฝุ่น	динที่ไม่ป่นเป็นฝุ่น	динที่ป่นเป็นฝุ่น
Water-soluble material	$30.76 \pm 6.01\text{a}^1$	$43.14 \pm 4.44\text{c}$	$29.71 \pm 1.24\text{b}$	$71.47 \pm 2.17\text{c}$
Methanol- soluble lignin	$13.35 \pm 7.31\text{b}$	$18.30 \pm 5.29\text{c}$	$14.74 \pm 1.92\text{c}$	$22.69 \pm 1.83\text{d}$
Klason lignin	$9.93 \pm 1.34\text{b}$	$137.37 \pm 9.51\text{b}$	$10.95 \pm 0.87\text{c}$	$142.37 \pm 7.59\text{b}$
Cellulose	$34.58 \pm 9.62\text{a}$	$1,091.50 \pm 59.49\text{a}$	$49.06 \pm 10.04\text{a}$	$1,609.08 \pm 44.55\text{a}$
CV (%)	27.39	6.10	13.47	3.04
F-test	*	*	*	*

หมายเหตุ \* มีความแตกต่างกันอย่างมีนัยสำคัญทางสถิติ

<sup>1</sup> ค่าเฉลี่ยที่ตามด้วยตัวอักษรต่างกันในแต่ละกลุ่มนี้มีความแตกต่างกันที่ระดับความเชื่อมั่นร้อยละ 95 โดยวิธี Duncan's new multiple range test (DMRT)

ตารางผนวกที่ ก11 ความเข้มข้นของตะกั่วที่พบในองค์ประกอบทางเคมีของสาบเสือภัยหลังจากการนำบัดดินที่ป่นเป็นฝุ่นและไม่ป่นเป็นฝุ่นตะกั่ว ด้วยวิธี steam explosion และ Wayman's method ที่ระยะเวลาการเก็บเกี่ยวสาบเสือ 90 วัน

ชนิดของ องค์ประกอบ ทางเคมี	ความเข้มข้นตะกั่ว ( $\text{mg kg}^{-1}$ )			
	ส่วนเหนือดิน		ส่วนใต้ดิน	
	динที่ไม่ป่นเป็นฝุ่น	динที่ป่นเป็นฝุ่น	динที่ไม่ป่นเป็นฝุ่น	динที่ป่นเป็นฝุ่น
Water-soluble material	24.27±1.12b <sup>1</sup>	32.53±6.61c	22.22±2.31b	41.15±5.59c
Methanol- soluble lignin	12.47±4.39c	18.09±6.49c	13.05±2.90b	19.81±9.21c
Klason lignin	12.17±0.62c	133.87±4.93b	12.37±0.37b	126.83±6.49b
Cellulose	50.91±4.79a	781.42±88.26a	48.28±13.59a	1,127.33±38.70a
CV (%)	10.94	11.00	19.98	4.56
F-test	*	*	*	*

หมายเหตุ \* มีความแตกต่างกันอย่างมีนัยสำคัญทางสถิติ

<sup>1</sup> ค่าเฉลี่ยที่ตามด้วยตัวอักษรต่างกันในแต่ละกลุ่มนี้มีความแตกต่างกันที่ระดับความเชื่อมั่นร้อยละ 95 โดยวิธี Duncan's new multiple range test (DMRT)

ตารางผนวกที่ ก12 ปริมาณการละลายคงที่ในส่วน water-soluble material ของสาบเสือภัยหลังจากการบำบัดดินที่ป่นเปื้อนและไม่ป่นเปื้อนตะกั่ว ด้วยวิธี steam explosion และ Wayman's method ที่ระยะเวลาการเก็บเกี่ยวสาบเสือ 15, 30, 45, 60, 75 และ 90 วัน

ระยะเวลา การปลูก	ปริมาณการละลายคงที่ (%)			
	ส่วนหนืดดิน		ส่วนใต้ดิน	
	คืนที่ไม่ป่นเปื้อน	คืนที่ป่นเปื้อน	คืนที่ไม่ป่นเปื้อน	คืนที่ป่นเปื้อน
15	31.58±2.53ab <sup>1</sup>	9.71±0.12a	14.51±3.87b	3.93±0.67a
30	27.72±6.55ab	7.16±1.06b	15.86±3.96b	3.73±0.59a
45	24.57±3.79b	3.32±0.76c	19.08±7.18b	2.48±0.77b
60	33.67±3.63a	3.16±0.47c	20.79±6.07ab	2.45±0.70b
75	34.86±4.11a	3.34±0.28c	28.56±2.01a	3.87±0.18a
90	24.44±2.42b	3.35±0.40c	23.59±4.29ab	3.13±0.33ab
CV (%)	13.98	10.26	22.36	16.55
F-test	*	*	*	*

หมายเหตุ \* มีความแตกต่างกันอย่างมีนัยสำคัญทางสถิติ

<sup>1</sup> ค่าเฉลี่ยที่ตามด้วยตัวอักษรต่างกันในแต่ละคอลัมน์มีความแตกต่างกันที่ระดับความเชื่อมั่นร้อยละ 95 โดยวิธี Duncan's new multiple range test (DMRT)

ตารางผนวกที่ ก13 ปริมาณการละลายของสารเสื่อมภายในส่วน methanol-soluble lignin ของสาบเสือภายหลังจากการบำบัดดินที่ป่นเปื้อนและไม่ป่นเปื้อนตะกั่ว ด้วยวิธี steam explosion และ Wayman's method ที่ระยะเวลาการเก็บเกี่ยวสาบเสือ 15, 30, 45, 60, 75 และ 90 วัน

ระยะเวลา การปลูก	ปริมาณการละลาย (%)			
	ส่วนหนืดดิน		ส่วนใต้ดิน	
	ดินที่ไม่ป่นเปื้อน	ดินที่ป่นเปื้อน	ดินที่ไม่ป่นเปื้อน	ดินที่ป่นเปื้อน
15	14.64±3.85 <sup>a</sup> <sup>1</sup>	4.46±1.04a	9.44±1.37a	2.33±0.61a
30	16.92±3.04a	3.40±1.28a	10.29±3.25a	1.75±0.09ab
45	12.94±1.73a	0.93±0.20b	11.37±2.57a	1.13±0.13b
60	20.66±1.45a	1.75±0.45b	13.92±4.16a	1.45±0.10b
75	15.25±7.77a	1.43±0.45b	14.28±3.04a	1.23±0.10b
90	12.32±3.53a	1.86±0.56b	13.57±1.52a	1.49±0.62b
CV (%)	23.09	29.73	23.68	13.13
F-test	ns	*	ns	*

หมายเหตุ ns ไม่แตกต่างกันอย่างมีนัยสำคัญทางสถิติ

\* มีความแตกต่างกันอย่างมีนัยสำคัญทางสถิติ

<sup>1</sup> ค่าเฉลี่ยที่ตามด้วยตัวอักษรต่างกันในแต่ละกลุ่มนี้มีความแตกต่างกันที่ระดับ

ความเชื่อมั่นร้อยละ 95 โดยวิธี Duncan's new multiple range test (DMRT)

ตารางผนวกที่ ก14 ปริมาณการละลายตะกั่วในส่วน Klason lignin ของสาบเสือภายในหลังจากการนำบัคดินที่ป่นเป็นฝุ่นและไม่ป่นเป็นตะกั่ว ด้วยวิธี steam explosion และ Wayman's method ที่ระยะเวลาการเก็บเกี่ยวสาบเสือ 15, 30, 45, 60, 75 และ 90 วัน

ระยะเวลา การปลูก	ปริมาณการละลายตะกั่ว (%)			
	ส่วนหน่อคิน		ส่วนใต้ดิน	
	คินที่ไม่ป่นเป็นฝุ่น	คินที่ป่นเป็นฝุ่น	คินที่ไม่ป่นเป็นฝุ่น	คินที่ป่นเป็นฝุ่น
15	18.57±1.16a <sup>1</sup>	31.62±2.92a	7.90±0.47b	15.48±1.33a
30	12.43±2.78b	24.80±1.35b	8.61±1.17b	12.47±1.20b
45	15.51±3.90ab	10.61±0.46d	19.65±7.81a	11.01±1.61bc
60	13.84±1.15b	11.74±0.24cd	11.32±2.24b	9.86±0.35c
75	11.30±0.79b	10.64±0.23d	10.52±1.04b	7.72±0.49d
90	12.26±1.51b	13.98±1.90c	13.22±2.85b	9.64±0.16c
CV (%)	13.97	6.05	21.44	9.03
F-test	*	*	*	*

หมายเหตุ \* มีความแตกต่างกันอย่างมีนัยสำคัญทางสถิติ

<sup>1</sup> ค่าเฉลี่ยที่ตามด้วยตัวอักษรต่างกันในแต่ละกลุ่มนี้มีความแตกต่างกันที่ระดับความเชื่อมั่นร้อยละ 95 โดยวิธี Duncan's new multiple range test (DMRT)

ตารางผนวกที่ ก15 ปริมาณการละลายセルลูโลไซด์ในส่วน cellulose ของสาบเสือภายหลังจากการบำบัดดินที่ป่นเปื้อนและไม่ป่นเปื้อนตะกั่ว ด้วยวิธี steam explosion และ Wayman's method ที่ระยะเวลาการเก็บเกี่ยวสาบเสือ 15, 30, 45, 60, 75 และ 90 วัน

ระยะเวลา การปลูก	ปริมาณการละลาย (%)			
	ส่วนหนึ่งดิน		ส่วนใต้ดิน	
	ดินที่ไม่ป่นเปื้อน	ดินที่ป่นเปื้อน	ดินที่ไม่ป่นเปื้อน	ดินที่ป่นเปื้อน
15	35.22±6.52bc <sup>1</sup>	54.21±2.56d	68.15±2.69a	78.26±0.76c
30	42.93±10.49abc	64.64±3.15c	65.24±2.62a	82.05±1.76b
45	46.97±7.61ab	85.15±0.68a	43.64±2.49c	85.38±2.30a
60	31.83±4.92c	83.34±0.07ab	53.97±4.62b	86.23±1.03a
75	38.59±4.79abc	84.59±0.27a	46.65±5.35bc	87.18±0.75a
90	50.99±1.66a	80.81±1.50b	49.62±6.32bc	85.75±0.88a
CV (%)	16.71	1.78	6.51	1.57
F-test	*	*	*	*

หมายเหตุ \* มีความแตกต่างกันอย่างมีนัยสำคัญทางสถิติ

<sup>1</sup> ค่าเฉลี่ยที่ตามด้วยตัวอักษรต่างกันในแต่ละคอลัมน์มีความแตกต่างกันที่ระดับความเชื่อมั่นร้อยละ 95 โดยวิธี Duncan's new multiple range test (DMRT)



ตารางผนวกที่ ข1 เกณฑ์มาตรฐานของปฏิกิริยาดิน ตะกอนดิน และน้ำ

ช่วง pH	ปฏิกิริยา (reaction)
< 3.5	กรดรุนแรงมาก Ultra acid
3.5-4.4	กรดรุนแรง Extremely acid
4.5-5.0	กรดจัดมาก Very strongly acid
5.1-5.5	กรดจัด Strongly acid
5.6-6.0	กรดปานกลาง Moderately acid
6.1-6.5	กรดเล็กน้อย Slightly acid
6.6-7.3	เป็นกลาง Neutral
7.4-7.8	ค่อนข้างเป็นกรด Slightly alkaline
7.9-8.4	ค่อนข้างปานกลาง Moderately alkaline
8.5-9.0	ค่อนข้างจัด Strongly alkaline
> 9.0	ค่อนข้างจัดมาก Very strongly alkaline

ที่มา: ดัดแปลงจาก เอิน (2552)

**ตารางผนวกที่ ข2 เกณฑ์มาตรฐานของค่าวิเคราะห์สมบัติทางเคมีบางประการของดิน<sup>†</sup>  
และตะกอนดินที่ใช้ในการทดลอง**

ลักษณะทางเคมีของ ดิน และตะกอนดิน	เกณฑ์มาตรฐาน						
	ต่ำมาก	ต่ำ	ต่ำปาน กลาง	ปาน กลาง	สูง ปาน กลาง	สูง	สูง มาก
Organic matter (%)	< 5	5-10	10-15	15-25	25-35	35-45	> 45
Total N (%)	< 0.1	0.1-0.2	-	0.2-0.5	-	0.5-0.75	> 0.75
Available P ( $\text{mg kg}^{-1}$ )	< 3	3-6	6-10	10-15	15-25	25-45	> 45
Available K ( $\text{mg kg}^{-1}$ )	< 30	30-60	-	60-90	-	90-120	> 120
CEC ( $\text{cmol kg}^{-1}$ )	< 3	3-5	5-10	10-15	15-20	20-30	> 30
EC ( $\text{dS m}^{-1}$ )	< 2	2-4	-	4-8	-	8-16	> 16
Total Pb ( $\text{mg kg}^{-1}$ )	ไม่เกิน 400 หรือ 750 ตามลักษณะการใช้ประโยชน์ที่ดิน						

<sup>†</sup>มา: ดัดแปลงจาก เอิน (2552); กรมควบคุมมลพิษ (2554ก); กรมพัฒนาที่ดิน (2554)

ตารางผนวกที่ ๑๓ สมบัติทางกายภาพ สมบัติทางเคมีทางประการ และปริมาณความชื้นตะกั่ว  
ในดินที่ไม่ป่นเปี้ยนและไม่ป่นเปี้ยนตะกั่ว

สมบัติของดิน	ดินที่ไม่ป่นเปี้ยนตะกั่ว	ดินที่ป่นเปี้ยนตะกั่ว
Texture <sup>1/</sup>		
Sand (%)	10.42	90.24
Silt (%)	44.88	2.96
Clay (%)	44.70	6.80
pH <sup>2/</sup>	7.93±0.06	8.07±0.06
EC <sup>3/</sup> (dS m <sup>-1</sup> )	0.8±0.01	0.07±0.01
CEC <sup>4/</sup> (cmol kg <sup>-1</sup> )	26.67±2.52	4.25±0.17
Organic matter <sup>5/</sup> (%)	3±0.1	0.30±0.08
Total Nitrogen <sup>6/</sup> (%)	2.83±0.16	0.02±0
Available P <sup>7/</sup> (mg kg <sup>-1</sup> )	1,415±43.21	6.83±1.04
Available K <sup>8/</sup> (mg kg <sup>-1</sup> )	353±12.12	12.64±3.47
Available Pb <sup>9/</sup> (mg kg <sup>-1</sup> )	1.33±0.02	1,114.61±53.06
Total Pb <sup>10/</sup> (mg kg <sup>-1</sup> )	37.34±3.05	75,529.38±2,935.98

หมายเหตุ <sup>1/</sup> Pipette method (Kilmer and Alexander, 1949; Day, 1965)

<sup>2/</sup> pH meter (soil: water; 1:1) (ทัศนีย์ และ จรรยา, 2542)

<sup>3/</sup> Electric conductrometer (ทัศนีย์ และ จรรยา, 2542)

<sup>4/</sup> Extracted with NH<sub>4</sub>OAc pH 7.0 (ดัดแปลงจาก Chapman, 1965)

<sup>5/</sup> Walkley and Black method (ทัศนีย์ และ จรรยา, 2542; Walkley and Black, 1934)

<sup>6/</sup> Micro-Kjeldahl method (ดัดแปลงจาก ทัศนีย์ และ จรรยา, 2542)

<sup>7/</sup> Extracted with NH<sub>4</sub>OAc pH 7.0 (ดัดแปลงจาก ทัศนีย์ และ จรรยา, 2542; Pratt, 1965)

<sup>8/</sup> Bray II method (Bray and Kurtz, 1945)

<sup>9/</sup> Extracted with 0.005M DTPA (Lindsay and Norvell, 1978)

<sup>10/</sup> Wet-digestion method (ทัศนีย์ และ จรรยา, 2542; Michael, 1982)



1. การวิเคราะห์สมบัติทางกายภาพของดิน โดยใช้การวิเคราะห์เนื้อดินโดยวิธีปีเปต (Kilmer and Alexander, 1949; Day, 1965)

ทำการวิเคราะห์โดยขึ้งตัวอย่างดินขนาด 2-0.25 มิลลิเมตร (10-60 mesh) จำนวน 10 กรัม ลงใน centrifuge ขนาด 100 มิลลิลิตร โดยในขันตอนแรกนั้นเป็นการໄล่สารประกอบการบอนเอนต์ (ในกรณีที่ดินตัวอย่างมีสารประกอบจำพวกเกลือคาร์บอนเอนตสูงหรือเป็นดินเค็มจัด) โดยการเติมสารละลายน 1M NaOAc ที่ pH 5.0 (โดยสารละลายน NaOAc 82 กรัม และน้ำกลั่น 500 มิลลิลิตร จากนั้นทำการเติม  $\text{CH}_3\text{COOH}$  25 มิลลิลิตร ลงใน volumetric flask ขนาด 1 ลิตร จากนั้นจึงทำการปรับปริมาตรด้วยน้ำกลั่นให้เป็น 1 ลิตร และปรับ pH ของสารละลายนี้ให้ได้ที่ 5.0 ด้วย conc.  $\text{CH}_3\text{COOH}$  จำนวน 50 มิลลิลิตร จากนั้นนำตัวอย่างไปอุ่นบน water bath ที่อุณหภูมิ 70 องศา เชลเซียส เป็นเวลา 30 นาที และวิจัยตัวอย่างที่ได้เข้าเครื่อง centrifuge ทำการปั่นให้วายจันตัวอย่างเกิดการแตกตะกอนแล้วจึงทำการเทส่วนของสารละลายนี้คืนบนทึ่ง เติมน้ำกลั่นจำนวน 50 มิลลิลิตร จากนั้นนำตัวอย่างไปอุ่นบน water bath ที่อุณหภูมิและเวลาเดิม แล้วจึงตัวอย่างที่ได้เข้าเครื่อง centrifuge อีกครั้ง ทำการเทส่วนของสารละลายนี้คืนบนทึ่ง และถ่ายตัวอย่างที่ได้ลงใน beaker ขนาด 600 มิลลิลิตร จากนั้นในขันตอนที่สองจึงทำการໄล่สารประกอบจำพวกอินทรีย์ต่ำๆ ในดิน (ในกรณีที่ดินตัวอย่างมีอินทรีย์ต่ำๆ เกินร้อยละ 3) โดยการเติมน้ำกลั่น 50 มิลลิลิตรลงในตัวอย่างที่ได้จากขันตอนแรก จากนั้นจึงค่อยๆ เติม  $\text{H}_2\text{O}_2$  ที่ความเข้มข้นร้อยละ 30 โดยปริมาตร ( $v/v$ ) จำนวน 5 มิลลิลิตรลงใน beaker ตัวอย่าง จากนั้นจึงนำตัวอย่างไปอุ่นบน water bath ที่อุณหภูมิ 90 องศา เชลเซียส จนเกิดปฏิกิริยา oxidation ที่สมบูรณ์โดยดูจากลักษณะของฟองแก๊สและสีของดินที่ไม่เกิดขึ้นภายหลังจากปฏิกิริยาเสร็จสิ้น (โดยสามารถตรวจสอบได้จากการเติม  $\text{H}_2\text{O}_2$  เพื่อตรวจสอบการเกิดปฏิกิริยา) จากนั้นจึงทำการໄล่  $\text{H}_2\text{O}_2$  ที่มากเกินพอด้วยการอุ่น beaker ตัวอย่างบน hot plate ที่อุณหภูมิ 90 องศาเชลเซียส โดยระวังไม่ให้ตัวอย่างแห้ง จากนั้นจึงนำตัวอย่างที่ได้ไปอบที่อุณหภูมิ 105 องศาเชลเซียส เป็นเวลา 24 ชั่วโมง จนมีน้ำหนักคงที่ แล้วจึงนำตัวอย่างเข้าสู่ในขันตอนที่สาม โดยการทำให้ตัวอย่างดินเกิดการแตกตัว (dispersing) ซึ่งถ้าตัวอย่างดินที่ทำการวิเคราะห์ไม่ใช่ดินเค็มและมีปริมาณอินทรีย์ต่ำกว่า 3 เปอร์เซ็นต์สามารถเริ่มวิเคราะห์เนื้อดินโดยวิธีปีเปตในขันตอนนี้ได้ โดยการนำตัวอย่างดิน 10 กรัม เติม calgon solution (โดยการเตรียม sodium hexametaphosphate จำนวน 35.7 กรัม น้ำกลั่น 500 มิลลิลิตร sodium carbonate 7.94 กรัม ลงใน volumetric flask ขนาด 1 ลิตร จากนั้นจึงทำการปรับปริมาตรด้วยน้ำกลั่นให้เป็น 1 ลิตร) จำนวน 10 มิลลิลิตร เบย่าให้เข้ากันทั่วไป 24 ชั่วโมง จากนั้นจึงนำตัวอย่างใส่เครื่องปั่น (high-speed stirrer) เป็นเวลา 15 นาที จากนั้นจึงทำการถ่ายตัวอย่างลงในกระบอกวงขนาด 1 ลิตร ผ่านกรวยกรอง

ที่มีตะแกรงร่อนขนาด 0.053 มิลลิเมตร (270 mesh) ชั่งอนุภาคทรายแป้งและดินเหนียวจะผ่านลงไปในระบบอุกตัว ทำการถ้างอนุภาคทรายแป้งและดินเหนียวออกจากอนุภาคทรายจนหมด แล้วทำการปรับปริมาตรของสารละลายในระบบอุกตัวให้มีปริมาตรเป็น 1 ลิตร ทำการกวนอนุภาคอนุภาคทรายแป้งและดินเหนียวที่อยู่ในระบบอุกตัวให้พุ่งกระชาด้วย plunger เป็นเวลา 30 นาที และทิ้งไว้ 6 ชั่วโมง จากนั้นจึงทำการถ่ายอนุภาคทรายที่กรองได้ลงในถ้วยอบที่ทราบน้ำหนักแล้ว และนำไปอบที่ 105 องศาเซลเซียส เป็นเวลา 24 ชั่วโมงจนมีน้ำหนักคงที่ ทิ้งไว้ให้เย็นในโถดูดความชื้นและจดบันทึกค่าที่ได้ ในส่วนของสารละลายดินที่อยู่ในระบบอุกตัวภายหลังจากการกรอง 6 ชั่วโมง จึงทำการแยกอนุภาคดินเหนียวที่รวมอยู่กับอนุภาคทรายแป้งในระบบอุกตัวโดยเครื่อง automatic pipette โดยทำการดูดสารละลายดินที่ความลึก 10 เซนติเมตรนับจากความสูงของผิวน้ำในสารละลายเป็นจำนวน 25 มิลลิลิตร จากนั้นจึงทำการถ่ายอนุภาคดินเหนียวที่ได้ลงในถ้วยอบที่ทราบน้ำหนักแล้ว และนำไปอบที่ 105 องศาเซลเซียส เป็นเวลา 24 ชั่วโมงจนมีน้ำหนักคงที่ ทิ้งไว้ให้เย็นในโถดูดความชื้นและจดบันทึกค่าที่ได้ จากนั้นนำค่าที่ได้ทั้งหมดไปคำนวณสมบัติทางกายภาพของดินตามสูตรตามลำดับดังนี้

$$(1) \text{ อนุภาคทราย (ร้อยละ)} = \frac{A}{B} \times 100$$

โดยที่ A = น้ำหนักของอนุภาคทรายอบแห้งที่ได้ (กรัม)

B = น้ำหนักตัวอย่างดินใช้ (กรัม)

$$(2) \text{ อนุภาคดินเหนียว (ร้อยละ)} = \frac{100}{C} \times \frac{1000 \times A}{B}$$

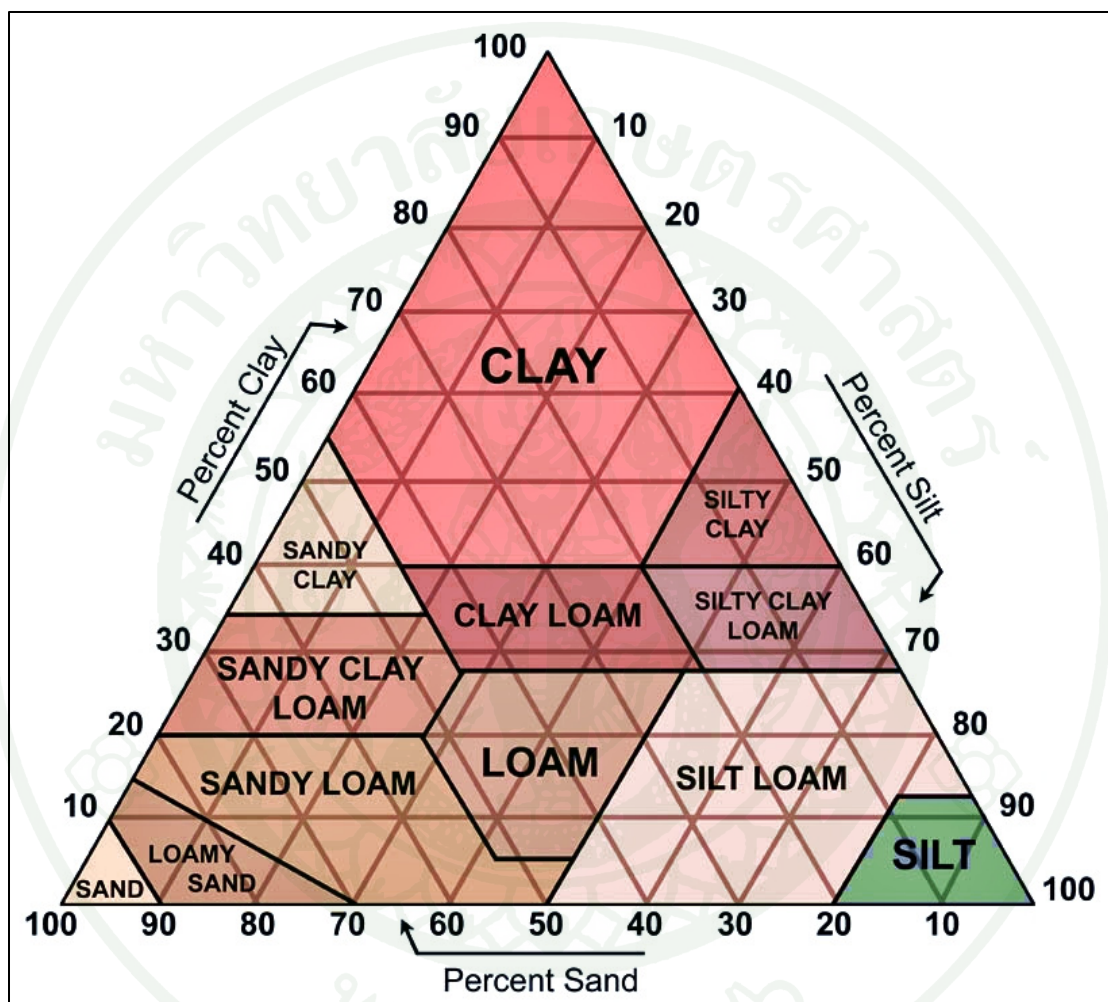
โดยที่ A = น้ำหนักของอนุภาคดินเหนียวอบแห้งที่ได้ (กรัม)

B = ปริมาตรของสารละลายดินที่ดูดจากเครื่อง automatic pipette (มิลลิลิตร)

C = น้ำหนักตัวอย่างดินใช้ (กรัม)

$$(3) \text{ อนุภาคทรายแป้ง (ร้อยละ)} = 100 - (\text{ร้อยละของอนุภาคทราย} + \text{ร้อยละของอนุภาคดินเหนียว})$$

โดยเมื่อทราบสัดส่วนของอนุภาคแต่ละชนิดในตัวอย่างดินที่ทำการวิเคราะห์ จึงนำผลที่ได้ไปทำการเปรียบเทียบกับ soil texture diagram เพื่อให้ทราบลักษณะของเนื้อดินตัวอย่าง ดังภาพผนวกที่ ค1



ภาพผนวกที่ ค1 Soil texture diagram

## 2. การวิเคราะห์สมบัติทางเคมีบางประการของดิน

### 2.1 การวัด pH ของดิน (ทัศนีย์ และ จงรักษ์, 2542)

ทำการวัดโดยชั่งตัวอย่างดินขนาด 2-0.25 มิลลิเมตร (10-60 mesh) จำนวน 20 กรัม ใส่ในบิกเกอร์ขนาด 100 มิลลิลิตร เติมน้ำกลั่น 20 มิลลิลิตร ใช้แท่งแก้วคนให้เข้ากัน ตั้งทิ้งไว้ 15 นาที หลังจากนั้นคนให้เข้ากันและตั้งทิ้งไว้ซ้ำๆ เช่นเดิมอีกครั้ง รอนดินตกตะกอน แล้วจึงทำการวัด pH ของดินตรงบริเวณสารละลายใส่ด้วย pH meter โดยก่อนวัดต้องทำการ standardize เครื่องด้วย buffer solution ที่ pH 7.0 และ 4.0 ตามลำดับก่อนเสมอ

### 2.2 การวัดค่าสภาพการนำไฟฟ้าของดิน (ทัศนีย์ และ จงรักษ์, 2542)

ทำการวัดโดยชั่งตัวอย่างดินขนาด 2-0.25 มิลลิเมตร (10-60 mesh) จำนวน 10 กรัม ใส่ในบิกเกอร์ขนาด 100 มิลลิลิตร เติมน้ำกลั่น 50 มิลลิลิตร ใช้แท่งแก้วคนให้เข้ากัน ตั้งทิ้งไว้ 15 นาที หลังจากนั้นคนให้เข้ากันและตั้งทิ้งไว้ซ้ำๆ เช่นเดิมอีกครั้งเช่นเดียวกับการวัด pH ของดิน รอนดินตกตะกอน แล้วจึงทำการวัดค่าสภาพการนำไฟฟ้าของดินตรงบริเวณสารละลายใส่ด้วย EC meter โดยก่อนวัดต้องทำการ standardize เครื่องด้วย buffer solution ที่ทราบค่าการนำไฟฟ้าที่แน่นอน ก่อนเสมอ

### 2.3 การวิเคราะห์ค่าความฉุกเฉียบเปลี่ยนแคตไอออน (ดัดแปลงจาก Chapman, 1965)

ทำการวิเคราะห์โดยชั่งตัวอย่างดินขนาด 2-0.25 มิลลิเมตร (10-60 mesh) จำนวน 10 กรัม ในดินร่วนและดินเหนียว หรือ 25 กรัม ในดินทราย ลงใน Erlenmeyer flask ขนาด 5 ลิตร เติมน้ำยาสักด 1N NH<sub>4</sub>OAc (อันประกอบด้วย NH<sub>4</sub>OH 680 มิลลิลิตร ผสมในน้ำ 500 มิลลิลิตร เติม CH<sub>3</sub>COOH 565 มิลลิลิตร และปรับปริมาตรให้ได้ 10 ลิตร และทำการปรับ pH ของสารละลายให้ได้ 7 ด้วย 1N NH<sub>4</sub>OH หรือ 1N CH<sub>3</sub>COOH) จำนวน 250 มิลลิลิตร เขย่าให้เข้ากัน ทิ้งไว้ค้างคืน จากนั้นทำการกรองด้วย suction โดยใช้ Buchner funnels ถังดินด้วย 1N NH<sub>4</sub>OAc เช่นเดิม เพื่อไล่ Ca<sup>2+</sup> Mg<sup>2+</sup> และ K<sup>+</sup> โดยทำการล้างทีละน้อยๆ และระวังมิให้เกิดการแห้งและแตกกระหengของดิน ทำการล้างจนได้ปริมาตร 500 มิลลิลิตร จากนั้นจึงเริ่มทำการล้างดินด้วย 1N NH<sub>4</sub>Cl 4 ครั้ง และ 0.25N NH<sub>4</sub>Cl จำนวน 1 ครั้ง และถังดินต่อด้วย isopropyl alcohol บริสุทธิ์ (GC grade) จำนวน 150

มิลลิลิตรเพื่อໄล' Cl<sup>-</sup> โดยถ้างทีละน้อยๆ เช่นเดียวกับในขันตอนแรก ทิ้งไว้สักครู่เพื่อให้ดินหมาย แต่ต้องระวังไม่ให้ดินเกิดการแตกกระแทก หลังจากนั้นจึงทำการໄล' NH<sub>4</sub><sup>+</sup> ด้วย acidified NaCl ที่ความเข้มข้นร้อยละ 10 โดยปริมาตร (v/v) (ละลายน NaCl 100 กรัม ในน้ำเกลี้ยง 1 ลิตร และ conc. HCl 0.5 มิลลิลิตร) โดยทำการถางอย่างช้าๆ เช่นเดียวกับน้ำยาทั้งได้สารละลายปริมาตรประมาณ 230 มิลลิลิตรจึงหยุด แล้วจึงถ่ายสารละลายนี้ลงใน volumetric flask ขนาด 250 มิลลิลิตร ปรับปริมาตรให้ได้ 250 มิลลิลิตร และเขย่าให้เข้ากัน (โดยถ้ามีความจำเป็นต้องเก็บสารละลายนี้ไว้ก่อนทำการกลั่นเกิน 3 วัน ควรหยด toluene ลงไปใน flask 3 หยด) จากนั้นจึงการวิเคราะห์หา NH<sub>4</sub><sup>+</sup> ลูกที่ໄล' ออกโดยวิธี micro-Kjeldahl ซึ่งการทำการวิเคราะห์เช่นเดียวกับการวิเคราะห์ปริมาณไนโตรเจนทั้งหมดในดิน จากนั้นทำการไดเตรทสารละลายที่กลั่นได้ด้วย 0.01N H<sub>2</sub>SO<sub>4</sub> แล้วคำนวณค่าความชุ่มแลกเปลี่ยนแคตไอออนที่ได้จากสูตร

$$\text{ค่าความชุ่มแลกเปลี่ยนแคตไอออน} = \frac{(A - B) \times C \times 100 \times D}{E \times F}$$

โดยที่ A = ปริมาตรของกรดที่ใช้ไดเตรทด้วย (มิลลิลิตร)

B = ปริมาตรของกรดที่ใช้ไดเตรทด้วย blank (มิลลิลิตร)

C = ความเข้มข้นของกรดที่ใช้ไดเตรท (นอร์มอล)

D = ปริมาตรของสารละลายตัวอย่างทั้งหมด (มิลลิลิตร)

E = ปริมาตรของสารละลายตัวอย่างที่นำมากลั่น (มิลลิลิตร)

F = น้ำหนักตัวอย่างดิน (กรัม)

2.4 การวิเคราะห์ปริมาณอินทรีบัตถุในดิน (ทัศนีย์ และ จรรยา, 2542; Walkley and Black, 1934)

ทำการวิเคราะห์โดยชั่งตัวอย่างดินที่บดคร่อนผ่านตะกรงขนาด 0.25 มิลลิเมตร ( $> 60$  mesh) จำนวน 0.5 กรัมลงใน Erlenmeyer flask ขนาด 250 มิลลิลิตร เติมสารละลายน้ำ 1N  $K_2Cr_2O_7$  (ละลายน้ำ  $K_2Cr_2O_7$  49.04 กรัม ในน้ำกลั่นแล้วปรับปริมาตรเป็น 1 ลิตร) จำนวน 5 มิลลิลิตร จากนั้นค่อยๆ rin conc.  $H_2SO_4$  10 มิลลิลิตร ค่อยๆ เขย่า 1-2 นาที จนเป็นเนื้อดีขากัน แล้วจึงตั้งทิ้งไว้ 30 นาที จากนั้นเติมน้ำกลั่น 15 มิลลิลิตร หยด 0.025M o-phenanthroline ferrous sulfate indicator (อันประกอบด้วย o-phenanthroline 1.48 กรัม และ  $FeSO_4 \cdot 7H_2O$  0.7 กรัม ละลายน้ำกลั่นปรับปริมาตรเป็น 100 มิลลิลิตร) ลงไป 3 หยด เพื่อเป็นอินดิเคเตอร์ นำไปไก่เตรตกับสารละลายน้ำ 0.5N  $FeSO_4$  (ละลายน้ำ  $Fe(NH_4)_2(SO_4) \cdot H_2O$  196.1 กรัมในน้ำกลั่น เติม conc.  $H_2SO_4$  15 มิลลิลิตร รอจนเข็นแล้วปรับปริมาตรเป็น 1 ลิตร) จนกระหึ่งถึงจุดยุติโดยจะเปลี่ยนจากสีเขียวไปเป็นสีน้ำตาลปนแดง บันทึกปริมาตรของสารละลายน้ำ  $K_2Cr_2O_7$  และ 0.5N  $FeSO_4$  ที่ใช้นำมาคำนวณหาปริมาณอินทรีкар์บอนและอินทรีบัตถุตามสูตรตามลำดับดังนี้

$$(1) \text{ ปริมาณอินทรีบัตถุ (ร้อยละ)} = \frac{(A \times B) - (C \times D) \times 0.003 \times 100 \times 1.33}{E}$$

โดยที่ A = ความเข้มข้นของ  $K_2Cr_2O_7$  ที่ใช้ (นอร์มอล)

B = ปริมาตรของ  $K_2Cr_2O_7$  ที่ใช้ (มิลลิลิตร)

C = ความเข้มข้นของ  $FeSO_4$  ที่ใช้ (นอร์มอล)

D = ปริมาตรของ  $FeSO_4$  ที่ใช้ (มิลลิลิตร)

E = น้ำหนักตัวอย่างดิน (กรัม)

$$(2) \text{ ปริมาณอินทรีบัตถุ (ร้อยละ)} = \text{ร้อยละของปริมาณอินทรีบัตถุ} \times 1.72$$

## 2.5 การวิเคราะห์ปริมาณ ในตอรเจนทั้งหมด โดยวิธี micro-Kjeldahl method (ดัดแปลงจาก ทัศนី แล้ว จรรักษា, 2542)

ทำการวิเคราะห์โดยชั่งตัวอย่างคิดที่บดคร่อนผ่านตะแกรงขนาด 0.25 มิลลิเมตร (> 60 mesh) จำนวน 1 กรัมลงในหลอดทดลองสำหรับย่อยตัวอย่าง เติม digestion mixture (อันประกอบด้วย  $\text{Na}_2\text{SO}_4$  หรือ  $\text{K}_2\text{SO}_4$  250 กรัม กับ selenium 2.5 กรัม และ conc.  $\text{H}_2\text{SO}_4$  2.5 ลิตร ลงใน Erlenmeyer flask ขนาด 5 ลิตร ที่ผ่านการต้มจนได้สารละลายใส ไม่มีสี) จำนวน 5 มิลลิลิตร ทำการย่อยตัวอย่างบนเครื่อง block digester ที่อุณหภูมิ 360 องศาเซลเซียส เป็นเวลา 3 ชั่วโมง หรือจนกว่าจะได้ตะกอนเป็นสีขาว ทึ่งไว้ให้เย็น แล้วทำการปรับปริมาตรให้ได้ 50 มิลลิลิตร จากนั้นกรองลงในกระดาษกรองเบอร์ 2 ลงในขวดตัวอย่าง ทำการกลั่นตัวอย่างภายหลังจากการย่อยด้วยเครื่องกลั่น ในตอรเจน โดยคูดตัวอย่างจำนวน 10 มิลลิลิตร ลงใน distillation flask เติม 10N NaOH (ละลาย NaOH 400 กรัม ในน้ำกลั่น 400 มิลลิลิตร) จำนวน 6 มิลลิลิตร ทำการกลั่น โดยจับก๊าซ  $\text{NH}_3$  ที่เกิดขึ้นไว้ในสารละลาย boric acid solution indicator (อันประกอบด้วย  $\text{H}_3\text{BO}_4$  80 กรัม ละลายในน้ำกลั่น 3.8 ลิตร ทำให้ร้อนจนสารละลายทั้งหมด แล้วจึงเติม mixed indicator 80 มิลลิลิตร ซึ่งประกอบด้วย bromocresol green 0.099 กรัม ใน  $\text{C}_2\text{H}_5\text{OH}$  100 มิลลิลิตร แล้วจึงเติม 1N NaOH ที่ละน้อย จนกระทั่งได้สารละลายสีม่วงแดง ที่ pH ประมาณ 5 จากนั้นจึงเติมน้ำจันได้ปริมาตร 4 ลิตร) ที่ปริมาณ 10 มิลลิลิตร จนสารละลายเปลี่ยนสีจากสีม่วงแดงเป็นสีเขียวอ่อน และมีปริมาตรเพิ่มขึ้นเป็น 25 มิลลิลิตร โดยใช้เวลาในการกลั่นทั้งสิ้นประมาณ 7 นาที จากนั้นทำการไถเตรทสารละลายที่กลั่นได้ด้วย 0.01N  $\text{H}_2\text{SO}_4$  แล้วคำนวณปริมาณในตอรเจนทั้งหมดที่ได้จากสูตร

$$\text{ปริมาณ ในตอรเจนทั้งหมด (ร้อยละ)} = \frac{(A - B) \times C \times 0.014 \times 100 \times D}{E \times F}$$

โดยที่ A = ปริมาตรของกรดที่ใช้ไถเตรทด้วยตัวอย่าง (มิลลิลิตร)

B = ปริมาตรของกรดที่ใช้ไถเตรทด้วย blank (มิลลิลิตร)

C = ความเข้มข้นของกรดที่ใช้ไถเตรท (นอร์มอล)

D = ปริมาตรของสารละลายตัวอย่างทั้งหมด (มิลลิลิตร)

E = ปริมาตรของสารละลายตัวอย่างที่นำมากลั่น (มิลลิลิตร)

F = น้ำหนักตัวอย่างคิด (กรัม)

## 2.6 การวิเคราะห์ปริมาณฟอสฟอรัสที่เป็นประไนซ์ (Bray and Kurtz, 1945)

ทำการวิเคราะห์โดยชั่งตัวอย่างดินขนาด 2-0.25 มิลลิเมตร (10-60 mesh) จำนวน 2 กรัม ใส่ในขวดตัวอย่าง เติมน้ำยาสกัด Bray II (อันประกอบด้วย  $1\text{N } \text{NH}_4\text{F}$  3 มิลลิลิตร ผสมกับ  $0.5\text{N HCl}$  200 มิลลิลิตร และปรับปริมาตรด้วยน้ำให้เป็น 1 ลิตร) จำนวน 20 มิลลิลิตร เขย่า 40 วินาที และกรองด้วยกระดาษกรองเบอร์ 2 จากนั้นคุณภาพสารละลามา 1-5 มิลลิลิตร (ขึ้นอยู่กับปริมาณของฟอสฟอรัสในสารละลามตัวอย่าง) ใส่ใน volumetric flask ขนาด 25 มิลลิลิตร เติมน้ำกลั่นจนมีปริมาตร 20 มิลลิลิตร และเติมน้ำยา reagent B (อันประกอบด้วย  $(\text{NH}_4)_6\text{MoO}_7 \cdot 4\text{H}_2\text{O}$  12 กรัม ละลายในน้ำกลั่น 250 มิลลิลิตร และ  $\text{KSB}_6\text{O-C}_4\text{H}_4\text{O}_6$  0.2908 กรัม ละลายในน้ำกลั่น 100 มิลลิลิตร และ 5N  $\text{H}_2\text{SO}_4$  1 ลิตร ทั้งหมดผสมกันและปรับปริมาตรเป็น 2 ลิตร จากนั้นละลาย ascorbic acid 1.056 กรัม ต่อน้ำยา 200 มิลลิลิตร โดย reagent B ที่เตรียมได้นี้จะต้องใช้หันที่ ไม่ควรเก็บไว้เกิน 24 ชั่วโมง) จำนวน 4 มิลลิลิตร และเติมน้ำกลั่นจนครบ 25 มิลลิลิตร เขย่าให้เข้ากัน ตั้งทิ่งไว้ 10 นาที จะได้สารละลายน้ำเงิน วัดความเข้มของสีโดยเทียบกับสารละลามมาตรฐาน (จากการละลาย  $\text{KH}_2\text{PO}_4$  (AR grade) 0.2195 กรัม ในน้ำกลั่นปรับปริมาตรให้เป็น 1 ลิตร และนำสารละลามที่ได้มาเจือจางลงอีก 10 เท่า ให้มีความเข้มข้นที่ 5 มิลลิกรัมต่อลิตร เพื่อนำไปเตรียมสารละลามมาตรฐานที่ความเข้มข้น 0, 1, 2, 3, 4 และ 5 มิลลิกรัมต่อลิตร ต่อไป) ด้วยเครื่อง spectrophotometer ที่ความยาวคลื่น 882 นาโนเมตร ผ้าสารละลามตัวอย่างมีความเข้มข้นของฟอสฟอรัสสูงเกินสารละลามมาตรฐานให้ลดปริมาตรสารละลามตัวอย่างที่ใช้งาน และเติมน้ำกลั่นให้ครบ 25 มิลลิลิตร ทำการคำนวณหาฟอสฟอรัสจากสูตร

$$\text{ปริมาณฟอสฟอรัสที่เป็นประไนซ์ (มิลลิกรัมต่อกิโลกรัม)} = \frac{\text{A} \times \text{B} \times \text{C}}{\text{D} \times \text{E}}$$

โดยที่ A = ปริมาตรของน้ำยาสกัด Bray II (มิลลิลิตร)

B = ปริมาณฟอสฟอรัสที่อ่านได้จาก standard curve

C = ปริมาตรของสารละลามตัวอย่างทั้งหมด (มิลลิลิตร)

D = ปริมาตรของสารละลามตัวอย่างที่ใช้ (มิลลิลิตร)

E = น้ำหนักตัวอย่างดิน (กรัม)

2.7 การวิเคราะห์โพแทสเซียมที่แลกเปลี่ยนได้ (ดัดแปลงจาก ทศนีย์ และ จรงค์, 2542; Pratt, 1965)

ทำการวิเคราะห์โดยชั่งตัวอย่างดินขนาด 2-0.25 มิลลิเมตร (10-60 mesh) จำนวน 2 กรัม ใส่ในขวดตัวอย่าง เติมน้ำยาสกัด 1N NH<sub>4</sub>OAc (อันประกอบด้วย NH<sub>4</sub>OH 68 มิลลิลิตร ผสมในน้ำ 500 มิลลิลิตร เติม CH<sub>3</sub>COOH 57 มิลลิลิตร แล้วปรับปริมาตรให้ได้ 1 ลิตร แล้วทำการปรับ pH ของสารละลายให้ได้ 7 ด้วย 1N NH<sub>4</sub>OH หรือ 1N CH<sub>3</sub>COOH) จำนวน 50 มิลลิลิตร เขย่านา 30 นาที แล้วกรองด้วยกระดาษกรองเบอร์ 2 นำสารละลายที่ได้ไปวิเคราะห์ความเข้มข้นของโพแทสเซียมด้วยเครื่อง atomic absorption spectrophotometer (AAS) ทำการคำนวณหาปริมาณของโพแทสเซียมที่แลกเปลี่ยนได้ในดินตามสูตร

$$\text{ปริมาณ โพแทสเซียมที่แลกเปลี่ยนได้ (มิลลิกรัมต่อกิโลกรัม)} = \frac{(A - B) \times C \times D}{E}$$

โดยที่ A = ค่าความเข้มข้นของ โพแทสเซียมที่วัด ได้จากเครื่อง AAS

B = ค่าความเข้มข้นของ blank ที่วัด ได้จากเครื่อง AAS

C = จำนวนเทาของการ dilute (ป้ามี)

D = ปริมาตรของน้ำยาสกัด NH<sub>4</sub>OAc (มิลลิลิตร)

E = น้ำหนักตัวอย่างดิน (กรัม)

### 3. การวิเคราะห์ปริมาณตะกั่วในดิน นำ ตะกอนดิน สาบเสือ และองค์ประกอบเคมีของสาบเสือ

#### 3.1 การวิเคราะห์ปริมาณตะกั่วที่สกัดได้ในดิน ตะกอนดิน (Lindsay and Norvell, 1978)

ทำการวิเคราะห์โดยชั่งตัวอย่างดินและตะกอนดินขนาด 2-0.25 มิลลิเมตร (10-60 mesh) อย่างละ 25 กรัม ใส่ในขวดตัวอย่าง เติมน้ำยาสกัด 0.005M DTPA (diethylene triamine pentaacetic acid) (อันประกอบด้วย DTPA 3.9340 กรัม ที่ละลายในน้ำกลั่น 500 มิลลิลิตร ผสมกับ  $\text{CaCl}_2$  2.940 กรัม ที่ละลายในน้ำกลั่น 800 มิลลิลิตร และ triethanolamine 27 มิลลิลิตร จากนั้นปรับปริมาตรให้เป็น 2 ลิตร รวมทั้งปรับ pH เท่ากับ 7.3 โดยใช้  $\text{CH}_3\text{COOH}$ ) จำนวน 50 มิลลิลิตร เท่าด้วยความเร็ว 250 รอบต่อนาที เป็นเวลา 2 ชั่วโมง ทำการกรองด้วยกระดาษกรองเบอร์ 2 จากนั้นนำสารละลายที่ได้ไปวิเคราะห์ความเข้มข้นของตะกั่วด้วย AAS ทำการคำนวณหาปริมาณตะกั่วที่สกัดได้ตามสูตร

$$\text{ปริมาณตะกั่วที่สกัดได้(มิลลิกรัมต่อกิโลกรัม)} = \frac{(A - B) \times C \times D}{E}$$

โดยที่ A = ค่าความเข้มข้นของตะกั่วที่รับได้จากเครื่อง AAS

B = ค่าความเข้มข้นของ blank ที่รับได้จากเครื่อง AAS

C = จำนวนเทาของการ dilute (ถ้ามี)

D = ปริมาตรของน้ำยาสกัด DTPA (มิลลิลิตร)

E = น้ำหนักตัวอย่างดิน (กรัม)

3.2 การวิเคราะห์ปริมาณตะกั่วทั้งหมดในดิน ตะกอนดิน (ทัศนีย์ และ จงรักษ์, 2542; Michael, 1982)

ทำการวิเคราะห์โดยชั่งตัวอย่างดินและตะกอนดินที่บ่อดร่องผ่านตะกรงขนาด 0.25 มิลลิเมตร ( $> 60 \text{ mesh}$ ) จำนวน 1 กรัมลงในหลอดทดลองสำหรับย่อยตัวอย่างเติม digestion mixture (อันประกอบด้วย conc.  $\text{HNO}_3$  และ conc.  $\text{HClO}_4$  ในอัตราส่วน 5 ต่อ 2 ตามลำดับ) จำนวน 5 มิลลิลิตร ทำการย่อยตัวอย่างบนเครื่อง block digester ที่อุณหภูมิ 190 องศาเซลเซียส เป็นเวลา 2 ชั่วโมง หรือจนกว่าจะได้ตะกอนเป็นสีขาว ทึ่งไว้ให้เย็น แล้วทำการปรับปรุงให้ได้ 50 มิลลิลิตร ทำการกรองลงในกระดาษกรองเบอร์ 2 นำสารละลายที่ได้ไปวิเคราะห์ความเข้มข้นของตะกั่วด้วย AAS ทำการคำนวณหาปริมาณตะกั่วทั้งหมดตามสูตร

$$\text{ปริมาณตะกั่วทั้งหมด (มิลลิกรัมต่อกิโลกรัม)} = \frac{(A - B) \times C \times D}{E}$$

โดยที่ A = ค่าความเข้มข้นของตะกั่วที่วัด ได้จากเครื่อง AAS

B = ค่าความเข้มข้นของ blank ที่วัด ได้จากเครื่อง AAS

C = จำนวนเทาของการ dilute (ถ้ามี)

D = ปริมาตรของสารละลายตัวอย่างทั้งหมด (มิลลิลิตร)

E = น้ำหนักตัวอย่างดิน (กรัม)

3.3 การวิเคราะห์ปริมาณตะกั่วทั้งหมดในพืช (ทัศนีย์ และ จงรักษ์, 2542)

ทำการวิเคราะห์โดยชั่งตัวอย่างสามเสือที่บ่อดร่องผ่านตะกรงขนาด 0.4 มิลลิเมตร ( $> 40 \text{ mesh}$ ) จำนวน 0.4 กรัม ลงในหลอดทดลองสำหรับย่อยตัวอย่าง เติม digestion mixture และทำการย่อยตัวอย่างภายใต้สภาพที่อุณหภูมิ และเวลาเช่นเดียวกับวิเคราะห์ปริมาณตะกั่วทั้งหมดในดิน จนได้ตัวอย่างสามเสือที่ผ่านการย่อยที่สมบูรณ์เป็นสารละลายที่ใส่ไม่มีสี ทำการคำนวณหาปริมาณตะกั่วทั้งหมดตามสูตร

$$\text{ปริมาณตะกั่วทั้งหมด (มิลลิกรัมต่อโกล์โตกัม)} = \frac{(A - B) \times C \times D}{E}$$

โดยที่ A = ค่าความเข้มข้นของตะกั่วที่วัด ได้จากเครื่อง AAS

B = ค่าความเข้มข้นของ blank ที่วัด ได้จากเครื่อง AAS

C = จำนวนเท่าของการ dilute (ถ้ามี)

D = ปริมาตรของสารละลายตัวอย่างทั้งหมด (มิลลิลิตร)

E = น้ำหนักตัวอย่างพืช (กรัม)

3.4 การวิเคราะห์ปริมาณตะกั่วทั้งหมดในน้ำ และจากองค์ประกอบทางเคมีของพืชภายหลังจากการเบิดด้วยไอน้ำและสกัดด้วยวายซี steam explosion และ Wayman's method (ดัดแปลงจาก ทัศนีย์ และ จรรักษ์, 2542)

#### 3.4.1 การวิเคราะห์ปริมาณตะกั่วทั้งหมดในน้ำ water-soluble material และ cellulose

ทำการวิเคราะห์โดยตวงน้ำ และสารละลายทั้ง 2 ชนิด (ที่ผ่านการปรับปรุงปริมาตรแล้ว) จำนวนอย่างละ 10 มิลลิลิตร ลงในหลอดทดลองขนาดใหญ่สำหรับตัวอย่างที่เป็นสารละลายเติม digestion mixture และทำการย่อยตัวอย่างภายใต้สภาวะที่อุณหภูมิ และเวลาเช่นเดียวกับวิเคราะห์ปริมาณตะกั่วทั้งหมดในคินและพืช จนได้ตัวอย่างของน้ำ water-soluble material และ cellulose ที่ผ่านการย่อยที่สมบูรณ์เป็นสารละลายที่ใสไม่มีสี ทำการคำนวณหาปริมาณตะกั่วทั้งหมดตามสูตร

$$\begin{aligned} \text{ปริมาณตะกั่วทั้งหมดในน้ำ water-soluble material และ cellulose (มิลลิกรัมต่อ} \\ \text{กิโลกรัม)} \\ = \frac{(A - B) \times C \times D}{E} \end{aligned}$$

โดยที่ A = ค่าความเข้มข้นของตะกั่วที่วัด ได้จากเครื่อง AAS

B = ค่าความเข้มข้นของ blank ที่วัด ได้จากเครื่อง AAS

C = จำนวนเท่าของการ dilute (ถ้ามี)

D = ปริมาตรของสารละลายตัวอย่างทั้งหมด (มิลลิลิตร)

E = น้ำหนักตัวอย่างพืชก่อนการสกัดในแต่ละชนิด (กรัม)

### 3.4.2 การวิเคราะห์ปริมาณตะกั่วทั้งหมดใน Klason lignin

ทำการวิเคราะห์โดยชั่งตัวอย่าง Klason lignin ที่ผ่านการอบแห้งแล้ว จำนวน 0.05 กรัม ลงในหลอดทดลองสำหรับย่อยตัวอย่าง เดิม digestion mixture และทำการย่อยตัวอย่าง ภายใต้สภาวะที่อุณหภูมิ และเวลา เช่นเดียวกับวิเคราะห์ปริมาณตะกั่วทั้งหมดในคืนและพีช จนได้ตัวอย่างของ Klason lignin ที่ผ่านการย่อยที่สมบูรณ์เป็นสารละลายที่ໄลไม่มีสี ทำการคำนวณหาปริมาณตะกั่วทั้งหมดตามสูตร

ปริมาณตะกั่วทั้งหมดใน Klason lignin (มิลลิกรัมต่อกรัม)

$$= \frac{(A - B) \times C \times D}{E}$$

โดยที่ A = ค่าความเข้มข้นของตะกั่วที่วัดได้จากเครื่อง AAS

B = ค่าความเข้มข้นของ blank ที่วัดได้จากเครื่อง AAS

C = จำนวนเท่าของการ dilute (ถ้วยมิ)

D = ปริมาตรของสารละลายตัวอย่างทั้งหมด (มิลลิลิตร)

E = น้ำหนักตัวอย่าง Klason lignin (กรัม)

### 3.4.3 การวิเคราะห์ปริมาณตะกั่วทั้งหมดใน methanol-soluble lignin

ทำการวิเคราะห์โดยตวงสารละลายที่ผ่านการปรับปริมาตรแล้ว จำนวน 10 มิลลิลิตร ลงในหลอดทดลองขนาดใหญ่สำหรับตัวอย่างที่เป็นสารละลาย เดิม digestion mixture เช่นเดียวกับวิเคราะห์ปริมาณตะกั่วทั้งหมดในคืนและพีช ทำการย่อยเพื่อໄล  $\text{CH}_3\text{OH}$  ที่อยู่ในสารละลายโดยใช้อุณหภูมิไม่เกิน 85 องศาเซลเซียสเป็นเวลา 2 ชั่วโมง จน  $\text{CH}_3\text{OH}$  ระเหยออกจนหมด ทำการเติม digestion mixture อีกครั้งในปริมาตรเดิม ทำการย่อยตัวอย่างต่อภายใต้สภาวะที่อุณหภูมิ และเวลา เช่นเดียวกับวิเคราะห์ปริมาณตะกั่วทั้งหมดในคืนและพีชจนได้ตัวอย่างของ methanol-soluble lignin ที่ผ่านการย่อยที่สมบูรณ์เป็นสารละลายที่ໄลไม่มีสี ทำการคำนวณหาปริมาณตะกั่วทั้งหมดตามสูตร

ปริมาณตะกั่วทั้งหมดใน methanol-soluble lignin (มิลลิกรัมต่อกรัม)

$$\frac{= (A - B) \times C \times D}{E}$$

โดยที่ A = ค่าความเข้มข้นของตะกั่วที่วัดได้จากเครื่อง AAS

B = ค่าความเข้มข้นของ blank ที่วัดได้จากเครื่อง AAS

C = จำนวนเท่าของ การ dilute (ถ้ามี)

D = ปริมาตรของสารละลายตัวอย่างทั้งหมด (มิลลิลิตร)

E = น้ำหนักตัวอย่างพืชก่อนการสกัด (กรัม)

## ประวัติการศึกษา และการทำงาน

ชื่อ-นามสกุล	นายกนกศักดิ์ อุดมสิน
วัน เดือน ปี ที่เกิด	20 ธันวาคม พ.ศ. 2528
สถานที่เกิด	จังหวัดนราธิวาส
ประวัติการศึกษา	ปริญญาตรี วิทยาศาสตรบัณฑิต (ประมาณ) มหาวิทยาลัยเกษตรศาสตร์
ตำแหน่งหน้าที่การงานปัจจุบัน	-
สถานที่ทำงานปัจจุบัน	-
ผลงานเด่นและรางวัลทางวิชาการ	-
ทุนการศึกษาที่ได้รับ	ทุนอุดหนุนการค้นคว้าและวิจัยประเภทวิทยานิพนธ์ ระดับบัณฑิตศึกษา ประจำปีงบประมาณ 2553 บัณฑิตวิทยาลัย มหาวิทยาลัยเกษตรศาสตร์